SECRETARÍA DE CIENCIA Y TÉCNICA

JORNADAS DE INVESTIGACIÓN y VINCULACIÓN

en Ciencias de la Salud 2026

Libro de Resúmenes

FACULTAD DE CIENCIAS MÉDICAS

UNIVERSIDAD NACIONAL DE LA PLATA

Programa

Martes 27 de octubre

HORARIO / LUGAR	ACTIVIDAD	DETALLE PRELIMINAR
08:30–09:00 **Hall HUI**	**Acreditación y colocación de pósters**	Recepción/inscripción de participantes. Colocación de pósters.
09:00–09:20 **Auditorio HUI**	**Apertura institucional**	Autoridades de la Universidad y de la FCM-UNLP, Secretaría de Ciencia y Técnica, Secretaría de Posgrado y Programa de Doctorado. Presentación de los objetivos de las Jornadas 2026.
09:20–10:20 **Auditorio HUI**	**Conferencia inaugural – Investigación clínica** *Coordinador: Martin Salazar*	**"Investigación clínica en hospitales universitarios: de la asistencia a la generación de evidencia".** *Elisa Estenssoro*.
10:20–10:40 **Hall HUI**	**Coffee break**	Espacio de intercambio y recorrida del Museo de Historia de la Medicina-FCM-UNLP.
10:40–12:00 **Auditorio HUI**	**Simposio 1 · Del tejido adiposo al sistema de salud: obesidad, diabetes y riesgo cardiometabólico** *Coordinadores: Magalí Pellon-Maison – Barbara Maiztegui* Simposio transversal orientado a integrar mecanismos biológicos, nutrición, prevención e impacto sanitario de la obesidad, la insulinorresistencia, la diabetes y el riesgo cardiovascular, desde etapas tempranas de la vida hasta su carga clínica y económica en el sistema de salud.	**1. Flavio Francini.** Insulinorresistencia e inflamación como motores del daño multiorgánico. **2. Agustina Malpeli.** Obesidad infantil, nutrición y riesgo metabólico temprano: oportunidades de prevención desde etapas iniciales de la vida. **3. Jorge F. Elgart.** Diabetes y enfermedad cardiovascular: la dimensión económica de una epidemia silenciosa. *Discusión integrada*
12:00–13:00 **Hall HUI**	**Almuerzo**	Recorrida guiada de pósters por moderadores y evaluadores. Presentación de la sección de servicios/capacidades tecnológicas y proyectos de transferencia de la FCM.
13:00–13:45 **Auditorio HUI**	**Formación universitaria y pensamiento científico** *Coordinadora: Elsa Chiappa*	**"Mas allá de trasmitir conocimiento"** *Alicia Mattiazzi*
13:45–14:45 **Microcine**	**Investigación en el postgrado** *Coordinador: Marcelo Uriarte*	**1. ¿Qué implica hacer el doctorado?** *Veronica De Giusti* **2. Mesa redonda "¿Qué se puede investigar en salud?"** *Moderador: Gustavo Pérez* *Santiago Lima · Ailén Iribarne · Linda Jezabel Miguez · Bernardita D' Alfonso* **3. "El proyecto de investigación"** Moderador e introducción al tema: *Luis Flores, Natalia Lausada (CICUAL) Celeste Villa Abrille (COBIMED).* **4. Presentación de trabajos de doctorandos** *Moderador: Bárbara Desántolo* *Méd. Pablo Javier Villanueva · Lic. en biotecnología Rocío García · Prof. Ed. física Matías Santa María · Lic. en Nutrición Fernando Luna*
14:45–15:45 **Auditorio HUI**	**Presentaciones orales – Trabajos de investigación básica seleccionados para premio** *Coordinadora: Vanesa Herlax*	**Exposición de 4 trabajos seleccionados por el comité científico.** 1. Astrocitos, sinapsis y conducta: diferencias sexuales en ratas tratadas con estreptozotocina intracerebroventricular.

	Jurado: Fernando Riccillo, Marina Isla Larrain, Luis Flores	2. Efecto de la Resolvina D1 sobre la maduración ovocitaria in vitro en un modelo bovino de inflamación inducida por lipopolisacárido bacteriano. 3. Efectos de la sobreexpresión de NHE1 mitocondrial en el corazón. 4. La suplementación con ácidos grasos omega-3 previene la hipertrofia cardíaca en ratas ovariectomizadas.
15:45–16:05 **Hall HUI**	**Coffee break**	Espacio de intercambio y recorrida del Museo de Historia de la Medicina–FCM-UNLP.
16:05–17:30 **Auditorio HUI**	**Simposio 2 · Hipertensión arterial: de la población a la célula y de regreso al paciente** *Coordinadores: Alejandro Aiello – Valeria Martínez* Simposio transversal orientado a integrar la epidemiología, los mecanismos básicos, las estrategias traslacionales y la práctica clínica en hipertensión arterial, abordando desde los desafíos poblacionales para su control hasta el daño cardiovascular, la innovación terapéutica y la estratificación del riesgo en el paciente.	**1. Pablo Gulayin.** Contexto epidemiológico y desafíos en el control de la hipertensión arterial. **2. Irene Ennis.** Ejercicio físico y remodelado mitocondrial cardíaco: nuevos mecanismos de protección en hipertensión arterial. **3. Alejandro Orlowski.** Sobreexpresión de ECA2 mediante terapia génica: una estrategia terapéutica para la hipertensión arterial. **4. Walter Espeche.** Hipertensión nocturna y monitoreo ambulatorio en la estratificación del riesgo cardiovascular y materno-fetal. *Discusión integrada*

Jueves 29 de octubre

HORARIO / LUGAR	ACTIVIDAD	DETALLE PRELIMINAR
08:40–09:40 **Auditorio HUI**	**Conferencia 2 – Investigación básica** *Coordinadora: Florencia Andreoli*	**“Los mecanismos que regulan la ingesta de alimentos: ¿qué nos ha enseñado el estudio de la ghrelina?”.** Mario Perelló
09:40–11:00 **Auditorio HUI**	**Simposio 3 · Medicina de Precisión en Ciencias de la Salud: implementación en oncología, cardiología y diagnóstico de enfermedades pediátricas poco frecuentes** *Coordinadores: Martin Abba – María Belén Palma* Simposio transversal orientado a discutir los avances, desafíos y oportunidades para la implementación de la medicina de precisión en diferentes áreas de la práctica médica. La actividad abordará el uso de herramientas diagnósticas, biomarcadores, información genética/genómica, estratificación de riesgo y decisiones terapéuticas individualizadas en oncología, cardiología y enfermedades pediátricas poco frecuentes. Se propone integrar la perspectiva clínica, diagnóstica, tecnológica y asistencial, destacando el rol de los hospitales, los equipos interdisciplinarios y la articulación entre investigación biomédica y práctica médica.	**1. Ezequiel Lacunza.** Identificación de biomarcadores oncogenómicos. **2. Eduardo Carinci.** Medicina de precisión en oncología: biomarcadores, terapias dirigidas y toma de decisiones clínicas. **3. María Celeste Martinoli.** Diagnóstico genético y medicina de precisión en enfermedades pediátricas poco frecuentes. **4. Enrique Monjes.** Medicina de precisión en cardiología: estratificación de riesgo, diagnóstico avanzado y terapias individualizadas. *Discusión integrada*
11:00–11:20 **Hall HUI**	**Coffee break**	Espacio de intercambio y recorrida del museo de la historia de las ciencias médicas.
11:20–12:20 **Auditorio HUI**	**Conferencia 3 – Epidemiología y salud pública** *Coordinador: Eliseo Ferrari*	**“Epidemiología, datos y políticas sanitarias: investigación aplicada para que el médico asistencial pueda decidir mejor”.** *Gustavo Marín*

12:20 a 13:20 Hall HUI	**Almuerzo**	Recorrida guiada de pósters por moderadores y evaluadores.
13:20–14:05 **Auditorio HUI**	**Ética médica y sociedad: debates actuales en ciencias de la salud** *Coordinadores: Gustavo Vallejo – Marta Pérez*	**"El derecho a morir: dilemas éticos, médicos y sociales de la eutanasia".** *Mario Pecheny*
14:05–15:15 **Auditorio HUI**	**Simposio 4 · Vacunas: redefiniendo la protección del mañana** *Coordinadoras: Alejandra Córdoba – Judith Bernstein* Simposio transversal orientado a integrar los avances en nuevas plataformas vacunales con la perspectiva clínica, epidemiológica y sanitaria de los programas de inmunización. La actividad abordará el desarrollo de tecnologías vacunales emergentes, su potencial impacto en la prevención de enfermedades, y los desafíos de implementación, cobertura y evaluación de resultados en salud pública.	**1. Guillermo Docena (virtual).** "Evolución de las vacunas empíricas a vacunas diseñadas racionalmente". **2. Silvia González Ayala.** "Cómo estamos y cuál es el futuro". *Discusión integrada*
15:15–16:15 **Microcine**	**Investigación en el grado** *Coordinadora: Verónica De Giusti*	**1. Mesa redonda: "La importancia de la interacción básico-clínica para la investigación en salud".** *Moderador: Walter Espeche* *Julián Minetto · Magdalena Defeo · Luis Gonano* **2. "¿Cómo hace un estudiante de nuestra Facultad para involucrarse en la investigación?".** *Moderador: Juan Pedro Alconada* *Disertante: Dr. Martin Abba* **Presentación de trabajos de estudiantes de grado** *Emilia Neumann. Estudiante de Medicina. Cátedra de Fisiología y Física Biológica.* *Facundo Colonna Olivera. Estudiante de medicina. Becario de entrenamiento de la CIC en el CINIBA.* *Rodrigo Gacitúa. Pasantía de investigación en la Cátedra de Citología, Histología y Embriología.*
16:15–16:35 **Hall HUI**	**Coffee break**	Espacio de intercambio y recorrida del Museo de Historia de la Medicina-FCM-UNLP.
16:35–17:35 **Auditorio HUI**	**Presentaciones orales – Trabajos clínicos/epidemiológicos/salud pública seleccionados para premio** *Coordinador: Patricio Morgan* *Jurado: Alberto Ré, Marisa Cobos y Liliana Montero Labat*	**Exposición de 4 trabajos clínicos/epidemiológicos/salud pública seleccionados por el comité científico**. 1. Impacto de un entrenamiento cardiorrespiratorio oclusivo de baja intensidad sobre la presión arterial de consultorio y la aptitud física en personas adultas hipertensas. 2. Prevalencia de Helicobacter pylori en biopsias endoscópicas gástricas y su asociación con gastritis crónica activa, metaplasia intestinal y displasia. 3. Deformación longitudinal global del ventrículo izquierdo como marcador precoz de compromiso cardíaco subclínico en adultos jóvenes con presión arterial elevada. 4. ¿Misma población, distinto diagnostico? Impacto de los nuevos puntos de corte en la reclasificación de los fenotipos de presión arterial.
17:35–17:50 **Sala de video conferencias**	**Deliberación de jurados**	Deliberación final de jurados de presentaciones orales y pósters.
17:50–18:30 **Auditorio HUI**	**Acto de clausura, entrega de premios y cierre institutional**	Entrega de premios y menciones: mejor trabajo básico, mejor trabajo clínico/epidemiológico/salud pública y mejor póster presentado por un estudiante de grado de las carreras de la Facultad de Ciencias Médicas. Cierre institucional.

Empresas e instituciones que acompañan las Jornadas 2

BIOSIDUS · BioSystems · Bagó · Facultad de Ciencias Médicas · Universidad Nacional de La Plata

Índice

Investigaciones Clínicas/ Epidemiológicas / Salud Pública

Nº	TÍTULO	AUTORES	Lugar de trabajo	Pág
01	ABORDAJE INTEGRAL DE LA PREVENCIÓN Y SALUD COMUNITARIA EN COMUNIDADES RURALES DEL MONTE SANTIAGUEÑO: REPORTE DE EXPERIENCIA DEL PROYECTO DE EXTENSIÓN.	Pérez Riado Victoria, Flores Madrid Angie Fabiola, Dagand Nehuén, Escobar Luana, Anduran Sofia Daniela, Ianco Fabian Furnodavlos, Lepanto Facundo, Ianini Irina, Lombardi Facundo, Busquets Marcelo Pablo.	Universidad Nacional de La Plata.	25
02	ACTIVIDAD LIPOLÍTICA DE CANDIDA SSPP Y PERFIL PROLIFERATIVO EN CCEO: INTEGRACIÓN DE BIOMARCADORES DEL MICROAMBIENTE TUMORAL.	González Marina; Mayocchi Karina; Blasetti Nahuel; Mayocchi Rubén; Serafino Belén; Cozzi Susana; Canzoneri Romina; Tranchida Cecilia; Ferreri Natalia, De Vita Lucas; Falomir Lisandro; Becerra Romina.	Instituto de Investigaciones Bioquímicas "Prof. Dr. Rodolfo Brenner" (INIBIOLP-CONICET/UNLP) calle 120 y 60 sn, FCM-UNLP.	26
03	ANGIOMATOSIS BACILAR A PROPÓSITO DE UN CASO PEDIÁTRICO.	Rey V, Rolotti M.F, Bello C, Torres Molina L, Garone A, Gómez Peral C.	Hospital de niños Sor María Ludovica.	27
04	ASOCIACIÓN ENTRE ESTRATIFICACIÓN POR NIVEL DE CUIDADO Y DESENLACES CLÍNICOS EN INTERNACIÓN GENERAL DEL HIGA ROSSI: ESTUDIO RETROSPECTIVO.	Martínez Luciano Miguel; Domínguez María Francisca; Bruno Agustina; Centeno María Cecilia; Ferrazuolo Milagros; Gregorio Sofía; Hernández Fabricio; Raquiar Jose; Scaglione Elisa Irene; Vega Noelia Lucia.	Hospital Interzonal General de Agudos Prof. Dr. Rodolfo Rossi (LP).	28
05	COBERTURA VACUNAL PARA EL VIRUS DEL PAPILOMA HUMANO Y USO DE MÉTODOS DE BARRERA EN MUJERES DEL GRAN LA PLATA.	Fleitas U, Ciarmela ML, Bertucci E, López MA, Nomdedeu AM, Stagnaro JP, Schell CM.	Centro Universitario de Estudios Microbiológicos y Parasitológicos (CUDEMyP-UNLP-CIC). FCM.	29

06	COMPARACIÓN DE LA MICROCIRCULACIÓN SUBLINGUAL ENTRE PACIENTES CON TRAUMATISMO GRAVE, SHOCK SÉPTICO Y VOLUNTARIOS SANOS: UN ESTUDIO DE COHORTEP ROSPECTIVO.	Juan Francisco Caminos Eguillor[1, 2, 3], Vanina Siham Kanoore Edul[4], Bernardo Lattanzio[3], Facundo Gutierrez[3], Juan Romano[5], Matías Mugno[5], Arnaldo Dubin[2, 3, 5]	[1]Servicio de Terapia Intensiva, Hospital Interzonal de Agudos "General San Martín", La Plata, Argentina. [2]Cátedras de Terapia Intensiva y Farmacología Aplicada, Facultad de Ciencias Médicas, Universidad Nacional de La Plata, La Plata, Argentina. [3]Laboratorio de Investigación Traslacional, Hospital San Martín, La Plata, Argentina. [4]Servicio de Terapia Intensiva, Hospital Juan A Fernández, Ciudad Autónoma de Buenos Aires, Argentina. [5]Servicio de Terapia Intensiva, Sanatorio Otamendi, Buenos Aires, Argentina.	30
07	COMPOSICIÓN DE MICRONUTRIENTES Y ÁCIDOS GRASOS EN LECHE HUMANA DE MUJERES ATENDIDAS EN UN HOSPITAL PÚBLICO DE LA PLATA.	Visentín S, Matamoros N, Disalvo L, Fasano MV, Fotia Perniciaro L, Mendez I, Casado C, Varea A.	IDIP- Instituto de Desarrollo e Investigaciones Pediátricas "Prof. Dr. Fernando E. Viteri", HIAEP "Sor María Ludovica" de La Plata, Ministerio de Salud/Comisión de Investigaciones Científicas de la Provincia de Buenos Aires, La Plata, Argentina.	31
08	CONSUMO DE BEBIDAS ENERGIZANTES EN ESTUDIANTES DE CIENCIAS MÉDICAS: PANORAMA EPIDEMIOLÓGICO Y EVALUACIÓN DE SU IMPACTO EN LA PRESIÓN ARTERIAL.	Gonano L[1,2], Cerri G[3,4], Minetto J[3,4], Flores AF[1], Pinilla A[1], Espeche W[3,4], Ennis I[1,2].	1: Centro de investigaciones Cardiovasculares Horacio Cingolani CONICET-UNLP; 2: Cátedra de Fisiología y Física Biológica, Facultad de Cs. Médicas UNLP; 3: Unidad de Enfermedades Cardiometabólicas, Hospital San Martín, La Plata; 4: Cátedra de Medicina interna D, Facultad de Cs. Médicas UNLP.	32
09	DEFORMACIÓN LONGITUDINAL GLOBAL DEL VENTRÍCULO IZQUIERDO COMO MARCADOR PRECOZ DE COMPROMISO CARDÍACO SUBCLÍNICO EN ADULTOS JÓVENES CON PRESIÓN ARTERIAL ELEVADA.	Diego Sebastián Broda; Andrés Pinilla, Irene L Ennis	Instituto de Diagnóstico de La Plata, Facultad de Ciencias Médicas, Universidad Nacional de La Plata / Centro de Investigaciones Cardiovasculares "Dr. Horacio E. Cingolani" (CONICET-UNLP)	33

10	DEL TEXTO LIBRE AL CONCEPTO CLÍNICO. UN RECORRIDO POR UNA EXPERIENCIA DE TRABAJO COLABORATIVO EN EL DESARROLLO DE SISTEMAS PARA EL APRENDIZAJE AUTOMÁTICO A TRAVÉS DEL PROYECTO SEMANTIAR.	Julián Sánchez Viamonte, Juan Pablo Stagnaro, Juan Manuel Castelli, integrantes del Proyecto SemantIAr.	Dirección de Salud Digital. Ministerio de Salud de la Provincia de Buenos Aires.	34
11	DIVERSIDAD ALIMENTARIA EN LA POBLACIÓN ADULTA ARGENTINA.	IGNACIO A. MENDEZ[1], MARÍA V. FASANO[1,2]	[1]Instituto de Desarrollo e Investigaciones Pediátricas (IDIP), Hospital Interzonal de Agudos Especializado en Pediatría Sor María Ludovica/Comisión de Investigaciones Científicas - Provincia de Buenos Aires (CICPBA), [2]Centro de Matemática de La Plata (CMaLP), Facultad de Ciencias Exactas, Universidad Nacional de la Plata/CICPBA, La Plata, Buenos Aires, Argentina.	35
12	EFECTO ANTIBACTERIANO DE CANNABIS SATIVA: ENSAYOS IN VITRO FRENTE A STAPHYLOCOCCUS AUREUS METICILINO RESISTENTE.	Fernández SA[1], Bernstein JC[1], González M[2], Clemente M[2], Sannazzaro A[2], Molina NB[1]	[1]Centro Universitario de Estudios Microbiológicos y Parasitológicos. CUDEMyP-CIC-UNLP. La Plata, Buenos Aires, Argentina. [2]Instituto Tecnológico de Chascomús, INTECH-CONICET-UNSAM. Chascomús, Buenos Aires, Argentina.	36
13	EFECTOS DEL ENTRENAMIENTO CARDIORRESPIRATORIO SUPERVISADO SOBRE VARIABLES CLÍNICAS, FUNCIONALES Y BIOMARCADORES DE ENVEJECIMIENTO CELULAR EN ADULTOS CON HIPERTENSIÓN ARTERIAL Y/O DIABETES TIPO 2.	Pereyra, E.*[1] ; Santa María, M.*[2]; Vélez Rueda, J. O,[1]; Minetto, J.[2]; Todoroff, J.[2]; Cerri, G.[2]; Collado, S.[2]; Barreda, M.[2]; Staropoli, F.[2]; Godoy Coto, J.[1]; Desiderio, J.[1]; Ennis, I.[1]; Espeche, W.[2].*Ambos autores.	1. Centro de Investigaciones Cardiovasculares Dr. Horacio E. Cingolani 2. Unidad de Enfermedades Cardiometabólicas del Hospital Interzonal General de Agudos General San Martín de La Plata.	37
14	ESCHERICHIA COLI ENTEROAGREGATIVA: ESTRUCTURA CLONAL Y FACTORES DE VIRULENCIA EN AISLAMIENTOS FECALES EN UNA POBLACIÓN PEDIÁTRICA BONAERENSE.	Nora B. Molina, Beltina León, Alejandra Bosch, Mónica D. Sparo	CUDEMyP-CIC-UNLP	38

15	ESTADO NUTRICIONAL, PATOLOGÍAS MATERNAS Y RESULTADOS PERINATALES EN GESTANTES ADOLESCENTES Y ADULTAS.	Sofía Alejandra Rui (1); Lucrecia Fotia Perniciaro (1); Ana Luz Kruger (1,2); Marisa Sala (1); Rocío Atler (1); Nadia Romina Attie (3); Milagros Mutuberría (4); María Victoria Fasano (1); Ignacio Agustín Méndez (1); Agustina Malpeli (1).	(1) Instituto de Desarrollo e Investigaciones Pediátricas (IDIP), Hospital Interzonal de Agudos Especializado en Pediatría "Sor María Ludovica". La Plata, Buenos Aires, Argentina. (2) CONICET (3) Hospital Zonal Especializado Dr. Noel H. Sbarra. La Plata, Buenos Aires, Argentina. (4) Centro de Investigación y Desarrollo en Criotecnología de Alimentos (CIDCA), CONICET–UNLP–CIC. La Plata, Buenos Aires, Argentina.	39
16	ESTRATEGIAS DIAGNOSTICAS Y TERAPEUTICAS EN UNA CLINICA DE MEMORIA EN EL CONURBANO BONAERENSE.	Patricia Solis [1,2,3], Ines Mintz [1,2,] Nancy Medel [1,2], Zulma Sevillano [1,2,] Julieta Lisso [1,2], Nicolas Irureta [1,2], Mauricio Federico Zalazar-Jaime [4], Brenda Giagante [1,3,] Maria Carolina Dalmasso [1,] Silvia Kochen [1,3]	1. Unidad de Estudios en Neurociencias y Sistemas Complejos (ENyS-CONICET-Universidad Nacional Arturo Jauretche-Hospital El Cruce), Florencio Varela, Argentina. 2. Consultorio de Trastornos de Memoria, Atención Médica Integral (AMI), Hospital El Cruce, Florencio Varela, Buenos Aires, Argentina. 3. Departamento de Neurociencias, Hospital El Cruce, Buenos Aires, Argentina. 4. Facultad de Psicología, Universidad Nacional de Córdoba, Córdoba, Argentina.	40
17	ESTRÉS AUTOPERCIBIDO Y CALIDAD DEL SUEÑO EN ESTUDIANTES UNIVERSITARIOS: ASOCIACIÓN CON PARÁMETROS CARDIOVASCULARES.	Gabriela Mabel Sánchez Álvarez, Pilar López Romero, Solange Busto Camales, Camila Florencia Rosas, Gabriela Alejandra Martínez, Cugnetto Hernán, Samara Zoe Pucci, Ángela Ortega, Samara Zoe Pucci, María Mariño Inga, Marian Marlene Rodríguez, Andrés Pinilla	Cátedra de Fundamentos de la Práctica Cardiológica – Tecnicatura en Prácticas Cardiológicas, Facultad de Ciencias Médicas, Universidad Nacional de La Plata.	41
18	ESTUDIO DE MORTALIDAD ATRIBUIBLE A BACTERIEMIAS POR ENTEROBACTERALES RESISTENTES A CARBAPENÉMICOS.	Bernan Marisa, Russo María Eugenia, Suarez Mariana	HIGA San Roque Gonnet	42
19	ESTUDIO EPIDEMIOLÓGICO DE LA PREVENCIÓN PERINATAL DURANTE LA GESTACIÓN.	NP Mattarollo[1], P Andrade[1], , JC Bernstein[2], MM Di Catarina[3], V Roldán [4],TA Ruíz Díaz [4], MM Selimán Echeverría [4], A Damico[4], MP Cuco [4], MM Cobos[1]	Cátedra de Infectología[1]; Cátedra de Microbiología y Parasitología[2], FCMUNLP; Centro de Atención Primaria de la Salud, Ensenada[3]; Estudiantes participantes del Proyecto de Extensión "Prevención de Infecciones pre y perinatales", FCM-UNLP	43

20	EVALUACIÓN DEL CONSUMO DE ALIMENTOS Y PRODUCTOS AGROECOLÓGICOS EN LA POBLACIÓN RELACIONADA AL PROYECTO DE EXTENSIÓN UNIVERSITARIA DE UNLP "LAS RAÍCES DE LAS OLLAS DE BERISSO". UNA MIRADA DESDE LA SOBERANÍA ALIMENTARIA.	Galletti Romero Micaela, Ormato Evelin Anahi, Varela María Soledad, D'Alfonso Bernardita, Hernández Malán Arena, Isla Larrain Marina T*	Facultad de Ciencias Médicas.	44
21	EVALUACIÓN DEL CUMPLIMIENTO DEL CÓDIGO INTERNACIONAL DE COMERCIALIZACIÓN DE SUCEDÁNEOS DE LA LECHE MATERNA EN SUPERMERCADOS DE MUNICIPIOS DE LA PROVINCIA DE BUENOS AIRES ENTRE LOS MESES NOVIEMBRE Y DICIEMBRE DEL AÑO 2025.	Ancheta, Oriana Belén; Ferreiro, Emilia; García, Carolina Magalí; Pesoa, Agustina; Rambo, Milagros Jaqueline; Salinas, Micaela Gisella; Zotarelli, Julieta; D' Alfonso, Bernardita; Specogna, Mariana Bárbara.	Facultad de Ciencias Médicas.	45
22	EXPRESIÓN DE ANTÍGENO LEUCOCITARIO HUMANO G Y FACTOR DE CRECIMIENTO DEL ENDOTELIO VASCULAR A EN EL CARCINOMA UROTELIAL DE VEJIGA.	Moavro, Damián E.[1, 2]; Palma, María Belén[1]; Martínez, Kevin[1]; Iribarne, Ailén[1]; Riccillo, Fernando[1]; García, Marcela N[1].	1- Cátedra de Citología, Histología y Embriología, Facultad de Ciencias Médicas, Universidad Nacional de La Plata; 2- H.I.G.A. "Gral. San Martín" de La Plata.	46
23	FRECUENCIA DE VAGINOSIS BACTERIANA EN UNA POBLACIÓN DE MUJERES EN EDAD FÉRTIL DE LA CIUDAD DE LA PLATA.	Carballido MD, Fernández SA, Molina NB, Risso MB, Visñevsky LB, Córdoba MA, Bernstein JC	Centro Universitario de Estudios Microbiológicos y Parasitológicos (CUDEMyP-UNLP-CIC).	47
24	HÁBITOS ALIMENTARIOS, ESTILO DE VIDA Y ESTADO NUTRICIONAL EN ESTUDIANTES DE PRIMER AÑO DE MEDICINA.	D' Alfonso B, Domínguez GH, Elgart JF, Francini F.	CENEXA. (UNLP-CONICET-CeAs CICPBA), FCM y FCE, UNLP.	48
25	HIPOTENSIÓN NOCTURNA Y PATRÓN EXTREME DIPPER EN MONITOREO AMBULATORIO DE PRESIÓN ARTERIAL: PREVALENCIA, CONCORDANCIA Y FACTORES ASOCIADOS EN UNA COHORTE REAL.	Minetto Julián [a,b], Espeche Walter Gastón[a,b], Pacho Calvo Sofía [a,b] , Cerri Gustavo Ricardo[a,b], Giordani Ezequiel [a,b] , Olano Daniel [a,b] , Costa Mariano, Jeremias Altuna Ruiz [a,b], Juan Francisco Todoroff [a,b] , Juan Ignacio Perez Duhalde [a,b], , Leiva Sisnieguez Carlos Enrique [a,b], Salazar Martin Rogelio [a,b], Leiva Sisnieguez Cecilia [a,b].	a Unidad Enfermedades Cardiometabólicas HIGA San Martín La Plata b Facultad de Ciencias Médicas UNLP	49
26	HISTORIAS QUE ALIMENTAN - VALORACIÓN DE BOLSONES DE PRODUCTOS AGROECOLÓGICOS EN EL CINTURÓN HORTÍCOLA PLATENSE: UNA PROPUESTA DE CONEXIÓN ENTRE PRODUCTORES Y CONSUMIDORES.	D´Adario, C, Delgado, LA, Dobos Palacios, I, Ferrería, L, Gil Vicencio, D, Murdoch, J, Nassi, ME, Ortiz, CB, Guidi, MG; Fontana, PA.	Facultad de Ciencias Médicas, UNLP.	50

27	IMPACTO DE LA CLASIFICACIÓN UTILIZADA SOBRE LA PREVALENCIA DE HIPERTENSIÓN ARTERIAL EN UNA POBLACIÓN EVALUADA MEDIANTE UNA ÚNICA MEDICIÓN DE PRESIÓN ARTERIAL.	Samara Zoe Pucci, Pilar López Romero, Gabriela Mabel Sánchez Álvarez, Solange Busto Camales, Camila Florencia Rosas, Gabriela Alejandra Martínez, Cugnetto Hernán, Ángela Ortega, María Mariño Inga, Marian Marlene Rodríguez, Andrés Pinilla.	Cátedra de Fundamentos de la Práctica Cardiológica – Tecnicatura en Prácticas Cardiológicas, Facultad de Ciencias Médicas, Universidad Nacional de La Plata.	51
28	IMPACTO DE LA REPETICIÓN DE LAS MEDICIONES DE PRESIÓN ARTERIAL EN LA CLASIFICACIÓN DE HIPERTENSIÓN SEGÚN LA ESC 2024 EN MUJERES ADULTAS.	Pilar López Romero, Gabriela Mabel Sánchez Álvarez, Solange Busto Camales, Camila Florencia Rosas, Gabriela Alejandra Martínez, Cugnetto Hernán, Ángela Ortega, Samara Zoe Pucci, María Mariño Inga, Samara Zoe Pucci, Marian Marlene Rodríguez, Andrés Pinilla	Cátedra de Fundamentos de la Práctica Cardiológica – Tecnicatura en Prácticas Cardiológicas – Facultad de Ciencias Médicas, Universidad Nacional de La Plata.	52
29	IMPACTO DE UN ENTRENAMIENTO CARDIORRESPIRATORIO OCLUSIVO DE BAJA INTENSIDAD SOBRE LA PRESIÓN ARTERIAL DE CONSULTORIO Y LA APTITUD FÍSICA EN PERSONAS ADULTAS HIPERTENSAS.	Santa María, M; Minetto, J; Cerri, G; Collado, S; Barreda, M; Staropoli, F; Espeche, W.	Unidad de Enfermedades Cardiometabólicas. HIGA San Martín.	53
30	IMPORTANCIA DE LAS RADIOGRAFIAS PANORAMICAS PREOPERATORIAS DE RUTINA, PARA LA DETECCION DE PATOLOGIAS, ANOMALIAS DENTARIAS Y OSEAS DE HALLAZGOS IMAGENOLOGICOS.	Autores: YUNES, F. F.; RICCIARDI N.; CAPRARO M. E. Asesores: OJEDA, P.; ALFANO, T.	Cirugía A, Facultad De Odontología De La Universidad Nacional De La Plata, Buenos Aires, Argentina.	54
31	LA LABOR OBSTÉTRICA EN LA REGIÓN SANITARIA XI DE LA PLATA BUENOS AIRES.	Salsa Cortizo, Victoria	Cátedra de Salud y Medicina Comunitaria, FCM, UNLP	55
32	¿MISMA POBLACIÓN, DISTINTO DIAGNOSTICO? IMPACTO DE LOS NUEVOS PUNTOS DE CORTE EN LA RECLASIFICACIÓN DE LOS FENOTIPOS DE PRESIÓN ARTERIAL.	Espeche Walter Gaston[a,b], Cerri Gustavo Ricardo[a,b], Minetto Julian[a,b], Pacho Calvo Sofia[a,b], Todoroff Juan Francisco[a,b], Perez Duhalde Juan Ignacio[a,b], Altuna Ruiz Jeremias[a,b], Campillo Pablo[a], Balbin Eduardo[a], Olano Daniel[a], Leiva Sisnieugez Carlos Enrique[a,b], Leiva Sisnieugez Cecilia B[a,b], Martinez Camilo[a,b], Giordani Ezequiel[a,b], Costa Mariano[a], Tavella Alberto[a,b], Garrigue Jesica[a,b], Gomez Daniela[a], De Iraola Ana[a], Sanchez Trapes Pedro[a], Santa Maria Matias[a,b], Barreda Macarena[a], Collado Sebastian[a], Staropoli Fabrizio[a], Carbajal Horacio[b], Salazar Martin Rogelio[a,b].	A. Unidad de Enfermedades Cardiometabolicas, HIGA San Martin de La Plata. B. Facultad de Ciencias Médicas, Universidad Nacional de La Plata.	56

33	NEUMONÍA ADQUIRIDA EN LA COMUNIDAD EN ADULTOS MAYORES: ETIOLOGÍA, DIAGNÓSTICO Y MORTALIDAD EN UNA COHORTE.	Martinez Luciano Miguel; Mykietiuk Analia; Scala Sebastian Luis; Bayon Gonzalo; Chapartegui Sebastian; Esposito Florencia Ayelen; Ferremi Fiorella Jazmin; Obed Mora.	Grupo Sur Investigacion Clinica (Depto investigación Instituto Médico Platense).	57
34	PERFIL DIMENSIONAL DEL ESTRÉS ACADÉMICO EN ESTUDIANTES DE MEDICINA Y DE LA TECNICATURA EN PRÁCTICAS CARDIOLÓGICAS.	María Mariño Inga, Cugnetto Hernán, Pilar López Romero, Gabriela Mabel Sánchez Álvarez, Solange Busto Camales, Camila Florencia Rosas, Gabriela Alejandra Martínez, Ángela Ortega, Samara Zoe Pucci, Samara Zoe Pucci, Marian Marlene Rodríguez, Andrés Pinilla.	Cátedra de Fundamentos de la Práctica Cardiológica – Tecnicatura en Prácticas Cardiológicas, Facultad de Ciencias Médicas, Universidad Nacional de La Plata.	58
35	PESQUISA DE LA PRESIÓN ARTERIAL DIASTÓLICA EN ADULTOS EVALUADOS EN ESPACIOS PÚBLICOS DE LA PLATA.	Yamila Pirosanto, Luisa González Arbeláez, Juliana Fantinelli, Daiana Escudero, Alejandra Yeves, Valeria Martínez, R. Gisel Díaz, Patricio E. Morgan.	Centro de Investigaciones Cardiovasculares "Horacio E. Cingolani".	59
36	PREVALENCIA DE HELICOBACTER PYLORI EN BIOPSIAS ENDOSCÓPICAS GÁSTRICAS Y SU ASOCIACIÓN CON GASTRITIS CRÓNICA ACTIVA, METAPLASIA INTESTINAL Y DISPLASIA.	Capdet, Silvia Elizabeth; Cordón Parladorio, María Eugenia; Tristán, Joaquín; Laffeuillade, Lucas Damian; Moavro, Damián Ezequiel; Aracil, Juan Antuel; Capurro, Nicolás Julio	Servicio de Patología, H.I.G.A. "Gral. San Martín" de La Plata.	60
37	PRIMER REPORTE DE LA CARACTERIZACIÓN GENÓMICA DE UN PLÁSMIDO PORTADOR DEL GEN OPTRA DETECTADO EN ENTEROCOCCUS FAECALIS ST314 PROVENIENTE DE UN HOSPITAL PÚBLICO DE ARGENTINA.	Celia Schell, Judith Bernstein, Marisa López, Serena Simoni, Francesca Romana Massacci, Eleonora Giovanetti, Andrea Brenciani.	Centro Universitario de Estudios Microbiológicos y Parasitológicos (CUDEMyP-UNLP-CIC). FCM. Dpto. de Ciencias Biomédicas y Salud Pública, FCM, Universidad Politécnica Delle Marche (UPDM). Ancona, Italia.	61
38	¿QUÉ SE INVESTIGA EN UN HOSPITAL PÚBLICO? PERFIL DE LOS PROTOCOLOS DE INVESTIGACIÓN DE UN HOSPITAL PEDIÁTRICO DE LA PROVINCIA DE BUENOS AIRES.	Varea A, Matamoros N, Sala M, Vericat A, Defranco D, Jalil N, López M, Malpeli A.	IDIP – Instituto de Desarrollo e Investigaciones Pediátricas "Prof. Dr. Fernando E. Viteri", Hospital Interzonal de Agudos Especializado en Pediatría "Sor María Ludovica", Ministerio de Salud de la Provincia de Buenos Aires – Comisión de Investigaciones Científicas de la Provincia de Buenos Aires, La Plata, Buenos Aires, Argentina.	62
39	RELACIÓN ENTRE HBA1C Y CD4/CD8 EN RECEPTORES DE TRASPLANTE RENAL.	Garay, María Eugenia; Occhiuzzi, Silvina; Maiz, Clara; Cobos, Marisa.	Cátedra de Trasplantes – Facultad de Ciencias Médicas-UNLP.	63

40	RESULTADOS, SUBJETIVIDADES Y POSTRANSICIÓN DE LA MASCULINIZACIÓN DE TÓRAX CON COLGAJO LIBRE DE CAPS EN VARONES TRANSGENERO.	Pablo Javier Díaz (*) (**), Alvarez Mauyuri (*), José Alejandro Chourio (*), Ana Clara Gimenez (*) (***)	(*) HZGA Dr. Eduardo Wilde. (**). Citología, Histología y Embriología. FCM. UNLP. (***) Fac. Psicología. UBA.	64

Investigaciones Básicas

N°	TÍTULO	AUTORES	Lugar de trabajo	Pág
41	AAV9-ACE2 COMO ESTRATEGIA DE TERAPIA GÉNICA PARA LA MODULACIÓN DEL SISTEMA RENINA-ANGIOTENSINA EN LA HIPERTENSIÓN ARTERIAL	Ciarrocchi Sofía[1], Gallo Delfina[1], Ciancio M. Carolina[1], Pinilla O. Andrés[1], Franchini Gisela[2], Aiello E. Alejandro[1], Orlowski Alejandro[1]	[1]Centro de Investigaciones Cardiovasculares "Dr. Horacio E. Cingolani", Facultad de Ciencias Médicas, Universidad Nacional de La Plata – CONICET. La Plata, Argentina [2]Instituto de Investigaciones Bioquímicas de La Plata, Facultad de Ciencias Médicas, Universidad Nacional de La Plata – CONICET. La Plata, Argentina	66
42	ACTIVACIÓN INFLAMATORIA Y PROFIBRÓTICA DE MACRÓFAGOS MEDIADA POR NHE1 EN LA FIBROSIS PERITONEAL ASOCIADA A DIÁLISIS PERITONEAL.	Aguerrebehere Zarate, V.1; Ciancio, M.C.1; Barabani, C.M.2; Saens, V.2; De los Santos, S.2; Castro, P. 2; Bruzone, M.E.2; Aiello, E.A. 1; Jaquenod De Giusti, C. 1.	1.Centro de Investigaciones Cardiovasculares "Dr. Horacio E. Cingolani", Facultad de Ciencias Médicas, UNLP, Argentina; 2. Servicio Nefrología. HIGA Gral San Martín de La Plata.	67
43	ACTIVIDAD REPELENTE DE MIRCENO Y Β-CARIOFILENO SOBRE NINFAS DE TRIATOMA INFESTANS: EFECTO DE LA CONCENTRACIÓN Y DEL TIEMPO DE EXPOSICIÓN.	Medina Vera, R[1]; Dubiel, C[2]; Schinella, G[3]; Marin, G[3]; Dadé, M[1,2,3]	[1]Instituto de Ciencias de la Salud, Universidad Nacional Arturo Jauretche. [2]Sede Alto Valle-Valle Medio, Universidad Nacional de Río Negro. [3]Facultad de Ciencias Médicas, Universidad Nacional de La Plata.	68
44	ALTERACIONES GLIALES REGIONALES ASOCIADAS A LA EXPOSICIÓN SISTÉMICA A PCPV2 EN RATAS ADULTAS.	Vidal Escobedo AA[1], Peralta F[1], Diaz Baliero JEA[1,2], Canale DS[1], Lasarte J[1], Soldati KB[1], Reggiani PC[1,2].	1- Instituto de Investigaciones Bioquímicas de La Plata `Prof. Dr. Rodolfo R. Brenner´ (CONICET-UNLP) 2- Cátedra de Citología, Histología y Embriología, Facultad de Ciencias Médicas, UNLP.	69

45	ANÁLISIS DE LA INTEGRIDAD DE MUESTRAS DE TEJIDO ADIPOSO PARA SU POSIBLE USO EN REGENERACIÓN DE HERIDAS COMPLEJAS.	Palma, M. Belén[1]; Camilleti, María A.[2,5]; Rodrigo, Jimena[3]; Moavro, Damián E.[1]; Iribarne, Ailen[1,2,5]; Martinez, Kevin I. [1,5]; Berra, Alejandro[4,5]; García, Marcela N[1].	1- Catedra de Citología, Histología y Embriología, FCM, UNLP. 2- LIAN, INEU-CONICET, FLENI. 3- Dpto. de Cirugía Plástica, Centro de Educación Médica e Investigación Clínica "Norbeto Quirno" (CEMIC). 4- CEMET, Hospital "El Cruce". 5- CONICET	70
46	ANATOMIA FUNCIONAL Y BIOMECÁNICA DEL PULGAR.	Núñez, F; Andrade, P; Luisi,A; Domecq; Palacios, S; Sánchez Calot, M; Gómez Oro, C.	Catedra de anatomía A ; FCM UNLP.	71
47	ASTROCITOS, SINAPSIS Y CONDUCTA: DIFERENCIAS SEXUALES EN RATAS TRATADAS CON ESTREPTOZOTOCINA INTRACEREBROVENTRICULAR.	Facundo Peralta[1], Juliette López Hanotte[1], Carole Escartin[2,3], María Ángeles Carrillo-de Sauvage[2,3], Paula Cecilia Reggiani[1,4].	1- Facultad de Ciencias Médicas, Instituto de Investigaciones Bioquímicas de La Plata "Profesor Doctor Rodolfo R. Brenner" (CONICET-UNLP), La Plata, Argentina. 2- Laboratoire Des Maladies Neurodégénératives, Université Paris-Saclay, CEA, CNRS, MIRCen, Paris, France. 3- Université Paris-Saclay, CNRS, NeuroPSI, Paris, France. 4- Cátedra de Citología, Histología y Embriología, Facultad de Ciencias Médicas (UNLP), La Plata, Argentina.	72
48	CAMBIOS CARDIOMETABÓLICOS EN UN MODELO DE SOBREPESO A TRAVÉS DE DOS DIETAS HIPERGRASAS DIFERENTES.	Gustavo Josué Monzón, Valeria Martínez, Rocio B. García, Paula Blanco, Eva Tejerina, Omar Velez Rueda, Noelia Rossetti, María Celeste Villa Abrille, Verónica C. De Giusti.	Centro de Investigaciones Cardiovasculares de La Plata CONICET-UNLP.	73
49	CARACTERIZACIÓN DINÁMICA DE LOS EFECTOS DE LA INFECCIÓN ORAL POR BEAUVERIA BASSIANA EN TRIBOLIUM CASTANEUM: MORFOLOGÍA E INMUNIDAD.	Ledesma, Francisco Tomás[(1)]; Preisegger, Lautaro[(1)]; Ghilini, Fiorella[(2)]; Mannino, M. Constanza[(1)]	[(1)]Instituto de Investigaciones Bioquímicas de La Plata "Profesor Doctor Rodolfo R. Brenner" (INIBIOLP), UNLP, CONICET [(2)]Instituto de Investigaciones Fisicoquímicas Teóricas y Aplicadas (INIFTA), UNLP, CONICET.	74
50	CONTRIBUCIÓN DE LAS MEDIDAS TRANSVERSALES DEL HÚMERO Y FÉMUR A LA RECONSTRUCCIÓN DEL PERFIL BIOLÓGICO INFANTIL.	Peña V., García-Mancuso R, Plischuk M. y Desántolo B.	Laboratorio de Investigaciones en Ciencias Forenses (LICIF)	75

51	DESARROLLO DE ANTICUERPOS PARA LA TIPIFICACIÓN DE AMILOIDOSIS.	Silvana A. Rosú (1,2); M., Gustavo A. Gotelli (3), , Marina Isla Larrain(4); Alejandra Tricerri (1,2).	(1)Instituto de Investigaciones Bioquímicas de La Plata (INIBIOLP, CONICET-UNLP), (2) Facultad de Ciencias Médicas, UNLP; (3) Kalium Technologies S.R.L.; (4) Centro de Investigaciones Inmunológicas Básicas y Aplicadas (CINIBA, FCM-UNLP).	76
52	DESARROLLO DE UN MODELO 3D DE CÁNCER DE MAMA PARA ENSAYOS TERAPÉUTICOS IN VITRO.	Colonna F, Calderone M, Muglia C, Isla Larrain M	Centro de Investigaciones Inmunológicas Básicas y Aplicadas. CINIBA- UNLP-asociado a CICPBA-Instituto de Estudios Inmunológicos y Fisiopatológicos IIFP-UNLP-CONICET-CICPBA.	77
53	DIGITALIZACIÓN DEL REGISTRO OSTEOLÓGICO Y TAFONÓMICO EN LA COLECCIÓN LAMBRE: IMPLEMENTACIÓN DE UN PROTOCOLO PARA LA GESTIÓN DE INFORMACIÓN EN LABORATORIO.	Brunetti, Brisa Rocío; Miguez, Linda Jezabel; Desántolo, Bárbara.	Laboratorio de Investigaciones en Ciencias Forenses (LICIF)	78
54	DILUCIDANDO LOS MECANISMOS CELULARES QUE SUBYACEN A LA DISFUNCIÓN MIOCÁRDICA INDUCIDA POR SEPSIS: CARACTERIZACIÓN DEL ROL DEL INTERCAMBIADOR SODIO-HIDRÓGENO DE TIPO 1 (NHE1).	Racioppi MF, Vila Petroff M y Jaquenod De Giusti C.	Centro de investigaciones cardiovasculares Horacio Cingolani, Facultad de Ciencias Médicas, CONICET-UNLP.	79
55	DISTRIBUCIÓN TOPOGRÁFICA Y SIMETRÍA BILATERAL DE LOS FORÁMENES VASCULARES DE LA CARA INFERIOR DEL CUELLO DEL ASTRÁGALO: ESTUDIO EN HUESO SECO	Andrade, P; Luisi, A; Navickas, V; Castro Aparicio, I; Núñez, F; Gómez Oro, C; Domecq R.	Catedra de Anatomía A; Facultad de Ciencias Médicas UNLP	80

56	EFECTO DE DOS COMPUESTOS NATURALES CON ACTIVIDAD ANTIOXIDANTE SOBRE LAS ALTERACIONES METABÓLICAS INDUCIDAS POR UNA DIETA RICA EN FRUCTOSA.	Molino DA[1], Villagarcía HG[1], González Arbeláez LF[2], Román CL[1], Schinella GR[3,4], Francini F[1].	[1]CENEXA. Centro de Endocrinología Experimental y Aplicada (UNLP-CONICET, FCM-FCE, CeAs CICPBA). Cátedra de Biología, FCM-UNLP. [2]CIC. Centro de Investigaciones Cardiovasculares "Doctor Horacio Eugenio Cingolani" (CONICET-UNLP) [3]UNLP - Facultad de Ciencias Médicas, Cátedra de Farmacología Básica. [4]UNAJ-CICPBA, Instituto de Ciencias de la Salud.	81
57	EFECTO DE LA RESOLVINA D1 SOBRE LA MADURACIÓN OVOCITARIA IN VITRO EN UN MODELO BOVINO DE INFLAMACIÓN INDUCIDA POR LIPOPOLISACÁRIDO BACTERIANO.	Sella María Eugenia, Campagna Anabella, Fabra Mariana, Piscicelli Martina, Taminelli Guillermo, Rice Marcos, Nikoloff Noelia, Carranza-Martin Ana.	Pontificia Universidad Católica Argentina (UCA) CONICET, Facultad de Ingeniería y Ciencias Agrarias (FICA), Laboratorio de Reproducción Animal. Av. Alicia Moreau de Justo 1500 (CP 1107) – Ciudad Autónoma de Buenos Aires, Argentina.	82
58	EFECTO DE LA RESOLVINA E1 SOBRE EL DESARROLLO Y LA CALIDAD EMBRIONARIA TEMPRANA.	Piscicelli M, Aldabe C, Sella E, Fabra C, Campagna A, Taminelli G, Nikoloff N, Carranza-Martin A.	Universidad Católica Argentina de Buenos Aires.	83
59	EFECTO MODULADOR DEL ÁCIDO 4-FENILBUTÍRICO SOBRE LOS MICROARNS IMPLICADOS EN LA DISFUNCIÓN Y PÉRDIDA DE MASA DE CÉLULAS B EN UN MODELO MURINO DE PREDIABETES.	Farromeque Vásquez Sherley, Mencucci María Victoria, Román Carolina Lisi, Flores Luis Emilio, Maiztegui Bárbara	CENEXA (Centro de Endocrinología Experimental y Aplicada – UNLP CONICET CCT La Plata – CEAS CICPBA), Facultad de Ciencias Médicas, UNLP. Argentina.	84
60	EFECTO REGENERATIVO DE UN EXTRACTO CON ALTO CONTENIDO EN CANNABIDIOL (CBD) EN UN MODELO DE LESIÓN CUTÁNEA EN UNA CEPA MURINA. RESULTADOS PRELIMINARES.	Gacitúa Opazo RI (E); Iribarne A; Andrini LB; Moavro DE; Palma MB; García MN; Riccillo FL y Martínez KI.	Catedra de Citología, Histología y Embriología, Facultad de Ciencias Médicas, Universidad Nacional de La Plata	85
61	EFECTOS DE LA SOBREEXPRESIÓN DE NHE1 MITOCONDRIAL EN EL CORAZÓN.	Rayen De Fazio[1], Paula Blanco[2], Alejandro Orlowski[1], Ernesto A. Aiello[1], Carolina Jaquenod De Giusti[1].	[1] Centro de Investigaciones Cardiovasculares, Facultad de Cs Médicas, UNLP- CONICET; [2] Centro de Fisiología Reproductiva y Métodos Complementarios de Diagnóstico, Facultad de Cs Veterinarias -UNLP	86

62	EL INTERCAMBIADOR NA+/H+ (NHE1) UNA IMPORTANTE DIANA PARA DOS NUEVOS METALOFÁRMACOS DE COBRE(II) CON DIPÉPTIDOS EN CÁNCER DE MAMA TRIPLE NEGATIVO.	Katherine Seneth Muñoz Garzón, Natalia Álvarez, Gianella Facchin, Valeria Martínez ,Verónica de Giusti, Ana Laura Di Virgilio.	CEQUINOR-CIC	87
63	EL METABOLISMO ANAERÓBICO EXPLICA EL AUMENTO DEL POTASIO PLASMÁTICO EN EL SHOCK HEMORRÁGICO.	Juan Francisco Caminos Eguillor, Gonzalo Ferrara, Héctor Saúl Canales, Facundo Gutierrez, Luis Gatti, Bernardo Lattanzio, Rossi Gabriela, Gonzalo Pontiggia, María Cristina du Plessis, Mario Omar Pozo, Arnaldo Dubin.	Laboratorio de Investigación Traslacional "Transporte de Oxígeno y Oxigenación Tisular", Hospital Interzonal General de Agudos "Gral. San Martín" de La Plata y Facultad de Ciencias Médicas, Universidad Nacional de La Plata.	88
64	EL SITIO SER^{2367} DE RYR2 MODULA LA RESPUESTA DEL CA^{2+} VENTRICULAR AL AUMENTO DE LA FRECUENCIA CARDÍACA.	Jaquenod De Giusti, C.[1]; Gonano, L.[1]; Sacoto Molina, A [2], Labanda, M.[2] Aguilar-Sanchez J. [3]; Ramos-Franco J. [4]; Wehrens, X. [5]; Valverde, C.A.[1], Mattiazzi, A.[1].	1. Centro de Investigaciones Cardiovasculares "Dr. Horacio E. Cingolani", Facultad de Ciencias Médicas, UNLP, Argentina; 2. Facultad de Medicina y Ciencias de la Salud, Universidad Abierta Interamericana, Argentina; 3. Department of Veterinary Physiology and Pharmacology, College of Veterinary Medicine & Biomedical Sciences, Texas A&M University, College Station, TX, USA. 4. Department of Physiology and Biophysics, Rush University Medical Center, Chicago, IL, USA. 5. Cardiovascular Research Institute, Baylor College of Medicine, TX, USA.	89
65	EXPRESIÓN DE LA PROTEÍNA HOMÓLOGA DE HLA-G, QA-2, EN EL HÍGADO DE RATONES BAJO CONDICIONES FISIOLÓGICAS NORMALES.	A Fernández Blanco[1], EB Alegría Perez[1], FJ Corrons[1], K Martínez[1], B Maiztegui[2], SC Farromeque Vásquez[2], ED Carosella[3], MN García[1]	[1]Cátedra de Citología. Histología y Embriología, Facultad de Ciencias Médicas, Universidad Nacional de La Plata, Buenos Aires, Argentina. [2]CENEXA, Centro de Endocrinología Experimental y Aplicada (UNLP-CONICET LA PLATA; Centro Asociado CICPBA), Facultad de Ciencias Médicas, Universidad Nacional de La Plata, Buenos Aires, Argentina. [3]CEA, SRHI, Université Paris Diderot, IUH, Hôpital Saint-Louis, Paris, France.	90

66	EXPRESIÓN RECOMBINANTE Y CARACTERIZACIÓN DE FABP5 HUMANA PARA SU EVALUACIÓN COMO BLANCO TERAPÉUTICO ANTITUMORAL.	Andrea Paredes Bellon; Natalia Scaglia; Gisela Franchini	Instituto de Investigaciones Bioquímicas de La Plata "Prof. Doctor Rodolfo R. Brenner" (INIBIOLP, UNLP/CONICET) Facultad de Ciencias Médicas.	91
67	HABILIDAD MICROQUIRÚRGICA: EVALUACIÓN OBJETIVA Y MEJORA CONTINUA MEDIANTE INGENIERÍA DE PROCEDIMIENTOS CON SOPORTE EN CIENCIA DE DATOS.	Villanueva, Pablo J. Stringa, Pablo. Lausada, Natalia R	Laboratorio de Microcirugía, Universidad Nacional de La Plata — Universidad de Buenos Aires.	92
68	INNOVACIÓN EN EL AULA: MODELO TRIDIMENSIONAL HIPERREALISTA COMO RECURSO DIDÁCTICO PARA EL ESTUDIO DEL CORAZÓN.	Palacios S; Domecq R; Navickas V; Arrieta A; Sánchez Calot M; Núñez F.	Catedra de Anatomia A Facultad de Ciencias Médicas UNLP.	93
69	INVESTIGAR LA FORMACIÓN UNIVERSITARIA Y EL EJERCICIO PROFESIONAL EN SALUD: HALLAZGOS SOBRE LAS TRAYECTORIAS DE GRADUADXS EN TRABAJO SOCIAL.	Silvana Cerasa, Carina Scharagrodsky, Susan López, Chiara Soto, Nubia Malianni Serante, Bruno Scavuzzo.	IETSyS (FTS/UNLP)	94
70	LA DISMINUCIÓN DE BIN1 COMO MARCADOR TEMPRANO DEL REMODELADO DE LOS TÚBULOS T EN CORAZONES HIPERTRÓFICOS DE RATAS ESPONTÁNEAMENTE HIPERTENSAS.	Rodríguez Margarita Azul, Mundiña-Weilenmann Cecilia, Said Matilde	Centro de Investigaciones Cardiovasculares, CCT-La Plata, CONICET, Facultad de Ciencias Médicas, UNLP	95
71	LA SUPLEMENTACIÓN CON ÁCIDOS GRASOS OMEGA-3 PREVIENE LA HIPERTROFIA CARDÍACA EN RATAS OVARIECTOMIZADAS.	García RB, Zavala MR, Godoy Coto J, Díaz RG, Pinilla A, Vélez Rueda JO, Lofeudo JM, Pérez NG, De Giusti VC, Villa Abrille MC.	Centro de Investigaciones Cardiovasculares – "Dr. Horacio E. Cingolani" - Fac. Cs. Médicas UNLP-CONICET.	96
72	LOS ÁCIDOS GRASOS DE CADENA CORTA (AGCC) PRODUCIDOS POR LA MICROBIOTA TIENEN EFECTOS DIRECTOS EN LAS CÉLULAS CARDÍACAS.	Moraña Rubin, Francisco; Angeloni, Fiamma; Arens, Juan Cruz; Ortiz Yané, Mateo; Racrido, María L; Calfunao, Nahuel; López Arévalo, Sofia; García, Lucia; Martínez, Valeria; De Giusti, Verónica.	Centro de Investigaciones Cardiovasculares CONICET-UNLP	97
73	LÚPULO ATENÚA EL DAÑO POR ISQUEMIA-REPERFUSIÓN MIOCÁRDICA: EVIDENCIA DE CARDIOPROTECCIÓN ASOCIADA A UN AUMENTO DE LA DEFENSA ANTIOXIDANTE.	Colareda, Germán A. (1); Díaz, Romina G. (2); Consolini, Alicia E.(1)	1 Laboratorio de Farmacología Experimental y Energética Cardíaca (LaFEyEC), Facultad de Ciencias Exactas, UNLP. 2 Centro de Investigaciones Cardiovasculares (CIC) CONICET-UNLP.	98

74	MECANISMOS INVOLUCRADOS EN LA CARDIOPROTECCIÓN DE LA HARINA DE MACA (LEPIDIUM MEYENII) VÍA ORAL DURANTE LA ISQUEMIA-REPERFUSIÓN EN RATAS MACHO.	Soledad I. Matera[1], Luisa González Arbelaes[2], Érica Pereyra[2], Juliana Fantinelli[2] and Alicia Consolini[1]	Laboratorio de Farmacología Experimental y Energética Cardíaca (LaFEyEC), Facultad de Ciencias Exactas, UNLP[1], Centro de Investigaciones Cardiovasculares (UNLP-CONICET)[2]	99
75	MEGA SENO ESFENOIDAL: VARIACIÓN ANATÓMICA DE HIPERNEUMATIZACIÓN EXTENSA.	Domecq R; Sánchez Calot M; Andrade P; Luisi A; Azcoiti J; Huamani M; Andrinolo S; Amar T.	Catedra de anatomía A ; FCM UNLP	100
76	METFORMINA Y SU INFLUENCIA EN EL COMPORTAMIENTO EMOCIONAL, COGNITIVO Y ALTERACIONES NEUROBIOLÓGICAS EN UN MODELO EXPERIMENTAL DE AISLAMIENTO SOCIAL EN RATAS.	Bianchi Nunes João Pedro[1*], Ronco Manuel Andrés[1*], Pasquini Diana Camila[1], Garay Bianca[1], Nahuel Ezequiel Wanionok[2], Fernandez Juan Manuel[2], McCarthy Antonio[2], Gómez Martínez Carlos Daniel[1], Morel Gustavo Ramón[1].	1- INIBIOLP, Facultad de Cs Médicas, UNLP. 2-LIOMM, Facultad de Cs Exactas, UNLP *Equal contribution.	101
77	MODELOS TRIDIMENSIONALES Y MICROAMBIENTE EXTRACELULAR EN AMILOIDOSIS POR APOLIPOPROTEÍNA A-I: DE LA CARACTERIZACIÓN BIOFÍSICA A LA PLATAFORMA CELULAR 3D.	Silvana A. Rosu (1,2), Letizia Bauzá (1,2), Elizabeth Cattaneo (1,2); Caroline Manao Miocque (2), Joao Aguilar (3), M. Alejandra,Tricerri (1,2), Bruno F.,Urbano (3), Sanchez Susana A(3).	(1)Instituto de Investigaciones Bioquímicas de La Plata (INIBIOLP), CONICET. Calle 60 y 120. La Plata, Buenos Aires, Argentina. (2) Facultad de Ciencias Médicas, Universidad Nacional de La Plata, La Plata, Buenos Aires, Argentina. (3) Laboratorio de Interacciones Macromoleculares (LIMM), Departamento de Polímeros, Facultad de Ciencias Químicas. Universidad de Concepción, Concepción, Chile.	102
78	MODULACIÓN DE LAS VÍAS ANGIOTENSINÉRGICA Y ESTROGÉNICA Y SU IMPACTO SOBRE EL INTERCAMBIADOR NA^+/H^+ EN LA CARDIOPROTECCIÓN DURANTE LA MENOPAUSIA.	Martinez VR. Galeota Satini C. Cascallares E. Velez Rueda JO. Blanco PG. De Giusti VC.	Centro de Investigaciones Cardiovasculares (CIC-CONICET-UNLP).	103
79	MODULACIÓN DIFERENCIAL DE MATRIZ METALOPROTEINASAS COMO MECANISMO ANTIFIBRÓTICO DE SILDENAFIL.	Daiana S. Escudero, Valeria R. Martínez, Yamila Pirosanto, Luisa F. González Arbelaez, María C. Ciancio, Patricio E. Morgan, Néstor G. Pérez, Romina G. Díaz.	Centro de Investigaciones Cardiovasculares "Dr. Horacio E. Cingolani". Facultad de Ciencias Médicas, Universidad Nacional de La Plata.	104

80	MORFOLOGÍA DENTARIA Y ESTIMACIÓN DE AFINIDAD POBLACIONAL EN AZAMPAY, CATAMARCA: METODOLOGÍA ASUDAS.	Manuel Ronga 1, Gonzalo Garizoain 2, Marcos Plischuk 3, Rocío García Mancuso 4 Bárbara Desántolo 5	1Laboratorio de Investigaciones en Ciencias Forenses (LICIF), Facultad de Ciencias Médicas, Universidad Nacional de La Plata, Argentina. rongamanuel@gmail.com 2. CONICET, Laboratorio de Investigaciones en Ciencias Forenses (LICIF), Facultad de Ciencias Médicas, Universidad Nacional de La Plata, Argentina. 3. CONICET, Laboratorio de Investigaciones en Ciencias Forenses (LICIF), Facultad de Ciencias Médicas, Universidad Nacional de La Plata, Argentina. mplischuk@med.unlp.edu.ar 4. CONICET, Laboratorio de Investigaciones en Ciencias Forenses (LICIF), Facultad de Ciencias Médicas, Universidad Nacional de La Plata, Argentina. rgarciamancuso@med.unlp.edu.ar 5, Laboratorio de Investigaciones en Ciencias Forenses (LICIF), Facultad de Ciencias Médicas, Universidad Nacional de La Plata, Argentina. bdesantolo@med.unlp.edu.ar	105
81	NANOPLÁSTICOS Y FUNCIÓN CARDÍACA: ESTUDIO EXPERIMENTAL EN DROSOPHILA MELANOGASTER.	Valentina Arias, Juliana Lordi, Paola V. Ferrero, Carlos A. Valverde	Centro de Investigaciones Cardiovasculares "Dr. Horacio E. Cingolani", Facultad de Cs. Médicas, UNLP.	106
82	NEUROANATOMIA SEMIOLÓGICA, CORRELACION EN LA URGENCIA MEDICA.	Navickas, V; Castro Aparicio, I; Pennini Guelfi, R; Pérez Fernández M; Domecq, R; Andrade, P; Luisi, A.	Asignatura Optativa, Neuroanatomía semiología ,Catedra de Anatomía A ; Facultad de Ciencias Médicas UNLP.	107
83	PAPEL DEL CANAL WTRW EN LOS EFECTOS CARDIACOS DEL CANNABIDIOL EN DROSOPHILA MELANOGASTER.	Lordi Juliana; Pereyra Erica; Ferrero Paola	CIC (Conicet/UNLP)	108

84	PAPEL DEL RECEPTOR CANNABINOIDE CB1 EN LA PROGRESIÓN DE LA ENFERMEDAD CARDÍACA.	Gallo, D[(1)]; Fantinelli, J[(1)]; González Arbelaez, L[(1)]; Ciarrocchi, S[(1)]; Blanco, P[(2)]; Orlowski, A[(1)]; Aiello, EA[(1)]	[(1)]Centro de Investigaciones Cardiovasculares Dr H. Cingolani, Facultad de Ciencias Médicas - UNLP. La Plata, Argentina. [(2)]Servicio de Cardiología, Facultad de Ciencias Veterinarias, UNLP. La Plata, Argentina.	109
85	POTENCIANDO EL CEREBRO ENVEJECIDO: EFECTOS COMBINADOS DE LA TERAPIA GÉNICA CON IGF-1 INTRAMUSCULAR Y LOS ÁCIDOS GRASOS OMEGA-3 EN LA COGNICIÓN Y LA ANSIEDAD.	Vega, Josefina [1]*; Sisti, María Milagros[1]*; Pace, Selena[1]; Mancuso, Ezequiel A.[1]; Maté, Sabina M.[1]; Herrera, Macarena L.[2 #]; Bellini, María José[1#].	[1] Instituto de Investigaciones Bioquímicas de La Plata, Facultad de Ciencias Médicas, UNLP; [2] Royal College of Surgeons in Ireland (RCSI). (*) y (#) Igual contribución.	110
86	PROGRAMAS DE LNCRNAS ASOCIADOS A LOS SUBTIPOS MOLECULARES Y LA PROGRESIÓN DEL CÁNCER COLORRECTAL.	Álvaro Novoa Ardiles[1], Marcela Astiz[1], María Eugenia Salas[1], Malena Solis[2], Mariano Di Tomasso[1,2], Martin C Abba[1], Ezequiel Lacunza[1].	[1]CINIBA Facultad de Ciencias Médicas UNLP. [2]Hospital Interzonal General de Agudos San Roque Gonnet.	111
87	QUERCETINA ENCAPSULADA EN NANOLIPOSOMAS: CARACTERIZACIÓN Y EVALUACIÓN DE SU ACCIÓN CARDIOPROTECTORA EN CARDIOMIOBLASTOS H9C2.	Marya Clara Costa Dario[1], María Celina Sánchez Cerviño[2], Guadalupe River[3], Irene Ennis[1], Alejandra Yeves[1].	[1] Centro de Investigaciones Cardiovasculares "Dr. Horacio E. Cingolani" (CIC), CONICET–Facultad de Ciencias Médicas, Universidad Nacional de La Plata (UNLP). [2]Instituto de Investigación y Desarrollo en Ingeniería de Procesos, Biotecnología y Energías Alternativas (PROBIEN), CONICET–Universidad Nacional del Comahue (UNCo), Neuquén. [3] Instituto de Investigaciones en Ciencia y Tecnología de Materiales (INTEMA), CONICET–Universidad Nacional de Mar del Plata (UNMDP), Mar del Plata.	112

88	RELACIÓN ESTRUCTURA-FUNCIÓN DE PÉPTIDOS ASOCIADOS A LA APOLIPOPROTEÍNA A-I HUMANA.	Gabriela S. Finarelli (1), Elizabeth Cattaneo (1,2), Eduardo D. Prieto (3). Nahuel A. Ramella (1,2), Silvana A. Rosu (1,2), M. Alejandra Tricerri (1,2).	Instituto de Investigaciones Bioquímicas de La Plata (INIBIOLP), CONICET. Calle 60 y 120. La Plata, Buenos Aires, Argentina. (2) Facultad de Ciencias Médicas, Universidad Nacional de La Plata, La Plata, Buenos Aires, Argentina. (3) Instituto de Investigaciones Fisicoquímicas Teóricas y Aplicadas (INIFTA)	113
89	SOFTWARE DE APLICACIÓN PARA EL ANÁLISIS Y PROCESAMIENTO DE IMÁGENES HISTOLÓGICAS: POTENCIAL APLICATIVO EN DOCENCIA E INVESTIGACIÓN.	Garizoain, Gonzalo; Moavro, Damián E., Palma, María Belén, Martínez Kevin I., Andrini, Laura, García Marcela N.	Catedra de Citología, Histología y Embriología, Facultad de Ciencias Médicas, Universidad Nacional de La Plata	114

Investigación Educativa

N°	*TÍTULO*	*AUTORES*	*Lugar de trabajo*	*Pág.*
90	DE LA DIFICULTAD AL LOGRO: DIAGNÓSTICO FODA Y TUTORÍAS EN FISIOLOGÍA.	Corda F, Ciancio C, Cornicello B, Crocci C, Crocci E, Di Biasi V, Gonano L, Ibañez A, Lerda D, Matos L, Rivolta J, Saavedra A, Velez Rueda O, Yacovino L, Ennis I, Caldiz C, Said M.	Cátedra de Fisiología y Física Biológica, Facultad de Ciencias Médicas, UNLP.	116
91	DOCENTES DE LA FCM EN LA ESPECIALIZACIÓN EN DOCENCIA UNIVERSITARIA DE LA UNLP: TRAYECTORIAS Y TEMÁTICAS DE SUS TRABAJOS FINALES (2011-2025).	Silvana C. Cerasa, Silvina Lyons, M. Soledad Mónaco, Ariana Pinillos, Sabina Arenas.	Departamento Pedagógico FCM.	117
92	EL PROGRAMA "MAIS MÉDICOS" Y LA MEDICINA GENERAL Y/O DE FAMILIA COMO RESPUESTAS AL MODELO BIOMÉDICO DE FORMACIÓN MÉDICA: EL CASO DEL SISTEMA ÚNICO DE SALUD DE BRASIL.	Carlos Augusto Pegurski	Estudiante de Medicina (UNLP), doctorando en Políticas Públicas (UFPR)	118
93	ENSEÑANZA DE PROGRAMACIÓN EN PYTHON, MACHINE LEARNING E INTELIGENCIA ARTIFICIAL EN POSTGRADO DE LA FCM-UNLP. EXPERIENCIA DE CUATRO EDICIONES (2023-2026).	Spinelli OM[1], Ariza ST[2], Pardo J[1,3]	[1]Cátedra de Informática Médica, Facultad de Ciencias Médicas, Universidad Nacional de La Plata [2]Consultora ZS [3]Instituto de Investigaciones Bioquímicas de La Plata "Prof. Dr. Rodolfo Brenner"	119

94	FLEXIBILIDAD EN UNA CURSADA MASIVA: IMPLEMENTACIÓN DE UN SISTEMA DE CAMBIOS TRANSITORIOS.	Carlos A. Valverde, Irene L. Ennis	Cátedra de Fisiología y Física Biológica (FFB), Fac. Cs. Médicas, UNLP.	120
95	HÁBITOS DE VIDA, ACTIVIDAD FÍSICA Y MANEJO DEL ESTRÉS PRE-EXAMEN: ANÁLISIS DE SU ASOCIACIÓN CON EL RENDIMIENTO ACADÉMICO EN ESTUDIANTES DE FISIOLOGÍA Y FÍSICA BIOLÓGICA.	Echeverría Florencia, Antonini Tizziana, Pourtau María, Racioppi Florencia, Ibañez Alejandro	Cátedra de Fisiología y Física Biológica, Facultad de Ciencias Médicas, Universidad Nacional de La Plata (FCM-UNLP).	121
96	LA ENSEÑANZA DE LA ORTOPEDIA Y TRAUMATOLOGÍA EN LA CARRERA DE MEDICINA DE LA UNLP.	Osvaldo Romano	Facultad de Ciencias Médicas. UNLP.	122
97	LA INTERDISCIPLINA COMO DESAFÍO EN LOS EQUIPOS DE SALUD. EXPERIENCIAS DE TRABAJADORES SOCIALES DE RECIENTE GRADUACIÓN.	Fernandez, Cecilia, Savino, Galia A., Otero Z., Laura, Lyons, Silvina, Michelli, Virginia.	FTS y FCM (UNLP).	123
98	MÁS ALLÁ DEL CORAZÓN: UNA EXPERIENCIA DE EDUCACIÓN Y COMUNICACIÓN INTEGRAL EN SALUD.	Marian Marlene Rodríguez, Andrés Pinilla.	Cátedra de Fundamentos de la Práctica Cardiológica – Tecnicatura en Prácticas Cardiológicas, Facultad de Ciencias Médicas, Universidad Nacional de La Plata.	124
99	PRESERVACIÓN Y CONSULTA ACCESIBLE: DIGITALIZACIÓN DE COLECCIONES OSTEOLÓGICAS COMO RECURSO DIDÁCTICO.	Laskowski, Abril; Garizoain, Gonzalo; Plisckuk, Marcos; Desántolo, Bárbara.	Laboratorio de Investigación en Ciencias Forenses (LICiF), Facultad de Ciencias Médicas, Universidad Nacional de La Plata.	125
100	RELATOS DE EXHUMACIONES: PRÁCTICAS ÉTICAS Y FORMACIÓN EN ANTROPOLOGÍA FORENSE EN LA FACULTAD DE CIENCIAS MÉDICAS.	Miguez, Linda Jezabel; Peña, Victoria; Datino, Agustina; Cesa, Liz; Desántolo, Bárbara.	Laboratorio de Investigaciones en Ciencias Forenses (LICIF).	126
101	ROL DEL USO DE PANTALLAS CON FINES RECREATIVOS EN EL RENDIMIENTO ACADÉMICO DE ESTUDIANTES DE FISIOLOGÍA Y FÍSICA BIOLÓGICA.	Rosales Juan Pablo, Torres Farela Angelina, Bellotti Lautaro, Villa-Abrille María Celeste M, Valverde Carlos A, Ennis Irene L, Saavedra Amparo, Ciancio María Carolina, Ciarrocchi Sofía.	Cátedra de Fisiología y Física Biológica, Facultad de Ciencias Médicas, UNLP.	127
102	SABER PREGUNTAR Y ELEGIR LA HERRAMIENTA: ALFABETIZACIÓN DIGITAL PARA EL USO RESPONSABLE DE LA INTELIGENCIA ARTIFICIAL EN LA BÚSQUEDA DE EVIDENCIA EN SALUD	Dos Santos, Florencia Estefania.	Universidad Nacional Arturo Jauretche (UNAJ) / Universidad Nacional de Quilmes (UNQ)	128

103	UNA PIONERA DE LA MEDICINA PLATENSE: TRAYECTORIA Y EJERCICIO PROFESIONAL DE LEONOR MARTÍNEZ BISSO (1885-1956).	Larissa Lisboa Mariano y Valeria Natividad Almirón.	Cátedra de Historia de Medicina, Facultad de Ciencias Médicas – Universidad Nacional de La Plata.	129
104	USO DE MATERIALES AUDIOVISUALES OFICIALES Y RECURSOS DIGITALES PARA EL ESTUDIO DE FISIOLOGÍA.	Catalina Gelvez, Malena Iriarte, Pierina Massaccesi, Giuliana Mitidieri, Consuelo Saavedra, Carlos Valverde, Rocío Belén García, Ivana María Gómez.	Cátedra fisiología y física biológica, Facultad de Ciencias Médicas, Universidad Nacional de La Plata.	130

Vinculación Tecnológica

N°	*TÍTULO*	*AUTORES*	*Lugar de trabajo*	*Pág.*
105	BIOINGENIERÍA, PROTOTIPADO Y DESARROLLO DE DISPOSITIVOS EXPERIMENTALES.	Federico Hernán Delgado, Ramiro Fernando Martinez Quiroga.	Centro de Investigaciones Cardiovasculares (CIC), Facultad de Ciencias Médicas - UNLP.	132
106	CAPACIDADES CIENTÍFICO-TECNOLÓGICAS Y SERVICIOS ESPECIALIZADOS OFRECIDOS EN EL INIBIOLP.	Vanesa Herlax	Instituto de Investigaciones Bioquímicas de La Plata (INIBIOLP), Facultad de Ciencias Médicas - UNLP.	133
107	DESARROLLO DE LÍNEAS DE CÉLULAS MADRE MESENQUIMALES (CMM) PARA TERAPIA REGENERATIVA.	Marcela Garcia, María Belén Palma, Ailén Iribarne	Cátedra de Citología, Histología y Embriología, Facultad de Ciencias Médicas - UNLP.	134
108	DESARROLLO Y PURIFICACIÓN DE COLÁGENO TIPO I COMO PLATAFORMA DE VINCULACIÓN TECNOLÓGICA: DE FUENTES CONVENCIONALES Y ALTERNATIVAS AL DISEÑO DE MATRICES BIOPOLIMÉRICAS 3D.	Silvana Antonia Rosu (1,2), M. Alejandra Tricerri (1,2).	(1)INIBIOLP - Instituto de Investigaciones Bioquímicas de La Plata "Prof. Dr. Rodolfo R. Brenner" (CONICET - UNLP); (2) Facultad de Ciencias Médicas, UNLP.	135
109	EVALUACIÓN DE PARÁMETROS CARDIOFISIOLÓGICOS Y HEMODINÁMICOS EN MODELOS ANIMALES.	Leandro Gaston Di Cianni, Carlos Alfredo Valverde, Oscar Andrés Pinilla.	Centro de Investigaciones Cardiovasculares (CIC), Facultad de Ciencias Médicas - UNLP.	136
110	HERRAMIENTAS MOLECULARES Y BIOQUÍMICAS APLICADAS A ENFERMEDADES CARDIOVASCULARES: ESTUDIO DE LA EXPRESIÓN DE PROTEÍNAS, QPCR, PERFIL LIPÍDICO Y ENZIMAS ANTIOXIDANTES.	Castillo Omar, Pereyra Erica.	Centro de Investigaciones Cardiovasculares (CIC), Facultad de Ciencias Médicas - UNLP.	137
111	PLATAFORMA GENÓMICA Y BIOINFORMÁTICA PARA MEDICINA DE PRECISIÓN.	María Eugenia Salas, Ezequiel Lacunza, Martin Abba.	Centro de Investigaciones Inmunológicas Básicas y Aplicadas (CINIBA), Facultad de Ciencias Médicas - UNLP.	138

112	PROVISIÓN DE RATONES PARA EXPERIMENTACIÓN EN BIOMEDICINA, GENOTIPIFICACIÓN DE CEPAS Y MODELOS QUIRÚRGICOS.	Leandro Gaston Di Cianni, Luciana Sapia, Liliana Gonzalez, Mónica Rando, Omar Castillo, Juan Lofeudo, Carlos Alfredo Valverde	Centro de Investigaciones Cardiovasculares (CIC), Facultad de Ciencias Médicas - UNLP.	139
113	SCLERIX.	Nicolás Pedrini, Carla Huarte Bonnet, Ricardo Arraga.		140
114	SERVICIO DE EMPAQUETAMIENTO DE GENES EN VECTORES VIRALES PARA INVESTIGACIÓN CIENTÍFICA.	María Carolina Ciancio, Sofía Ciarrocchi, Delfina Gallo, Alejandro Orlowski	Centro de Investigaciones Cardiovasculares (CIC), Facultad de Ciencias Médicas - UNLP.	141
115	SERVICIO DE MICROSCOPÍA DE EPIFLUORESCENCIA, CONFOCAL, SUPERRESOLUCIÓN, TIEMPO DE VIDA DE FLUORESCENCIA.	Lucía Elena Pagola, Ramiro Fernando Martínez Quiroga, Federico Hernán Delgado, Leandro Díaz Zegarra, Carlos Alfredo Valverde.	Centro de Investigaciones Cardiovasculares (CIC), Facultad de Ciencias Médicas - UNLP.	142
116	SERVICIO DE PATOLOGÍA DIGITAL.	Martín Enrique Rabassa, Malena Murga.	Cátedra de Patología B, Facultad de Ciencias Médicas - UNLP.	143

Investigaciónes Clínicas/ Epidemiológicas/ Salud Pública

FACULTAD DE CIENCIAS MÉDICAS
UNIVERSIDAD NACIONAL DE LA PLATA

ABORDAJE INTEGRAL DE LA PREVENCIÓN Y SALUD COMUNITARIA EN COMUNIDADES RURALES DEL MONTE SANTIAGUEÑO: REPORTE DE EXPERIENCIA DEL PROYECTO DE EXTENSIÓN

Perez Riado Victoria, Flores Madrid Angie Fabiola, Dagand Nehuén, Escobar Luana, Anduran Sofia Daniela, Ianco Fabian Furnodavlos, Lepanto Facundo, Ianini Irina, Lombardi Facundo, Busquets Marcelo Pablo.

Universidad Nacional de La Plata

e-mail de contacto: mbusquets@med.unlp.edu.ar

Introducción: El acceso a la salud constituye un derecho humano fundamental y universal. Sin embargo, en las comunidades rurales dispersas en el monte santiagueño enfrentan profundas inequidades socioeconómicas y sanitarias condicionadas por la distancia geográfica, la falta de movilidad y la baja densidad de efectores de salud. Estos determinantes sociales limitan el acceso oportuno al control de enfermedades crónicas, el seguimiento del crecimiento infantil, el control ginecológico y odontológico.

Los dispositivos móviles de Atención Primaria de la Salud (APS), articulados entre la organización comunitaria y la universidad pública, permiten acercar prestaciones esenciales, favorecer el diagnostico precoz y garantizar la gratuidad y continuidad del cuidado y derribar barreras geografías en el propio territorio.

La Asociación Civil Presente-Padrinos de Escuelas Rurales, Facultad de Trabajo Social, Facultad de Ciencias Médicas y egresados de la Facultad de Odontología, llevaron a cabo una intervención sanitaria interdisciplinaria en parajes rurales de los Departamentos de Avellaneda y Atamisqui. Esta práctica no se concibe como una acción asistencial aislada, sino como un compromiso ético de la universidad pública para garantizar el derecho a la salud, fortalecer el vínculo con las comunidades y capacitar a futuros profesionales médicos en una medicina situada, humanista y consciente de las realidades territoriales.

Objetivos: Describir y sistematizar las intervenciones de atención médica primaria y salud comunitaria realizadas durante el operativo rural en parajes de Santiago del Estero.

Materiales y métodos: Estudio observacional, descriptivo y transversal desarrollado entre el 25 de julio y el 1 de agosto de 2026 en los departamentos de Avellaneda y Villa Atamisqui, provincia de Santiago del Estero, visitando Escuelas de estas regiones. Participaron docentes, graduados y estudiantes avanzados de Medicina (UNLP) junto a voluntarios de la Asociación Civil Presente. Se brindó atención en Pediatría, Clínica Médica, Ginecología, laboratorio y odontología, utilizando las aulas de las escuelas como consultorio. Además, se realizaron talleres de promoción y prevención. Se registraron consecutivamente las consultas y prestaciones realizadas, incluyendo controles gineco-obstetricos y provisión de métodos anticonceptivos.

Resultados:

Número total de consultas médicas: 756	Pediatría: 290	38,4%
	Clínica médica: 270	35,7%
	Ginecología: 196	25,9%

Número total de consultas odontológicas		300. Se realizó aplicación de flúor, selladores y entrega de cepillos.

Dentro del servicio de Ginecología, en relación con planificación familiar y métodos anticonceptivos, se registraron 76 provisiones de anticonceptivos orales (ACO), 27 implantes subdérmicos (ISD), 5 dispositivos intrauterinos (DIU) y 3 métodos inyectables (ACI). Además, se realizaron 61 Papanicolau, 30 exámenes mamarios, 9 ecografías ginecológicas y controles de 4 embarazos. Asimismo, en el área de ginecología, se realizaron 70 testeos de ITS (VIH/Sífilis), de los cuales 67 fueron negativos y 3 positivos. Finalmente, se realizaron 17 tratamientos por flujos vaginales patológicos.

Conclusiones: el operativo evidenció importantes barreras de acceso a la salud y una demanda previamente invisibilizada, reflejada en 756 consultas en una semana. La alta demanda muestra la necesidad de fortalecer el primer nivel de atención, especialmente para el seguimiento infantil y las enfermedades crónicas.

La experiencia destaca el valor de la extensión universitaria como herramienta para garantizar derechos, trabajar con las comunidades y formar profesionales con una mirada social de la medicina.

ACTIVIDAD LIPOLÍTICA DE *CANDIDA SSPP* Y PERFIL PROLIFERATIVO EN CCEO: INTEGRACIÓN DE BIOMARCADORES DEL MICROAMBIENTE TUMORAL.

Gonzalez Marina; Mayocchi Karina; Blasetti Nahuel; Mayocchi Rubén; Serafino Belén; Cozzi Susana; Canzoneri Romina; Tranchida Cecilia; Ferreri Natalia, De Vita Lucas; Falomir Lisandro; Becerra Romina.
Instituto de Investigaciones Bioquímicas "Prof. Dr. Rodolfo Brenner" (INIBIOLP-CONICET/UNLP) calle 120 y 60 sn, FCM-UNLP.

e-mail de contacto: marinacego@med.unlp.edu.ar karinamayocchi@gmail.com

Los carcinomas a células escamosas orales (CCEO) constituyen un grupo heterogéneo de neoplasias en cuya evolución participan las células tumorales y el microambiente tumoral. Estudios previos de nuestro equipo evidenciaron la presencia de *Candida albicans* en CCEO, asociada a alteraciones epiteliales. Considerando que *C. albicans* presenta factores enzimáticos patogénicos, la caracterización de su actividad lipolítica constituye una variable de interés para profundizar el estudio de la interacción microorganismo–hospedador y su posible relación con el microambiente tumoral. Objetivo: Integrar hallazgos histopatológicos e inmunohistoquímicos observados en CCEO y actividad lipolítica de aislamientos de *Candida sspp*, explorando la relación con la proliferación epitelial , perfil inmunológico del microambiente tumoral y análisis morfométrico y espacial celular. Metodología:Se analizaron seis biopsias con diagnóstico histopatológico de CCEO bien diferenciado e infiltrante, (Servicio de Anatomía Patológica del HIGA Rossi, La Plata.) Se realizó estudio inmunohistoquímico mediante marcación indirecta y revelado con DAB-peroxidasa, utilizando un panel constituido por CD4, CD8, CD15, CD20, CD56, CD68, Ki-67, p16, p53 y Bcl2. La expresión se evaluó mediante sistema semicuantitativo. Se realizaron aislamientos en lesiones tumorales, cultivo e identificación micológica (Laboratorio de Micología, Instituto Spegazzini, FCNyM-UNLP). La actividad lipolítica (AL) se determinó en medio sólido luego de siete días de incubación a 36 °C, mediante la relación entre el radio de la colonia y el halo de actividad. Las pruebas fenotípicas se realizaron mediante técnica MALDI-TOF de Secuenciación del ADN ribosomal (Departamento de Micología INEI-Anlis Dr. Malbrán). Se inició la estandarización de un protocolo de inmunofluorescencia para adquisición confocal multicanal, utilizando Hoechst como marcador nuclear para establecer condiciones de adquisición reproducibles en el posterior análisis morfométrico y espacial de las células tumorales mediante TSC Stellaris 8 FALCON STED FCS (Leica Microsystems). Resultados: Los aislamientos presentaron *Candida albicans* y *Meyerozyma guillermondii* con actividad lipolítica variable, no se detectó actividad proteolítica en las condiciones experimentales evaluadas. En los estudios histológicos se observó presencia de seudohifas, infiltración epitelial por neutrófilos y presencia de microabscesos, con alteraciones celulares y aumento de la multiplicación celular. La inmunomarcación nuclear de Ki-67 se observó en áreas de displasia epitelial, con inmunorreactividad moderada y mayor expresión en los estratos basal y suprabasal. El perfil inmunológico de los seis CCEO mostró heterogeneidad; en cuatro casos predominó el componente linfocitario CD8+, CD15 presentó expresión focal, CD20 evidenció infiltrado de linfocitos B en tres casos, CD56 se observó en un caso con rasgos neuroendocrinos y CD68 mostró abundante componente macrofágico. En las imágenes de superresolución, se observó pleomorfismo y anisocariosis. Conclusiones: La integración de variables microbiológicas, histopatológicas e inmunohistoquímicas permite abordar de manera interdisciplinaria la interacción entre *C. albicans*, epitelio y microambiente tumoral en CCEO. La presencia de alteraciones epiteliales y expresión de Ki-67 en asociación con *C. albicans*, junto con la actividad lipolítica demostrada en sus aislamientos, sustenta la hipótesis de una posible interacción entre factores de patogenia fúngica, proliferación epitelial y respuesta inflamatoria local. La ampliación de la casuística y la vinculación individual variables permitirán evaluar esta hipótesis con mayor precisión y fortalecer el potencial traslacional de esta línea de investigación.

ANGIOMATOSIS BACILAR A PROPÓSITO DE UN CASO PEDIÁTRICO

Rey V, Rolotti M.F, Bello C, Torres Molina L, Garone A, Gómez Peral C.
Hospital de niños Sor María Ludovica

e-mail de contacto: vrey@med.unlp.edu.ar

Introducción: La angiomatosis bacilar (AB) es una enfermedad infecciosa oportunista poco frecuente. El agente causal es un cocobacilo gramnegativo, microaerófilo, pertenece al género *Bartonella,* especies *B. henselae* y/o *B. quintana*, El reservorio es el gato. En inmunocompetentes, producen la enfermedad por arañazo de gato localizada, en inmunocomprometidos, en especial HIV, AB con compromiso sistémico.

Es una entidad rara en receptores de órganos sólidos, 2/3 se dan en pacientes trasplantados renales y solo ¼ de casos reportados corresponden a menores de 18 años. La AB cutánea (presentación más frecuente) suele darse en los primeros 7 años post-trasplante. El diagnóstico y el tratamiento precoz mejoran la sobrevida de los pacientes.

Objetivo: Presentación de un caso de AB en un paciente trasplantado renal.

Presentación del caso:

Antecedentes personales**:** Varón de 8 años, trasplantado renal (TR) de donante cadavérico por enfermedad renal crónica, secundaria a síndrome nefrótico cortico-resistente. Recibió como tratamiento inmunosupresor post-trasplante tacrolimus, mofetil micofenolato y meprednisona. Por recaída a los 7 días, requirió plasmaféresis y rituximab logrando mejoría y buena función del injerto en 2 meses. A los 4 meses post-TR presentó síndrome febril prolongado (SFP) asociado a una lesión nodular en cuero cabelludo y adenopatía regional. Se indicó antibiótico terapia oral cubriendo gérmenes de piel asociado a SFP, sin respuesta.

Interconsulta con dermatología: tumoración rojo-violácea, 1,5 cm de diámetro de consistencia duro-elástica, indolora en cuero cabelludo, asociada a adenopatía regional con signos de inflamación. Ante la sospecha clínica de sarcoma de Kaposi, hemangioma capilar lobulado, AB, melanoma no melanótico y linfoma (menos probable), se realizó biopsia de lesión cutánea y se solicitaron serologías para HIV y *Bartonella spp.*

Biopsia de piel: Se observó a nivel de la dermis, una proliferación vascular, con infiltrado inflamatorio mixto, tinción de Warthin-Starry +, diagnóstico compatible con AB.

Laboratorio: GB 3.400 mm^3 (N44%/L48%); Hb 11,5 gr/dl; Hto 35 %; creatinina 1.28mg/dl, plaquetas 200.000 mm^3; PCR 76 mg/L. Hemocultivos x 2: negativos. IgM positiva para *Bartonella henselae.*

Ecografía abdominal: Se evidenció esplenomegalia con imágenes compatibles con microabscesos; la ecografía de piel y partes blandas demostró adenopatías cervicales.

Tratamiento: Se indicó azitromicina 250 mg/día + doxiciclina 100mg/día y se suspendió el mofetil micofenolato.

Evolución: El paciente continuó con un síndrome febril prolongado y esplenomegalia durante meses. La determinación serológica de anticuerpos IgG para *Bartonella henselae* y *B. quintana* fue positiva. Luego de un mes de antibioticoterapia se observó remisión de la fiebre; la lesión en piel a los 9 meses y absceso esplénico al año.

Conclusiones: Existen pocos reportes de casos de AB en pacientes con trasplante de órgano sólido, siendo el renal el más frecuente. La inmunosupresión post-TR estaría vinculada al desarrollo de la enfermedad.

El diagnóstico precoz y la terapia antibiótica, son determinantes para reducir la bacteriemia, el compromiso parenquimatoso y la morbimortalidad.

No existen guías de tratamiento para pacientes con trasplante de órgano sólido cursando la enfermedad. Se tiene en cuenta la experiencia en pacientes con HIV. Se sugiere el tratamiento combinado con macrólidos a largo plazo.

La AB debería estar en la lista de serologías de las posibles infecciones oportunistas en receptores de trasplante de órgano sólido, evitando los sub-diagnósticos.

Al tratarse de una zoonosis, evitar el contacto con gatos no controlados, es una manera de hacer prevención, en especial en inmunocomprometidos.

ASOCIACIÓN ENTRE ESTRATIFICACIÓN POR NIVEL DE CUIDADO Y DESENLACES CLÍNICOS EN INTERNACIÓN GENERAL DEL HIGA ROSSI: ESTUDIO RETROSPECTIVO

Martinez Luciano Miguel; Domínguez María Francisca; Bruno Agustina; Centeno María Cecilia; Ferrazuolo Milagros; Gregorio Sofía; Hernández Fabricio; Raquiar Jose; Scaglione Elisa Irene; Vega Noelia Lucia.
Hospital Interzonal General de Agudos Prof. Dr. Rodolfo Rossi (LP)

e-mail de contacto: lmmartinez@med.unlp.edu.ar

Introducción: En el marco del Modelo de asistencia de Cuidados Progresivos, en el HIGA Dr. Rodolfo Rossi se desarrolló y validó previamente la Escala de Medición de Cargas de Trabajo en Enfermería PBA para salas de internación general. La estratificación por nivel de cuidado permite estimar el grado de asistencia requerido y optimizar la asignación de recursos. Evaluar la asociación entre esta estratificación y desenlaces como mortalidad y estadía hospitalaria en condiciones reales es fundamental para validar su utilidad operativa y fortalecer la planificación basada en evidencia.

Objetivos: Evaluar la asociación entre el nivel de cuidado definido por la Escala de Medición de Cargas de Trabajo en Enfermería PBA y la mortalidad y estadía hospitalaria, describiendo además las características de la cohorte.

Materiales y métodos: Cohorte retrospectiva (junio/2025–febrero/2026, HIGA Rossi) sobre internaciones cerradas (n=2.082), excluyendo datos incompletos y áreas no comparables (Salud Mental, Paliativos, UTI). La exposición fue el nivel de cuidado según la Escala PBA, que evalúa variables asistenciales y grado de dependencia (higiene, movilidad, drenajes, curación de heridas) puntuando como Cuidado Mínimo (0–6 pts), Moderado (7–14 pts) e Intermedio (15–25 pts). Desenlaces: mortalidad intrahospitalaria y días de estancia hospitalaria (DEH). Se ajustó por edad y sexo en modelos multivariados. Aprobado por el CEI.

Resultados: En la cohorte (n=2.082) estratificada con la Escala (Mínimo 69%; Moderado 22%; Intermedio 9%), la mortalidad global fue 7,3% y aumentó con el nivel de cuidado: 2,4%, 14,3% y 27,6%, respectivamente (χ^2 p<0,001). En comparación con Mínimo, el riesgo de muerte fue mayor en Moderado (RR 5,87) e Intermedio (RR 11,35).La mortalidad ≤7 días fue 0,9%, 3,7% y 10,8% respectivamente. En regresión logística ajustada por edad y sexo el gradiente se mantuvo (OR 4,68 y 9,07). La estadía hospitalaria: mediana 4 días (3–8) en Mínimo frente a 9 días en Moderado (5–17) e Intermedio (5–16).

Conclusiones: La estratificación por nivel de cuidado medida con la escala PBA asocia a resultados clínicos y carga temporal. La mortalidad y la DEH aumentaron desde Mínimo a Moderado/Intermedio, incluso ajustando por edad/sexo. El nivel Intermedio concentró pacientes más añosos y mayor mortalidad. La escala constituye una herramienta operativa válida para la optimización de la estructura hospitalaria, la dotación de recursos y la gestión clínica basada en evidencia en el sistema de salud.

Ítem	Criterio / Puntos				
1. Higiene	0: Independiente	5. Riesgo de lesiones por presión	0: No	9. Accesos venosos EV	0: Sin AV
			2: Si		1: AV periférico con analgesia y/o antibioticoterapia
	2: Dependencia parcial	6. Cuidado respiratorio	0: No oxígeno, aspiración de secreciones o vía aérea artificial		2: AV central
	4: Dependencia total		1: Requiere oxígeno con sistema de alto o bajo flujo	10. HGT e insulinoterapia:	0: No requiere
2. Alimentación	0: Independiente		3: Aspiración de secreciones y/o vía aérea artificial (traqueostomía), indep del aporte de oxígeno		1: HGT: controles con o sin corrección ocasional
	2: Dependiente / enteral	7. Sonda vesical	0: No requiere		2: HGT con insulinoterapia reglada
	3; Nutrición parenteral		1: Sí	Cuidado Mínimo (0 - 6 puntos) Cuidado Moderado (7 - 14 puntos) Cuidado Intermedio (15 - 25 puntos)	
3. Estado de conciencia	0: Lúcido, orientado	8. Curaciones / drenajes / ostomías	0: No requiere		
	3: Confuso/desorientado/agitado		1: Curación de heridas		
4. Movilidad	0: Independiente		2: Ostomía/Sistema de aspiración VAC/ 1 o más drenajes		
	2: Dependencia parcial				
	3: Dependencia total				

COBERTURA VACUNAL PARA EL VIRUS DEL PAPILOMA HUMANO Y USO DE MÉTODOS DE BARRERA EN MUJERES DEL GRAN LA PLATA

Fleitas U, Ciarmela ML, Bertucci E, López MA, Nomdedeu AM, Stagnaro JP, Schell CM.
Centro Universitario de Estudios Microbiológicos y Parasitológicos (CUDEMyP-UNLP-CIC). FCM.

e-mail de contacto: ufleitas@med.unlp.edu.ar

Introducción: El Virus del Papiloma Humano (VPH) posee un genoma de ADN circular, pertenece a la familia Papillomaviridae y afecta a todas las personas, independientemente de su género. Existen alrededor de 100 tipos, de los cuales 40 afectan preferentemente la zona genital y anal. Los VPH denominados "*de bajo riesgo*", generalmente se asocian con lesiones benignas mientras que los "*de alto riesgo*" (16, 18, 31, 45) al colonizar y producir infección persistente, elevan la posibilidad de evolución a cánceres. El más frecuente causado por el VPH es el cáncer de cuello de útero (CCU), sin embargo, pueden causar otros, como de vulva, vagina, ano, pene y orofaringe. En Argentina, se estima que cada año, unas 4.500 mujeres son diagnosticadas con CCU y más de 2.100 fallecen a causa de esta enfermedad. Para mitigar el impacto del VPH en Salud Pública, la vacunación se ha consolidado como la estrategia de prevención primaria más eficaz para reducir la incidencia de las infecciones por los tipos de alto riesgo oncogénico. A partir de 2011, la vacuna contra el VPH se incorporó al calendario nacional de vacunación (CNV) para niñas de 11 años. En la actualidad, se vacunan mujeres nacidas a partir del 2000 y varones nacidos a partir del 2006; con una dosis entre los 11 y 20 años y 2 dosis para edades entre 21 y 26 años. En 2022, la OMS incluyó entre sus objetivos para la agenda del 2030, que al menos el 90% de las niñas estén vacunadas antes de cumplir 15 años. Dado que, la vacuna no protege contra la totalidad de los tipos oncogénicos, los métodos de barrera (MB): preservativo masculino, preservativo vaginal y campo de látex, contribuyen a prevenir la infección/enfermedad.
Objetivo: Describir la cobertura vacunal contra el VPH y el uso de MB en mujeres del Gran La Plata.
Materiales y métodos: Se realizó un estudio descriptivo de corte transversal. La información se recabó mediante encuestas que incluían los ítems vacunación para VPH y uso de preservativo, entre otros. Las mismas fueron de tipo estructuradas cerradas. Dichas encuestas fueron realizadas en el marco de dos proyectos de investigación acreditados por SeCyT-UNLP en los que participa el CUDEMyP-UNLP-CIC (Código 11/M251 y 11/M275). Las mujeres que accedieron de manera voluntaria a completar la encuesta habitaban el Gran La Plata (municipios de La Plata, Berisso y Ensenada). Criterios de inclusión: mujeres, mayores de 18 años, sin comorbilidades, con más de 2 años desde la menarca. Criterios de exclusión: mujeres con amenorrea o ciclos irregulares, gestantes o en período puerperal. Los estudios fueron aprobados por el comité de Bioética de la FCM-UNLP (REF. COBIMED N°169).
Resultados: En el período enero de 2024 hasta agosto de 2026 se recolectaron 99 encuestas. El rango etario de la población estudiada fue de 18 a 50 años. *n*=60 (60,61%) mujeres refirieron no estar vacunadas (52 nacidas antes del 2000 y 8 no vacunadas a pesar de que hubiera correspondido), *n*=35 (35,35%) mujeres fueron vacunadas (26 acorde al CNV y 9 por fuera del CNV), *n*=2 (2,02%) mujeres no completaron el esquema y *n*=2 (2,02%) no recordaban su estado vacunal. Respecto al uso de MB, *n*=52 mujeres refirieron no usar preservativo de forma consistente (37 de ellas no estaban vacunadas para VPH), *n*=41 mujeres indicaron que utilizaban preservativo de forma consistente y *n*=6 mujeres no proporcionaron respuesta a este ítem. Se observó relación estadísticamente significativa entre el uso de preservativo y el estado vacunal (test exacto de Fisher, *p*=0,029). No se observó relación estadísticamente significativa entre la edad y el uso de preservativo (test Wilcoxon rank-sum, *p*=0,064).
Conclusiones: Aunque el tamaño muestral fue pequeño para poder inferir con certeza la situación de la población general, este estudio reveló que el 78,78% de las mujeres poseían una situación vacunal conforme a lo establecido por el CNV. El 41,41% de la población estudiada no utilizaba preservativo en todas las relaciones. El 37,37% no se encontraba vacunada ni utilizaba preservativo de forma consistente, lo que representa un factor de riesgo para contraer la infección por VPH, con el posible desarrollo de CCU y otros. Se recomienda reforzar las campañas de concientización sobre salud sexual y reproductiva, para incrementar el uso adecuado y responsable de MB; promover campañas de vacunación, así como también, intensificar los controles ginecológicos para detectar alteraciones neoplásicas malignas, lo más tempranamente posible.

COMPARACIÓN DE LA MICROCIRCULACIÓN SUBLINGUAL ENTRE PACIENTES CON TRAUMATISMO GRAVE, SHOCK SÉPTICO Y VOLUNTARIOS SANOS: UN ESTUDIO DE COHORTE PROSPECTIVO.

Juan Francisco Caminos Eguillor[1, 2, 3], Vanina Siham Kanoore Edul[4], Bernardo Lattanzio[3], Facundo Gutierrez[3], Juan Romano[5], Matías Mugno[5], Arnaldo Dubin[2, 3, 5]

[1]Servicio de Terapia Intensiva, Hospital Interzonal de Agudos "General San Martín", La Plata, Argentina.

[2]Cátedras de Terapia Intensiva y Farmacología Aplicada, Facultad de Ciencias Médicas, Universidad Nacional de La Plata, La Plata, Argentina.

[3]Laboratorio de Investigación Traslacional, Hospital San Martín, La Plata, Argentina.

[4]Servicio de Terapia Intensiva, Hospital Juan A Fernández, Ciudad Autónoma de Buenos Aires, Argentina.

[5]Servicio de Terapia Intensiva, Sanatorio Otamendi, Buenos Aires, Argentina.

e-mail de contacto: arnaldodubin@med.unlp.edu.ar.

Introducción: Las alteraciones microcirculatorias son un potencial mecanismo de fallo multiorgánico en el trauma y unos pocos estudios observacionales han descripto esta asociación. Sin embargo, no existen comparaciones de los trastornos microvasculares en pacientes con trauma, shock séptico y voluntarios sanos.

Objetivos: Demostrar que los pacientes con trauma grave presentan un fenotipo distintivo de disfunción microcirculatoria sublingual.

Materiales y métodos: Se estudiaron pacientes con trauma grave (n=28) y shock séptico (n=28) durante el primer día de internación y una vez alcanzada la estabilidad hemodinámica y respiratoria. Fueron comparados con voluntarios sanos (n=28). La microcirculación se evaluó con videomicroscopía y se realizó un análisis de los videos asistido por un software especializado. En 15 de los pacientes con trauma, fue posible obtener mediciones durante los primeros tres días de internación.

Resultados: Comparados con los voluntarios sanos, todas las variables microcirculatorias sublinguales estuvieron alteradas en pacientes traumatizados. En pacientes con shock séptico, sólo la densidad vascular total fue similar a la de voluntarios sanos, mientras que el resto de las variables se encontraron afectadas. La densidad vascular total fue menor en el trauma que en shock séptico y voluntarios (16,5 [14,4-18,2], 17,8 [16,7-19,0] y 18,8 [16,7-20,4] mm/mm^2, respectivamente, P <0,05). La proporción de vasos perfundidos, el índice de flujo microvascular, el índice de flujo de heterogeneidad y la velocidad de los glóbulos rojos estuvieron más comprometidos en pacientes sépticos que en pacientes con trauma. La densidad vascular perfundida fue similar pacientes con trauma y shock séptico. En un modelo de regresión lineal múltiple que exploró los determinantes de la densidad vascular total, la presencia de trauma fue el único predictor independiente. La edad, los fallos orgánicos (puntaje SOFA) y la dosis de noradrenalina no presentaron asociaciones significativas.

Las alteraciones microcirculatorias en el día 1 no se relacionaron con la muerte o el desarrollo de fallo multiorgánico a las 72 h. En los 15 pacientes con mediciones completas, las variables microcirculatorias fueron similares a lo largo de los tres días en aquellos con puntaje SOFA al tercer día ≤ y >6, y en sobrevivientes y no sobrevivientes.

Conclusiones: Los pacientes con trauma grave evidenciaron un patrón microcirculatorio caracterizado por disminución de la densidad vascular total, pero con menores alteraciones en las variables convectivas que los pacientes con shock séptico. A diferencia de otras publicaciones, los trastornos microvasculares no presentaron ninguna asociación con la evolución.

COMPOSICIÓN DE MICRONUTRIENTES Y ÁCIDOS GRASOS EN LECHE HUMANA DE MUJERES ATENDIDAS EN UN HOSPITAL PÚBLICO DE LA PLATA.

Visentín S, Matamoros N, Disalvo L, Fasano MV, Fotia Perniciaro L, Mendez I, Casado C, Varea A.
IDIP- *Instituto de Desarrollo e Investigaciones Pediátricas "Prof. Dr. Fernando E. Viteri", HIAEP "Sor María Ludovica" de La Plata, Ministerio de Salud/Comisión de Investigaciones Científicas de la Provincia de Buenos Aires, La Plata, Argentina*

e-mail de contacto: silvisentin@gmail.com

Introducción: La leche humana (LH) constituye la fuente óptima de nutrientes para el lactante y desempeña un papel fundamental en su desarrollo nutricional, inmunológico y emocional durante los primeros meses de vida. En contextos de vulnerabilidad socioeconómica, la disponibilidad de micronutrientes y ácidos grasos esenciales puede resultar limitada.

Objetivos: Caracterizar el perfil de micronutrientes y ácidos grasos de la LH, con énfasis en zinc, hierro, vitamina A (VA) y ácido docosahexaenoico (DHA).

Métodos: Se realizó un estudio observacional, transversal y analítico entre 2022 y 2023. Se recolectaron muestras de LH de madres adultas que ofrecían lactancia materna exclusiva, entre los 150 y 180 días posparto, atendidas en el consultorio materno del IDIP. El contenido de grasa se determinó mediante el método del crematocrito; las concentraciones de zinc y hierro, mediante espectrometría de absorción atómica con llama; la VA, mediante cromatografía líquida ultrarrápida; y los ácidos grasos, mediante cromatografía de gases con detector de ionización de llama.

Resultados: Se recolectaron 45 muestras de leche. Las medianas de las concentraciones (RIC) de hierro, zinc y VA fueron 0,32 mg/L (0,23–0,51), 0,81 mg/L (0,38–1,08) y 220 µg/L (110–410), respectivamente. El contenido de grasa presentó una mediana de 23 g/L (rango: 13–37). Al expresar la VA en relación con el contenido de grasa, la mediana fue de 12 µg/g (RIC: 7–18), y el 30,1 % de las muestras presentó valores indicativos de deficiencia. La mediana de concentración de DHA fue de 0,16 % (rango: 0,13–0,19 %).

Conclusión: En las muestras de LH madura analizadas las concentraciones de hierro y zinc se encontraron dentro de los rangos reportados internacionalmente, mientras que los niveles de VA y DHA estuvieron por debajo de las recomendaciones internacionales. Estos hallazgos ponen de manifiesto la necesidad de implementar estrategias específicas de salud pública orientadas a mejorar la nutrición materna y favorecer un desarrollo óptimo del lactante.

CONSUMO DE BEBIDAS ENERGIZANTES EN ESTUDIANTES DE CIENCIAS MÉDICAS: PANORAMA EPIDEMIOLÓGICO Y EVALUACIÓN DE SU IMPACTO EN LA PRESIÓN ARTERIAL.

Gonano L[1,2], Cerri G[3,4], Minetto J[3,4], Flores AF[1], Pinilla A[1], Espeche W[3,4], Ennis I[1,2].
1: Centro de investigaciones Cardiovasculares Horacio Cingolani CONICET-UNLP;
2: Cátedra de Fisiología y Física Biológica, Facultad de Cs. Médicas UNLP;
3: Unidad de Enfermedades Cardiometabólicas, Hospital San Martín, La Plata;
4: Cátedra de Medicina interna D, Facultad de Cs. Médicas UNLP.

e-mail de contacto: luisgonano@med.unlp.edu.ar

Introducción: Las bebidas energizantes contienen cafeína, taurina, L-carnitina, vitaminas y en algunos casos ginseng o guaraná. Su consumo es frecuente y los efectos sobre la presión arterial (PA) relacionados al consumo crónico no se conocen. Estudios en pequeñas muestras demuestran aumentos moderados de la PA tras el consumo agudo de entre 500 y 900 ml de energizantes.

Objetivos*:* Determinar prevalencia de consumo de energizantes en estudiantes universitarios, motivaciones asociadas y su combinación con bebidas alcohólicas.

Evaluar el impacto que el consumo sostenido tiene sobre la PA.

Materiales y métodos: Un formulario Google fue distribuido entre estudiantes de la Facultad de Ciencias Médicas-UNLP. Se solicitó un mail de contacto a fin de invitar a aquellos que reportaron un consumo superior a 500 ml semanales a la evaluación de las consecuencias de la interrupción voluntaria del consumo de energizantes mediante monitoreo ambulatorio de presión arterial de 24 horas (MAPA). Se asignaron al azar a: una rama que realiza un primer MAPA mientras sostiene su consumo regular de bebidas energizantes y luego interrumpe por dos semanas, tras lo que se realiza un segundo MAPA; o una rama que sigue la secuencia inversa, buscando despejar la posibilidad de acostumbramiento al MAPA. Los resultados se compararon mediante test de t para valores pareados, las diferencias se consideraron significativas con un $p \leq 0,05$.

Resultados: Respondieron 715 estudiantes. El 50,8 % reportó antecedentes familiares de enfermedades cardiovasculares y el 7,6 % tenía el antecedente de registro ambulatorio de PA con valores compatibles con hipertensión arterial. El 39,2 % contestó que consume bebidas energizantes. De ellos el 70,2 % lo hace esporádicamente; y los restantes, abarcan un 14,5 % que ingiere hasta 500 ml por semana, un 7,6 % que ingiere hasta 990 ml por semana y otro 7,6 % que supera este nivel. En el 88,8 % el nivel de ingesta reportado lleva más de seis meses y en un 12 % ocurre regularmente junto a bebidas alcohólicas. Las motivaciones asociadas (no excluyentes) al consumo de energizantes fueron: 72 % para mantenerse despierto/concentrado, 15 % para mejorar el rendimiento físico, 45 % por su sabor y 18 % para mantenerse activo durante fiestas nocturnas. Los resultados obtenidos en los MAPA muestran que la interrupción del consumo por dos semanas se asocia con una reducción promedio de 3,37 mmHg en los valores de presión sistólica diurna en el subgrupo que consume 1 litro o más por semana ($p=0.025$; $N=8$), mientras que los valores de presión diastólica y frecuencia cardíaca (promedio 24 horas, promedio diurno y durante sueño) no muestran cambios significativos. Si se incluyen todos los casos estudiados (consumo desde 500 ml por semana) ningún parámetro muestra cambios significativos.

Conclusiones: El consumo de bebidas energizantes es frecuente en nuestros estudiantes y más de un cuarto de los casos corresponde a un consumo regular. Los resultados preliminares muestran que la interrupción del consumo podría reducir los valores de presión arterial sistólica cuando este supera el litro semanal.

DEFORMACIÓN LONGITUDINAL GLOBAL DEL VENTRÍCULO IZQUIERDO COMO MARCADOR PRECOZ DE COMPROMISO CARDÍACO SUBCLÍNICO EN ADULTOS JÓVENES CON PRESIÓN ARTERIAL ELEVADA

Diego Sebastián Broda; Andrés Pinilla, Irene L Ennis

Instituto de Diagnóstico de La Plata, Facultad de Ciencias Médicas, Universidad Nacional de La Plata / Centro de Investigaciones Cardiovasculares "Dr. Horacio E. Cingolani" (CONICET-UNLP)

e-mail de contacto: dbroda@med.unlp.edu.ar

Introducción: La presión arterial elevada constituye una condición intermedia entre la presión arterial no elevada y la hipertensión arterial, y se asocia con un incremento progresivo del riesgo cardiovascular. En adultos jóvenes, las alteraciones convencionales de la función ventricular pueden permanecer ausentes durante etapas tempranas del compromiso cardiovascular. La deformación longitudinal global (DLG) del ventrículo izquierdo puede detectar alteraciones precoces de la mecánica miocárdica aun con fracción de eyección conservada.

Objetivos: Comparar la deformación longitudinal global del ventrículo izquierdo entre adultos jóvenes con presión arterial no elevada y presión arterial elevada según la clasificación ESC 2024, excluyendo individuos con hipertensión arterial, y evaluar si existen diferencias en parámetros convencionales de función sistólica y diastólica.

Materiales y métodos: Estudio observacional, analítico y transversal. Se analizaron 64 adultos jóvenes de 18 a 40 años, luego de excluir participantes con presión arterial sistólica ≥140 mmHg y/o diastólica ≥90 mmHg. La clasificación se realizó a partir de una única medición de presión arterial de consultorio: presión arterial no elevada (PAS <120 mmHg y PAD <70 mmHg; n=22) y presión arterial elevada (PAS 120–139 mmHg o PAD 70–89 mmHg; n=42). Se analizaron la DLG absoluta, la fracción de eyección sistólica y parámetros de función diastólica mediante ecocardiografía.

Resultados: La edad media fue 23,8 ± 4,4 años; 52 participantes fueron mujeres y 12 varones. La DLG absoluta fue significativamente menor en el grupo con presión arterial elevada respecto del grupo con presión arterial no elevada (19,28 ± 2,29% vs. 22,09 ± 2,87%; p=0,0005, Mann-Whitney). No se observaron diferencias significativas en la función sistólica global (EFS: 62,01 ± 11,73% vs. 60,68 ± 8,97%; p=0,683) ni en la masa ventricular izquierda indexada (77,62 ± 10,21 vs. 74,16 ± 8,49 g/m^2; p=0,184). Tampoco se observaron diferencias estadísticamente significativas en los principales parámetros de función diastólica, incluyendo onda E mitral, onda A, relación E/A, e' tisular y relación E/e'.

Conclusiones: En adultos jóvenes sin hipertensión arterial, la presencia de presión arterial elevada se asoció con una menor deformación longitudinal global del ventrículo izquierdo, sin diferencias significativas en la función sistólica global ni en los principales parámetros de función diastólica. Estos resultados sugieren que la DLG podría identificar alteraciones precoces de la mecánica miocárdica en etapas en las que los parámetros convencionales de función ventricular permanecen conservados. La interpretación debe considerar que la clasificación tensional se realizó a partir de una única medición de presión arterial.

DEL TEXTO LIBRE AL CONCEPTO CLÍNICO. UN RECORRIDO POR UNA EXPERIENCIA DE TRABAJO COLABORATIVO EN EL DESARROLLO DE SISTEMAS PARA EL APRENDIZAJE AUTOMÁTICO A TRAVÉS DEL PROYECTO SEMANTIAR

Julián Sánchez Viamonte, Juan Pablo Stagnaro, Juan Manuel Castelli e integrantes del Proyecto SemantIAr.
Dirección de Salud Digital. Ministerio de Salud de la Provincia de Buenos Aires.

e-mail de contacto: jsanchezviamonte@med.unlp.edu.ar

Introducción: La historia clínica electrónica combina datos estructurados y texto libre. Este último conserva buena parte del razonamiento clínico, pero contiene abreviaturas, regionalismos, negaciones y referencias temporales cuyo significado depende del contexto. En el español clínico rioplatense, esta variabilidad y la disponibilidad limitada de recursos computacionales especializados dificultan la interoperabilidad semántica. SemantIAr es un proyecto doctoral que desarrolla una infraestructura informática abierta para identificar conceptos clínicos, interpretar su contexto y vincularlos con SNOMED CT, conservando la trazabilidad de las decisiones. La anotación colaborativa constituye su base empírica inicial para evaluar herramientas de procesamiento del lenguaje natural y estudiar la incertidumbre de la recuperación automática de información.

Objetivos: Describir el diseño, la implementación y la calibración inicial de un proceso colaborativo, trazable y reproducible de normalización de conceptos clínicos. Construir un corpus de referencia para evaluar sistemas de procesamiento del lenguaje natural e identificar dificultades y aprendizajes para el uso responsable de inteligencia artificial en el sector público.

Materiales y métodos: Se utilizaron notas clínicas desidentificadas de la Historia de Salud Integrada (HSI). El universo muestral comprendió 4,3 millones de notas en texto libre de 1.216 efectores municipales y provinciales de la provincia de Buenos Aires. Se aplicó un muestreo orientado por densidad semántica y extensión en tokens, seguido de una estratificación por efector y ámbito de atención —ambulatorio e internación—, con ajustes para reducir la sobrerrepresentación de efectores con series temporales más extensas. Se seleccionaron 3.600 notas: 1.200 básicas, de 10 a 49 tokens; 1.200 avanzadas, de 50 a 99; y 1.200 expertas, de 100 o más. En paralelo, se realizó una convocatoria regional a profesionales de la salud para participar en la validación humana. La calibración inicial incluyó diez casos comunes a todos los participantes, con segmentos premarcados y vinculación a conceptos de SNOMED CT.

Resultados: La convocatoria recibió 115 postulaciones y 38 profesionales completaron entregas válidas para la calibración inicial. Se conformó una muestra de 3.600 notas distribuida en tres niveles de complejidad y se implementó un entorno de anotación con registro de las decisiones. Los casos comunes proporcionaron una base para comparar las anotaciones y revisar los criterios de normalización. La experiencia permitió organizar un circuito de convocatoria, capacitación, anotación y devolución, y establecer una base de trabajo para las siguientes etapas de construcción del corpus y evaluación de sistemas automáticos.

Conclusiones: La primera etapa de SemantIAr permitió implementar un proceso colaborativo de normalización clínica y reunir una muestra para construir un corpus de referencia en español rioplatense. La participación de profesionales de la salud y la trazabilidad de las decisiones aportan una base para evaluar la recuperación automática de conceptos. Las etapas siguientes deberán cuantificar la concordancia entre anotadores, resolver discrepancias y validar el Índice de Incertidumbre Semántica antes de utilizar los conceptos recuperados en investigación, vigilancia epidemiológica e indicadores de calidad.

DIVERSIDAD ALIMENTARIA EN LA POBLACIÓN ADULTA ARGENTINA

IGNACIO A. MENDEZ[1], MARÍA V. FASANO[1,2]

[1]Instituto de Desarrollo e Investigaciones Pediátricas (IDIP), Hospital Interzonal de Agudos Especializado en Pediatría Sor María Ludovica/Comisión de Investigaciones Científicas - Provincia de Buenos Aires (CICPBA), [2]Centro de Matemática de La Plata (CMaLP), Facultad de Ciencias Exactas, Universidad Nacional de la Plata/CICPBA, La Plata, Buenos Aires, Argentina

e-mail de contacto: ignacioagustinmg@gmail.com

Introducción: La diversidad alimentaria mínima (DAM) es un componente fundamental de la calidad de la dieta y un indicador clave para la salud pública.

Objetivos: Describir la prevalencia de la Diversidad Alimentaria Mínima (DAM) y sus factores asociados en adultos argentinos.

Materiales y métodos: Estudio transversal basado en una muestra representativa de 7294 adultos de la Segunda Encuesta Nacional de Nutrición y Salud (2018-2019). Se analizó la ingesta obtenida mediante recordatorios de 24 horas, se evaluó la DAM a partir de 10 grupos de alimentos, con un punto de corte ≥5 grupos. Se evaluaron factores sociodemográficos, de salud y consumo de nutrientes.

Resultados: Aproximadamente el 50% de la población alcanzó la DAM. Se observó una elevada frecuencia de consumo de cereales y carnes, y una baja frecuencia de ingesta de legumbres y frutos secos. Existió una asociación positiva entre la DAM y el nivel socioeconómico, una mejor salud autopercibida, y regiones Centro, Gran Buenos Aires y Patagonia. El cumplimiento de la DAM se vinculó a una mayor adecuación de micronutrientes, pero también a un incremento en la ingesta de sodio y azúcares.

Conclusiones: Cerca de la mitad de los adultos alcanzó la DAM, con marcadas desigualdades sociodemográficas. Estos resultados destacan la necesidad de políticas integrales orientadas a reducir las desigualdades socioeconómicas en la calidad de la dieta y promover dietas saludables

EFECTO ANTIBACTERIANO DE CANNABIS SATIVA: ENSAYOS IN VITRO FRENTE A STAPHYLOCOCCUS AUREUS METICILINO RESISTENTE

Fernández SA[1], Bernstein JC[1], González M[2], Clemente M[2], Sannazzaro A[2], Molina NB[1]

[1]Centro Universitario de Estudios Microbiológicos y Parasitológicos. CUDEMyP-CIC-UNLP. La Plata, Buenos Aires, Argentina.

[2]Instituto Tecnológico de Chascomús, INTECH-CONICET-UNSAM. Chascomús, Buenos Aires, Argentina.

e-mail de contacto: safernandez@med.unlp.edu.ar

Introducción: *Staphylococcus aureus* es uno de los principales agentes etiológicos de infecciones tanto en el ámbito hospitalario como en la comunidad y constituye un factor relevante de morbimortalidad, especialmente por la aparición y rápida propagación de la resistencia a la meticilina (SAMR). La limitada disponibilidad de nuevas clases de antimicrobianos ha impulsado la búsqueda de agentes antiinfecciosos alternativos. En este contexto, *Cannabis sativa* ha despertado interés debido a sus metabolitos secundarios, entre los que se destacan los cannabinoides.

Objetivo: Determinar el efecto antibacteriano *in vitro* de tres extractos de *C. sativa* frente a *S. aureus* meticilino resistente.

Materiales y métodos: Diseño: exploratorio, observacional, descriptivo y de corte transversal. Extractos: E1 (CBG ZeroDue, quimiotipo IV), E2 (Charlie´s Dream, quimiotipo III), E3 (Smelly Haze, quimiotipo II). Obtención de extractos: las flores secas de *C. sativa* se mezclaron con etanol de 96°; luego se evaporó el solvente en un concentrador (SpeedVac). Los extractos fueron conservados a 4°C en oscuridad y se diluyeron en dimetilsulfóxido (DMSO) desde D3: 1/8 a D10: 1/1024. Cepa: SARM, sensible a ciprofloxacina, clindamicina y trimetoprima-sulfametoxazol. *Ensayo 1:* Actividad antibacteriana a tiempo final (24h). Una suspensión de SARM se hisopó en placas con agar Luria-Bertani (LB). En cada placa se aplicó una alícuota de cada extracto (E1, E2, E3) de todas las diluciones (D3 a D10) y un control de DMSO en diferentes puntos. Las placas se incubaron a 37°C por 24 h. La actividad antibacteriana se determinó por la presencia/ausencia de halos de inhibición. *Ensayo 2:* Actividad antibacteriana a diferentes tiempos de exposición (cinética de 4 puntos). Una suspensión de SARM se alicuotó en diferentes tubos con caldo LB y se agregaron 2 diluciones diferentes (D11: 1/1280 y D12: 1/20480) de los tres extractos (E1, E2, E3). Los tubos fueron incubados a 37°C y a cada tiempo pautado (2 h, 4 h, 6 h, 24 h) se incubó la alícuota en agar LB. Cada placa incluyó dos controles: C1 (bacterias) y C2 (bacterias + DMSO). La cinética bacteriana se determinó por la presencia/ausencia de desarrollo bacteriano en los 4 tiempos pautados. Ambos ensayos se realizaron por duplicado.

Resultados: *Ensayo 1:* Todas las diluciones (D3 a D10) de los tres extractos (E1, E2 y E3) presentaron halos de inhibición frente a SARM. El mayor efecto antibacteriano se observó en las diluciones D3 y D4. *Ensayo 2:* En la D11, los tres extractos mostraron actividad antibacteriana a partir de las 2 h y se mantuvieron sin desarrollo hasta las 24 h. En la segunda dilución ensayada (D12), los tres extractos presentaron comportamientos diferentes. El E2 no mostró actividad antibacteriana en este ensayo en ningún punto de la curva. El E1 inhibió el desarrollo bacteriano a las 2 h, pero luego hubo desarrollo a los 4, 6 y 24 h En el E3 hubo desarrollo bacteriano a las 2, 4 y 6 h, mientras que a las 24 h no hubo desarrollo. Los controles positivos presentaron desarrollo bacteriano en los cuatro tiempos.

Conclusiones: Estos ensayos demostraron el efecto antibacteriano de los tres extractos de *C. sativa* sobre SARM a diferentes concentraciones. La evaluación en cuatro tiempos evidenció variaciones en la actividad antibacteriana de los extractos, lo que sugiere diferencias en su dinámica de acción que podrían estar ligadas a su composición vegetal. Se requieren estudios con un mayor número de cepas bacterianas y realizar curvas de muerte determinando la concentración inhibitoria y bactericida mínimas, con el fin de cuantificar el efecto antibacteriano de los extractos locales de *C. sativa*. Estos estudios son clave para determinar su potencial como agente antibacteriano y su implementación como alternativa terapéutica frente a la creciente resistencia antimicrobiana.

EFECTOS DEL ENTRENAMIENTO CARDIORRESPIRATORIO SUPERVISADO SOBRE VARIABLES CLÍNICAS, FUNCIONALES Y BIOMARCADORES DE ENVEJECIMIENTO CELULAR EN ADULTOS CON HIPERTENSIÓN ARTERIAL Y/O DIABETES TIPO 2.

Pereyra, E.[*1] ; Santa María, M.*[*2]; Vélez Rueda, J. O,[1]; Minetto, J.[2]; Todoroff, J.[2]; Cerri, G.[2]; Collado, S.[2]; Barreda, M.[2]; Staropoli, F.[2]; Godoy Coto, J.[1]; Desiderio, J.[1]; Ennis, I.[1]; Espeche, W.[2].*Ambos autores. Lugar de Trabajo 1. Centro de Investigaciones Cardiovasculares Dr. Horacio E. Cingolani 2. Unidad de Enfermedades Cardiometabólicas del Hospital Interzonal General de Agudos General San Martín de La Plata.*

e-mail de contacto: epereyra@med.unlp.edu.ar

Introducción: El envejecimiento poblacional se acompaña de un aumento en la prevalencia de enfermedades cardiometabólicas como la hipertensión arterial (HTA) y la diabetes mellitus tipo 2 (DM2), condiciones relacionadas con estrés oxidativo, disfunción mitocondrial y acortamiento telomérico. El entrenamiento cardiorrespiratorio reduce el riesgo cardiovascular, siendo el entrenamiento continuo de intensidad moderada (MICT) la modalidad tradicionalmente recomendada. Por otro lado, el entrenamiento intervalado de alta intensidad (HIIT) y el entrenamiento con restricción parcial del flujo sanguíneo (BFR) constituyen alternativas con potencial para mejorar la capacidad funcional y generar adaptaciones fisiológicas. Sin embargo, existe evidencia limitada sobre sus efectos comparativos en variables clínicas, funcionales y biomarcadores de envejecimiento celular en personas con HTA y/o DM2.

Objetivo: Evaluar el efecto de 12 semanas de entrenamiento cardiorrespiratorio supervisado mediante MICT, HIIT y MICT-BFR sobre la presión arterial, capacidad funcional y aptitud física en adultos con HTA y/o DM2. Como objetivo secundario, analizar cambios en actividad de superóxido dismutasa (SOD) y catalasa, longitud telomérica y contenido de ADN mitocondrial (ADNmt).

Materiales y métodos: Se realizó un estudio prospectivo longitudinal con evaluaciones al día 0 y 90. Se incluyeron adultos de ambos sexos con HTA y/o DM2, sin actividad física regular previa, atendidos en la Unidad de Enfermedades Cardiometabólicas del Hospital Interzonal General de Agudos General San Martín de La Plata. Se definió HTA por tratamiento farmacológico y/o presión arterial de consultorio ≥140/90 mmHg. Se excluyeron individuos tratados con betabloqueantes o anticoagulantes, con enfermedad cardiovascular previa, presión arterial >180/100 mmHg, riesgo de tromboembolismo venoso, limitaciones para realizar ejercicio independiente o neoplasia activa. Se evaluaron antropometría, presión arterial de consultorio, fuerza de agarre de mano, test de silla de 30 segundos, prueba de sentarse y levantarse 5 veces y prueba submáxima de Astrand-Rhyming para estimar VO_2máx. Los participantes fueron asignados aleatoriamente a MICT, HIIT o MICT-BFR. La intervención consistió en tres sesiones semanales durante 12 semanas, considerando adecuada una adherencia ≥75%. En una submuestra se determinaron la actividad de SOD y catalasa por espectrofotometría, longitud telomérica mediante qPCR (relación T/S) y contenido de ADNmt mediante la relación ADNmt/ADN nuclear (ADNmt/ADNn). Se consideró significativop<0,05.

Resultados:De 60 participantes, 8 fueron excluidos antes de la asignación por tratamiento con betabloqueantes (n=1) o presión arterial ≥180/100 mmHg (n=7), quedando 52: 15 controles, 10 HIIT, 13 MICT y 14 MICT-BFR. Catorce no completaron el seguimiento. Entre quienes realizaron ejercicio, la asistencia media fue de 27 ± 4 sesiones y el 75% alcanzó una adherencia ≥75%. El ejercicio mejoró significativamente la aptitud física y la presión arterial, sin cambios en peso ni perímetro de cintura. Los tres protocolos mejoraron el test de silla de 30 segundos, mientras que MICT y MICT-BFR también mejoraron la prueba de sentarse y levantarse 5 veces. El ejercicio MICT-BFR redujo significativamente la presión arterial diastólica (p=0,044). Para las determinaciones moleculares (n=9–11 por grupo), los valores a los 90 días se expresaron como porcentaje del basal (día 0=100%); los resultados se expresaron como media ± error estándar. La actividad de SOD mostró mayor cambio en HIIT respecto al control (120,70 ±8,45 vs. 96,66 ± 7,30). La actividad de catalasa aumentó en HIIT (147,70±25,68) y MICT (137,80±23,36) respecto al control (78,00 ± 15,58). La longitud telomérica aumentó en HIIT (110,1±11,32) y MICT-BFR (138,4±20,28) respecto al control (70,4±7,99). La relación ADNmt/ADNn aumentó en MICT-BFR (345,20 ± 85,19) respecto al control (44,78 ±10,03).

Conclusión: Un programa supervisado de 12 semanas se asoció con mejoras en la presión arterial y capacidad funcional, junto con cambios favorables en biomarcadores de envejecimiento celular en adultos con HTA y/o DM2. Las tres modalidades mejoraron variables funcionales, mientras que MICT-BFR redujo significativamente la presión arterial diastólica. HIIT y MICT-BFR mostraron cambios favorables en actividad antioxidante y longitud telomérica, y MICT-BFR presentó además un aumento del contenido de ADNmt.Estos hallazgos sugieren adaptaciones relacionadas con el equilibrio redox, el mantenimiento telomérico y la homeostasis mitocondrial. El reducido tamaño de la submuestra molecular requiere confirmar estos resultados en estudios de mayor tamaño y seguimiento prolongado.

ESCHERICHIA COLI ENTEROAGREGATIVA: ESTRUCTURA CLONAL Y FACTORES DE VIRULENCIA EN AISLAMIENTOS FECALES EN UNA POBLACIÓN PEDIÁTRICA BONAERENSE

Nora B. Molina, Beltina León, Alejandra Bosch, Mónica D. Sparo

CUDEMyP-CIC-UNLP

e-mail de contacto: nbmolina@med.unlp.edu.ar

Introducción: *Escherichia coli* diarreogénica comprende un grupo heterogéneo de patotipos que presentan numerosos factores de virulencia y causan diferentes síndromes diarreicos. El patotipo *E. coli* enteroagregativa (EAEC) ha sido reconocido como un patógeno emergente, tanto por su reciente descripción como por su relevancia en cuadros gastrointestinales agudos y persistentes. Dicha bacteria es capaz de adherirse a la pared intestinal, favorecer la producción de moco, liberar enterotoxinas, estimular la respuesta inflamatoria intestinal, evadir el sistema inmune y persistir en el intestino. EAEC se ha asociado con la diarrea del viajero, con diarrea aguda y persistente en niños, con diarrea grave en pacientes inmunocomprometidos y con infecciones del tracto urinario. En 2011, EAEC fue la causa de un brote de origen alimentario en Europa que causó más de 800 casos de síndrome urémico hemolítico (SUH). Este evento epidemiológico estuvo asociado a una cepa altamente patogénica de EAEC productora de toxinas Shiga (híbrido EAEC/STEC). A partir de este brote, las agencias de salud global han impulsado el rastreo genético de marcadores de virulencia enteroagregativos para identificar este patógeno emergente.

Objetivo: determinar la diversidad molecular y el perfil de virulencia de aislamientos fecales de EAEC recuperados de pacientes pediátricos con diarrea atendidos en hospitales de Buenos Aires, Argentina.

Materiales y métodos: los patotipos EAEC fueron recuperados de heces de niños con diarrea. La identificación bacteriana se realizó mediante cultivo y tipificación (VITEK2, bioMérieux), seguido de la amplificación molecular del gen activador transcripcional de fimbrias de adherencia agregativa (*AggR)* y de los genes de Toxinas Shiga (*stx1/stx2*) mediante PCR múltiple (Molina, 2022). La subtipificación molecular se realizó mediante Electroforesis en Gel de Campo Pulsado (PFGE) y las cepas fueron agrupadas en clústeres considerando patrón XbaI-PFGE (Ribot, 2006). La cantidad de biofilm (BF) se estudió en sistemas estáticos de cultivo en microplaca y tinción con Cristal Violeta (Molina, 2025). La producción de BF en interfase aire-líquido se detectó mediante cultivo en tubo. Los factores de virulencia investigados fueron Fimbria curli y Celulosa (cultivo en Agar Rojo Congo), Fimbrias Tipo 1/P (Hemaglutinación) y Toxinas hemolíticas (Cultivo en Agar Sangre). El fenotipo BLEE se determinó mediante la colocación estratégica de discos de Ceftazidima, Cefotaxima y Ácido Clavulánico (Whonet, 2025).

Resultados: un total de 39 aislamientos fecales de EAEC [*AggR*(+)] fueron recuperados. Ningún aislamiento EAEC presentó los genes de toxinas Shiga [*stx1/stx2*(-)]. La subtipificación molecular (PFGE) presentó 23 patrones de bandas diferentes. Todos los aislamientos produjeron BF (100%): productores moderados de biofilm (PMB; 51,3%), productores fuertes (PFB; 41%) y productores débiles (PDB; 7,7%). La mayoría de los aislamientos produjo BF en interfase aire-líquido (92,3%). Las frecuencias de los factores de virulencia fueron: Fimbrias curli (84,6%), Celulosa (46,1%), Fimbrias Tipo 1/P (46,1%) y Hemolisinas (33,3%). La presencia de BLEE fue detectada en un único aislamiento (2,6%).

Conclusiones: Este estudio permitió la caracterización fenotípica y genotípica de EAEC en una población pediátrica local. Los resultados demostraron la ausencia del patotipo híbrido (EAEC/STEC) y una marcada diversidad genética regional. La producción de biofilm fue una característica universal, mientras que los demás factores de virulencia exhibieron frecuencias variables. Estos hallazgos resaltan la importancia de mantener la vigilancia epidemiológica y extender el muestreo a otras regiones del país para comprender el impacto real de este patógeno en Argentina.

ESTADO NUTRICIONAL, PATOLOGÍAS MATERNAS Y RESULTADOS PERINATALES EN GESTANTES ADOLESCENTES Y ADULTAS.

Sofía Alejandra Rui (1); Lucrecia Fotia Perniciaro (1); Ana Luz Kruger (1,2); Marisa Sala (1); Rocío Atler (1); Nadia Romina Attie (3); Milagros Mutuberría (4); María Victoria Fasano (1); Ignacio Agustín Méndez (1); Agustina Malpeli (1).

(1) Instituto de Desarrollo e Investigaciones Pediátricas (IDIP), Hospital Interzonal de Agudos Especializado en Pediatría "Sor María Ludovica". La Plata, Buenos Aires, Argentina. (2) CONICET (3) Hospital Zonal Especializado Dr. Noel H. Sbarra. La Plata, Buenos Aires, Argentina. (4) Centro de Investigación y Desarrollo en Criotecnología de Alimentos (CIDCA), CONICET–UNLP–CIC. La Plata, Buenos Aires, Argentina.

e-mail de contacto: lucre.fotia@gmail.com

Introducción: El estado nutricional materno, antes y durante la gestación, condiciona el riesgo de complicaciones maternas y perinatales. Las adolescentes embarazadas enfrentan demandas nutricionales particulares, pero la evidencia sobre el efecto independiente de la adolescencia como factor de riesgo obstétrico es contradictoria.

Objetivos: Comparar el estado nutricional pregestacional, la ganancia de peso gestacional, las patologías maternas y los resultados perinatales entre gestantes adolescentes y adultas, y analizar la asociación entre el grupo etario materno y dichos desenlaces.

Materiales y métodos: Diseño: Observacional, analítico, transversal y retrospectivo. Muestra: Embarazos registrados en el Sistema Informático Perinatal (SIP) entre 2018-2023. Estándares: Criterios OMS (estado pregestacional) y directrices IOM (ganancia ponderal). Análisis Estadístico: Regresión logística múltiple. Estimación de Odds Ratios crudos y ajustados por IMC pregestacional, ganancia de peso y control prenatal (IC 95%, $p < 0,001$). El protocolo del estudio original fue evaluado y aprobado por el Comité de Ética Institucional.

Resultados: Se analizaron 222.327 embarazos, 32.235 (14,5 %) de adolescentes. Las gestantes adolescentes y adultas presentaron perfiles nutricionales diferentes. Las adolescentes tuvieron más anemia, eclampsia, prematuridad y BPN, mientras que las adultas presentaron más hipertensión y diabetes gestacional, cesárea y macrosomía.

En el modelo multivariable los resultados arrojaron: la anemia se asoció con mayor probabilidad en adolescentes en el modelo crudo, perdiendo significación estadística tras el ajuste por IMC pregestacional. La hipertensión gestacional invirtió la dirección de la asociación tras dicho ajuste, pasando de menor a mayor probabilidad en adolescentes. La preeclampsia, no significativa en el modelo crudo, se asoció con mayor probabilidad en adolescentes tras el ajuste por IMC y se mantuvo en los modelos subsiguientes. La eclampsia constituyó la asociación más robusta, estable en todos los modelos. La diabetes gestacional, la cesárea y la macrosomía se asociaron de forma consistente con menor probabilidad en adolescentes. La prematuridad y el BPN se asociaron con mayor probabilidad en adolescentes y se mantuvieron significativos en todos los modelos, con atenuación progresiva de la magnitud tras los sucesivos ajustes. La muerte fetal no mostró asociación en ninguno de los modelos.

Conclusiones: Se evidencian disparidades nutricionales, con predominio de déficit en adolescentes y de exceso en adultas y perfiles diferenciales de patologías maternas y resultados perinatales según la edad. Evaluar la influencia de la edad materna sin considerar conjuntamente el estado nutricional, la ganancia de peso y la cantidad de controles prenatales, podría generar estimaciones erróneas sobre el riesgo obstétrico.

Estos resultados respaldan la incorporación sistemática de la evaluación nutricional pregestacional al control prenatal.

ESTRATEGIAS DIAGNOSTICAS Y TERAPEUTICAS EN UNA CLINICA DE MEMORIA EN EL CONURBANO BONAERENSE

Patricia Solis [1,2,3], Ines Mintz [1,2], Nancy Medel [1,2], Zulma Sevillano [1,2], Julieta Lisso [1,2], Nicolas Irureta [1,2], Mauricio Federico Zalazar-Jaime [4], Brenda Giagante [1,3], Maria Carolina Dalmasso [1], Silvia Kochen [1,3]

1. Unidad de Estudios en Neurociencias y Sistemas Complejos (ENyS-CONICET-Universidad Nacional Arturo Jauretche-Hospital El Cruce), Florencio Varela, Argentina.
2. Consultorio de Trastornos de Memoria, Atención Médica Integral (AMI), Hospital El Cruce, Florencio Varela, Buenos Aires, Argentina.
3. Departamento de Neurociencias, Hospital El Cruce, Buenos Aires, Argentina.
4. Facultad de Psicología, Universidad Nacional de Córdoba, Córdoba, Argentina.

e-mail de contacto: nicolasirureta@gmail.com

Introducción: La detección temprana y el abordaje interdisciplinario del deterioro cognitivo son especialmente relevantes en poblaciones vulnerables con acceso limitado a atención especializada. En 2016 se creó un Consultorio de Trastornos de Memoria dentro del sistema público de salud argentino en Florencio Varela, una región caracterizada por condiciones de vulnerabilidad socioeconómica.

Métodos: Se evaluaron 1.204 pacientes, con una edad media de 72 años y aproximadamente 6 años de escolaridad. Se implementó un protocolo que incluyó evaluación cognitiva (MMSE, ACE-R, FAB, CDR, FAQ, Zarit y NPI-Q), evaluación neurológica y funcional, laboratorio y neuroimágenes. Los diagnósticos se establecieron mediante consenso interdisciplinario. En 315 participantes se adaptó y evaluó un cuestionario de reserva cognitiva. El consultorio también participó en la conformación de GeNED.ar, cohorte nacional de envejecimiento y demencia.

Resultados: Los pacientes recibieron diagnóstico, orientación sobre envejecimiento saludable y, cuando correspondía, tratamiento farmacológico y/o estimulación cognitiva. Los pacientes con demencia presentaron menor reserva cognitiva. La participación en GeNED.ar favoreció la capacitación del equipo y la incorporación de procedimientos estandarizados.

Conclusión: El Consultorio de Trastornos de Memoria desarrolló un modelo de atención pública que integra evaluación clínica, abordaje interdisciplinario e investigación, demostrando la factibilidad de brindar atención especializada a poblaciones socioeconómicamente vulnerables. Este modelo podría ser aplicable a contextos sanitarios similares de América Latina.

ESTRÉS AUTOPERCIBIDO Y CALIDAD DEL SUEÑO EN ESTUDIANTES UNIVERSITARIOS: ASOCIACIÓN CON PARÁMETROS CARDIOVASCULARES

Gabriela Mabel Sánchez Álvarez, Pilar López Romero, Solange Busto Camales, Camila Florencia Rosas, Gabriela Alejandra Martínez, Cugnetto Hernán, Samara Zoe Pucci, Ángela Ortega, Samara Zoe Pucci, María Mariño Inga, Marian Marlene Rodríguez, Andrés Pinilla

Cátedra de Fundamentos de la Práctica Cardiológica – Tecnicatura en Prácticas Cardiológicas, Facultad de Ciencias Médicas, Universidad Nacional de La Plata.

e-mail de contacto: gabrielamabelalvarez64@outlook.es

Introducción: El estrés académico y las alteraciones de la calidad del sueño constituyen factores frecuentes en la población universitaria y pueden asociarse con diferentes aspectos de la salud integral. La interacción entre ambos fenómenos resulta de particular interés debido a su posible relación con parámetros cardiovasculares.

Objetivo: Analizar la relación entre el nivel de estrés autopercibido y la calidad del sueño en estudiantes universitarios, y explorar su asociación con parámetros cardiovasculares.

Materiales y métodos: Estudio observacional, analítico y de corte transversal realizado en 320 estudiantes universitarios. Se relevaron variables sociodemográficas, nivel de estrés autopercibido, calidad del sueño, presión arterial sistólica (PAS), presión arterial diastólica (PAD), presión arterial media (PAM) y frecuencia cardíaca (FC). El estrés se clasificó en bajo, moderado y alto, mientras que la calidad del sueño se categorizó como mala, regular y buena. Se analizaron las asociaciones mediante correlación de Spearman y comparación de parámetros cardiovasculares según las categorías de estrés y calidad del sueño.

Resultados: El 95,6% de los estudiantes presentó estrés moderado o alto: 50,3% moderado y 45,3% alto. Respecto de la calidad del sueño, el 74,0% refirió sueño regular o malo: 55,6% regular y 18,4% malo, mientras que el 25,9% informó buena calidad.

Se observó una asociación inversa y estadísticamente significativa entre estrés y calidad del sueño (rho=-0,275; p<0,001), indicando que mayores niveles de estrés se asociaron con peor calidad subjetiva del sueño.

La calidad del sueño presentó además una asociación significativa con la PAD (rho=-0,145; p=0,009). No se observaron asociaciones significativas con PAS, PAM ni FC. Asimismo, las comparaciones según nivel de estrés no evidenciaron diferencias estadísticamente significativas en PAS ni PAD.

Conclusiones: Se observó una elevada frecuencia de estrés autopercibido moderado o alto y de calidad de sueño regular o mala en los estudiantes evaluados. Los resultados evidencian una asociación significativa entre mayor estrés y peor calidad del sueño. La calidad del sueño también se relacionó con la presión arterial diastólica, aunque no con otros parámetros cardiovasculares. Estos hallazgos resaltan la importancia de considerar conjuntamente el estrés y el sueño en el abordaje de la salud integral de la población universitaria.

Palabras clave: estrés; sueño; estudiantes universitarios; presión arterial; salud cardiovascular.

ESTUDIO DE MORTALIDAD ATRIBUIBLE A BACTERIEMIAS POR ENTEROBACTERALES *RESISTENTES A CARBAPENÉMICOS*

Bernan Marisa, Russo María Eugenia, Suarez Mariana
HIGA San Roque Gonnet

e-mail de contacto: mbernan@med.unlp.edu.ar

Introducción: Estudio de mortalidad atribuible a bacteriemias por Enterobacterales resistentes a carbapenémicos

Introducción: La resistencia a los antimicrobianos (RAM) constituye una de las principales amenazas para la salud pública mundial, ya que compromete la eficacia de los tratamientos frente a infecciones

Su propagación se relaciona con el uso inadecuado de antimicrobianos, así como con la falta de acceso a diagnósticos adecuados. La RAM afecta a los sistemas de salud, incrementando el riesgo de complicaciones clínicas y mortalidad.

Objetivos: Conocer el perfil de los aislamientos bacterianos en hemocultivos de la institución durante el período estudiado y estimar la mortalidad intrahospitalaria a 30 días atribuible a bacteriemias por Enterobacterales resistentes a carbapenémicos (ERC) en comparación con bacteriemias por Enterobacterales sensibles a carbapenémicos (ESC).

Metodología: Estudio observacional de cohorte prospectiva en el que se analizaron todos los hemocultivos (Hc) solicitados a pacientes adultos internados en las distintas áreas del Hospital HIGA San Roque de Gonnet entre el 1 de abril y el 31 de agosto de 2026. Se evaluó el perfil microbiológico de los aislamientos, la hospitalización previa en los últimos 90 días, las comorbilidades, el origen de la bacteriemia (comunitaria o asociada a los cuidados de la salud [ACS]), su carácter primario o secundario y la evolución clínica a los 30 días (alta médica, fallecimiento, derivación a otra institución o permanencia en internación).Asimismo, se analizó la mortalidad de los pacientes con bacteriemias por Enterobacterales sensibles y resistentes a carbapenémicos.

Resultados: Se evaluaron 1769 muestras obtenidas de 576 pacientes adultos: 320 hombres (55,5%) y 256 mujeres (44,5%). Del total de muestras procesadas, 1372 (77,5%) resultaron negativas y 397 (22,5%) positivas. Se identificaron 97 Hc contaminados (24,4% de los hemocultivos positivos). De los 300 Hc restantes, 154 fueron bacteriemias por Enterobacterales (51,3%). Estas bacteriemias correspondieron a 44 pacientes, de los cuales 23 eran hombres y 21 mujeres. Al momento de la obtención de las muestras, 25 pacientes se encontraban internados en el servicio de emergencias, 10 en sala general, 5 en unidad de cuidados intensivos y 4 en unidad coronaria. Distribución de aislamientos de Enterobacterales: Escherichia coli: 18 aislamientos; 2 productores de BLEE y 1 AmpC
Klebsiella pneumoniae (Kpn): 15 aislamientos; 2 productores de BLEE y 3 productores de MBL-BLEE.
Proteus mirabilis (Pm): 2 aislamientos; 1 productor de MBL.
Enterobacter cloacae: 2 aislamientos; 1 productor de AmpC y 1 productor de AmpC + MBL
Proteus penneri: 1 aislamiento. Serratia marcescens: 2 aislamientos; ambos sin mecanismos de resistencia
Providencia rettgeri: 1 aislamiento; sin mecanismos de resistencia identificados.
Pantoea agglomerans: 1 aislamiento; sin mecanismos de resistencia.
Klebsiella oxytoca: 1 aislamiento; sin mecanismos de resistencia
Klebsiella aerogenes: 1 aislamiento; sin mecanismos de resistencia identificados.
Características clínicas: Hospitalización previa en los últimos 90 días: 24/44 pacientes (54,5%).
Diabetes mellitus: 13/44 (29,5%); Neoplasias: 12/44 (27,3%); Patología vascular: 10/44 (22,7%). Bacteriemia comunitaria: 26/44 (59,0%).; Bacteriemia asociada a cuidados de la salud: 18/44 (41,0%). Bacteriemia primaria: 11/44 (25,0%; Bacteriemia secundaria: 33/44 (75,0%) con foco intraabdominal: 10 casos e Infección urinaria: 22 casos. Evolución clínica a 30 días: Altas médicas: 21 pacientes (47,7%). Derivados a otra institución: 3 pacientes (6,8%). Permanecían internados: 12 pacientes (27,3%) Fallecidos: 8 pacientes (18,2%).
Se registraron 2 fallecimientos en pacientes con aislamientos resistentes (Kpn BLEE y Kpn MBL-BLEE) y 6 fallecimientos en pacientes con aislamientos sensibles a carbapenémicos (4 Escherichia coli, 1 Kpn y 1 Pm). De los 8 pacientes fallecidos, 6 presentaban hospitalización previa, todos tenían comorbilidades y las bacteriemias fueron secundarias y asociadas a los cuidados de la salud.
Discusión El tamaño muestral actual es aún insuficiente para determinar asociaciones con significación estadística. Por tal motivo, el estudio continúa en desarrollo hasta alcanzar un número de pacientes que permita obtener estimaciones más representativas sobre la mortalidad .

Estudio epidemiológico de la prevención perinatal durante la gestación

NP Mattarollo[1], P Andrade[1], , JC Bernstein[2], MM Di Catarina[3], V Roldán [4],TA Ruíz Díaz [4], MM Selimán Echeverría [4], A Damico[4], MP Cuco [4], MM Cobos[1]

Cátedra de Infectología[1]; Cátedra de Microbiología y Parasitología[2], FCM-UNLP; Centro de Atención Primaria de la Salud, Ensenada[3]; Estudiantes participantes del Proyecto de Extensión "Prevención de Infecciones pre y perinatales", FCM-UNLP

e-mail de contacto: pmattarollo@med.unlp.edu.ar

Introducción: El presente trabajo se desprende del Proyecto de extensión "Prevención de Infecciones pre y perinatales: seguimiento infectológico durante la gestación". Las infecciones de transmisión vertical, como sífilis, VIH, hepatitis B y C, enfermedad de Chagas, toxoplasmosis y la infección por estreptococo del grupo B (EGB), pueden afectar al producto de la concepción desde etapas tempranas del embarazo y provocar morbilidad y mortalidad en el recién nacido. El tamizaje serológico oportuno y la vacunación durante el control prenatal, de acuerdo con las recomendaciones nacionales, permite optimizar la asistencia del binomio madre-hijo desde etapas tempranas de la gestación

Objetivos: Describir la epidemiologia, tamizaje serológico para enfermedades de transmisión vertical y cobertura vacunal en gestantes que se asisten en un centro de atención primaria de la salud (CAPS).

Materiales y métodos: Estudio epidemiológico, descriptivo y prospectivo de 93 gestantes que concurrieron a un CAPS del partido de Ensenada entre marzo de 2024 y junio de 2026. Se utilizó una encuesta inicial y de seguimiento de la gestación, completada a partir de los registros realizados en la CAPS. Se analizaron datos sociodemográficos, edad gestacional en la primera consulta, número de consultas; resultados por trimestre de VDRL , Elisa de 4° generación para VIH, ELIS para HBsAg , ELISA para anti-HCV, HAI y ELISA para *Trypanosoma cruzi*, ELISA IgG e IgM para *Toxoplasma gondii* , urocultivo y cultivo para EGB; cobertura vacunal trimestral.

Resultados: De los datos registrados se obtuvieron los siguientes resultados: el promedio de edad de la gestante fue de 24,6 años (13-39), de las cuales el 16,13% (*n*=15) eran menores de 20 años. El 93,55% (*n*=87) residía en el área de referencia de la CAPS y el mismo porcentaje no refirió obra social. El 3,2% (*n*=3) tenía escolaridad primaria incompleta, 47,3% (n=44) secundaria incompleta, 34,4% (n=32) secundaria completa y 6,5%(n=6) terciaria incompleta. Una gestante no estaba escolarizada. Cursaban primera gestación el 38,71% (*n*=36). El 63,44% (*n*=59) realizó el primer control en el primer trimestre, el 31,18% (*n*=29) en el segundo y el 5,38% (*n*=5) en el tercero. Se registró en el 66,66 % la realización de tamizaje serológico en el 1 ° y 2 ° trimestre y en el 24,73 % lo realizó en los tres trimestres. Se registró al menos un resultado de VDRL cuantitativa en el 89,25% (*n*=83), Elisa de 4° generación para VIH en el 88,17% (*n*=82), IgG *Toxoplasma gondii* en el 87,10% (*n*=81), ELISA para *Trypanosoma cruzi* en el 82,80% (*n*=77), ELISA para HBsAg en el 80,65% (*n*=75), ELISA para anti-HCV en el 70,97% (*n*=66), urocultivo en el 64,52% (*n*=60) y EGB en el 15,05% (*n*=14). El tamizaje de VDRL cuantitativa en el primer trimestre fue de 59,14% y en el tercer trimestre fue de 39,78%. La serología para sífilis (VDRL cuantitativa) fue reactiva en el 8,43% (*n*=7) de las gestantes estudiadas. El 61,73% (*n*=50) fue seronegativa para toxoplasmosis, dos gestantes presentaron IgM positiva con test avidez alta. El urocultivo fue positivo en el 11,67% (*n*=7), mientras que el cultivo para EGB fue positivo en 4 de 14 cultivos registrados. No se detectaron casos de infección VIH, hepatitis B, hepatitis C y Enfermedad de Chagas. Las coberturas vacunales registradas fueron las siguientes: antigripal 94%, HBV 44 % , dPTa 83% y VSR 76%.

Conclusiones: El número de seguimientos registrados en la gestante se considera subóptimo, dado que 24,73% realizaron el tamizaje serológico obligatorio de los 3 trimestres. La sífilis fue la infección más frecuente, lo que refuerza la necesidad de tamizaje serológico oportuno y completo en la gestante y eventualmente en su pareja/s sexual/es. Es de destacar la elevada proporción de gestantes susceptibles a toxoplasmosis que surgieron de los registros de la CAPS. De los mismos registros una baja proporción surge de cultivos realizados para EGB, probablemente vinculada a la derivación al segundo nivel desde la semana 34.
El trabajo en red entre la Facultad de Ciencias Médicas y los CAPS, tiene el objetivo de optimizar las estrategias obligatorias a realizarse en la gestante (controles, serologías, vacunación, cultivos y registros adecuados y completos) lo cual resulta fundamental para prevenir la transmisión vertical de infecciones.

EVALUACIÓN DEL CONSUMO DE ALIMENTOS Y PRODUCTOS AGROECOLÓGICOS EN LA POBLACIÓN RELACIONADA AL PROYECTO DE EXTENSIÓN UNIVERSITARIA DE UNLP "LAS RAÍCES DE LAS OLLAS DE BERISSO". UNA MIRADA DESDE LA SOBERANÍA ALIMENTARIA.

*Galletti Romero Micaela, Ormato Evelin Anahi, Varela María Soledad, D'Alfonso Bernardita, Hernández Malán Arena, Isla Larrain Marina T**

Facultad de Ciencias Médicas

e-mail de contacto: marinaislalarrain@med.unlp.edu.ar

Introducción: El trabajo de investigación se enmarca en el Proyecto de Extensión Universitaria "Las Raíces de las Ollas de Berisso", impulsado por docentes, graduadxs y estudiantes de la Licenciatura en Nutrición de la Facultad de Ciencias Médicas y otras unidades académicas de la Universidad Nacional de La Plata. El objetivo es promover una alimentación sana, segura y soberana en el Partido de Berisso, haciendo eje en la Soberanía Alimentaria. La búsqueda de la sustentabilidad como garantía de la manutención de la vida en el planeta Tierra, hoy y para el futuro, requiere que se piense en la agricultura y el desarrollo rural en forma sistémica, incorporando los diferentes contextos sociales, económicos, ecológicos y tecnológicos de cada región. La Agroecología es el campo de conocimiento que tiene ese objetivo, buscando rediseñar los agroecosistemas para volverlos sustentables en un proceso designado como "transición agroecológica".

Objetivos: Conocer el consumo de alimentos y productos agroecológicos, caracterizar el perfil de los consumidores y sus motivaciones para la compra de estos alimentos y productos en la ciudad de Berisso.

Materiales y métodos: Se realizó un estudio de diseño exploratorio, descriptivo y transversal. La unidad de análisis fueron personas adultas residentes de la ciudad de Berisso. Se aplicó una encuesta autoadministrada de elaboración propia con 14 preguntas a través de formularios para responder de forma autónoma, anónima e individual. Para el análisis estadístico, se utilizó el Software Epi Info v 5.5.15, y el programa Microsoft Excel.

Resultados: La encuesta fue respondida por 283 personas, de las cuales 144 la completaron en su totalidad, 139 encuestados no la finalizaron, debido a que 57 no conocían la existencia de los alimentos y/o productos agroecológicos y 82 los conocían, pero no los consumían.

Entre los encuestados, casi el 70% fueron mujeres y el 67% respondió tener empleo. El patrón alimentario de los encuestados resultó ser predominantemente omnívoro, y solo un 7,8 % refirió tener una dieta vegetariana. Respecto del consumo de alimentos y/o productos agroecológicos, sólo el 36,3% refirió no consumirlos. Los motivos del bajo consumo fueron varios, siendo la disponibilidad de estos productos y la falta de acceso tanto física como económica el motivo más referido. Se indagó acerca del lugar en el que se compraban los productos agroecológicos; siendo las dietéticas, verdulerías y el Mercado de la Ribera (MR) los principales lugares. Para conocer la frecuencia de compra de los alimentos y productos agroecológicos, las opciones de respuesta brindadas fueron: semanal, quincenal y mensual, obteniendo porcentajes similares en los 3 casos. Los encuestados que compraban sus alimentos en supermercados refirieron una frecuencia de compra semanal. Respecto de las dietéticas, MR y redes sociales en relación con la frecuencia de compra, los resultados fueron similares, destacando el MR con compras quincenales. Al analizar el perfil de los consumidores en relación con los medios a través de los cuáles las personas conocían y se informaban sobres estos alimentos, se halló una gran diferencia entre las redes sociales y allegados versus personal de salud, obteniendo los primeros más del 50% de las respuestas y el personal de salud solo un 9,7 %. La mayoría de los encuestados eligió comprar de manera presencial. En cuanto a la comparación de los precios entre los alimentos y/o productos agroecológicos y los alimentos convencionales, se observó diversidad, algunos productos son similares en precio y otros muy diferentes. Respecto del motivo por el cual se consumían alimentos y/o productos agroecológicos, el 72,2% de las respuestas fueron "porque son más saludables". Los alimentos y/o productos agroecológicos consumidos con mayor frecuencia fueron frutas y verduras.

Conclusiones: Conocer el perfil de consumidores permite la posibilidad de establecer una base de conocimiento acerca de los limitantes y posibilidades que hay alrededor del consumo de alimentos agroecológicos. Entendiendo el contexto en que se producen las decisiones se pueden implementar estrategias y/o políticas públicas que permitan el desarrollo de posibilidades para acceder a estos productos de manera consciente y sustentable.

EVALUACIÓN DEL CUMPLIMIENTO DEL CÓDIGO INTERNACIONAL DE COMERCIALIZACIÓN DE SUCEDÁNEOS DE LA LECHE MATERNA EN SUPERMERCADOS DE MUNICIPIOS DE LA PROVINCIA DE BUENOS AIRES ENTRE LOS MESES NOVIEMBRE Y DICIEMBRE DEL AÑO 2025.

Autores: Ancheta, Oriana Belén; Ferreiro, Emilia; García, Carolina Magalí; Pesoa, Agustina; Rambo, Milagros Jaqueline; Salinas, Micaela Gisella; Zotarelli, Julieta; D' Alfonso, Bernardita; Specogna, Mariana Bárbara.

Lugar de Trabajo: Facultad de Ciencias Médicas

e-mail de contacto (IMPORTANTE): julietazotarelli999@gmail.com

Introducción: El Código Internacional de Comercialización de Sucedáneos de la Leche Materna (CICSLM) busca proteger la lactancia humana frente a prácticas comerciales que posicionan a las fórmulas comerciales infantiles (FCI) como equivalentes o superiores a ella. Argentina lo adoptó de manera parcial en 1997 pero al día de hoy no se cuenta con una ley nacional integral que monitoree y sancione los incumplimientos.

Objetivos: Evaluar el cumplimiento del CICSLM en la comercialización de FCI en supermercados de municipios de la provincia de Buenos Aires, identificando las infracciones, las estrategias de marketing y las empresas involucradas, y analizando las formas de comercialización.

Materiales y métodos: Estudio observacional, descriptivo y transversal, realizado entre noviembre y diciembre de 2025. Se relevaron 112 supermercados de La Plata, Tandil y Pinamar, seleccionados por muestreo no probabilístico por conveniencia. Se emplearon los formularios adaptados n.º 5 y 6 del protocolo NetCode de la OMS y UNICEF. Los supermercados fueron clasificados según la cantidad de bocas de expendio en unibocas o cadenas mini (2 bocas), chicas (3 a 9 bocas), medianas (10 a 19 bocas), intermedias (20 a 60 bocas) y grandes (más de 80 bocas). Los resultados se presentaron como datos porcentuales y proporcionales a la muestra analizada.

Resultados: De los 112 locales visitados, el 83,04% (n=93) de los establecimientos comercializaban FCI y 16,07% (n=18) de ellos presentaron infracciones al CICSLM. En estos últimos, se identificaron 42 prácticas que lo vulneran. Llamativamente, dentro de un mismo establecimiento se identificó la coexistencia de múltiples infracciones. Asimismo, aunque La Plata concentró el mayor número absoluto de incumplimientos, Tandil presentó una mayor proporción de los mismos. En cuanto al tipo de bocas de expendio, las cadenas grandes constituyeron el 66,67% (n=12) de los establecimientos infractores. En cuanto a la edad de introducción de las FCI, el 57,14% (n=24) de los incumplimientos correspondió a las destinadas a niñxs de 12 a 24 meses y el 35,71% (n=15) a las de mayor de 24 meses. Por último, las empresas de origen multinacional, Nutricia-Bagó y Nestlé, reunieron el 88,09% de las promociones.

Conclusiones: Las prácticas comerciales que vulneran el CICSLM aún persisten hoy en día, sobre todo en cadenas grandes y mediante estrategias basadas en el precio, incluidas promociones indirectas no contempladas. Asimismo, se evidencia un vacío regulatorio en la normativa argentina para las FCI destinadas a mayores de 24 meses.

EXPRESIÓN DE ANTÍGENO LEUCOCITARIO HUMANO G Y FACTOR DE CRECIMIENTO DEL ENDOTELIO VASCULAR A EN EL CARCINOMA UROTELIAL DE VEJIGA

Moavro, Damián E.[1,2]; Palma, María Belén[1]; Martínez, Kevin[1]; Iribarne, Ailén[1]; Riccillo, Fernando[1]; García, Marcela N[1].

1- Cátedra de Citología, Histología y Embriología, Facultad de Ciencias Médicas, Universidad Nacional de La Plata; 2- H.I.G.A. "Gral. San Martín" de La Plata

e-mail de contacto: dmoavro@med.unlp.edu.ar

Introducción: El cáncer de vejiga es una de las neoplasias urológicas más comunes representando la quinta causa de muerte en los países occidentales. En Argentina, representa el 3% de todas las neoplasias, con predominio en el sexo masculino. Cerca del 95% de estos tumores son de origen epitelial, siendo el de mayor frecuencia el Carcinoma Urotelial (CU). Dentro del estudio anatomopatológico de estos casos es fundamental discriminar el grado histológico y el nivel de invasión, dado que constituyen factores determinantes de tratamiento y pronóstico. Actualmente, el tratamiento del CU consiste en la resección del tumor o la cistoprostatectomía radical, combinada con quimioterapia o inmunoterapia.

El antígeno leucocitario humano G (HLA-G) es una molécula no clásica del complejo mayor de histocompatibilidad de clase I, punto de control inmunitario (PCI). Este se describió por primera vez en la interfase feto-materna, presentando fuertes propiedades inmunosupresoras. En la actualidad, su expresión se ha observado en la mayoría de los tumores analizados. Nuestro grupo de trabajo ya ha descripto su expresión en otras neoplasias, como el Carcinoma de Células Renales Claras. Su expresión tiene un amplio efecto inhibidor a nivel local, ya que puede bloquear todos los mecanismos de respuesta antitumorales al actuar sobre las células NK, los linfocitos B, los linfocitos T y las células presentadoras de antígenos, a través de la interacción directa con sus receptores, principalmente ILT2 e ILT4.

El Factor de Crecimiento del Endotelio Vascular A (VEFG-A) juega un rol fundamental en la neoangiogénesis tumoral. Su expresión ha sido documentada en el CU, aunque existe discrepancia en su significado clínico, en relación con el pronóstico.

Objetivos: Explorar, por primera vez en la Argentina, la expresión conjunta de HLA-G y VEGF-A en muestras de pacientes con CU de vejiga, obtenidas en un Hospital Público. Vincular dicha expresión con el grado histológico, el nivel de invasión y la sobrevida.

Materiales y métodos: Estudio retrospectivo, donde se evaluaron 30 muestras de CU de vejiga, diagnosticadas entre 2014 y 2019 (pacientes de 49 a 71 años, en su mayoría de sexo masculino). Además, se accedió al historial médico de cada paciente para conocer su sobrevida (punto de corte en 5 años desde el diagnóstico). De cada caso se realizó la caracterización morfológica del CU (diagnóstico, grado histológico y nivel de invasión) y las técnicas de inmunohistoquímica para detectar la expresión de HLA-G y VEGF-A. Se consideraron cuatro niveles de inmunomarcación: nula, leve, moderada e intensa. Finalmente, se calcularon los valores p, a fin de establecer la validación estadística de los resultados.

Resultados: Del total de casos de CU de alto grado (23), 21 (91%) presentaron inmunomarcación para HLA-G (p=0,03). Cuatro de ellos no han superado los 5 años de sobrevida (p=0,3), de los cuales tres evidenciaron positividad intensa. Con respecto a la expresión de VEGF-A, dieron positivos 10 casos (33,3% del total), todos correspondientes a CU de alto grado (p=0,03), de los cuales 9 comprometían la túnica muscular propia (p=0,06) y 3 no superaron los 5 años de sobrevida (p=0,06). La expresión conjunta se vio en 9 casos (30% del total), de los cuales 7 fueron de alto grado (p=0,005) y presentaron compromiso del músculo detrusor (p=0,016); el 67% (6 casos) de este grupo superó los 5 años de sobrevida (p=0,048).

Conclusiones: Hemos confirmado que la expresión aislada de HLA-G, y conjunta con VEGF-A, en el CU de vejiga se asocia a una mayor agresividad lesional, si consideramos su relación con el grado histológico, el nivel de invasión y la sobrevida. En cambio, para establecer el valor pronóstico de la expresión aislada de VEGF-A, si bien hay una tendencia pronóstica similar, sería adecuado enriquecer el tamaño muestral. Dada la morbi-mortalidad asociada a los tratamientos convencionales y la baja respuesta positiva a la inmunoterapia (alrededor del 20% de los pacientes) con pembrolizumab y/o atezolizumab (que actúan sobre el PCI PDL-1/PD-1), consideramos de suma importancia la descripción de nuevos potenciales blancos terapéuticos.

FRECUENCIA DE VAGINOSIS BACTERIANA EN UNA POBLACIÓN DE MUJERES EN EDAD FÉRTIL DE LA CIUDAD DE LA PLATA

Carballido MD, Fernández SA, Molina NB, Risso MB, Visñevsky LB, Córdoba MA, Bernstein JC
Centro Universitario de Estudios Microbiológicos y Parasitológicos (CUDEMyP-UNLP-CIC)

e-mail de contacto: mcarballido@med.unlp.edu.ar

Introducción: La vaginosis bacteriana (VB) es una disbiosis de la microbiota vaginal de naturaleza polimicrobiana, caracterizada por una disminución marcada de *Lactobacillus* spp. y un desarrollo excesivo de *Gardnerella vaginalis* y bacterias anaerobias como *Mobiluncus* spp., *Fannyhessea vaginae*, *Prevotella* spp., y *Peptostreptococcus* spp. Esta entidad se ha asociado a un riesgo incrementado de infecciones de transmisión sexual (ITS) y a una repercusión negativa en la salud sexual de las mujeres. El desarrollo de VB se ha relacionado a cambios hormonales, tratamiento antimicrobiano previo, uso inconsistente de preservativo y con dispositivos de gestión menstrual. La frecuencia de VB para el grupo de mujeres en edad fértil de Argentina se ha estimado en un 19,3% (Belchior et al., 2021). Los datos disponibles sobre la frecuencia de VB en la población de la ciudad de La Plata son limitados, debido a lo cual una estimación actualizada permitiría obtener información epidemiológica relevante para el sistema de salud local.

Objetivos: Estimar la frecuencia de VB en una población de mujeres en edad fértil de la ciudad de La Plata que asisten a centros de salud públicos. Comparar los valores de frecuencia de VB según los dispositivos de gestión menstrual utilizados (copa menstrual, toallas o tampones), uso de preservativo y grupos etarios.

Materiales y métodos: Estudio observacional, descriptivo y prospectivo de corte transversal. Se recolectaron muestras de exudado vaginal provenientes de voluntarias que asistieron a centros de salud públicos de la ciudad de La Plata, en el período de mayo de 2024 a julio de 2026. Las muestras fueron recolectadas por ginecólogos y remitidas al CUDEMyP-UNLP-CIC. Posteriormente, se procesaron mediante el estudio morfológico del balance del contenido vaginal (BACOVA) (Maritato et al., 2018). Criterios de inclusión: mujeres con capacidad de gestar, sin comorbilidades, con más de 2 años desde la menarca, mayores de edad que otorgaron su consentimiento informado. Criterios de exclusión: mujeres mayores de 45 años, amenorrea o ciclos irregulares, gestantes o en período puerperal y tratamiento antibiótico en un intervalo de 10 días previos al estudio. Los cálculos de frecuencia de VB se efectuaron sobre el total de participantes y los grupos de: usuarias de copa menstrual (C1) y usuarias de toallas o tampones (C2); uso consistente de preservativo (P1) y no uso/uso inconsistente de preservativo (P2); participantes pertenecientes a grupos etarios de 18 a 24 años (E1) y de 25 a 45 años (E2). El análisis estadístico aplicado a los cálculos de frecuencia de los grupos se realizó mediante la prueba exacta de Fisher bilateral con un nivel de significancia de 0,05. El presente estudio fue aprobado por el Comité de Bioética y Ética de la Investigación de la FCM, UNLP (COBIMED).

Resultados: Se incluyeron un total de 99 participantes. La frecuencia de VB calculada fue del 18,2%. Para el grupo C1 la frecuencia de VB fue del 18,0% (n= 61), mientras que para C2 fue del 18,4% (n= 38), sin diferencia significativa (p= 1,00). En el grupo P1 la frecuencia fue de 17,1% (n= 41), frente a un 19,0% (n= 58) en P2, sin diferencia significativa (p= 1,00). Para los grupos E1 y E2 las frecuencias calculadas fueron de 11,8% (n= 17) y 19,5% (n= 82) respectivamente, sin diferencia significativa entre grupos (p= 0,73).

Conclusiones: La frecuencia de VB calculada en las participantes del estudio resultó levemente inferior a la estimación nacional para la población de mujeres en edad fértil. No se hallaron diferencias estadísticamente significativas entre los grupos analizados. El número de participantes incluidos constituye una limitación en relación a la representatividad de la población, por lo que la aparente homogeneidad de los valores de frecuencia entre grupos debe interpretarse con cautela. Se requieren estudios adicionales para incrementar la información epidemiológica disponible, mejorar las estimaciones de frecuencia y hallar la prevalencia regional de VB.

HÁBITOS ALIMENTARIOS, ESTILO DE VIDA Y ESTADO NUTRICIONAL EN ESTUDIANTES DE PRIMER AÑO DE MEDICINA

D' Alfonso B, Domínguez GH, Elgart JF, Francini F.
CENEXA. (UNLP-CONICET-CeAs CICPBA), FCM y FCE, UNLP.

e-mail de contacto: bdalfonso@med.unlp.edu.ar

Introducción: Las enfermedades crónicas no transmisibles constituyen la principal causa de muerte en Argentina, siendo la alimentación inadecuada y el sedentarismo factores de riesgo relevantes. Caracterizar los hábitos y condiciones de salud de estudiantes de Medicina resulta de interés dado su impacto potencial sobre la futura práctica profesional. Este trabajo forma parte de un estudio orientado a identificar factores asociados a las distintas categorías del índice de masa corporal (IMC). En esta primera etapa se caracterizó la población estudiada y se exploraron asociaciones entre las variables relevadas y las categorías del IMC.

Objetivos: Caracterizar las variables sociodemográficas, antropométricas, alimentarias y de estilo de vida de estudiantes de primer año de Medicina, y explorar su asociación con las categorías del IMC.

Materiales y métodos: Estudio transversal descriptivo basado en una encuesta en línea aplicada a estudiantes de primer año de Medicina durante 2026. Se relevaron variables sociodemográficas, antropométricas, alimentarias y relacionadas con el estilo de vida. Se excluyeron cuestionarios incompletos y estudiantes mayores de 35 años. Los resultados se expresaron como media ± desvío estándar o porcentajes. Se evaluó la dependencia entre variables mediante la prueba de chi-cuadrado, como aproximación inicial para identificar patrones de asociación relevantes para el análisis posterior de los factores asociados a las distintas categorías del IMC.

Resultados: Se analizaron 524 cuestionarios válidos de estudiantes de primer año de Medicina, con una distribución similar entre estudiantes argentinos y extranjeros. La edad media fue de 21 ± 4 años y el 75,8 % correspondió al género femenino. Respecto de las características familiares, el 37,8 % de los participantes reportó que al menos uno de sus progenitores había alcanzado estudios superiores, mientras que el 42 % convivía con familiares y el 58 % residía solo o con pares. En relación con los indicadores de salud, el IMC promedio fue de 25,2 ± 6,7 kg/m^2; el 52,5 % presentó IMC <25 kg/m^2 y el 14,3 % obesidad (IMC ≥30 kg/m^2). En cuanto a los hábitos de vida, el 43,7 % realizaba actividad física regular, el 78 % dormía entre cinco y siete horas diarias y el 40 % refirió sentirse desanimado más de la mitad de los días. Respecto de los hábitos alimentarios, el 45,8 % desayunaba diariamente y el 75,4 % cenaba en forma habitual. Sólo el 30 % y 25,4 % alcanzaban las recomendaciones de consumo de frutas y verduras, respectivamente. Se observó consumo diario de ultraprocesados, como bebidas azucaradas (24,6 %), snacks (17,7 %) y empanadas o pizzas (31,5 %). El sabor fue señalado como principal condicionante de la elección alimentaria (85 %). Finalmente, el 57,6 % manifestó estar dispuesto a seguir un régimen dietético temporal, mientras que solo el 18,5 % manifestó estar dispuesto a cuidar su alimentación y hacer ejercicio. Respecto a la disposición a recibir consejos destinados a mejorar sus hábitos de salud, solo el 13 % no estuvo de acuerdo. En el análisis exploratorio se observaron asociaciones significativas entre el bajo peso (IMC <18,5 kg/m^2) y el consumo de pan y bebidas azucaradas ($p < 0,05$). Entre los estudiantes con IMC entre 18,5 y 25 kg/m^2 se identificaron asociaciones con el consumo de agua, legumbres y el agregado de sal ($p < 0,05$). Por último, en los estudiantes con obesidad severa (IMC >40 kg/m^2) se observó una asociación con el nivel educativo de los padres ($p < 0,05$).

Conclusiones: Los estudiantes ingresantes presentaron aspectos nutricionales y conductuales potencialmente modificables. Estos hallazgos pueden orientar estrategias de promoción de la salud dirigidas a futuros profesionales sanitarios.

HIPOTENSIÓN NOCTURNA Y PATRÓN EXTREME DIPPER EN MONITOREO AMBULATORIO DE PRESIÓN ARTERIAL: PREVALENCIA, CONCORDANCIA Y FACTORES ASOCIADOS EN UNA COHORTE REAL

Minetto Julián[1,2], Espeche Walter Gastón [1,2], Pacho Calvo Sofía [1,2], Cerri Gustavo Ricardo [1,2], Giordani Ezequiel [1,2], Olano Daniel [1,2], Costa Mariano[1], Jeremias Altuna Ruiz[1,2], Juan Francisco Todoroff [1,2], Juan Ignacio Perez Duhalde [1,2],Leiva Sisnieguez Carlos Enrique [1,2], Salazar Martin Rogelio [1,2], Leiva Sisnieguez Cecilia [1,2].
1 Unidad Enfermedades Cardiometabólicas HIGA San Martín La Plata
2 Facultad de Ciencias Médicas Universidad Nacional de La Plata.

e-mail de contacto: spachocalvo@med.unlp.edu.ar

Introducción: La hipotensión nocturna (HN) definida por valores absolutos y el patrón de descenso nocturno extremo o extreme dipping (ED) suelen utilizarse de manera intercambiable en la literatura, sin embargo no está claro si identifican el mismo fenotipo clínico ni si comparten determinantes fisiopatológicos semejantes. En un contexto en el que las guías internacionales de hipertensión arterial promueven objetivos terapéuticos cada vez más estrictos estas entidades toman mayor importancia.
Objetivos: Describir la prevalencia de hipotensión nocturna y del patrón de descenso nocturno extremo, analizar la concordancia entre ambas definiciones y evaluar las variables clínicas asociadas a cada una en una cohorte donde se realizó monitoreo ambulatorio de presión arterial (MAPA).

Materiales y métodos: Estudio transversal con muestreo consecutivo de pacientes de 16–85 años evaluados mediante MAPA en una unidad cardiometabólica entre 2022 y 2025. Se incluyeron sujetos con medición clínica y MAPA válidos .La HN se definió como presión arterial nocturna <90/50 mmHg . El patrón ED se definió como descenso nocturno ≥20% en presión arterial diastólica (PAD) y/o presión arterial sistólica (PAS) respecto al período diurno. Se analizaron variables clínicas, antropométricas y cardiovasculares. Se evaluó concordancia mediante coeficiente kappa y factores asociados mediante regresión logística binaria.

Resultados: Se analizaron 3327 pacientes (61,7% mujeres; edad 50±14,9 años). La HN fue 3,5% . El patrón ED estuvo presente en 27,2% de la población, predominantemente determinado por el descenso de la PAD (2.5% solo diagnosticado por PAS, 68% solo por PAD, y 29,4% por descenso de ambas) .
Solo el 8,7% de los pacientes con ED presentó HN, mientras que el 66,9% de los pacientes con HN fueron clasificados como ED. La concordancia entre ambas definiciones fue baja (kappa=0,098).
En el análisis multivariable, ED se asoció independientemente con menor edad (OR 0,98; IC 95% 0,97–0,98; p<0,001), menor perímetro de cuello (OR 0,97; IC 95% 0,94–0,99; p=0,034) y mayor antecedente de diabetes(OR 1,50; IC 95% 1,18–1,90; p=0,001), mientras que HN se asoció con menor índice de masa corporal (OR 0,90; IC 95% 0,85–0,95; p<0,001) y con hipotensión en consultorio (OR 9,78 IC95% 6,45–14,82 ; p<0,001). Ninguno de los patrones se relacionó con mayor intensidad de tratamiento antihipertensivo.

Conclusiones: La HN y el patrón ED no representan fenómenos equivalentes y presentan determinantes clínicos distintos. Cuando la HN se definió mediante valores absolutos estrictos, la prevalencia fue baja, diferenciandose del patrón ED, el cual estuvo presente en más de un cuarto de la muestra, siendo importante para su detección el descenso de la PAD , la cual clasifica a casi la totalidad de dichos pacientes (97,4% de los ED).
La hipotensión en consultorio podría contribuir a la identificación de HN, como así la diabetes ser una comorbilidad en quien buscar el ED.
Estos hallazgos plantean la posibilidad de que la HN y el ED reflejen, al menos parcialmente, características hemodinámicas individuales, más que constituir exclusivamente fenómenos relacionados con la intensidad del tratamiento antihipertensivo

HISTORIAS QUE ALIMENTAN - VALORACIÓN DE BOLSONES DE PRODUCTOS AGROECOLÓGICOS EN EL CINTURÓN HORTÍCOLA PLATENSE: UNA PROPUESTA DE CONEXIÓN ENTRE PRODUCTORES Y CONSUMIDORES

D´Adario, C, Delgado, LA, Dobos Palacios, I, Ferrería, L, Gil Vicencio, D, Murdoch, J, Nassi, ME, Ortiz, CB, Guidi, MG; Fontana, PA.
Facultad de Ciencias Médicas, UNLP

Introducción: El presente trabajo, es síntesis de una tesina de grado realizada de manera grupal, para acceder al Título de Licenciatura en nutrición (FCM-UNLP). La intervención tuvo como eje central la puesta en valor de los bolsones agroecológicos distribuidos por "La Justa", comercializadora de la economía social y solidaria impulsada desde la Universidad Nacional de La Plata (UNLP), y producidos de forma agroecológica por agricultoras familiares del cinturón hortícola platense vinculadas a la Feria "Manos de la Tierra", un espacio de venta del productor al consumidor en la UNLP. Estos bolsones representan el resultado del trabajo colectivo y de saber popular acumulado por familias que cultivan la tierra y sostienen prácticas alimentarias con sentido. La propuesta se enmarcó en una perspectiva de salud colectiva, integrando soberanía alimentaria, economía social y nutrición crítica entendida como un enfoque que analiza la alimentación considerando sus dimensiones sociales, culturales, económicas y políticas, y no solo los nutrientes.

Objetivos: Desarrollar de manera participativa un recetario digital con productos estacionales incluidos en los bolsones agroecológicos, para revalorizar estos alimentos y fortalecer el vínculo entre productores y consumidores, promoviendo la soberanía alimentaria, una alimentación sostenible, saludable y culturalmente significativa. Asimismo, evaluar la utilidad y experiencia de uso de la herramienta de contenido y detectar oportunidades de mejora.

Materiales y métodos: La intervención se llevó a cabo mediante un enfoque metodológico mixto. Se llevo a cabo una encuesta virtual a consumidores de La Justa (n= 67) sobre hábitos de consumo y prácticas culinarias, y se realizaron entrevistas semiestructuradas a seis productoras agroecológicas de la feria Manos de la Tierra. Para construir el recetario, se solicitó a los consumidores que compartieran recetas con las verduras del bolsón; quienes enviaban una preparación participaban de un sorteo de productos de La Justa. A partir del material recolectado se elaboró un recetario digital, difundido mediante un código QR incorporado a los bolsones y por canales digitales. Finalmente, se aplicó una encuesta de satisfacción para evaluar la percepción y uso del recetario, la utilidad de sus contenidos, el interés en las historias de las productoras y su influencia en las prácticas alimentarias.

Resultados: El recetario participativo quedó conformado por 30 preparaciones con productos estacionales, información nutricional comprensible, consejos de conservación y cocción y relatos de las familias productoras. La totalidad de quienes respondieron la encuesta valoró el material como útil. El 98,9 % manifestó haber incorporado nuevas ideas para aprovechar las verduras, el 18,5 % llevó a la práctica alguna receta y el 27,2 % declaró cambios en sus hábitos alimentarios. La herramienta contribuyó a fortalecer el reconocimiento del trabajo de las familias productoras. Las sugerencias de mejora incluyeron incorporar videos y nuevas recetas por estación.

Conclusiones: La metodología empleada, basada en etapas diagnósticas, herramientas participativas y evaluación posterior, permitió identificar necesidades reales de los consumidores y diseñar una propuesta pertinente y alcanzable. La alta aceptación del material, su utilidad percibida y el interés por las historias de las agricultoras muestran el aporte de las estrategias de educación alimentaria situadas en su contexto social y productivo. El recetario permitió integrar conocimientos nutricionales y saberes populares, visibilizar las historias detrás de los alimentos, y fortalecer el vínculo entre productores y consumidores. El trabajo realizado constituye un aporte concreto al diseño de entornos alimentarios más saludables y a la defensa de modelos productivos que cuidan a las personas, a las comunidades y al territorio que habitan.

IMPACTO DE LA CLASIFICACIÓN UTILIZADA SOBRE LA PREVALENCIA DE HIPERTENSIÓN ARTERIAL EN UNA POBLACIÓN EVALUADA MEDIANTE UNA ÚNICA MEDICIÓN DE PRESIÓN ARTERIAL.

Samara Zoe Pucci, Pilar López Romero, Gabriela Mabel Sánchez Álvarez, Solange Busto Camales, Camila Florencia Rosas, Gabriela Alejandra Martínez, Cugnetto Hernán, Ángela Ortega, María Mariño Inga, Marian Marlene Rodríguez, Andrés Pinilla
Cátedra de Fundamentos de la Práctica Cardiológica – Tecnicatura en Prácticas Cardiológicas, Facultad de Ciencias Médicas, Universidad Nacional de La Plata.

e-mail de contacto: puccisamara@gmail.com

Introducción: La hipertensión arterial constituye uno de los principales factores de riesgo cardiovascular y su prevalencia puede variar según los criterios utilizados para definirla. Las clasificaciones estadounidense y europea emplean umbrales diferentes para establecer hipertensión arterial, por lo que su aplicación sobre una misma población puede generar distintas estimaciones epidemiológicas. El análisis de esta diferencia resulta especialmente relevante cuando la evaluación se realiza mediante una única medición de presión arterial, situación frecuente en actividades de pesquisa y prácticas de formación en salud.

Objetivo: Comparar la prevalencia de cifras compatibles con hipertensión arterial según la clasificación estadounidense y la clasificación europea ESC 2024 en una población evaluada mediante una única medición de presión arterial, estimando la diferencia absoluta y la razón de prevalencias entre ambos criterios.

Materiales y métodos: Estudio observacional, descriptivo y comparativo realizado en 243 personas evaluadas mediante una única medición de presión arterial. Se registraron presión arterial sistólica (PAS) y diastólica (PAD). Para el análisis comparativo se aplicaron dos criterios de clasificación: criterio estadounidense, considerando hipertensión arterial a partir de PAS ≥130 mmHg y/o PAD ≥80 mmHg, y criterio europeo ESC 2024, considerando hipertensión arterial a partir de PAS ≥140 mmHg y/o PAD ≥90 mmHg. Se calcularon la prevalencia de hipertensión arterial para cada clasificación, la diferencia absoluta expresada en puntos porcentuales y la razón de prevalencias (RP).

Resultados: De los 243 participantes, 151 (62,1%) fueron clasificados como hipertensos según el criterio estadounidense, mientras que 87 (35,8%) fueron clasificados como hipertensos según el criterio europeo ESC 2024. La diferencia absoluta de prevalencia fue de 26,3 puntos porcentuales. La razón de prevalencias fue de 1,74, indicando que la prevalencia de cifras compatibles con hipertensión fue 1,74 veces mayor al aplicar el criterio estadounidense respecto del europeo. En el análisis de reclasificación, 87 participantes fueron considerados hipertensos por ambos criterios, mientras que 64 fueron clasificados como hipertensos únicamente por el criterio estadounidense. Ningún participante fue clasificado como hipertenso por el criterio europeo y no por el estadounidense.

Conclusiones: En esta población evaluada mediante una única medición de presión arterial, la prevalencia de cifras compatibles con hipertensión arterial varió sustancialmente según la clasificación utilizada. El criterio estadounidense identificó una proporción mayor de participantes como hipertensos que el criterio europeo, con una diferencia absoluta de 26,3 puntos porcentuales y una razón de prevalencias de 1,74. Estos resultados muestran que el sistema de clasificación empleado puede modificar de manera importante la estimación epidemiológica de hipertensión en una misma población.

IMPACTO DE LA REPETICIÓN DE LAS MEDICIONES DE PRESIÓN ARTERIAL EN LA CLASIFICACIÓN DE HIPERTENSIÓN SEGÚN LA ESC 2024 EN MUJERES ADULTAS

Pilar López Romero, Gabriela Mabel Sánchez Álvarez, Solange Busto Camales, Camila Florencia Rosas, Gabriela Alejandra Martínez, Cugnetto Hernán, Ángela Ortega, Samara Zoe Pucci, María Mariño Inga, Samara Zoe Pucci, Marian Marlene Rodríguez, Andrés Pinilla
Cátedra de Fundamentos de la Práctica Cardiológica – Tecnicatura en Prácticas Cardiológicas – Facultad de Ciencias Médicas, Universidad Nacional de La Plata.

e-mail de contacto: pilarlr02@gmail.com

Introducción: La hipertensión arterial (HTA) constituye uno de los principales factores de riesgo cardiovascular y su identificación puede verse influida por la variabilidad de la presión arterial (PA) y por el procedimiento utilizado para su medición. Las Guías ESC 2024 establecen la clasificación de la PA de consultorio en presión arterial no elevada, presión arterial elevada e HTA, considerando HTA a partir de valores de presión arterial sistólica (PAS) ≥140 mmHg y/o presión arterial diastólica (PAD) ≥90 mmHg. En este contexto, la utilización de una única medición podría generar una clasificación diferente respecto de aquella obtenida mediante mediciones repetidas.

Objetivos: Evaluar el impacto de la repetición de las mediciones de presión arterial sobre su clasificación según los criterios de la ESC 2024, comparando una única medición con el promedio de tres, en mujeres adultas.

Materiales y métodos: Estudio observacional, descriptivo, comparativo y de diseño transversal, realizado sobre 120 mujeres adultas evaluadas en el Hospital San Martín. Se realizaron tres mediciones consecutivas de PAS y PAD. Para cada participante se obtuvo la clasificación según ESC 2024 utilizando: 1) exclusivamente la primera medición y 2) el promedio de las tres mediciones. Se consideraron tres categorías: PA no elevada, PA elevada e HTA. Se compararon las proporciones de cada categoría y las modificaciones individuales de clasificación entre ambos procedimientos.

Resultados: De las 120 participantes, utilizando la primera medición, 44 (36,7%) fueron clasificadas como hipertensas, 68 (56,7%) como portadoras de PA elevada y 8 (6,7%) como PA no elevada. Al utilizar el promedio de las tres mediciones, 35 (29,2%) fueron clasificadas como hipertensas, 69 (57,5%) como PA elevada y 16 (13,3%) como PA no elevada.
La utilización de tres mediciones produjo una reducción absoluta de 7,5 puntos porcentuales en la proporción de participantes clasificadas como hipertensas respecto de la primera medición. Nueve participantes inicialmente clasificadas como hipertensas fueron reclasificadas al utilizar el promedio de las tres mediciones: 8 (88,9%) pasaron a PA elevada y 1 (11,1%) a PA no elevada. No se observaron participantes que pasaran de PA elevada o PA no elevada a HTA al utilizar el promedio de tres mediciones. En total, 19 participantes (15,8%) modificaron su categoría de PA. La concordancia entre ambos procedimientos fue del 84,2%, con un coeficiente kappa de 0,716. La diferencia en la identificación de HTA entre ambas estrategias fue significativa (p=0,0039).

Conclusiones: En esta muestra de mujeres adultas, la utilización de una única medición de presión arterial identificó una mayor proporción de participantes como hipertensas que el promedio de tres mediciones consecutivas, aplicando los criterios de clasificación de la ESC 2024. La repetición de las mediciones modificó la clasificación de una de cada seis participantes y redujo particularmente la identificación de HTA, sin observarse reclasificaciones hacia HTA desde categorías inferiores.
Estos hallazgos muestran que el procedimiento de medición constituye un componente relevante en la caracterización epidemiológica de la presión arterial. La utilización de mediciones repetidas podría contribuir a una clasificación más consistente de la PA y evitar la identificación de HTA basada en valores aislados, aspecto particularmente relevante en estudios poblacionales y en actividades de detección cardiovascular realizadas en el ámbito de la práctica cardiológica.

Palabras clave: presión arterial; hipertensión arterial; mediciones repetidas; ESC 2024; riesgo cardiovascular; mujeres.

IMPACTO DE UN ENTRENAMIENTO CARDIORRESPIRATORIO OCLUSIVO DE BAJA INTENSIDAD SOBRE LA PRESIÓN ARTERIAL DE CONSULTORIO Y LA APTITUD FÍSICA EN PERSONAS ADULTAS HIPERTENSAS

Santa María, M; Minetto, J; Cerri, G; Collado, S; Barreda, M; Staropoli, F; Espeche, W
Unidad de Enfermedades Cardiometabólicas. HIGA San Martín

e-mail de contacto (IMPORTANTE): prof.matiassantamaria@gmail.com

Introducción: La hipertensión arterial constituye el principal factor de riesgo modificable de morbimortalidad cardiovascular, lo que exige estrategias no farmacológicas como el ejercicio físico para optimizar el control de la presión arterial. Si bien el entrenamiento continuo moderado (MICT) y el intervalado de alta intensidad (HIIT) cuentan con amplia evidencia, la restricción del flujo sanguíneo (BFR) aplicada al ejercicio aeróbico de baja intensidad surge como una alternativa prometedora con menor carga de trabajo. Por ello, este estudio evalúa la seguridad e impacto de un programa de doce semanas de MICT con BFR sobre la presión arterial y la aptitud física en adultos hipertensos, comparándolo directamente con las modalidades tradicionales de MICT y HIIT.

Objetivos: Comparar el impacto de tres modalidades de entrenamiento cardiorrespiratorio —interválico de alta intensidad (HIIT), continuo de intensidad moderada (MICT) y continuo de baja intensidad con restricción del flujo sanguíneo (LICT-BFR)— frente a un grupo control sobre la presión arterial de consultorio y la aptitud física en pacientes hipertensos.

Materiales y métodos: Ensayo clínico controlado y aleatorizado realizado en la Unidad de Enfermedades Cardiometabólicas del Hospital Interzonal General de Agudos San Martín (La Plata). Se evaluaron 60 participantes (edad promedio: 60 ± 6 años). Tras excluir a 8 sujetos por criterios clínicos, la muestra (n = 52) se asignó a un grupo control (GC; n = 15) o a los grupos de ejercicio: HIIT (n = 10), MICT (n = 13) y LICT-BFR (n = 14). La intervención constó de 36 sesiones con una frecuencia de 3 veces por semana a lo largo de 12 semanas.

Resultados: La pérdida de seguimiento fue del 26,9 %, completando el estudio 38 participantes con una adecuada adherencia. En comparación con el GC, el conjunto de los grupos de ejercicio mostró mejoras significativas en la aptitud física y en los niveles de presión arterial basal ($p < 0,05$), sin cambios en el peso ni en el perímetro de cintura. Los tres protocolos mejoraron losa niveles de aptitud física; sin embargo, únicamente el grupo LICT-BFR logró una reducción estadísticamente significativa de la presión arterial diastólica (PAD) en consultorio ($p = 0,044$).

Conclusiones: El entrenamiento cardiorrespiratorio es indispensable para mejorar la capacidad funcional y el control hemodinámico en hipertensos. La modalidad LICT-BFR destaca por ofrecer beneficios funcionales equivalentes con una eficacia superior en la disminución de la presión arterial diastólica de consultorio.

PALABRAS CLAVES: Hipertensión arterial, ejercicio supervisado, entrenamiento cardiorrespiratorio de baja intensidad con restricción de flujo sanguíneo, aptitud física

IMPORTANCIA DE LAS RADIOGRAFIAS PANORAMICAS PREOPERATORIAS DE RUTINA, PARA LA DETECCION DE PATOLOGIAS, ANOMALIAS DENTARIAS Y OSEAS DE HALLAZGOS IMAGENOLOGICOS.

Yunes Federico Fabian; Ricciardi Nicolas; Capraro María Eugenia; Ojeda Pablo; Alfano Tomas.
Asignatura "Cirugía A", Facultad de Odontología, Universidad Nacional de La Plata.

e-mail de contacto: ffyunesmail.com

Introducción: La radiografía panorámica es ampliamente utilizada en cirugía bucal, implantología, ortodoncia y periodoncia, ya que permite visualizar todas las piezas dentales y estructuras como los maxilares y la articulación temporomandibular. Los hallazgos radiográficos pueden ser generales, específicos de la indicación del estudio o incidentales, estos últimos corresponden a alteraciones descubiertas de forma inesperada y no relacionadas con el motivo de la radiografía. Los hallazgos incidentales deben ser mencionados, aunque no estén relacionados con el área odontológica. Tal es el caso de las piezas dentarias que están en Relación con Estructuras Vecinas como por ejemplo Proximidad a Senos Maxilares y Fosas Nasales donde evaluamos el riesgo de perforación durante la exodoncia de raíces cercanas a la cortical del seno o en maniobras quirúrgicas a la hora de colocación de implantes en el área posterior del maxilar superior. Es fundamental enseñar la correcta derivación a especialistas frente a hallazgos radiográficos, para garantizar que los pacientes reciban el tratamiento correspondiente. La metodología consistió en el análisis y codificación de las imágenes radiográficas en una población compuesta por 191 pacientes femeninos y masculinos. En este estudio se identificaron hallazgos patológicos significativos no conocidos por los pacientes como tener los senos maxilares ocupados o neumatizados.

Objetivos: General: Detectar y comunicar la existencia de patologías bucales desconocidas para el paciente a través de la ortopantomografía de rutina. Específicos: Generar conciencia sobre patologías bucales que pueden estar presentes y son detectados gracias a la radiografía panorámica Identificar las alteraciones siguiendo un método sistemático. Evaluar la frecuencia con la que ocurre para fines epidemiológicos.

Materiales y métodos: Se realizó un estudio observacional, descriptivo y retrospectivo, basado en la revisión de radiografía panorámicas tomadas a pacientes que concurrieron a la Facultad de Odontología UNLP. La muestra poblacional está compuesta por los estudios de radiografías panorámicas tomadas a 191 pacientes de sexo femenino y masculino en un rango etario de 19 a 75 años inclusive, que concurrieron durante el periodo de marzo a junio de 2026 a la Asignatura de Cirugía "A" de la FOLP. UNLP.

Resultados: De marzo a junio de 2026 se analizaron 191 ortopantomografías siendo mujeres 112 que representan el 58,64% y hombres 79 con el 41,36%. El registro de ambos senos maxilares libres fue del 70,16% y 14,66 % de ambos senos maxilares ocupados, seno maxilar derecho ocupado el 8,90% y el seno maxilar izquierdo ocupado 6,28%.En relación a senos maxilares tabicados ninguno con el 69,63% y ambos senos maxilares tabicados el 12,57%, el seno maxilar derecho tabicado arrojo el 9,95%, mientras que el izquierdo tabicado el 7,85%.Otra de las muestras analizadas fueron los senos maxilares neumatizados, en donde el porcentaje de ambos senos maxilares neumatizados dio el 64,92%, ninguno neumatizados el 19,90%, el seno maxilar derecho neumatizado el 9,95% y seno maxilar izquierdo neumatizado 5,24%.

Conclusiones: La ortopantomografía de rutina constituye una herramienta diagnóstica que trasciende la planificación odontológica inicial, ya que permite la identificación de hallazgos incidentales asintomáticos con potencial relevancia clínica. La detección y el registro sistemático de estas alteraciones favorecen la prevención, la derivación oportuna y la optimización de la atención en salud bucal de la población. Si bien los sistemas de imagen digital y las tecnologías volumétricas han transformado la práctica odontológica mediante la planificación y ejecución de tratamientos asistidos por software, la radiología convencional continúa desempeñando un papel fundamental tanto en la práctica clínica general como en la formación académica, debido a su amplia disponibilidad, accesibilidad y bajo costo. En este contexto, el presente estudio tiene como objetivo generar evidencia local que complemente los hallazgos reportados en la literatura internacional, contribuyendo al fortalecimiento de la práctica clínica cotidiana y al aprovechamiento integral de la información diagnóstica proporcionada por la ortopantomografía.

LA LABOR OBSTÉTRICA EN LA REGIÓN SANITARIA XI DE LA PROVINCIA DE BUENOS AIRES

Salsa Cortizo, Victoria
Cátedra de Salud y Medicina Comunitaria, FCM, UNLP

e-mail de contacto: mvsalsacortizo@med.unlp.edu.ar

Introducción: La partería en la provincia de Buenos Aires (PBA) cobró un gran impulso a partir de la década de 1990 con la creación del grado de Licenciatura, del Colegio Profesional y de legislaciones específicas que ampliaron sus históricas incumbencias. Actualmente atienden cerca del 70% de los nacimientos realizados en el subsector público y trascienden los límites de la sala de partos y el seguimiento de embarazos al sumar tareas de atención a la salud sexual y (no)reproductiva en todos los niveles de atención. No obstante, no se han desarrollado investigaciones locales que den cuenta de las consecuencias que su trabajo tiene para la salud pública. Aquí se presentan algunos de los resultados de mi tesis doctoral en Cs. Médicas.

Objetivos: Estudiar el campo ocupacional de las obstétricas que trabajan en el subsector público de todos los niveles de atención en la Región Sanitaria XI (RS XI), atendiendo a su dimensión asistencial a fin de construir resultados que den cuenta del impacto de su trabajo en los procesos y resultados de la atención.

Materiales y métodos: Estudio cualitativo de enfoque etnográfico. Basado en la implementación de dos técnicas complementarias de recolección de información: observación y entrevista. Acercamiento a 14 de los 18 municipios de la RS XI a través de la visita a 23 centros asistenciales de todos los niveles entre los años 2014 y 2019. Realización de 34 registros observacionales de jornadas laborales y de 35 entrevistas en profundidad a obstétricas sobre sus trayectorias profesionales. Tipo de muestra intencional no probabilística, uso del criterio de saturación teórica. Codificación y procesamiento manual del material empírico. Criterio de análisis de contenido a través del rastreo de grandes temas y la construcción *a posteriori* de variables y dimensiones.

Resultados: La organización sanitaria en la PBA está atravesada por una gran heterogeneidad y fragmentación en los tres niveles de atención del subsector público. Esto genera un impacto en el despliegue de tareas asistenciales de la ocupación. Se observaron condiciones de contratación dispares y modalidades y prácticas de atención variables entre y hacia el interior de los efectores. A pesar de ello, a partir del análisis de prácticas asistenciales cotidianas en los distintos efectores visitados y de los sentidos atribuidos por parte de las obstétricas a su trabajo, se pudieron trazar puntos de encuentro entre las tareas desplegadas por las profesionales independientemente de variabilidades organizacionales que orientan el rumbo de sus labores. Como producto de este análisis se construyó un marco teórico-metodológico para el estudio del trabajo de las obstétricas que sintetiza los resultados del estudio cualitativo. Esta herramienta permite organizar, describir y analizar las tareas observadas a través de cuatro grandes variables: a) atención clínico-terapéutica, b) educación para la salud, c) promoción de la salud emocional y social y, d) filosofía del "*estar ahí*". Asimismo, se desagregaron estas variables en una serie de dimensiones que permitieron abordar con mayor precisión cada uno de estos grandes ejes.

Conclusiones: Los resultados evidencian que en las últimas décadas se ha presentado una gran apertura en su trabajo y un rol activo y protagónico en la atención a la salud integral de las mujeres y sus familias, incluso frente a condicionantes como la fragmentación del sistema y la heterogeneidad de sus condiciones de contratación y de la organización al interior de los servicios. Se pudo demostrar que las tareas de atención y cuidado de obstétricas son integrales, promueven recorridos de cuidado coordinados, reconocen derechos fundamentales, facilitan accesibilidad a servicios, prácticas e insumos, fomentan la salud y los procesos normales mientras vigilan la posibilidad de que la patología aparezca y utilizan los avances biomédicos para potenciar la calidad de la atención dispensada. Esto se traduce en un impacto positivo en los procesos y resultados de la atención.

¿MISMA POBLACIÓN, DISTINTO DIAGNOSTICO? IMPACTO DE LOS NUEVOS PUNTOS DE CORTE EN LA RECLASIFICACIÓN DE LOS FENOTIPOS DE PRESIÓN ARTERIAL

Espeche Walter Gaston[a,b], Cerri Gustavo Ricardo[a,b], Minetto Julian[a,b], Pacho Calvo Sofia[a,b], Todoroff Juan Francisco[a,b], Perez Duhalde Juan Ignacio[a,b], Altuna Ruiz Jeremias[a,b], Campillo Pablo[a], Balbin Eduardo[a], Olano Daniel[a], Leiva Sisnieugez Carlos Enrique[a,b], Leiva Sisnieugez Cecilia B[a,b], Martinez Camilo[a,b], Giordani Ezequiel[a,b], Costa Mariano[a], Tavella Alberto[a,b], Garrigue Jesica[a,b], Gomez Daniela[a], De Iraola Ana[a], Sanchez Trapes Pedro[a], Santa Maria Matias[a,b], Barreda Macarena[a], Collado Sebastian[a], Staropoli Fabrizio[a], Carbajal Horacio[b], Salazar Martin Rogelio[a,b].
A. Unidad de Enfermedades Cardiometabolicas, HIGA San Martin de La Plata.
B. Facultad de Ciencias Medicas, Universidad Nacional de La Plata

e-mail de contacto: gustavorcerri92@gmail.com

Introducción: Existen discrepancias en los puntos de corte de presión arterial (PA) utilizados para la definición de los fenotipos de PA, tanto en consultorio como mediante monitoreo ambulatorio (MAPA). El impacto de estas diferencias sobre la prevalencia de HA y la reclasificación fenotípica no ha sido completamente caracterizado.

Objetivos: Evaluar el impacto de los criterios del American College of Cardiology/American Heart Association (ACC/AHA) y de la European Society of Hypertension/International Society of Hypertension (ESH/ISH) sobre la prevalencia de HA y la distribución de los fenotipos de PA en pacientes con y sin tratamiento antihipertensivo.

Materiales y métodos: Estudio transversal de 3235 pacientes derivados a realizar un MAPA. La PA de consultorio se definió según ACC/AHA (≥130/80 mmHg) o ESH/ISH (≥140/90 mmHg). Los umbrales de MAPA para 24 horas, día y noche fueron ≥125/75, ≥130/80 y ≥115/65 mmHg según ACC/AHA, y ≥130/80, ≥135/85 y ≥120/70 mmHg según ESH/ISH. En los pacientes tratados se utilizó un objetivo común de PA de consultorio <130/80 mmHg y los umbrales ambulatorios propios de cada guía. Se comparó la distribución fenotípica mediante pruebas homogeneidad marginal con Stuart-Maxwell, direccionalidad mediante McNemar-Bowker, la concordancia mediante kappa ponderado. Los cambios individuales entre fenotipos se exploraron mediante matrices de transición con representación gráfica mediante mapas de calor (heatmaps) y flujograma Sankey. El impacto de la reclasificación se evaluó mediante índice de reclasificación y regresión logística. Se realizo adicionalmente un subanálisis de normotensos reclasificados en hipertensos.

Resultados: En los pacientes sin tratamiento (1792), los criterios ACC/AHA aumentaron la prevalencia de HA del 35,0% al 62,2%. La distribución fenotípica difirió significativamente entre las clasificaciones (p<0,001), con concordancia baja a moderada (κ=0,52) y reclasificación hacia categorías de mayor riesgo en el 40,3%, sin desplazamientos hacia categorías de menor riesgo. Entre los pacientes tratados (1443), puntos de corte más bajos de MAPA redujeron el fenómeno de guardapolvo blanco a expensas de aumento de la hipertensión no controlada (58,3% a 72,8%). La distribución también difirió significativamente (p<0,001), la concordancia fue moderada (κ=0,61) y el 20,3% fue reclasificado hacia categorías de mayor riesgo. Ninguna variable clínica se asoció independientemente con la discordancia.
En el subanálisis de pacientes normotensos según ESH/ISH, aquellos reclasificados como hipertensos sostenidos según ACC/AHA presentaron mayor edad, mayor proporción de varones y mayor índice de masa corporal.
Tabla 2: Subanálisis normotensos ESH/ ISH que persistieron normotensos versus aquellos que se transformaron en hipertensos según ACC/ AHA

Variable	Total N = 411	Normotenso ACC/ AHA N = 275	HT sostenida ACC/ AHA N = 136	p
Edad (±DS)	**40.11 ± 16.30**	38.00 ± 16.99	44.40 ± 14.00	< 0.001
Sexo masculino (%)	**102 (24.8)**	59 (21.5)	43 (31.6)	0.029
IMC (±DS)	**27.57 ± 5.81**	26.62 ± 5.26	29.50 ± 6.40	< 0.001
DM (%)	**24 (5.8)**	17 (6.2)	7 (5.1)	0.824
ECV (%)	**13 (3.2)**	6 (2.2)	7 (5.1)	0.134
ERC (%)	**3 (0.7)**	1 (0.4)	2 (1.5)	0.255
TBQ (%)	**67 (16.3)**	43 (15.6)	24 (17.6)	0.671
ARCV (%)	**39 (9.5)**	23 (8.4)	16 (11.8)	0.286
IMC: índice de masa corporal, DM: diabetes, ECV: enfermedad cardiovascular, ERC: enfermedad renal crónica, TBQ: tabaquismo, ARCV: alto riesgo cardiovascular				

Conclusión: La utilización de distintos puntos de corte de PA genera diferencias sustanciales en la prevalencia de HA y en la clasificación fenotípica. Umbrales más bajos conducen a una reclasificación sistemática hacia categorías de mayor riesgo cardiovascular.

NEUMONÍA ADQUIRIDA EN LA COMUNIDAD EN ADULTOS MAYORES: ETIOLOGÍA, DIAGNÓSTICO Y MORTALIDAD EN UNA COHORTE

Martinez Luciano Miguel; Mykietiuk Analia; Scala Sebastian Luis; Bayon Gonzalo; Chapartegui Sebastian; Esposito Florencia Ayelen; Ferremi Fiorella Jazmin; Obed Mora.
Grupo Sur Investigacion Clinica (Depto investigación Instituto Médico Platense)

e-mail de contacto: lmmartinez@med.unlp.edu.ar

Introducción: La neumonía adquirida en la comunidad (NAC) continúa siendo una causa importante de hospitalización y mortalidad. La incorporación de técnicas moleculares ha incrementado la detección de virus respiratorios. A su vez, el bajo rendimiento de los hemocultivos y la superposición de los patrones radiológicos cuestionan la utilidad de los métodos y criterios tradicionales para predecir la etiología y guiar el manejo clínico. Evaluar estas herramientas resulta clave para orientar la toma de decisiones en la práctica habitual.

Objetivos: Describir la etiología, el rendimiento de los métodos microbiológicos, los hallazgos radiológicos y los factores asociados a mortalidad en pacientes hospitalizados por NAC.

Materiales y métodos: Estudio observacional analítico de cohorte realizado en el Instituto Médico Platense de La Plata, Argentina, entre junio de 2021 y diciembre de 2023. Se incluyeron consecutivamente adultos hospitalizados con NAC confirmada radiológicamente y seguimiento a 30 días. Se analizaron características clínicas, microbiológicas, radiológicas, tratamiento antibiótico y mortalidad. Se efectuó análisis bivariado y regresión logística multivariada.

Resultados: Se incluyeron 159 pacientes, con mediana de edad de 80 años (RIC 71–85,5). Se obtuvo diagnóstico microbiológico en 67 pacientes (42,1%). La etiología viral predominó ampliamente (61/67; 91,0%), mientras que la bacteriana fue infrecuente (9/67; 13,4%), incluyendo tres casos de coinfección viral-bacteriana. SARS-CoV-2 fue el patógeno más frecuentemente detectado. Los hemocultivos presentaron una positividad del 6,6% (8/122). El patrón radiológico intersticial predominó independientemente de la etiología. La duración de la antibioticoterapia fue similar entre pacientes con diagnóstico viral, bacteriano o sin etiología identificada (mediana: 7 días). La mortalidad a 30 días fue del 29,6%. De los tres pacientes con coinfección viral-bacteriana, dos fallecieron, aunque la muestra resultó insuficiente para establecer significancia estadística. En el análisis multivariado, únicamente la edad se asoció de forma independiente con mortalidad (OR 1,05 por año; IC95% 1,02–1,08; p = 0,004).

Tratamiento y evolución		
Edad (mediana)	80	RIC 71-85.5
Sexo femenino	86	54%
Días de antibiótico (mediana global y por etiológico)	7 dias	RIC 6-10
Días de internación (mediana)	8 dias	RIC 5-13
Mortalidad global a 30 días	47	29.6%
Mortalidad por edad: <60/ 60–79 / ≥80 años	4,3%/29,8%/66,0%	

Diagnostico Microbiologico: Etiología identificada	67	42,1%
Etiología viral aislada / bacteriana aislada / coinfección	58/6/3	36/3.8/1.9 %
SARS-CoV-2 / Influenza A / Rhinovirus-Enterovirus	32/8/8	49/12/12 %
Rendimiento de método diagnóstico		
Hemocultivos positivos /n	8/122	6.6
PCR positivas / n	53/159	64.9%
Patron Radiologico		
Intersticial (global:63%|virales:67%|bacterianas:56%)	100	62.9%
Alveolar	56	35.2%

Conclusiones: En esta cohorte de adultos mayores hospitalizados por NAC predominó la detección de virus respiratorios. No se observaron diferencias significativas en la duración del tratamiento ni en los patrones radiológicos según la etiología identificada. La edad avanzada fue el principal predictor independiente de mortalidad. Estos hallazgos invitan a profundizar la mirada crítica en cuanto al rol de los métodos complementarios y los algoritmos de acción para guiar las decisiones terapéuticas habituales.

PERFIL DIMENSIONAL DEL ESTRÉS ACADÉMICO EN ESTUDIANTES DE MEDICINA Y DE LA TECNICATURA EN PRÁCTICAS CARDIOLÓGICAS

María Mariño Inga, Cugnetto Hernán, Pilar López Romero, Gabriela Mabel Sánchez Álvarez, Solange Busto Camales, Camila Florencia Rosas, Gabriela Alejandra Martínez, Ángela Ortega, Samara Zoe Pucci, Samara Zoe Pucci, Marian Marlene Rodríguez, Andrés Pinilla
Cátedra de Fundamentos de la Práctica Cardiológica – Tecnicatura en Prácticas Cardiológicas, Facultad de Ciencias Médicas, Universidad Nacional de La Plata.

e-mail de contacto: m.mariain007@gmail.com

Introducción: El estrés académico comprende múltiples estresores vinculados con las demandas, la evaluación y las experiencias del proceso educativo. La Escala de Estrés Académico para Estudiantes Universitarios (EAEU) permite caracterizar este fenómeno mediante ocho dimensiones: deficiencias metodológicas docentes, sobrecarga académica, creencias sobre el rendimiento académico, intervenciones en público, clima social negativo, exámenes, carencia de valor de los contenidos y dificultades de participación.

Objetivos: Comparar el perfil dimensional del estrés académico entre estudiantes de Medicina y de la Tecnicatura en Prácticas Cardiológicas (TPC), identificando las dimensiones que presentan diferencias entre ambas carreras.

Materiales y métodos: Estudio observacional, descriptivo y comparativo. Se analizaron 320 estudiantes de la base STRAIN 2024-2026: 291 de Medicina y 29 de TPC. Se calcularon medias y desviaciones estándar para cada una de las ocho dimensiones de la EAEU. Las diferencias entre carreras se evaluaron mediante prueba t para muestras independientes con corrección de Welch, considerando significativo $p<0,05$.

Resultados: Los estudiantes de Medicina presentaron mayores puntuaciones en Exámenes (3,91±0,91 vs. 3,02±1,03; diferencia=0,89; $p<0,001$), Deficiencias metodológicas docentes (3,30±0,91 vs. 2,67±0,66; diferencia=0,63; $p<0,001$), Dificultades de participación (2,31±1,05 vs. 1,71±0,84; diferencia=0,60; $p=0,001$), Creencias sobre el rendimiento académico (3,10±0,95 vs. 2,61±0,92; diferencia=0,49; $p=0,010$) y Sobrecarga académica (2,81±0,84 vs. 2,36±0,68; diferencia=0,45; $p=0,002$). No se observaron diferencias significativas en Intervenciones en público (3,21±1,16 vs. 3,17±1,16; $p=0,842$), Clima social negativo (1,94±0,75 vs. 1,77±0,64; $p=0,196$) ni Carencia de valor de los contenidos (2,34±0,93 vs. 2,06±0,94; $p=0,140$).

Conclusiones: En esta muestra, el estrés académico presentó un perfil dimensional diferente según la carrera. Las principales diferencias se concentraron en los estresores relacionados con los exámenes, las características metodológicas docentes, la participación académica, las creencias sobre el rendimiento y la sobrecarga académica. En contraste, las intervenciones en público, el clima social negativo y la carencia de valor de los contenidos mostraron puntuaciones similares entre ambos grupos.

Palabras clave: estrés académico; estudiantes universitarios; Medicina; Tecnicatura en Prácticas Cardiológicas; EAEU; educación superior.

PESQUISA DE LA PRESIÓN ARTERIAL DIASTÓLICA EN ADULTOS EVALUADOS EN ESPACIOS PÚBLICOS DE LA PLATA

Yamila Pirosanto, Luisa González Arbeláez, Juliana Fantinelli, Daiana Escudero, Alejandra Yeves, Valeria Martínez, R. Gisel Díaz, Patricio E. Morgan.
Centro de Investigaciones Cardiovasculares "Horacio E. Cingolani"

e-mail de contacto: pemorgan@med.unlp.edu.ar

Introducción: La hipertensión arterial constituye un factor de riesgo principal, modificable para las enfermedades cardiovasculares. La presión arterial (PA) está determinada por sus componentes sistólico y diastólico, los cuales aportan información fisiológica y clínica diferente. La presión arterial diastólica (PAD) refleja, entre otros determinantes, el tono vascular periférico y puede aportar información adicional aun cuando la presión arterial sistólica (PAS) no alcance valores tradicionalmente considerados hipertensivos. En este contexto, resulta de interés caracterizar específicamente el comportamiento de la PAD en personas evaluadas fuera del ámbito asistencial, en condiciones propias de la vida cotidiana.

Objetivo: Caracterizar la PAD según edad y sexo y evaluar su aporte complementario a la clasificación de la PAS en adultos evaluados en espacios públicos.

Materiales y métodos: Se analizaron 320 adultos (204 mujeres y 116 varones) evaluados en espacios públicos. La PA fue determinada mediante tensiómetro automático de brazo (OMRON) por personal capacitado. Los registros se efectuaron siguiendo las recomendaciones del Consenso Argentino de Hipertensión Arterial (CAHA), en posición sentada y con el brazo apoyado, aunque no siempre cumplieron con los 10 minutos de reposo previos, por lo que los resultados carecen de valor diagnóstico. Los participantes fueron segmentados por edad en cuatro grupos: G1) ≤25 años; G2) 26–40 años; G3) 41–66 años y G4) ≥67 años. La PAS se clasificó según el CAHA en normal (<130 mmHg), limítrofe (130–139 mmHg) e hipertensión (≥140 mmHg), mientras que la PAD se categorizó en <90 y ≥90 mmHg. Los análisis estadísticos se realizaron mediante RStudio e incluyeron pruebas de normalidad de Shapiro-Wilk, homogeneidad de varianzas de Levene, regresión lineal, chi cuadrado y modelos lineales generalizados, según correspondiera, con un nivel de significancia de 0,05.

Resultados: La proporción de participantes con PAD ≥90 mmHg fue de 12,7% en mujeres y 17,2% en varones, sin diferencias significativas entre sexos (χ^2=0,877; p=0,349). La PAD mostró una correlación positiva con la edad tanto en mujeres (ρ=0,246; p<0,001) como en varones (ρ=0,519; p<0,001). La regresión lineal mostró un incremento de la PAD de 0,093 mmHg/año en mujeres y 0,236 mmHg/año en varones, con una diferencia significativa entre las pendientes (p=0,015). Nuestros resultados muestran que mujeres con PAD ≤ 90 mmHg, se observaron diferencias en la distribución de las categorías de PAS según grupo etario, particularmente entre el grupo ≤ 25 años y los grupos de 41–66 y ≥67 años, con una mayor proporción de PAS normal y menor proporción de hipertensión en las participantes más jóvenes. En mujeres con PAD ≥90, no se observó una asociación estadísticamente significativa entre el rango etario y la categoría de PAS (χ^2 = 12,41; gl = 6; p = 0,053). No obstante, se observó un patrón compatible con una variación de la distribución de las categorías de PAS entre los grupos etarios, caracterizado por una menor frecuencia de hipertensión respecto de la esperada en mujeres de 26–40 años y una mayor frecuencia en aquellas de 41–66 años.

Conclusiones: La evaluación conjunta de la PAS y la PAD permitió identificar registros con PAD ≥90 mmHg aun en participantes cuya PAS era <140 mmHg, particularmente entre las mujeres. Asimismo, la PAD aumentó con la edad en ambos sexos, con una pendiente significativamente mayor en varones. Estos resultados resaltan la importancia de considerar ambos componentes de la PA en actividades comunitarias de medición y concientización cardiovascular, aunque los registros obtenidos de manera ocasional deben confirmarse mediante mediciones estandarizadas.

PREVALENCIA DE *HELICOBACTER PYLORI* EN BIOPSIAS ENDOSCÓPICAS GÁSTRICAS Y SU ASOCIACIÓN CON GASTRITIS CRÓNICA ACTIVA, METAPLASIA INTESTINAL Y DISPLASIA.

Capdet, Silvia Elizabeth; Cordón Parladorio, María Eugenia; Tristán, Joaquín; Laffeuillade, Lucas Damian; Moavro, Damián Ezequiel; Aracil, Juan Antuel; Capurro, Nicolás Julio
Servicio de Patología, H.I.G.A. "Gral. San Martín" de La Plata

e-mail de contacto:: resipatohigasm@gmail.com

Introducción: El Helicobacter pylori (H. pylori) causa una de las infecciones bacterianas crónicas más frecuentes en el mundo, afectando a casi la mitad de la población, con prevalencias más altas en los países en desarrollo, incluida América Latina. La Agencia Internacional de Investigación sobre el Cáncer lo clasificó como carcinógeno del grupo 1, dado que la infección produce una gastritis crónica activa que, en una parte de los pacientes, avanza según la denominada cascada de Correa: gastritis (GCrA), metaplasia intestinal (MI), displasia (DIS) y adenocarcinoma de tipo intestinal. La MI es una condición precancerosa establecida, y la DIS es la lesión precursora inmediata del carcinoma. La evaluación histológica estandarizada de las biopsias endoscópicas, según el Sistema Sydney actualizado, sigue siendo la herramienta de referencia para identificar el microorganismo y caracterizar el daño de la mucosa.

Objetivos: Estimar la prevalencia de H. pylori en biopsias endoscópicas gástricas evaluadas en el Servicio de Patología de un Hospital Público de índole Interzonal y analizar su asociación con la GCrA y la MI, en pacientes de ambos sexos, durante el período 1 de enero y 31 de diciembre de 2025. Además, describir la frecuencia de DIS en la mucosa con MI.

Materiales y métodos: Se realizó un estudio observacional, descriptivo y analítico, revisando el archivo de biopsias endoscópicas gástricas recibidas durante el período enero – diciembre de 2025. Las muestras fueron procesadas de forma rutinaria y se realizaron secciones histológicas seriadas para colorear con Hematoxilina-Eosina. La identificación morfológica del H. pylori se hizo con la técnica de coloración de Giemsa, una tinción complementaria y de bajo costo, estandarizada para tal fin. La GCrA y la MI se evaluaron con los criterios del Sistema Sydney actualizado, y la DIS utilizando la clasificación de la Organización Mundial de la Salud. Las prevalencias se expresaron como proporciones. Las asociaciones se analizaron con la prueba de chi cuadrado de Pearson y la prueba exacta de Fisher. Se consideró significativo un valor de $p < 0,05$.

Resultados: Durante el período de tiempo mencionado se recibieron 783 biopsias endoscópicas gástricas y se identificó al H. pylori en 408 de ellas (52,1%). Del total de muestras analizadas, hubo GCrA en 351 casos (44,8%) y MI en 210 (26,8%). La GCrA se observó, además, en el 73,3% de las muestras con H. pylori (299). La MI se encontró en el 29,9% de las muestras positivas para H. pylori (122). Se identificó displasia en 8 de los 210 casos con metaplasia intestinal (3,8%), lo que representa casi el 1% del total de la serie. No se registró displasia en mucosa sin metaplasia (8/210 frente a 0/573; $p < 0,001$, prueba exacta de Fisher).

Conclusiones: La prevalencia de H. pylori en esta serie fue elevada (52,1%) y similar a la descrita para la región. La infección mostró una asociación fuerte con la inflamación crónica activa, lo que confirma su papel como uno de los principales agentes de la actividad inflamatoria en la mucosa gástrica. Sin embargo, la asociación con la MI fue más débil. Una explicación posible es que la bacteria tiende a desaparecer en la mucosa atrófica y metaplásica, dado que deja de ser un microambiente propicio para su persistencia, lo que lleva a subestimar la exposición previa en un diseño transversal. Adicionalmente, la DIS se presentó solo sobre mucosa con MI y con baja frecuencia, lo que concuerda con su papel como sustrato para la progresión neoplásica, reforzando la concepción de la secuencia de Correa. Por último, creemos que conocer los resultados de un estudio regional como este es de gran importancia, ya que apoyan la realización de tres prácticas de salud pública fundamentales: la búsqueda sistemática de H. pylori con técnica de Giemsa en toda biopsia endoscópica gástrica, la erradicación de la infección y la estadificación del riesgo en los pacientes para lograr seleccionar a aquellos que requieren vigilancia clínica y endoscópica.

PRIMER REPORTE DE LA CARACTERIZACIÓN GENÓMICA DE UN PLÁSMIDO PORTADOR DEL GEN OPTRA DETECTADO EN ENTEROCOCCUS FAECALIS ST314 PROVENIENTE DE UN HOSPITAL PÚBLICO DE ARGENTINA.

Celia Schell, Judith Bernstein, Marisa López, Serena Simoni, Francesca Romana Massacci, Eleonora Giovanetti, Andrea Brenciani.
Centro Universitario de Estudios Microbiológicos y Parasitológicos (CUDEMyP-UNLP-CIC). FCM. Dpto. de Ciencias Biomédicas y Salud Pública, FCM, Universidad Politécnica Delle Marche (UPDM). Ancona, Italia.

e-mail de contacto: schellcelia@med.unlp.edu.ar

Introducción: Las bacterias del género *Enterococcus* representan un desafío en el manejo de infecciones en pacientes hospitalizados a nivel mundial. Clones de alto riesgo de *E. faecalis* y *E. faecium* multirresistentes (MR) continúan aislándose de muestras humanas, animales y alimentarias, lo que subraya su relevancia en el marco «*Una sola salud*». Tres maneras utilizan las bacterias para transmitir y diseminar elementos genéticos móviles (EGM) que codifican mecanismos de resistencia antimicrobiana (RA) y factores de virulencia: conjugación, transducción y transformación. Para dispersar sus EGM, las cepas de enterococos utilizan de manera eficaz la transferencia genética horizontal (TGH) por conjugación. Las oxazolidinonas, incluídos el linezolid (LZN) y tedizolid, constituyen opciones terapéuticas relevantes para infecciones causadas por patógenos Gram positivos MR, como los enterococos vancomicina resistentes (EVR). Los genes de RA a oxazolidinonas son *cfr*, *cfr-like*, *optrA* y *poxtA* y se asocian frecuentemente a plásmidos que diseminan RA por TGH. La propagación del gen transferible *optrA* en instituciones de salud, representa una amenaza creciente y emergente para la eficacia clínica de éstos antimicrobianos.

Objetivo: Caracterizar el primer plásmido portador de *optrA* identificado en un aislado clínico de *E. faecalis* ST314 recuperado de un hospital público de la provincia de Buenos Aires, Argentina.

Materiales y métodos: En 2022, fue aislada una cepa de *E. faecalis* resistente a LZN: AC-21RB (CIM: 16 mg/L) a partir de una muestra de orina de un paciente internado en servicio de guardia. La identificación de la especie fue realizada por pruebas fenotípicas y MALDI-TOF MS. Los genes *cfr*, *optrA* y *poxtA* se detectaron por PCR y los amplicones se confirmaron mediante secuenciación Sanger. La susceptibilidad a LZN, tedizolid, vancomicina, eritromicina, tetraciclina, cloranfenicol, florfenicol, ciprofloxacina, ampicilina, penicilina, imipenem, daptomicina, gentamicina (alta carga), estreptomicina (alta carga) y tigeciclina fue determinada por ensayos estándar de microdilución en caldo (CLSI, 2026). La secuenciación del genoma completo (WGS) se realizó mediante las plataformas Illumina MiSeq y Oxford Nanopore MinION (UPDM). La herramienta RAST fue utilizada para la anotación de secuencias de ADN. El genoma de *E. faecalis* AC-21RB se comparó con genomas de *E. faecalis* argentinos positivos para *optrA* disponibles públicamente (ID de BioProject: PRJNA1007381).

Resultados: La cepa *E. faecalis* AC-21RB resistente a LZN exhibió un fenotipo MR a eritromicina, tetraciclina y florfenicol (CIM: 128 mg/L en todos los casos) y a cloranfenicol y ciprofloxacina (CIM: 32 mg/L en todos los casos). *E. faecalis* AC-21RB constaba de un único cromosoma (2.916.317 pb) y un plásmido de 68.653 pb denominado **pEfa-*optrA*-Arg**, que contenía al gen *optrA*, entre otros genes de resistencia: *erm(B)* (macrólidos, lincosamidas y estreptograminas B), *tet*(M) y *tet*(L) (resistencia a tetraciclinas), *fexA* (resistencia a fenicoles), *lsa*(A) (resistencia a estreptograminas A, lincosamidas) y *bcrABRD* (resistencia a bacitracina). Los ensayos de PCR mostraron que *E. faecalis* AC-21RB albergaba solamente a *optrA*. Los datos de WGS para *E. faecalis* AC-21RB y del transconjugante están disponibles bajo el ID: *BioProject* PRJNA1482461. Se detectó el ST314 para *E. faecalis* AC-21RB; un linaje genético observado previamente en cepas de *E. faecalis* aisladas de una planta de tratamiento de aguas residuales en Túnez y en ganado doméstico del Tíbet. El análisis de **pEfa-*optrA*-Arg** identificó también sistemas de replicación Rep_Trans y RepA_N.

Conclusiones: Se caracterizó por primera vez, un plásmido portador de *optrA*, denominado **pEfa-*optrA*-Arg** en un aislado clínico de *E. faecalis* resistente a LZN en Argentina, utilizando técnicas ómicas. Este plásmido conjugativo (68.653 pb) albergaba el gen *optrA* junto con múltiples genes de RA y mostró una gran similitud con un plásmido identificado previamente en un aislado bovino de Suiza. **pEfa-*optrA*-Arg** -o una variante estrechamente relacionada- fue detectado también en *E. faecalis* aislados de varios hospitales argentinos, lo que evidencia el papel de la TGH en la propagación de la RA entre reservorios humanos y animales dentro del contexto *Una sola Salud*.

¿QUÉ SE INVESTIGA EN UN HOSPITAL PÚBLICO? PERFIL DE LOS PROTOCOLOS DE INVESTIGACIÓN DE UN HOSPITAL PEDIÁTRICO DE LA PROVINCIA DE BUENOS AIRES.

Varea A, Matamoros N, Sala M, Vericat A, Defranco D, Jalil N, López M, Malpeli A.

IDIP – Instituto de Desarrollo e Investigaciones Pediátricas "Prof. Dr. Fernando E. Viteri", Hospital Interzonal de Agudos Especializado en Pediatría "Sor María Ludovica", Ministerio de Salud de la Provincia de Buenos Aires – Comisión de Investigaciones Científicas de la Provincia de Buenos Aires, La Plata, Buenos Aires, Argentina.

e-mail de contacto: anamvarea@gmail.com

Introducción: Los protocolos de investigación constituyen un indicador de las áreas de interés, las capacidades institucionales y las prioridades de generación de conocimiento en salud. Sin embargo, son escasos los análisis que describen sistemáticamente las características de la actividad investigativa desarrollada en hospitales públicos de la provincia de Buenos Aires. La caracterización de los protocolos presentados permite conocer el perfil de investigación institucional, identificar áreas de desarrollo y orientar estrategias de fortalecimiento de la producción científica. La institución cuenta con un Comité que asesora a la Dirección Ejecutiva en la autorización de los protocolos de investigación y con un Comité de Ética que evalúa los mismos metodológica y éticamente, previo a su desarrollo.

Objetivos: Caracterizar los protocolos de investigación evaluados por el Comité Asesor y el Comité de Ética del hospital.

Materiales y métodos: Se realizó un estudio observacional descriptivo de corte transversal retrospectivo a partir del registro de protocolos de investigación presentados al Comité Asesor entre septiembre de 2023 y agosto de 2026. Se analizaron las variables: número de protocolos, tipo de estudio según la clasificación de Frenk, área o especialidad del equipo investigador, dictamen del Comité de Ética y tiempo transcurrido (días) entre el ingreso al Comité Asesor y el dictamen del Comité de Ética. Para el análisis de las variables se utilizó estadística descriptiva.

Resultados: Durante el período analizado se registraron 158 protocolos de investigación: 88 (55,7%) clínicos, 31 (19,6%) epidemiológicos, 27 (17,1%) en sistemas de salud y 12 (7,6%) biomédicos.

Las áreas/especialidades con mayor representación fueron: IDIP 26 protocolos (16,5%), Laboratorio 15 (9,5%), Gastroenterología 13 (8,3%) y Nutrición 11 (6,3%).

Todos los protocolos fueron autorizados por el Comité Asesor. De éstos,127 (80,4%) fueron evaluados por el Comité de Ética: 120 fueron aprobados, 1 rechazado,1 dado de baja y 5 permanecían en evaluación al momento del análisis.

El tiempo desde el ingreso al Comité Asesor hasta el dictamen del Comité de Ética fue de 28 días (RIC:12-49).

Conclusiones: El análisis de los protocolos evidenció una actividad investigativa sostenida, con predominio de estudios clínicos y participación de diversas áreas institucionales. El proceso de evaluación es clave para garantizar la calidad de los protocolos de investigación. La información obtenida permite identificar fortalezas y oportunidades de desarrollo de la investigación hospitalaria.

RELACIÓN ENTRE HBA1C Y CD4/CD8 EN RECEPTORES DE TRASPLANTE RENAL

Garay, María Eugenia; Occhiuzzi, Silvina; Maiz, Clara; Cobos, Marisa.
Lugar de Trabajo: Cátedra de Trasplantes – Facultad de Ciencias Médicas-UNLP

e-mail de contacto: socchiuzzi@med.unlp.edu.ar

Introducción: La afectación del sistema inmunológico en distintos desórdenes metabólicos ha sido ampliamente estudiada en los últimos años y tiene como base fisiopatológica la inflamación crónica. Estos estados provocan un severo impacto en el funcionamiento inmune y favorecen el desarrollo de diversas complicaciones. El trasplante renal representa un evento estresor para el organismo y un desafío biológico desde el punto de vista inmunometabólico. Uno de los modelos desarrollados para evaluar la respuesta al estrés es el de carga alostática, que utiliza distintos biomarcadores para predecir la vulnerabilidad a enfermar. Dado el perfil del receptor de trasplante renal se estudió la relación de un integrante del modelo con variaciones en componentes de la inmunidad celular.

Objetivos: Relacionar el modelo de carga alostática a partir de uno de sus biomarcadores (HbA1c) con componentes del perfil inmunológico (CD4, CD8) de los receptores de trasplante renal.

Materiales y métodos: En el marco del proyecto de investigación "Monitoreo psico-inmuno-endocrino-metabólico en las etapas evolutivas del Trasplante renal", se analizaron en conjunto los datos obtenidos de las líneas de inmunología y de carga alostática, focalizando en las siguientes variables: recuento de linfocitos CD4, recuento de linfocitos CD8, relación CD4/CD8, glucemia en ayunas, HbA1c

Se obtuvieron 69 muestras con las respectivas mediciones pertenecientes a 20 receptores, en diferentes etapas evolutivas del proceso: pretrasplante; a los 30; 180 y 365 días posteriores al procedimiento. Se analizaron los datos a través de promedios, mediana y rangos.

Resultados: En el análisis global los parámetros inmunológicos y metabólicos mostraron variabilidad interindividual. Los valores promedio de las variables en cada etapa fueron: Pretrasplante: CD4 227 células/µL; CD8 125 células/µL; relación CD4/CD8 1.5; HbA1c 5%; glucemia 0,9 g/L. A los 30 días: CD4 307 células/µL; CD8 216 células/µL; relación CD4/CD8 1.3; HbA1c 5.4%; glucemia sin cambios. A los 180 días: CD4 271 células/µL; CD8 214 células/µL; relación CD4/CD8 1.99; HbA1c 5.8%; glucemias estables. A los 12 meses: CD4 425 células/µL; CD8 461 células/µL; relación CD4/CD8 0.9; HbA1c 5.8%; glucemia con leves variaciones. En cuanto a la mediana de cada uno de los parámetros estudiados: Pretrasplante: CD4 83 células/µL (rango entre 6 y 971 células/µL); CD8 64 células/µL (rango entre 4 y 474 células/µL); relación CD4/CD8 1.3 (rango entre 0.3 y 2.8); HbA1c 5.2% (rango entre 4 y 5.8%). A los 30 días: CD4 265 células/µL (rango entre 9 y 850 células/µL); CD8 189 células/µL (rango entre 17 y 520 células/µL); CD4/CD8 1.3 (rango entre 0.4 y 2.6); HbA1 5.3% (rango entre 4 y 7.5%). A los 180 días: CD4 199 células/µL (rango entre 39 y 768 células/µL); CD8 184 células/µL (rango entre 22 y 514 células/µL); CD4/CD8 0.84 (rango entre 0.3 y 16.4); HbA1c 5.85% (rango entre 4 y 9.6%). A los 12 meses: CD4 284 células/µL (rango entre 62 y 1236 células/µL); CD8 386,5 células/µL (rango entre 103 y 1082 células/µL); CD4/CD8 0.7 (rango entre 0.1 y 2.6); HbA1c 5.9% (rango entre 5 y 7.3%).

Las mediciones registradas al cumplirse un año del trasplante muestran un aumento significativo de los linfocitos CD4 que se ve acompañado de ascenso del recuento de células CD8. Este aumento del recuento de linfocitos acompañado de una disminución de la relación CD4/CD8 podría interpretarse como un desequilibrio inmunológico progresivo. Es importante aclarar que, a pesar de registrarse un recuento de linfocitos CD4 mayor, los valores nunca llegan al rango de normalidad de este parámetro. Si bien las glucemias mostraron leves variaciones, la HbA1c se mantuvo en ascenso en todas las mediciones.

RESULTADOS, SUBJETIVIDADES Y POSTRANSICIÓN DE LA MASCULINIZACIÓN DE TÓRAX CON COLGAJO LIBRE DE CAPS EN VARONES TRANSGENERO

Pablo Javier Díaz (*) (**), Alvarez Mauyuri (*), José Alejandro Chourio (*), Ana Clara Gimenez (*) (***)
(*) HZGA Dr. Eduardo Wilde. (**). Citología, Histología y Embriología. FCM. UNLP. (***) Fac. Psicología. UBA

e-mail de contacto:: pablodiaz@med.unlp.edu.ar

Introducción: La cirugía de masculinización de tórax es un componente crucial en la salud de las personas que se autoperciben como varones trans. Este procedimiento no solo busca la modificación anatómica para lograr una imagen corporal concordante con la identidad de género, sino que también tiene un impacto directo en el bienestar psicosocial de los pacientes. El presente trabajo evalúa la seguridad, la eficacia clínica y las repercusiones en la calidad de vida de una técnica quirúrgica específica mediante el uso de colgajo libre del complejo aréola-pezón (CAP). El objetivo es analizar sus resultados a corto y mediano plazo, identificar posibles complicaciones y proponer mejoras en el abordaje integral intra y extrahospitalario de esta población.

Objetivos: Evaluar los resultados médico-quirúrgicos y analizar la reconstrucción de la subjetividad corporal en el período de postransición en varones transgénero sometidos a la masculinización de tórax mediante la técnica de colgajo libre del complejo areola-pezón (CAP).

Materiales y métodos: historia clínica, registros fotográficos, escalas estandarizadas de cicatrización y movimientos. Cuestionario estructurado y semicerrado. Estudio descriptivo, observacional y transversal con enfoque cuali-cuantitativo.

Resultados: La técnica quirúrgica evaluada registró una tasa nula de necrosis del colgajo libre del CAP y de dehiscencia de heridas. Aunque se identificó un 15% de cicatrices hipertróficas y un caso de queloide, no se presentaron complicaciones de hundimiento ni tracción cicatricial, lográndose la recuperación total de la movilidad y la postura a los seis meses postoperatorios.
El manejo del dolor evolucionó favorablemente, la mayoría cursó el periodo inmediato con dolor nulo o leve, y en la actualidad el 62.5% se encuentra asintomático, mientras que el 37.5% remite solo molestias esporádicas. En el plano psicosocial, la intervención quirúrgica impactó de forma sustancial y positiva en la calidad de vida de los pacientes, evidenciado por un 100% de satisfacción general. Los resultados estéticos y físicos permitieron consolidar una imagen corporal concordante con la identidad de género de los participantes. El análisis cualitativo reveló que la cirugía representó un proceso de "liberación" y remoción de una carga física y emocional, promoviendo un incremento en la autoestima, una reducción significativa de la ansiedad social y la remisión total de conductas autolesivas en el 37.5% de la muestra que presentaba dicho antecedente. Así mismo, se constató una mayor seguridad en actividades cotidianas y un cambio radical positivo en el ámbito de la intimidad y la aceptación corporal.
Finalmente, a pesar de la excelente valoración de los resultados clínico-estéticos, se detectaron barreras en la calidad de la atención institucional debido a tratos inadecuados y desatención de la identidad de género por parte del personal administrativo, de laboratorio y de enfermería en internación.

Conclusiones: Los resultados demuestran que la técnica quirúrgica empleada es segura y altamente eficaz, junto con una recuperación funcional y postural total al cabo de seis meses. Asimismo, la intervención quirúrgica impactó de forma drástica y positiva en la salud mental y la calidad de vida de los pacientes. El procedimiento no solo permitió consolidar una imagen corporal concordante con la identidad de género, sino que mitigó la ansiedad social y logró la remisión completa de conductas autolesivas en la población con dicho antecedente. Así mismo, se destaca la necesidad de implementar programas de formación continua en la temática para el personal administrativo, de laboratorio y de enfermería y establecer protocolos de monitoreo a largo plazo para el manejo de molestias esporádicas y optimizar las terapias preventivas y terapéuticas, manteniendo el acompañamiento transdisciplinar en las etapas pre y postquirúrgicas.

Investigaciónes Básicas

FACULTAD DE CIENCIAS MÉDICAS
UNIVERSIDAD NACIONAL DE LA PLATA

AAV9-ACE2 COMO ESTRATEGIA DE TERAPIA GÉNICA PARA LA MODULACIÓN DEL SISTEMA RENINA-ANGIOTENSINA EN LA HIPERTENSIÓN ARTERIAL

Ciarrocchi Sofía[1], Gallo Delfina[1], Ciancio M. Carolina[1], Pinilla O. Andrés[1], Franchini Gisela[2], Aiello E. Alejandro[1], Orlowski Alejandro[1]

[1]Centro de Investigaciones Cardiovasculares "Dr. Horacio E. Cingolani", Facultad de Ciencias Médicas, Universidad Nacional de La Plata – CONICET. La Plata, Argentina

[2]Instituto de Investigaciones Bioquímicas de La Plata, Facultad de Ciencias Médicas, Universidad Nacional de La Plata – CONICET. La Plata, Argentina

e-mail de contacto: sciarrocchi@med.unlp.edu.ar

Introducción: La hipertensión arterial es una condición caracterizada por el aumento sostenido de la presión arterial, estrechamente asociada con el desequilibrio del Sistema Renina-Angiotensina-Aldosterona (SRAA), eje regulador del volumen sanguíneo. Dentro de este sistema, la enzima convertidora de angiotensina 2 (ECA2) contrarresta la vía clásica activando su rama protectora.

Objetivos: El objetivo de este trabajo es estudiar la sobreexpresión de la proteína ECA2 mediante el uso de vectores adenoasociados como una posible terapia génica para el tratamiento de hipertensión arterial.

Métodos: Producimos y purificamos vectores adenoasociados que expresan la región soluble y catalítica de la ECA2 fusionada con la fracción constante de la inmunoglobulina G humana (AAV9-ECA2). Como modelo de hipertensión esencial, utilizamos ratas espontáneamente hipertensas (SHR) de 3 y 4 meses de edad (n=7/grupo), las cuales se dividieron aleatoriamente en el grupo control que recibió buffer lactato y en el grupo ECA2, que recibió una única inyección intramuscular de 3×10^{12} partículas virales de AAV9-ECA2. Se realizaron estudios ecocardiográficos, medidas de presión arterial y extracción de sangre de forma basal y a las 2, 4 y 12 semanas posteriores a la inyección viral. Los análisis estadísticos se realizaron mediante la prueba de ANOVA de dos vías y test t de Student. Se consideró estadísticamente significativo un valor de $p < 0,05$.

Resultados: Una única inyección intramuscular de 3×10^{12} partículas virales de AAV9-ECA2 disminuyó de forma significativa la presión arterial sistólica (ECA2= 168,2±5,6 mmHg; Control= 189,5±5,8 mmHg; p=0,0251), la presión arterial diastólica (ECA2= 114,3±6,8 mmHg; Control= 138±4,7 mmHg; p=0,0418) y la presión arterial media (ECA2= 132,1±6,3 mmHg; Control= 154,9±6,8 mmHg; p=0,0327) en el grupo ECA2 en comparación con el grupo control al final del protocolo experimental, sin cambios en la frecuencia cardíaca (ECA2= 392,4±15 bpm; Control= 406,8±10,8 bpm; p=0,4171). No se observaron diferencias significativas en la estructura ni en la función cardíaca evaluadas por ecocardiografía, tanto en la comparación entre el grupo control y el tratado como en la evolución temporal dentro de cada grupo. Luego del sacrificio, el grupo ECA2 mostró una reducción significativa del peso del corazón normalizada por el peso corporal (ECA2= 3,465±0,14 mg/g; Control= 3,649±0,6 mg/g; p=0,0164).

Conclusiones: La sobreexpresión de ECA2 mediante una única inyección de AAV9-ECA2 disminuyó significativamente la presión arterial, efecto que se sostuvo durante tres meses. Este abordaje podría representar una estrategia terapéutica prometedora para la hipertensión resistente, brindando potencialmente un control sostenido de la presión arterial a largo plazo y protección frente al daño de órganos blanco.

ACTIVACIÓN INFLAMATORIA Y PROFIBRÓTICA DE MACRÓFAGOS MEDIADA POR NHE1 EN LA FIBROSIS PERITONEAL ASOCIADA A DIÁLISIS PERITONEAL

Aguerrebehere Zarate, V.1; Ciancio, M.C.1; Barabani, C.M.2; Saens, V.2; De los Santos, S.2; Castro, P. 2; Bruzone, M.E.2; Aiello, E.A. 1; Jaquenod De Giusti, C. 1.

1. Centro de Investigaciones Cardiovasculares "Dr. Horacio E. Cingolani", Facultad de Ciencias Médicas, UNLP, Argentina; 2. Servicio Nefrología. HIGA Gral San Martín de La Plata.

e-mail de contacto: victoriaaguerrebehere@gmail.com

Introducción: La diálisis peritoneal (DP) es una terapia de reemplazo renal ambulatoria para pacientes con enfermedad renal crónica. La exposición sostenida de la membrana peritoneal a soluciones de diálisis con altas concentraciones de glucosa puede inducir cambios estructurales y promover inflamación, angiogénesis y fibrosis, conduciendo progresivamente al deterioro de la capacidad de ultrafiltración. En este contexto, los macrófagos presentes en la cavidad peritoneal pueden adquirir fenotipos inflamatorios y profibróticos. El intercambiador Na+/H+ tipo 1 (NHE1) es un importante regulador del pH intracelular y de la respuesta macrofágica, y ha sido asociado con procesos fibróticos en diferentes órganos. Sin embargo, se desconoce su participación en la activación de los macrófagos durante el daño peritoneal asociado a DP y su potencial utilidad como biomarcador de su progresión.

Objetivos: Determinar el rol de NHE1 en la activación macrofágica y el desarrollo de fibrosis peritoneal asociada a DP, evaluando el potencial de su actividad y expresión como biomarcadores de la progresión del daño de la membrana peritoneal.

Materiales y métodos: Determinar el rol de NHE1 en la activación macrofágica y el desarrollo de fibrosis peritoneal asociada a DP, evaluando el potencial de su actividad y expresión como biomarcadores de la progresión del daño de la membrana peritoneal.

Resultados: El protocolo de aislamiento a partir de efluentes peritoneales permitió obtener una población celular adherente con características morfológicas compatibles con macrófagos. La caracterización por citometría de flujo mostró que más del 90% de las células seleccionadas dentro de la población viable expresaron CD45 o CD14, mientras que aproximadamente el 80% presentó un fenotipo CD45+/CD14+, compatible con el linaje monocito/macrófago. La recuperación del pH intracelular luego del pulso ácido demostró actividad funcional de NHE1 en los macrófagos aislados de pacientes. Los resultados preliminares mostraron una tendencia al aumento de la actividad alcalinizante específica de NHE1 con el tiempo de permanencia en DP. En contraste, en células J774 expuestas durante 24 h a efluentes de los mismos pacientes, la actividad específica de NHE1 mostró una tendencia inversa, disminuyendo a medida que aumentaba el tiempo en DP.

Conclusiones: Estos resultados demuestran que es posible aislar del efluente de pacientes en DP una población enriquecida en células del linaje monocito/macrófago y evaluar funcionalmente en ellas la actividad de NHE1. Los resultados preliminares sugieren una asociación entre una mayor actividad de NHE1 en los macrófagos peritoneales y un mayor tiempo de permanencia en DP, apoyando su potencial utilidad como indicador del daño peritoneal asociado al tratamiento. En contraste, la exposición de células J774 a los efluentes produjo una respuesta inversa, sugiriendo que la actividad de NHE1 en los macrófagos residentes podría reflejar mecanismos de adaptación o activación celular que no son reproducidos únicamente por factores solubles presentes en el efluente. En conjunto, estos hallazgos justifican profundizar el estudio de NHE1 como potencial biomarcador y quizá posible diana farmacológica en la progresión del daño peritoneal asociado a DP.

ACTIVIDAD REPELENTE DE MIRCENO Y B-CARIOFILENO SOBRE NINFAS DE *TRIATOMA INFESTANS*: EFECTO DE LA CONCENTRACIÓN Y DEL TIEMPO DE EXPOSICIÓN

Medina Vera, R[1]; Dubiel, C[2]; Schinella, G[3]; Marin, G[3]; Dadé, M[1,2,3]

[1]Instituto de Ciencias de la Salud, Universidad Nacional Arturo Jauretche. [2]Sede Alto Valle-Valle Medio, Universidad Nacional de Río Negro. [3]Facultad de Ciencias Médicas, Universidad Nacional de La Plata.

e-mail de contacto: rominamedina1832@gmail.com

Introducción: *Triatoma infestans* es el principal vector del parásito *Trypanosoma cruzi* en el Cono Sur de América. La aparición de poblaciones resistentes a piretroides impulsa la búsqueda de compuestos alternativos. Entre ellos se encuentran los terpenos de origen vegetal, que tienen antecedentes de actividad letal y repelente sobre esta especie. El mirceno (monoterpeno) y el β-cariofileno (sesquiterpeno) difieren en estructura y volatilidad, lo que podría condicionar la persistencia de su efecto sobre superficies tratadas.

Objetivos: Evaluar la actividad repelente de mirceno y β-cariofileno sobre ninfas de quinto estadio de *T. infestans*, analizando la influencia de la concentración y del tiempo de exposición y utilizando DEET como compuesto de referencia.

Materiales y métodos: Se utilizaron ninfas de quinto estadio de una colonia de laboratorio susceptible, con 15 días de ayuno. Se aplicó el ensayo de preferencia de área sobre discos de papel de filtro (Whatman N.º 1, 9 cm) divididos en dos mitades. Una mitad se trató con el compuesto disuelto en acetona (terpenos: 50, 500 y 5000 µg/cm^2; DEET: 5, 50 y 500 µg/cm^2) y la otra con acetona. En el control, una mitad recibió acetona y la otra permaneció sin tratar. Se liberó una ninfa en el centro del disco y se registró su posición a los 5, 15, 60, 120, 180, 240 y 300 min, empleando una ninfa nueva en cada tiempo. Se realizaron tres experimentos independientes (n = 30 por tratamiento). El índice de repelencia se calculó como IR (%) = [(número de insectos en la mitad no tratada − número de insectos en la mitad tratada) / número total de insectos] × 100.

Resultados: A 50 µg/cm^2, ninguno de los terpenos produjo repelencia (IR entre −20 y 7 %). A 500 µg/cm^2, el mirceno fue significativamente repelente entre los 5 y 60 min (IR 73–100 %). El β-cariofileno, a la misma concentración, lo fue entre los 15 y 120 min (IR 87–100 %). A 5000 µg/cm^2, ambos terpenos presentaron IR de 87–100 % hasta los 180 min. A los 240 min, el mirceno descendió a 33 %, mientras que el β-cariofileno se mantuvo en 93 %. El DEET fue significativamente repelente hasta los 60 min a 5 µg/cm^2 y hasta los 180 min a 50 µg/cm^2. A 500 µg/cm^2 mantuvo IR ≥ 87 % durante los 300 min. El control presentó valores entre −20 y 13 %.

Conclusiones: Mirceno y β-cariofileno presentaron actividad repelente dependiente de la concentración y del tiempo sobre *T. infestans*. El β-cariofileno mostró mayor persistencia que el mirceno, lo que es compatible con la menor volatilidad de los sesquiterpenos. Ambos terpenos requirieron concentraciones del orden de 100 veces superiores a las del DEET para alcanzar una persistencia comparable. Esto justifica evaluar formulaciones que prolonguen su permanencia sobre superficies tratadas.

ALTERACIONES GLIALES REGIONALES ASOCIADAS A LA EXPOSICIÓN SISTÉMICA A PCPV2 EN RATAS ADULTAS

Vidal Escobedo AA[1], Peralta F[1], Diaz Baliero JEA[1,2], Canale DS[1], Lasarte J[1], Soldati KB[1], Reggiani PC[1,2].
1- Instituto de Investigaciones Bioquímicas de La Plata ` Prof. Dr. Rodolfo R. Brenner´ (CONICET-UNLP)
2- Cátedra de Citología, Histología y Embriología, Facultad de Ciencias Médicas, UNLP

e-mail de contacto: avidalescobedo@med.unlp.edu.ar

Introducción: PcPV2 es una proteína tóxica presente en el fluido perivitelino del caracol de agua dulce invasor *Pomacea canaliculata*. Si bien se han descrito efectos neurológicos luego de la administración sistémica de PcPV2 purificada, sus efectos sobre el cerebro de los mamíferos aún no se conocen en profundidad. Estudios conductuales previos demostraron que una única administración intraperitoneal de PcPV2 (250 µg/kg) produce una disminución del peso corporal y alteraciones agudas y persistentes en conductas exploratorias y propias de la especie, el desempeño motor y la función cognitiva, sin cambios detectables en marcadores de estrés oxidativo cortical. En este contexto, resulta de interés investigar posibles mecanismos celulares que contribuyan a estos efectos, particularmente aquellos relacionados con la respuesta glial en regiones cerebrales involucradas en la función cognitiva y la conducta.

Objetivos: Evaluar posibles alteraciones celulares asociadas a la exposición sistémica a PcPV2 mediante el análisis de neuronas inmaduras del hipocampo, el volumen del *hilus* y los cambios en la microglía y los astrocitos en regiones específicas del cerebro de ratas adultas.

Materiales y métodos: Ratas macho adultas recibieron una única administración intraperitoneal de PcPV2 (250 µg/kg). En el hipocampo, se cuantificaron las neuronas inmaduras DCX+ y se determinó el volumen del *hilus* del giro dentado. Los cambios microgliales y astrocíticos se analizaron mediante inmunohistoquímica para Iba1 y GFAP, respectivamente, en las regiones CA1, CA3 y giro dentado del hipocampo, así como en la corteza perirrinal. En las células microgliales Iba1+ se evaluaron parámetros morfológicos, entre ellos la circularidad y la solidez, para caracterizar posibles cambios en su fenotipo.

Resultados: La exposición sistémica a PcPV2 no produjo cambios en el número de neuronas inmaduras DCX+ ni en el volumen del *hilus* del giro dentado. Sin embargo, las células microgliales Iba1+ presentaron alteraciones morfológicas en la región CA3, caracterizadas por una disminución de la circularidad y la solidez. Estos cambios sugieren una modificación específica del fenotipo microglial en esta región del hipocampo. La caracterización de las respuestas microgliales y astrocíticas en las diferentes regiones cerebrales se encuentra actualmente en curso.

Conclusiones: La exposición sistémica a PcPV2 se asocia con alteraciones morfológicas específicas de la microglía en la región CA3 del hipocampo, sin cambios detectables en el número de neuronas inmaduras DCX+ ni en el volumen del *hilus*. Estos hallazgos sugieren que la respuesta glial regional podría contribuir a las alteraciones conductuales previamente observadas luego de la exposición a PcPV2.

ANÁLISIS DE LA INTEGRIDAD DE MUESTRAS DE TEJIDO ADIPOSO PARA SU POSIBLE USO EN REGENERACIÓN DE HERIDAS COMPLEJAS

Palma, M. Belén[1]; Camilleti, María A.[2,5]; Rodrigo, Jimena[3]; Moavro, Damián E.[1]; Iribarne, Ailen[1,2,5]; Martinez, Kevin I.[1,5]; Berra, Alejandro[4,5]; García, Marcela N[1].

1- Catedra de Citología, Histología y Embriología, FCM, UNLP. 2- LIAN, INEU-CONICET, FLENI. 3- Dpto. de Cirugía Plástica, Centro de Educación Médica e Investigación Clínica "Norbeto Quirno" (CEMIC). 4- CEMET, Hospital "El Cruce". 5- CONICET

e-mail de contacto: mbpalma@med.unlp.edu.ar

Introducción: El tejido adiposo (TA) está conformado por un conjunto heterogéneo de poblaciones celulares: adipocitos uniloculares, fibroblastos, células endoteliales, pericitos, células hematopoyéticas, células madre mesenquimales. Además, posee componentes bioactivos como citoquinas, factores de crecimiento y hormonas. Este tejido se utiliza como material de relleno en cirugías plásticas. Sin embargo, en los últimos años ha tomado relevancia su uso en medicina regenerativa ya que gran parte de sus componentes podrían favorecer procesos de regeneración celular. El TA comúnmente se obtiene mediante lipoaspiración y su procesamiento puede ser mecánico o químico mediante digestión enzimática, obteniendo distintos tipos de productos que conserven mejor ciertos componentes del tejido que otros. Las técnicas disponibles para el procesamiento del TA lipoaspirado presentan gran variabilidad ya que son manuales, operador dependiente y no existe un consenso o método estandarizado.

Objetivos: Se propone evaluar la integridad y composición de muestras de TA lipoaspirado con distintas técnicas de procesamiento: I) TA completo (TAc), II) TA emulsificado (TAe) y III) TA emulsificado y filtrado (TAef). Se realizará el aislamiento y expansión de las células madre derivadas del TA (A-DSC) a partir de cada una de las muestras.

Materiales y métodos: se utilizaron 3 muestras de liposucción de zona abdominal, provenientes de donantes del CEMIC, de entre 30 y 40 años. De cada muestra se recibieron 3 fracciones: I) TAc (sin procesar), II) TAe (Procesamiento mecánico mediante transferencia repetida entre 2 jeringas conectadas por un trasvasador de 3mm de diámetro) y III) TAef (el TAe luego es filtrado con una malla de 750µm de tamaño de poro). A cada una se les adicionó PBS para su transporte en frío al laboratorio, dentro de las 2-4hs luego de su obtención. Se realizó una descripción macroscópica del material recibido. Una fracción del material se fijó en formol al 10%, se procesó y coloreó con la coloración de rutina (H-E) para el análisis histológico. El resto del material se procesó mediante digestión con colagenasa tipo I (Gibco), y luego, el sedimento celular obtenido se cultivó en placas de cultivo adherentes y medio DMEM +10% de suero fetal bovino para aislar a las A-DSC.

Resultados: La fracción TAc conservó la integridad y cohesión del tejido, además mostró menor contaminación hemática y menor proporción de lípidos sueltos en el sobrenadante con respecto al volumen total del tejido (1.75±0.4 %). En cambio, las muestras de TAe y de TAef presentaron menor cohesión, un aspecto más emulsionado y licuado del tejido con mayor contaminación hemática. En el TAef, además, se observó gran cantidad de tejido conectivo de color rosado separado de la grasa amarillenta. La proporción de lípidos sueltos en el sobrenadante con respecto al volumen total del tejido fue mayor en las fracciones de TAe y TAef que en TAc (TAe: 6.7±3.8 % y TAef: 10± 0,9 %). Los preparados histológicos mostraron que efectivamente las muestras de TAc conservaron mejor la integridad de los adipocitos, así como su disposición dentro del estroma de tejido conectivo laxo. Por último, hemos logrado aislar células a partir de las 3 fracciones. Sin embargo, a partir del TAc se obtuvo una mayor cantidad de células fenotípicamente compatibles con las A-DSC, con una adecuada capacidad de adhesión, proliferación y expansión en cultivo. Además, se visualizaron fibroblastos y unas células de mayor tamaño cuyo citoplasma presenta gran cantidad de organelas membranosas, morfología compatible con un preadipocito.

Conclusiones: Según los resultados obtenidos observamos gran variabilidad entre las técnicas de procesamiento del TA lipoaspirado. El TAe y TAef efectivamente muestran una mayor disgregación del tejido, así como también mayor ruptura de adipocitos; sin embargo, ello no favoreció al aislamiento de un mayor número de A-DSC. Por lo tanto, la utilización de TAc podría representar una estrategia sencilla para la aplicación de TA en heridas complejas, ya que permite conservar mayor cantidad de A-DSC sin un procesamiento adicional. La preservación de esta población celular constituye una ventaja relevante, dado su potencial para contribuir a los procesos asociados a la regeneración tisular.

ANATOMIA FUNCIONAL Y BIOMECÁNICA DEL PULGAR

Núñez, F; Andrade, P; Luisi,A; Domecq; Palacios, S; Sánchez Calot, M; Gómez Oro, C.
Catedra de anatomía A ; FCM UNLP

e-mail de contacto: adomecq@med.unlp.edu.ar

Introducción: El pulgar es el elemento anatómico fundamental para la funcionalidad de la mano debido a su capacidad para realizar movimientos clave como la oposición, prensión y pinza de precisión. La pérdida de este dígito por amputación causa una severa limitación funcional, alterando considerablemente la autonomía y la calidad de vida del paciente.

Objetivos: Diseñar diversos prototipos de prótesis de pulgar guiados por principios anatómicos y biomecánicos para restituir la capacidad funcional de la mano.

Materiales y métodos: Se desarrolló un estudio descriptivo centrado en un paciente con amputación de pulgar. La metodología incluyó la evaluación clínica, el análisis radiográfico y la identificación de las limitaciones en las actividades diarias. Además, se tomaron mediciones del muñón para precisar los movimientos con mayor compromiso. Con estos datos, se diseñaron mediante software 3D (Tinkercad y FreeCAD) y se imprimieron en filamento PLA de 2.85 mm tres prototipos: un modelo electromecánico y dos modelos mecánicos.

Resultados Modelo Electromecánico: permitió recuperar parcialmente el movimiento de flexión, aunque mostró restricciones en la fuerza alcanzada durante la prensión.

Primer Modelo Mecánico: demostró un desempeño superior al lograr una oposición más estable y una pinza de precisión más eficiente. Destacó por su tamaño reducido y estética optimizada, aunque mantuvo como limitación la flexión involuntaria de la falange distal sobre la proximal.
Segundo Modelo Mecánico: en fase de desarrollo, integra un sistema de poleas orientado a ampliar el rango articular e incrementar la fuerza prensil.

Conclusiones: La integración de la anatomía funcional y la biomecánica resulta imprescindible para el diseño efectivo de prótesis de mano. Los prototipos permitieron recuperar parcialmente patrones de movimiento esenciales, validando el diseño biomecánico para mejorar la calidad de vida del paciente y ratificando la relevancia de la anatomía en la innovación médica.

ASTROCITOS, SINAPSIS Y CONDUCTA: DIFERENCIAS SEXUALES EN RATAS TRATADAS CON ESTREPTOZOTOCINA INTRACEREBROVENTRICULAR.

Facundo Peralta[1], Juliette López Hanotte[1], Carole Escartin[2,3], María Ángeles Carrillo-de Sauvage[2,3], Paula Cecilia Reggiani[1,4].
1- Facultad de Ciencias Médicas, Instituto de Investigaciones Bioquímicas de La Plata "Profesor Doctor Rodolfo R. Brenner" (CONICET-UNLP), La Plata, Argentina.
2- Laboratoire Des Maladies Neurodégénératives, Université Paris-Saclay, CEA, CNRS, MIRCen, Paris, France.
3- Université Paris-Saclay, CNRS, NeuroPSI, Paris, France.
4- Cátedra de Citología, Histología y Embriología, Facultad de Ciencias Médicas (UNLP), La Plata, Argentina.

e-mail de contacto: facundoperalta@med.unlp.edu.ar

Introducción: La enfermedad de Alzheimer presenta diferencias relacionadas con el sexo en su incidencia, progresión y manifestaciones clínicas. Sin embargo, los mecanismos que subyacen a estas diferencias permanecen incompletamente caracterizados. La administración intracerebroventricular de estreptozotocina (ICV-STZ) constituye un modelo experimental utilizado para estudiar alteraciones metabólicas, gliales y sinápticas asociadas a la enfermedad de Alzheimer esporádica. Considerando el papel de los astrocitos en la homeostasis neuronal, resulta relevante determinar si su respuesta a la administración de ICV-STZ difiere entre sexos y se relaciona con alteraciones conductuales y sinápticas.

Objetivos: Evaluar el efecto del sexo y del estado ovárico sobre las alteraciones conductuales y los cambios neuronales, astrogliales y sinápticos en el hipocampo inducidos por ICV-STZ.

Materiales y métodos: Se utilizaron ratas Sprague-Dawley de 3 meses, machos, hembras intactas y hembras ovariectomizadas (OVX), tratadas con líquido cefalorraquídeo artificial o STZ (3 mg/kg, ICV). A partir del día 14 posterior a la administración de STZ o vehículo se evaluaron conducta exploratoria (Open Field), conducta típica de especie (Marble Burying), memoria de reconocimiento (Novel Object Recognition), memoria espacial (Barnes Maze) y conducta tipo depresiva (Forced Swim Test). A los 25 días postratamiento se realizó la eutanasia de los animales y se reservaron los hipocampos de cada sujeto experimental para su análisis por inmunofluorescencia y microscopía confocal, cuantificando células PSA-NCAM+, inmunorreactividad para GFAP y localización nuclear de STAT3, así como expresión de Kir4.1 y GLT1. La densidad sináptica se estimó mediante colocalización de Bassoon/Homer en subregiones hipocampales. Los datos se analizaron mediante ANOVA de dos vías y pruebas post hoc de Tukey; para reconocimiento de objetos se utilizó además una prueba t de una muestra frente al nivel de azar.

Resultados: La STZ redujo la ganancia de peso corporal, mientras que la OVX la incrementó. La STZ redujo la conducta de enterramiento de canicas y aumentó la conducta tipo depresiva, sin diferencias sexo-dependientes en estos efectos. En reconocimiento de objetos, el índice de discriminación no mostró diferencias significativas entre grupos. En cambio, Barnes Maze reveló una interacción sexo×STZ: los machos tratados presentaron mayor latencia de escape y menor exploración del sector objetivo, indicando mayor vulnerabilidad en memoria espacial, efecto no observado en hembras intactas ni OVX. La STZ redujo además el número de células PSA-NCAM+ en el giro dentado, independientemente del sexo. En astrocitos, aumentó la inmunorreactividad para GFAP en CA3 y la localización nuclear de STAT3 en CA1, CA3 y giro dentado exclusivamente en machos. Kir4.1 disminuyó globalmente en el giro dentado, mientras que GLT1 no se modificó. Finalmente, la colocalización Bassoon/Homer disminuyó específicamente en el *Stratum Lucidum* de CA3 de los machos tratados con STZ, sin alteraciones equivalentes en hembras.

Conclusiones: La ICV-STZ induce alteraciones conductuales y celulares comunes a ambos sexos, pero los machos presentan mayor vulnerabilidad en memoria espacial, asociada a una respuesta astroglial diferencial y a pérdida sináptica regional en CA3. La ausencia de un patrón equivalente en hembras OVX sugiere que la menor vulnerabilidad femenina no depende exclusivamente de las hormonas ováricas. La coincidencia regional entre alteraciones astrogliales y sinápticas sugiere una posible relación entre ambos procesos.

CAMBIOS CARDIOMETABÓLICOS EN UN MODELO DE SOBREPESO A TRAVÉS DE DOS DIETAS HIPERGRASAS DIFERENTES

Gustavo Josué Monzón, Valeria Martínez, Rocio B. García, Paula Blanco, Eva Tejerina, Omar Velez Rueda, Noelia Rossetti, María Celeste Villa Abrille, Verónica C. De Giusti.

Centro de Investigaciones Cardiovasculares de La Plata CONICET-UNLP

e-mail de contacto: josumonzon33@gmail.com

Introducción: Las enfermedades cardiometabólicas (ECM) son la principal causa de morbimortalidad. Dentro de los principales factores de riesgo se encuentra el sobrepeso y la obesidad, situación que se está convirtiendo en una verdadera epidemia. La activación del sistema renina angiotensina aldosterona (SRAA) y el aumento de la producción de especies reactivas del oxígeno (ROS) se han instalado como características comunes de las ECM. Además, a nivel experimental la actividad del intercambiador sodio/protón (NHE) se ha vinculado con la generación y progresión de diferentes alteraciones cardíacas, siendo activado por dichas moléculas.

Objetivos: Generar un modelo de sobrepeso basado en el consumo de dos dietas con diferente porcentaje de grasa, para luego investigar los cambios estructurales, funcionales y moleculares que se generan a nivel cardiometabólico.

Materiales y métodos: Ratones C57Bl/6 hembra criados en nuestro bioterio. Al momento del destete (4 semanas posnatales) fueron divididos aleatoriamente en 2 grupos según la dieta que iban a recibir durante 18 semanas. La dieta 1: dieta hipergrasa (60%; HFD) y la dieta 2: dieta hipergrasa (40% de grasa + proteína HFDP). En ambos casos siempre había un grupo de animales que recibían dieta control (CD). * indica $p< 0.05$ vs CD.

Resultados: Al inicio del protocolo no se encontraron diferencias significativas en el peso corporal, en los parámetros ecocardiográficos ni en la prueba de tolerancia intraperitoneal a la glucosa (TTIG). El peso corporal fue controlado semanalmente. A las 18 semanas la ganancia (%) fue mayor en los grupos HFD y HFDP en comparación con el CD (80.71 ± 8.19 y 100.50 ± 9.01* vs 61.06 ± 6.44), momento en el cual se realizó la eutanasia. Al final del protocolo la grasa subcutánea normalizada por la longitud de tibia (mg/mm) fue mayor en ambas dietas en comparación con CD (29.02 ± 6.34* y 24.81 ± 7.05* vs 5.90 ± 1.58). El área bajo la curva (AUC) del TTIG fue mayor en ambas dietas hipergrasas en comparación con CD siendo sólo estadísticamente diferente en la HFDP (44418 ± 7075* vs 23294 ± 1171). La fracción de eyección (%) ventricular es menor en ambas dietas en comparación con CD (33.64 ± 5.31* y 38.19 ± 7.39 vs 57.99 ± 1.57) si bien no había evidencia de aumento de la masa miocárdica ni de alteración en el llenado a través del flujo de la válvula mitral. De manera interesante, la presión arterial sistólica (PAS) no sólo fue mayor al finalizar el protocolo, sino que ya mostraba diferencias significativas a las 8 semanas de iniciada la dieta en ambos grupos de dieta hipergrasa en comparación al CD (155.3 ± 0.48* y 156.8 ± 3.07* vs 131.3 ± 4.15), sugiriendo la activación de mediadores moleculares iniciadores del daño previo a la instalación del fenotipo. La actividad del NHE plaquetario como reflejo de su actividad en los cardiomiocitos, fue mayor en los ratones con HFD (1.4 ± 0.26* vs 0.8 ± ±0.08 dpH/dt), sin cambios evidentes en la expresión proteica (84.00 ± 4.94 y 69.47 ± 13.46 vs 100 ± 6.93).

Conclusiones: Nuestros resultados preliminares muestran que ambos protocolos de dieta hipergrasa son efectivos para inducir un sobrepeso, y que conducen a similares alteraciones a nivel tanto metabólicas como cardiovasculares.

CARACTERIZACIÓN DINÁMICA DE LOS EFECTOS DE LA INFECCIÓN ORAL POR BEAUVERIA BASSIANA EN TRIBOLIUM CASTANEUM: MORFOLOGÍA E INMUNIDAD

***Ledesma, Francisco Tomás*[(1)]; *Preisegger, Lautaro*[(1)]; *Ghilini, Fiorella*[(2)]; *Mannino, M. Constanza*[(1)]**
[(1)]*Instituto de Investigaciones Bioquímicas de La Plata "Profesor Doctor Rodolfo R. Brenner" (INIBIOLP), UNLP, CONICET*
[(2)]*Instituto de Investigaciones Fisicoquímicas Teóricas y Aplicadas (INIFTA), UNLP, CONICET*

e-mail de contacto: ftledesma22@gmail.com

Introducción: *Tribolium castaneum*, el gorgojo rojo de la harina, es una de las plagas principales de granos almacenados, con una alta capacidad reproductiva y resistencia a insecticidas químicos. Además, los adultos son tolerantes a infecciones cuticulares con hongos entomopatógenos. En este contexto, el hongo entomopatógeno *Beauveria bassiana* tiene potencial como biocontrolador ya que posee en su genoma varias enterotoxinas con potencial de interacción con el entorno intestinal del insecto. En busca de métodos de control biológico eficaces para este insecto, se estudia la vía oral de infección -complementaria a la vía cuticular-, utilizando propágulos encapsulados de *B. bassiana*. Se conoce que el hongo persiste en el intestino del insecto, y, además, los gorgojos infectados mueren por micosis.

Objetivos: El objetivo de este trabajo es caracterizar la interacción patógeno-hospedador entre *B. bassiana* y *T. castaneum* en el contexto de la infección oral. Para eso, se buscará evidenciar si existe una interacción del hongo con el entorno intestinal del insecto, qué respuestas inmunes emplea este para su defensa, y como transcurren las dinámicas de ambos procesos.

Materiales y métodos: Adultos y larvas de *T. castaneum* se alimentaron durante 1, 3, 7 y 10 días con una formulación gelificada conteniendo conidios de *B. bassiana* y sus respectivos controles sin conidios. Posteriormente, se disectaron los tractos intestinales para su procesamiento. En primer término, se tiñeron y montaron las muestras para visualizar a través de microscopía confocal, la morfología y potenciales cambios histológicos del intestino del insecto. En segundo término, se extrajo RNA total, que se retrotranscribió y se utilizó para cuantificación génica de genes asociados a las principales vías inmunes del insecto por medio de PCR en tiempo real.

Resultados: Las imágenes por microscopía confocal de fluorescencia mostraron diferencias visibles en la organización e integridad de la matriz peritrófica respecto a los controles, así como una reducción del volumen que aumenta de manera progresiva con el tiempo de infección. Esto se observó en larvas y adultos, a diferencia del efecto sobre el epitelio y musculatura del intestino, que sólo sufrió modificaciones estructurales en el estadio larvario. Por otro lado, la cuantificación génica reveló que la respuesta primaria a la infección se da por la Defensina 1, un reconocido péptido antimicrobiano (AMP), que fue sobreexpresado en todos los tiempos. En tiempos posteriores, se evidenció la ligera sobreexpresión del AMP Defensina 2 y la proteína de señalización Spaetzle. El patrón de expresión génica resultó similar en larvas y adultos, con mayores valores de expresión máxima registrados para las larvas.

Conclusiones: La interacción de *B. bassiana* con el intestino medio de *T. castaneum* ocurre a nivel de la matriz peritrófica, una de las barreras primarias contra patógenos por vía oral del insecto, la cual se ve estructuralmente comprometida y con volumen reducido a medida que transcurre la infección. La respuesta inmune primaria del insecto a esta infección fúngica ocurre mediante la producción del AMP Defensina 1 de manera pronunciada y consistente con el tiempo, y recién a tiempos posteriores se involucran vías inmunes más complejas y AMPs complementarios. Esta información permite profundizar sobre los mecanismos de interacción patógeno-hospedador y sirve de base para la formulación de compuestos bioinsecticidas basados en hongos entomopatógenos más eficaces para su aplicación a gran escala, así como ampliar el conocimiento de la respuesta inmune insectil.

CONTRIBUCIÓN DE LAS MEDIDAS TRANSVERSALES DEL HÚMERO Y FÉMUR A LA RECONSTRUCCIÓN DEL PERFIL BIOLÓGICO INFANTIL

Peña V., García-Mancuso R, Plischuk M. y Desántolo B.
Laboratorio de Investigaciones en Ciencias Forenses (LICIF).

e-mail de contacto: vchiara@med.unlp.edu.ar

Introducción: El estudio de restos esqueléticos infantiles aporta información relevante para las investigaciones bioarqueológicas y forenses. Sin embargo, el análisis de restos fragmentarios continúa representando un desafío. En este contexto, el estudio morfométrico de elementos óseos completos permite identificar variables que podrían contribuir a la estimación de la longitud de huesos fragmentarios y, consecuentemente, a la reconstrucción del perfil biológico. El presente trabajo analiza de las medidas transversales del húmero y fémur infantil, a partir de los relevamientos realizados en la colección osteológica documentada Prof. Dr. Rómulo Lambre (FCM-UNLP). Se busca evaluar la utilidad de las variables métricas de ambos huesos para estimar sus longitudes completas y contribuir a la estimación de la edad durante los períodos prenatal y posnatal temprano que aporten información para la identificación humana en contextos donde los restos se encuentran incompletos o deteriorados.

Objetivos: Analizar conjuntamente las medidas transversales del fémur y del húmero infantiles para evaluar su utilidad en la estimación de la longitud ósea a partir de restos fragmentarios y la reconstrucción del perfil biológico en restos esqueletizados.

Materiales y métodos: A partir de una muestra total compuesta por 220 individuos con edades comprendidas entre el periodo fetal y los 15 años, se seleccionaron para el análisis 73 individuos de ambos sexos con edades comprendidas entre los 5 meses de gestación y los 3 meses posnatales, que presentaran fémur y húmero completo y sin patologías aparentes. Las mediciones fueron realizadas utilizando un calibre digital de precisión de 0,01mm y siguiendo metodología estandarizada. Para ambos elementos se registraron la longitud total (LT), ancho mediolateral del cuello (AMC) del fémur/ancho del extremo proximal (AEP) del húmero, ancho del extremo distal (AED) y los diámetros anteroposterior (DA) y transversal (DT). Se evaluó la existencia de diferencias por lateralidad y sexo y se aplicaron análisis de regresión lineal sobre las variables métricas con el fin de identificar aquellas que permiten estimar con mayor precisión la longitud completa de cada hueso a partir de fragmentos óseos.

Resultados: No se observaron diferencias significativas según lateralidad ni sexo en ninguno de los huesos analizados. Los modelos de regresión evidenciaron una buena capacidad de estimación de la completitud en ambos huesos, con valores de R^2 superiores a 0,70. En el fémur, las variables correspondientes a los extremos presentaron los mejores ajustes (AMC: $R^2 = 0,89$; AED: $R^2 = 0,87$), mientras que los diámetros mostraron valores inferiores (DA: $R^2 = 0,72$; DT: $R^2 = 0,76$). Se observó un comportamiento similar en el húmero, donde las medidas de los extremos alcanzaron los mayores valores de R^2 (AEP: $R^2 = 0,85$; AED: $R^2 = 0,89$), aunque los diámetros también presentaron ajustes elevados (DA: $R^2 = 0,76$; DT: $R^2 = 0,77$).

Conclusiones: Las medidas transversales del fémur y húmero mostraron una asociación elevada con la longitud total de ambos elementos en individuos infantiles durante el período fetal y posnatal temprano. Las variables correspondientes a los extremos óseos presentaron los mejores ajustes en los modelos de regresión, aunque las medidas de ancho también evidenciaron capacidad predictiva. Estos resultados sugieren que las medidas transversales podrían constituir herramientas útiles para estimar la longitud de huesos fragmentarios y contribuir a la reconstrucción del perfil biológico infantil. La ausencia de diferencias significativas según sexo resulta esperable para el rango etario analizado posibilitando la aplicación de los modelos en ambos sexos dentro de la muestra estudiada.

DESARROLLO DE ANTICUERPOS PARA LA TIPIFICACIÓN DE AMILOIDOSIS (PROYECTO FITBA 2025)

Silvana A. Rosú (1,2); Marina Isla Larrain(2,3); Gustavo A. Gotelli (4); M. Alejandra Tricerri (1,2).
(1)Instituto de Investigaciones Bioquímicas de La Plata (INIBIOLP, CONICET-UNLP), (2) Facultad de Ciencias Médicas, UNLP; (3) Centro de Investigaciones Inmunológicas Básicas y Aplicadas (CINIBA, FCM-UNLP); (4) Kalium Technologies S.R.L.;

e-mail de contacto: srosu@med.unlp.edu.ar

Introducción: Las amiloidosis son enfermedades discapacitantes causadas por el depósito de proteínas de conformación anómala en órganos vitales, lo que afecta su funcionamiento normal. Debido a la diversidad de sus manifestaciones clínicas, identificar la proteína involucrada y diseñar un tratamiento específico resulta un desafío complejo. Entre las variantes sistémicas más comunes se encuentran las originadas por transtirretina (TTR) y apolipoproteína A-I (ApoA-I). Asimismo, nuestro grupo ha identificado recientemente en Argentina, mediante herramientas genómicas, una variante infrecuente de la cadena alfa del fibrinógeno.

Actualmente, el diagnóstico estándar se basa en tinciones histológicas convencionales (Rojo Congo y Tioflavina T) que, si bien confirman la presencia de los depósitos amiloides, no logran precisar la proteína causante, un paso crítico para definir la terapia adecuada. Ante este límite diagnóstico, sumado a la escasez y el elevado costo de los reactivos específicos en el mercado local, la Facultad de Ciencias Médicas (UNLP) y el INIBIOLP establecieron una alianza estratégica. Este proyecto de vinculación tecnológica junto a la empresa Kalium Technologies S.R.L., financiado por el Fondo de Innovación Tecnológica de Buenos Aires (FITBA), busca desarrollar soluciones accesibles para optimizar el diagnóstico de estas patologías.

Objetivos: 1) Desarrollar y validar un panel de anticuerpos policlonales (anti-TTR, anti-ApoA-I y anti-Fibrinógeno) para la tipificación inmunohistoquímica de amiloidosis. 2) Optimizar la purificación por afinidad de dichos anticuerpos, comparando la cromatografía convencional con una plataforma innovadora basada en nanopartículas magnéticas (NPMs) de producción local.

Materiales y métodos: Se expresaron y purificaron proteínas recombinantes (TTR, ApoA-I y Fibrinógeno) en *Escherichia coli* para su empleo como inmunógenos. Tras esquemas de inmunización estandarizados en modelos animales, los antisueros obtenidos se purificaron inicialmente mediante columnas de afinidad HiTrap. Esta metodología actúa como estándar de referencia para evaluar el rendimiento de la purificación mediante nanopartículas magnéticas funcionalizadas (NPMs-NHS) provistas por la empresa adoptante. La especificidad y reactividad cruzada del panel de anticuerpos se evaluarán mediante inmunohistoquímica en biopsias tisulares.

Resultados: Se logró la expresión y purificación con alto grado de pureza de 2/3 de los inmunógenos recombinantes. Actualmente, se ha completado la purificación de 2/3 de los anticuerpos policlonales específicos a partir de los antisueros obtenidos. En forma complementaria, se han recolectado y acondicionado las muestras de biopsias de pacientes requeridas para la fase de validación inmunohistoquímica.

Conclusiones: Este trabajo refleja una articulación efectiva de vinculación tecnológica entre la universidad pública (FCM-UNLP/INIBIOLP) y el sector productivo (Kalium Technologies S.R.L.). El desarrollo local de anticuerpos de tipificación, sumado a la implementación de tecnología de separación por partículas magnéticas, ofrece una alternativa nacional, accesible y de alta precisión para el diagnóstico inmunohistoquímico de las amiloidosis.

DESARROLLO DE UN MODELO 3D DE CÁNCER DE MAMA PARA ENSAYOS TERAPÉUTICOS IN VITRO

Colonna F, Calderone M, Muglia C, Isla Larrain M
Centro de Investigaciones Inmunológicas Básicas y Aplicadas. CINIBA- UNLP-asociado a CICPBA-Instituto de Estudios Inmunológicos y Fisiopatológicos IIFP-UNLP-CONICET-CICPBA

e-mail de contacto: marinaislalarrain@med.unlp.edu.ar

Introducción: El cáncer de mama (CaMa) es un conjunto heterogéneo de neoplasias malignas muy frecuente en nuestro país y la principal causa de muerte por cáncer en las mujeres. El estudio de los mecanismos inmunes involucrados en esta patología es relevante en el diagnóstico, pronóstico y tratamiento. Históricamente, la investigación in vitro se ha basado en cultivos celulares monocapa en dos dimensiones (2D); sin embargo, estos modelos presentan limitaciones al no lograr replicar la arquitectura espacial, las interacciones célula-célula ni los gradientes de oxígeno y nutrientes presentes en los tumores reales. Esta disparidad explica, en parte, por qué muchos tratamientos que resultan prometedores en el laboratorio fallan al llegar a la práctica clínica. En este contexto, los modelos tridimensionales (3D), como los esferoides, surgen como una herramienta indispensable. En un intento de reproducir la fisiología y la heterogeneidad de los tumores sólidos in vivo, los esferoides ofrecen una plataforma biológicamente más predictiva. Para validar estos modelos, resulta fundamental caracterizar tanto el tejido tumoral primario como los esferoides derivados de éste mediante biomarcadores clave en la regulación inmunológica y el fenotipo tumoral (como IDO, Foxp3, CD4, CD8 y CD45R0), evaluando en qué medida el modelo 3D preserva la complejidad biológica original. También es relevante la caracterización fenotípica de los linfocitos circulantes de sangre periférica para obtener un perfil inmunológico completo de cada paciente.

Objetivos: Establecer un modelo *in vitro* tridimensional (esferoides) de cáncer de mama a partir de tumores primarios y comparar su perfil fenotípico con el del tejido tumoral original, con el fin de validar su capacidad para recrear la arquitectura y el microambiente tumoral, ofreciendo una plataforma fisiológicamente relevante para futuros estudios biológicos y farmacológicos.

Materiales y métodos: Se generaron esferoides a partir de células derivadas de 24 pacientes utilizando placas de ultra baja adherencia. Se monitoreó la formación, compactación y cinética de crecimiento a lo largo de 14 días. Se evaluó la viabilidad celular y la morfología a través de microscopía óptica. Se incluyeron 71 muestras de tumores de mama y se analizó por IHQ la expresión de IDO, Foxp3, CD4, CD8 y CD45R0 para la caracterización fenotípica de los tumores. En sangre periférica (SP), se determinaron los porcentajes de subtipos linfocitarios mediante Citometría de Flujo (CF).

Resultados: Se logró la formación exitosa de esferoides tumorales sólidos a partir del día 7 de cultivo. Los modelos tridimensionales mostraron una estructura esférica compacta, alcanzando un diámetro 500-700 µ al finalizar el seguimiento. La evaluación morfológica demostró que el modelo recrea de forma sostenida la cohesión celular propia de las masas tumorales sólidas. Por otro lado, mediante IHQ, se observó que IDO se expresó en el 75% de las muestras, Foxp3 en el 55%, CD4 en el 95.5%, CD8 en el 96.1% y CD45R0 en el 98.6%. Respecto a la caracterización de poblaciones en SP mediante CF, la población $CD4^+Foxp3^+CD25^+$ osciló entre 0% y 3,3%, mientras que la población $CD4^+Foxp3^+CD25$- mostró mayor variabilidad, entre 1,8% y 24,9%

Conclusiones: La generación de esferoides de CaMa demostró ser un método accesible, reproducible y superior al cultivo bidimensional, ya que se asemeja a la arquitectura tridimensional del tumor. Disponer de este modelo que reproduce en gran medida el microambiente tumoral resulta de gran valor, al constituir una herramienta óptima para estudiar *in vitro* la penetración de fármacos, la resistencia terapéutica y las posibles interacciones del tumor con el sistema inmunológico. Esta etapa preliminar se complementará con la caracterización en forma pareada de los tumores primarios y los esferoides obtenidos de los mismos para cada paciente, junto con la distribución de subtipos linfocitarios en sangre periférica, apuntando a un avance hacia la medicina personalizada.

DIGITALIZACIÓN DEL REGISTRO OSTEOLÓGICO Y TAFONÓMICO EN LA COLECCIÓN LAMBRE: IMPLEMENTACIÓN DE UN PROTOCOLO PARA LA GESTIÓN DE INFORMACIÓN EN LABORATORIO.

Brunetti, Brisa Rocío; Miguez, Linda Jezabel; Desántolo, Bárbara.
Laboratorio de Investigaciones en Ciencias Forenses (LICIF)

e-mail de contacto: ljezabelmiguez@med.unlp.edu.ar

Introducción: La documentación de colecciones osteológicas constituye una herramienta fundamental para la generación, conservación y consulta de información científica. En particular, el análisis tafonómico y osteológico requiere el registro sistemático y estandarizado de múltiples variables asociadas a las modificaciones observadas en los restos óseos. En este sentido, la digitalización de estos registros constituye una estrategia para mejorar la estandarización, organización, trazabilidad y consulta de la información científica generada en las colecciones osteológicas. En la Colección Osteológica Documentada Prof. Dr. Rómulo Lambre (FCM-UNLP), la sistematización digital permitirá optimizar la gestión de la información asociada al análisis de los restos óseos y favorecer su aprovechamiento en investigaciones actuales y futuras.

Objetivos: El presente trabajo tiene como objetivo general desarrollar y aplicar una estrategia de digitalización y sistematización del registro osteológico y tafonómico de la colección Lambre mediante la incorporación de herramientas digitales. Asimismo, se busca fortalecer las competencias vinculadas a la organización, estandarización y gestión de información científica, y promover habilidades metodológicas propias de la antropología biológica y forense.

Materiales y métodos: La muestra comprende 240 individuos contemporáneos documentados. El trabajo se desarrolló a partir de una ficha de análisis de laboratorio diseñada mediante la articulación y adaptación de diversos protocolos de registro osteológico previamente diseñados en el LICIF, incorporando un apartado específico de relevamiento y sistematización de variables tafonómicas. Para optimizar el registro, se diseñó un documento editable (PDF) adaptado para dispositivos electrónicos y se inició la migración de los protocolos en soporte papel al nuevo formato digital, conservando los criterios metodológicos originales y garantizando su vinculación con la base de datos existente.

Resultados: La implementación del protocolo digital permitió sistematizar hasta el momento 150 registros de la Colección Lambre. Este formato posibilita cargar los datos directamente durante el análisis, evitando las etapas intermedias de transcripción y garantizando una organización uniforme de los mismos. A su vez, mantiene los criterios metodológicos originales y facilita la integración de la información en la base de datos preexistente. Finalmente, la experiencia contribuyó al desarrollo de competencias vinculadas al registro osteológico y tafonómico, al manejo de información científica y al uso de herramientas digitales aplicadas al trabajo de laboratorio.

Conclusiones: La transición de los protocolos en formato papel hacia sistemas digitales constituye una herramienta eficaz para optimizar el procesamiento, organización y conservación de la información de la colección Lambre. Este proceso no sólo preserva los registros históricos e integra información osteológica y tafonómica, sino también facilita su consulta y reutilización. Además de sus aportes para la gestión de la colección, la experiencia desarrollada representa una instancia formativa que promueve la adquisición de competencias metodológicas y digitales esenciales para la antropología forense y la gestión de colecciones osteológicas.

DILUCIDANDO LOS MECANISMOS CELULARES QUE SUBYACEN A LA DISFUNCIÓN MIOCÁRDICA INDUCIDA POR SEPSIS: CARACTERIZACIÓN DEL ROL DEL INTERCAMBIADOR SODIO-HIDRÓGENO DE TIPO 1 (NHE1)

Racioppi MF, Vila Petroff M y Jaquenod De Giusti C.
Centro de investigaciones cardiovasculares Horacio Cingolani, Facultad de Ciencias Médicas, CONICET-UNLP

e-mail de contacto: mracioppi@med.unlp.edu.ar

Introducción: La miocardiopatía inducida por sepsis (MIS) constituye una complicación frecuente y de elevada mortalidad, cuyos mecanismos subcelulares aún no se encuentran esclarecidos. El intercambiador sodio-hidrógeno tipo 1 (NHE1) es un regulador central del pH intracelular (pHi) en el cardiomiocito. Si bien su hiperactivación ha sido vinculada con daño cardíaco en diferentes condiciones de acidosis, su participación en la MIS permanece poco estudiada, aunque esta ha sido asociada a acidosis intracelular. **Hipotetizamos que la sepsis altera la función del NHE1, afectando la regulación del pHi y contribuyendo al deterioro contráctil que se observa en este cuadro.**

Objetivo: Estudiar la participación del NHE1 en las alteraciones del pHi y la función contráctil asociadas a la sepsis, con especial énfasis en su rol en cardiomiocitos.

Materiales y métodos: Se utilizó la línea de mioblastos de rata H9c2 tratados con lipopolisacárido bacteriano (LPS) (1, 5 y 10 µg/ml) durante 24 h .Se midió la expresión de NHE1 mediante Western blot. La actividad funcional del NHE1 se determinó mediante la velocidad de recuperación del pHi luego de una carga ácida inducida con NH_4Cl, utilizando BCECF-AM como indicador fluorescente.

Como modelo in vivo, se utilizaron ratones C57BL/6 tratados con LPS (5 mg/kg, i.p.), cuyos cardiomiocitos ventriculares se aislaron luego de 24 h de tratamiento mediante el sistema de Langendorff y digestión enzimática. En estas células se determinó la actividad funcional del NHE1 del mismo modo que en H9c2, y la función contráctil se determinó mediante el análisis del acortamiento celular en cardiomiocitos aislados.

Resultados: En H9c2 tratadas con LPS (10 µg/ml) se observó una disminución significativa de la expresión de NHE1, acompañada de una menor velocidad de recuperación del pHi, compatible con una reducción de su actividad funcional. En cardiomiocitos aislados de animales tratados con LPS se observó un pHi basal relativamente más ácido y una menor velocidad de recuperación luego de la carga ácida respecto de los controles. Asimismo, estos cardiomiocitos presentaron una disminución significativa de la contractilidad, confirmando que el modelo animal empleado reproduce una característica funcional central de la MIS.

Conclusiones: La exposición a LPS altera la homeostasis del pHi del cardiomiocito y reduce su recuperación ante una carga ácida, acompañándose de un deterioro contráctil. Estos resultados sugieren que una alteración de la función del NHE1 podría contribuir a la disfunción cardíaca asociada a la sepsis.

DISTRIBUCIÓN TOPOGRÁFICA Y SIMETRÍA BILATERAL DE LOS FORÁMENES VASCULARES DE LA CARA INFERIOR DEL CUELLO DEL ASTRÁGALO: ESTUDIO EN HUESO SECO

Andrade, P; Luisi, A; Navickas, V; Castro Aparicio, I; Núñez, F; Gómez Oro, C; Domecq R.
Catedra de Anatomía A ; Facultad de Ciencias Médicas UNLP

e-mail de contacto: adomecq@med.unlp.edu.ar

Introducción: El astrágalo es el segundo hueso del tarso en tamaño y constituye el nexo óseo entre la pierna y el pie.

Su particularidad anatómica vascular radica en que aproximadamente el 60% de su superficie está recubierta por cartílago articular, limitando considerablemente las zonas de entrada del aporte sanguíneo perióstico.

Sus forámenes vasculares constituyen las vías de ingreso del aporte sanguíneo intraóseo, cuya lesión predispone a la necrosis avascular. La cara inferior del cuello representa una superficie escasamente sistematizada en la literatura.

Objetivos: Analizar y sistematizar la distribución topográfica de los forámenes vasculares en la cara inferior del cuello del astrágalo mediante un sistema de zonificación en especímenes óseos secos, evaluando su simetría bilateral.

Materiales y métodos: A partir del método observacional descriptivo se analizó la distribución topográfica de los forámenes vasculares de la cara inferior del cuello del astrágalo, mediante un sistema de zonificación original de seis sectores en una muestra bilateral de especímenes secos.

Se estudiaron 37 astrágalos secos de la colección osteológica de la FCM-UNLP: 17 izquierdos (Serie A) y 20 derechos (Serie B). La cara inferior del cuello fue subdividida en seis zonas mediante dos ejes ortogonales: anteroposterior (tercios anterior A, medio M, posterior P) y mediolateral (sectores medial Me y lateral La), resultando las zonas AMe, ALa, MMe, MLa, PMe y PLa ,mediante análisis fotográfico macroscópico.

Resultados: Se identificaron 180 forámenes en total. La zona MMe concentró el mayor porcentaje foraminal (41,25% y 43% respectivamente), seguida por PMe (26,25% y 28%) y MLa (20% y 23%).

La zona ALa mostró ausencia práctica de forámenes en ambas series.

Conclusiones: El patrón de distribución foraminal es predominantemente medial y central, con elevada simetría bilateral, consistente con el territorio vascular de la arteria del canal tarsiano.

EFECTO DE DOS COMPUESTOS NATURALES CON ACTIVIDAD ANTIOXIDANTE SOBRE LAS ALTERACIONES METABÓLICAS INDUCIDAS POR UNA DIETA RICA EN FRUCTOSA

Molino DA[1], Villagarcía HG[1], González Arbeláez LF[2], Román CL[1], Schinella GR[3,4], Francini F[1].
[1]CENEXA. Centro de Endocrinología Experimental y Aplicada (UNLP-CONICET, FCM-FCE, CeAs CICPBA). Cátedra de Biología, FCM-UNLP.
[2]CIC. Centro de Investigaciones Cardiovasculares "Doctor Horacio Eugenio Cingolani" (CONICET-UNLP)
[3]UNLP - Facultad de Ciencias Médicas, Cátedra de Farmacología Básica.
[4]UNAJ-CICPBA, Instituto de Ciencias de la Salud.

e-mail de contacto: dmolino@med.unlp.edu.ar

Introducción: El elevado consumo de fructosa (dieta rica en fructosa - DRF) favorece el desarrollo de alteraciones metabólicas tempranas asociadas a la prediabetes. Siendo la insulinorresistencia (IR) y la meta-inflamación procesos desencadenados por una DRF, compuestos naturales con propiedades antioxidantes y antiinflamatorias podrían considerarse como potenciales estrategias para prevenir o atenuar estos efectos.

Objetivos: Evaluar el efecto protector del ácido rosmarínico (AR) y del ácido siríngico (AS) sobre las alteraciones metabólicas inducidas por DRF.

Materiales y métodos: Ratas Sprague-Dawley macho adultas recibieron dieta comercial estándar durante 21 días y se dividieron aleatoriamente en 4 grupos: Control (C; agua corriente), Fructosa (F; fructosa al 10% en el agua de bebida), Fructosa + AR (F+AR) y Fructosa + AS (F+AS). Los grupos tratados recibieron AR o AS (30 mg/kg, i.p.) durante los últimos 6 días de tratamiento. Al finalizar el mismo se realizó una prueba de tolerancia a la glucosa (i.p) y se determinó la ingesta calórica, parámetros séricos, los pesos relativos del hígado, tejido adiposo visceral (TAV) y pardo (TAP). Además, se analizó en homogenados de hígado la expresión de ciclooxigenasa-2 (COX-2), óxido nítrico sintasa inducible (iNOS) e interleuquina-1β (IL-1β) por Western blot.

Resultados: La ingesta calórica fue significativamente mayor en los grupos F, F+AR y F+AS respecto al grupo C (31,4 ± 1,6; 30,2 ± 1,2 y 30,6 ± 0,9 vs. 23,4 ± 0,1 kcal/100 g de rata/día, respectivamente). En cuanto a la prueba de tolerancia a la glucosa, el área bajo la curva (AUC) fue significativamente mayor en F y F+AS respecto a C (17463 ± 631,2 y 19435 ± 1868 vs. 12323 ± 344). Si bien se observa una disminución en el AUC en los animales F+AR (12220 ± 2496 vs 17463 ± 631,2), dicha diferencia no fue significativa. Tanto el AR como el AS disminuyeron los niveles séricos de triglicéridos (166,9 ± 12,7 y 203,2 ± 5,6 vs 294,7 ± 21,8 mg/dl), colesterol total (60,5 ± 0,7 y 61,7 ± 0,9 vs 71 ± 1,6 mg/dl), HDLc (35,7 ± 0,7 y 34 ± 1,4 vs 41,5 ± 2,5 mg/dl) y el peso relativo hepático (4,5 ± 0,0 y 4,6 ± 0,1 vs 4,9 ± 0,1 %) respecto al grupo F. El AR mostró un efecto adicional, al disminuir el índice de IR (TG/HDL) (4,7 ± 0,4 vs 7,3 ± 0,7) y la relación TAV/TAP (9,8 ± 0,8 vs. 13,8 ± 0,7) respecto al grupo F.

En hígado, el tratamiento con AR y AS indujo una disminución en el contenido de COX-2 (58 ± 7,5 y 56,7 ± 1,4 *vs* 107,7 ± 8,7) y en el contenido de iNOS (66,3 ± 0,9 y 65,3 ± 2,8 *vs* 122,7 ± 9,5) respecto al grupo F. Asimismo, el AS disminuyó el contenido de IL-1β (93,3 ± 2,9 *vs* 122,7 ± 7,7) respecto al grupo F.

Conclusiones: El ácido rosmarínico y el ácido siríngico atenuaron parcialmente las alteraciones metabólicas inducidas por una DRF, siendo el ácido rosmarínico el que mostró un efecto protector más marcado. Estos resultados respaldan el potencial de ambos compuestos naturales como estrategias para prevenir o retrasar las alteraciones metabólicas tempranas asociadas a la prediabetes.

"EFECTO DE LA RESOLVINA D1 SOBRE LA MADURACIÓN OVOCITARIA IN VITRO EN UN MODELO BOVINO DE INFLAMACIÓN INDUCIDA POR LIPOPOLISACÁRIDO BACTERIANO"

Sella María Eugenia[1], Campagna Anabella[1], Fabra Mariana[1-2], Piscicelli Martina[1], Taminelli Guillermo[1], Rice Marcos[1], Nikoloff Noelia[1], Carranza-Martin Ana[1].
[1]Pontificia Universidad Católica Argentina (UCA) CONICET, Facultad de Ingeniería y Ciencias Agrarias (FICA), Laboratorio de Reproducción Animal. Av. Alicia Moreau de Justo 1500 (CP 1107) – Ciudad Autónoma de Buenos Aires, Argentina.
[2]Catedra Anatomía, Histología y Embriología. Lic. Obstetricia. Facultad de Ciencias Médicas Universidad Nacional de La Plata (FCM – UNLP).

e-mail de contacto: meugeniasella@uca.edu.ar

Introducción: Las enfermedades infecciosas de origen bacteriano pueden desencadenar respuestas inflamatorias capaces de alterar la función de diversos órganos y tejidos. Entre los componentes bacterianos capaces de activar la respuesta inmunitaria se encuentra el lipopolisacárido (LPS), presente en la membrana externa de las bacterias Gram negativas. El LPS es reconocido por receptores de la inmunidad innata, presentes en las células de los tejidos reproductivos; su activación desencadena vías de señalización y la producción de mediadores inflamatorios. Esta respuesta puede ejercer efectos negativos sobre el ovario y el ambiente folicular, afectando la maduración y la calidad ovocitaria. El modelo bovino constituye una herramienta experimental de interés debido al amplio desarrollo de sus biotecnologías reproductivas y a sus similitudes con la fisiología reproductiva humana. Los ácidos grasos poliinsaturados (PUFA) son bien conocidos por su papel nutricional. Derivados de la familia omega-3, como la resolvina D1 (RvD1), participan en la resolución activa de los procesos inflamatorios. Sin embargo, sus efectos antiinflamatorios han sido poco estudiados. En este contexto, la RvD1 podría contribuir al desarrollo de estrategias para mitigar los efectos de la inflamación sobre la maduración ovocitaria.
Objetivos: Determinar el efecto citoprotector de la RvD1 sobre los ovocitos durante la maduración *in vitro* (MIV) en presencia de LPS.
Materiales y métodos: Se realizó un ensayo de viabilidad celular mediante MTT, determinando 100 ng/mL de LPS como concentración letal 50% (CL50). Los tratamientos consistieron en: 1) control solvente (ethanol 0,1%), 2) 100ng/mL LPS, 3) 60 pg/mL RvD1 más 100ng/mL LPS y 4) 120 pg/mL RvD1 más 100ng/mL LPS. La concentración de 60 pg/mL fue seleccionada como referencia fisiológica, dado que se encuentra dentro del rango reportado en el líquido folicular de mujeres y ovejas. Ante la falta de valores de referencia de RvD1 en líquido folicular durante procesos inflamatorios, se incluyó la concentración de 120 pg/mL como posible incremento asociado a la respuesta inflamatoria. Los complejos ovocito-cúmulus (COCs) fueron obtenidos mediante aspiración folicular de ovarios bovinos provenientes de frigorífico el mismo día de la faena. Fueron seleccionados bajo lupa estereoscópica con platina térmica y sometidos a MIV durante 24 h, en grupos de treinta COCs por tratamiento y tres réplicas experimentales. Finalizada la MIV, los ovocitos fueron denudados mecánicamente de las células del cúmulus. La maduración nuclear y citoplasmática se evaluaron mediante tinción con Hoechst 33342 y FITC-PNA, respectivamente, y microscopía de epifluorescencia. Los datos fueron analizados mediante un modelo lineal generalizado mixto y prueba post hoc de Tukey en R Core, considerando un nivel de significancia de $p < 0,05$.
Resultados: Se observaron diferencias significativas entre el control y el LPS en la maduración nuclear y citoplasmática ($p \leq 0,044$). La concentración de RvD1 de 60 pg/mL mejoró la maduración nuclear respecto al LPS ($p = 0,002$), sin presentar diferencias con el control ($p = 0,478$), y no mejoró la maduración citoplasmática en relación con el LPS ($p = 0,097$). Por otro lado, la concentración de RvD1 de 120 pg/mL mostró un incremento en la proporción de ovocitos en estadio MII ($p < 0,0001$), acompañado por un aumento del patrón periférico de gránulos corticales respecto al LPS ($p = 0,0377$), con valores similares al control ($p \geq 0,934$).

Conclusiones: La RvD1 mostró efectos favorables sobre la maduración de ovocitos bovinos expuestos a LPS, sugiriendo un posible efecto beneficioso durante la MIV. Estos hallazgos resaltan la importancia de continuar investigando el rol de la RvD1 en la respuesta ovocitaria bajo condiciones inflamatorias.

EFECTO DE LA RESOLVINA E1 SOBRE EL DESARROLLO Y LA CALIDAD EMBRIONARIA TEMPRANA.

Piscicelli M, Aldabe C, Sella E, Fabra C, Campagna A, Taminelli G, Nikoloff N, Carranza-Martin A.
Universidad Católica Argentina de Buenos Aires.

e-mail de contacto: anacarranza@uca.edu.ar; martinapiscicelli@uca.edu.ar

Introducción: Los ácidos grasos poliinsaturados omega-3 (n-3 PUFAs) participan activamente en la regulación de los folículos ováricos en mamíferos. Los n-3 PUFAs además de actuar de forma directa sobre las células, también tienen acción a través de sus derivados lipídicos. Dentro de estos derivados se encuentra la resolvina E1 (RvE1) que es un mediador especializado proveniente del ácido eicosapentaenoico. Un estudio previo en mujeres describió la presencia de RvE1 en el líquido folicular y señaló a las células del cúmulus (CC) como una fuente de este mediador. Además, mostró que la RvE1 modula la función del complejo ovocito-cúmulus (COC). Es por ello que se ha propuesto a la RvE1 como biomarcador predictivo de la calidad del ovocito y por lo tanto de la competencia de desarrollo embrionario, favoreciendo este desarrollo de manera dosis dependiente (Zhang et al., 2020). Sin embargo, aún es necesario estudiar en mayor detalle la relación entre RvE1 y el desarrollo embrionario posterior. Para abordar esta relación se empleó el bovino como modelo de estudio, ya que la producción *in vitro* permite evaluar tanto el desarrollo embrionario temprano como la calidad de los embriones obtenidos, estimada mediante el número de blastómeras.

Objetivos: El objetivo del siguiente trabajo fue determinar el efecto de distintas concentraciones de RvE1 sobre el desarrollo y la calidad embrionaria posterior de COCs tratados durante la maduración *in vitro* (MIV) utilizando al bovino como modelo.

Materiales y métodos: Durante la MIV se realizaron 4 tratamientos: 3 concentraciones diferentes de RvE1 25, 50 o 75 pg/ml y un grupo control con 0,1% de etanol. Los COCs bovinos fueron obtenidos de ovarios de frigorífico y madurados por 24 h en medio de MIV la adición de su respectivo tratamiento. Posteriormente se realizó la fecundación *in vitro* en medio TALP y finalmente el cultivo embrionario en medio SOF durante 8 días bajo una atmósfera gaseada (5%CO2; 7%O2) a 39ºC y con humedad a saturación. Para evaluar el desarrollo embrionario se tomaron registros de las tasas de clivaje (día 2 de cultivo), de blastocistos al día 7 y día 8 de cultivo y blastocistos totales. Luego, para cuantificar el número de blastómeras, los embriones fueron incubados durante 10 minutos con tinción de HOECHST y se evaluó bajo filtro de fluorescencia. En el análisis estadístico se utilizaron modelos lineales o modelos generalizados mixtos, siendo el frigorífico el efecto aleatorio y el tratamiento el efecto fijo posteriormente se realizó un test post hoc de Tuckey. Se tomo un nivel de significancia de $P < 0.05$.

Resultados: Se maduraron un total de 572 ovocitos. La producción de blastocistos al día 7, al día 8 y de blastocistos totales no mostró diferencias significativas entre el control y las tres concentraciones de RvE1 evaluadas ($P \geq 0.305$ en todas las comparaciones). Sin embargo, el número de blastómeras por embrión fue significativamente mayor en las concentraciones de 50 pg/ml y de 75 pg/ml respecto al control ($P \leq 0,011$), mientras que la concentración de 25 pg/ml no mostró diferencias significativas respecto al control ni a las demás concentraciones de RvE1 ($P \geq 0,130$).

Conclusiones: Los resultados sugieren que la suplementación con RvE1 durante la MIV produce embriones tempranos de mejor calidad con respecto al grupo control sin afectar las tasas de desarrollo embrionario temprano.

Referencias: Zhang Y, Zhu Z, Li H, Zhu M, Peng X, Xin A, Qu R, He W, Fu J, Sun X. Resolvin E1 in follicular fluid acts as a potential biomarker and improves oocyte developmental competence by optimizing cumulus cells. Frontiers in endocrinology. 2020 Apr 16;11:210.

EFECTO MODULADOR DEL ÁCIDO 4-FENILBUTÍRICO SOBRE LOS MICROARNS IMPLICADOS EN LA DISFUNCIÓN Y PÉRDIDA DE MASA DE CÉLULAS B EN UN MODELO MURINO DE PREDIABETES

Farromeque Vásquez Sherley, Mencucci María Victoria, Román Carolina Lisi, Flores Luis Emilio, Maiztegui Bárbara
CENEXA (Centro de Endocrinología Experimental y Aplicada – UNLP CONICET CCT La Plata – CEAS CICPBA), Facultad de Ciencias Médicas, UNLP. Argentina.

e-mail de contacto: sfarromeque@med.unlp.edu.ar

Introducción: La administración de una dieta rica en fructosa (DRF) induce en ratas alteraciones endocrino-metabólicas similares a la prediabetes (PD) humana, potencialmente mediadas por el estrés del retículo endoplasmático (ERE) y la desregulación de microARNs (miARNs) específicos. El uso de chaperonas químicas, como el ácido 4-fenilbutírico (PBA) podría mejorar la homeostasis glucémica y la masa/función celular β mediante la modulación de estos miARNs.

Objetivos: Evaluar el efecto del PBA sobre la desregulación de miARNs específicos y su impacto sobre las alteraciones metabólicas y la disfunción celular β en la PD inducida por DRF.

Materiales y métodos: Ratas *Sprague-Dawley* normales se alimentaron durante 21 días con dieta estándar (C), fructosa al 10% en la bebida (F) o F + PBA (50 mg/kg, *i.p*. los últimos 5 días de tratamiento). Se realizó una prueba de tolerancia a la glucosa y se determinaron los niveles séricos de glucosa, triglicéridos (TG), col-total, col-HDL e índice de insulinorresistencia (IR:TG/col-HDL). Se aislaron los islotes pancreáticos para evaluar secreción de insulina estimulada por glucosa (SIEG), expresión de miARNs (mediante stem-loop-RT-qPCR) y de genes vinculados al ERE, inflamación, autofagia, señalización de insulina y apoptosis (por RT-qPCR). Las interacciones miARN-ARNm y sus vías asociadas se analizaron mediante multiMiR y DIANA-miRPathsv4.0.

Resultados: Las ratas con DRF presentaron tolerancia a la glucosa alterada (TGA), dislipemia (disminución del col-HDL, y aumento de TG y col-noHDL), un aumento de la SIEG y del índice IR ($p<0,05$). A nivel molecular, la DRF incrementó la expresión de genes asociados al ERE, autofagia, inflamación y apoptosis. Asimismo, incrementó la expresión del miR-29a-3p (78,2% *vs.* C, que se asoció a una menor expresión de IRS-1; $p<0,05$) y redujo la expresión del miR-375-3p y miR-204-5p y de mediadores de la vía de insulina ($p<0,05$). El análisis bioinformático identificó asociaciones de estos miARNs con genes y vías vinculadas a PI3K-Akt, ERE, FOXO y AGE-RAGE. La administración de PBA revirtió la TGA (área bajo la curva: C: 19.403 ± 473; F: 25.155 ± 939; PBA: 21.517 ± 1.084 mg/dl/120 min) y la dislipemia ($p<0,05$), reestableció la SIEG, y revirtió todas las alteraciones en la expresión génica. Además, el PBA atenuó la sobreexpresión de miR-29a-3p, lo cual se asoció con un incremento en la expresión de genes antiapoptóticos y antioxidantes.

Conclusiones: La DRF induce alteraciones en el perfil de expresión de miR-29a-3p, miR-375-3p y miR-204-5p asociadas con procesos involucrados en la disfunción y pérdida de masa β en la PD. El tratamiento con PBA modularía su expresión y los intermediarios de las vías asociadas, sugiriendo su potencial terapéutico para prevenir o retrasar la progresión de PD a diabetes tipo 2.

EFECTO REGENERATIVO DE UN EXTRACTO CON ALTO CONTENIDO EN CANNABIDIOL (CBD) EN UN MODELO DE LESIÓN CUTÁNEA EN UNA CEPA MURINA. RESULTADOS PRELIMINARES

Gacitúa Opazo RI (E); Iribarne A; Andrini LB; Moavro DE; Palma MB; García MN; Riccillo FL y Martínez KI.
Catedra de Citología, Histología y Embriología, Facultad de Ciencias Médicas, Universidad Nacional de La Plata

e-mail de contacto: friccillo@med.unlp.edu.ar

Introducción: El Cannabidiol (CBD) es un fitocannabinoide no psicoactivo con diversas propiedades descriptas a nivel dermatológico, asociado a los efectos biológicos, antiinflamatorios, inmunomoduladores, antioxidantes, antibacterianos, analgésicos, hidratantes y de antienvejecimiento. El tegumento (piel y anexos cutáneos) es una barrera física, química y biológica, cuya discontinuidad, por ejemplo, en el contexto de lesión, predispone a infecciones oportunistas y mantención de la inflamación crónica de bajo grado. En este sentido se ha propuesto estudiar al CBD como un posible agente terapéutico debido a las propiedades previamente descriptas, especialmente con relación a su concentración, vías y tiempos de administración.

Objetivos: Caracterizar el efecto regenerativo de un extracto con alto contenido en CBD (EAC-CBD), con un quimiotipo CBD/THC=5:1, en un modelo de lesión cutánea por segunda intención en la cepa murina C3H/S.

Materiales y métodos: Se utilizó una muestra de 24 ratones C3H/S (12♂ y 12 ♀) de 3 meses de edad, distribuidos en cuatro grupos de 6 animales cada uno (3♂ + 3♀), controles y tratados con formulaciones magistrales de uso tópico con 4,71 µg de ECA-CBD como principio activo (grupos tratados) y sin ECA-CBD (grupos control), con tiempos de administración de 24 o 48 hs. Los animales se manipularon y alojaron individualmente en habitáculos enriquecidos según las normativas presentes en las guías para el cuidado y uso de animales de laboratorio. Para el procedimiento quirúrgico se aplicó un cóctel de analgésico-anestésico compuesto por Diazepam (0.04 u) y ketamina (0.02 u). Alcanzado el plano de anestesia profunda se realizó una incisión quirúrgica dorsal estandarizada mediante un punch de 0,5 cm de diámetro. Transcurridos los siete primeros días, los animales fueron sometidos a una segunda lesión. Posteriormente se aplicaron las formulaciones magistrales a cada grupo. Durante el transcurso del experimento se registró fotográficamente cada 24 hs el avance del cierre de la lesión. Las imágenes se procesaron mediante el software ImageJ, midiendo las circunferencias y diámetros de los bordes cicatrizales. El cálculo empleado para el porcentaje de cierre fue: % cierre $=((A_0-A_t)/A_0) \times 100$. Luego del cierre completo de la lesión, se eutanasiaron 3 de los 6 animales de cada grupo, de los que se tomaron muestras de piel y se analizaron mediante técnica histológica de rutina con tinción de hematoxilina y eosina. Se estableció el grado de significancia estadística mediante el programa GraphPad Prism 8, empleando test de ANOVA, con post-test de Tukey.

Resultados: A partir del análisis del registro fotográfico se observó que, en los grupos tratados, para ambos tiempos de administración, el tiempo de cicatrización disminuyó aproximadamente en un 40% respecto a sus correspondientes grupos controles ($n=3$; $p<0,05$), exhibiendo un punto de inflexión en la cinética de cicatrización hacia el cuarto día post-lesión. Respecto a la recuperación pilosa, se observaron resultados similares. Los grupos tratados presentaron una disminución en un 30% en la aparición de la pilosidad respecto a sus respectivos grupos control.

Conclusiones: El uso tópico de una formulación magistral con ECA-CBD (CBD/THC=5:1) en nuestro modelo de lesión cutánea, mostró resultados alentadores, evidenciando una reducción del tiempo de regeneración de la lesión en los animales tratados respecto a los controles de la cepa murina C3H/S. La ausencia de alteraciones o diferencias histológicas entre los grupos observados al momento del cierre sugiere que los cannabinoides no comprometerían la restauración normal de los tejidos. Estos hallazgos preliminares deberán ser confirmados ampliando el número de muestras e incorporando nuevas ventanas de muestreo para el seguimiento de la lesión.

EFECTOS DE LA SOBREEXPRESIÓN DE NHE1 MITOCONDRIAL EN EL CORAZÓN.

Rayen De Fazio[1], Paula Blanco[2], Alejandro Orlowski[1], Ernesto A. Aiello[1], Carolina Jaquenod De Giusti[1].
[1] Centro de Investigaciones Cardiovasculares, Facultad de Cs Médicas, UNLP- CONICET;
[2] Centro de Fisiología Reproductiva y Métodos Complementarios de Diagnóstico, Facultad de Cs Veterinarias -UNLP

e-mail de contacto: rdefazio@med.unlp.edu.ar

Introducción: El intercambiador Na^+/H^+ 1 (NHE1) constituye el principal mecanismo alcalinizante del corazón y ha sido relacionado con diversas condiciones cardíacas patológicas. Nuestro grupo ha demostrado que, a pesar de una reducción en los niveles totales de proteína, el intercambiador NHE1 presenta una mayor expresión en las mitocondrias cardíacas de ratones *ob/ob*, lo que podría contribuir al desarrollo de disfunción mitocondrial observado en este modelo. Además, estudios realizados en un modelo *in vitro* confirmaron el papel crítico de NHE1 en este proceso.

Objetivo: El objetivo de este estudio fue investigar los efectos específicos de la sobreexpresión mitocondrial de NHE1 en cardiomiocitos de ratones *wild-type* (C57BL/6).

Materiales y métodos: Ratones neonatales C57BL/6 machos recibieron una inyección intracardíaca de virus adenoasociados (AAV9) portadores de un vector de sobreexpresión de NHE1 mitocondrial dirigido a cardiomiocitos. Los animales control recibieron únicamente la inyección del vehículo. A los 3 meses de la inyección, se evaluaron la función cardíaca mediante ecocardiografía y la presión arterial. Asimismo, se aislaron mitocondrias ventriculares para evaluar el manejo del calcio y el potencial de membrana mitocondrial. ~~A los 3 meses de la inyección, se evaluó el manejo de calcio y el potencial de membrana mitocondrial en mitocondrias aisladas de ventrículo, junto con la función cardíaca por ecocardiografía) y la presión arterial.~~ El análisis estadístico fue realizado mediante la prueba *t de Student* o prueba t anidada (*nested t-test*), considerándose significativo un valor de $p<0,05$.

Resultados: A pesar de no observarse cambios en el peso corporal, la sobreexpresión de NHE1 mitocondrial específica de corazón fue suficiente para inducir un remodelado cardíaco. El aumento del índice de masa ventricular izquierda se correlacionó directamente con los niveles de expresión de NHE1, según el coeficiente de correlación de Pearson, sugiriendo que la expresión mitocondrial de NHE1 es capaz de inducir hipertrofia cardíaca. Este remodelado estuvo acompañado de dilatación ventricular, evidenciado por un aumento de los diámetros telediastólico y telesistólico, sin un aumento compensatorio del grosor de la pared. A su vez, se observó un deterioro de la función sistólica reflejado por una reducción de la fracción de eyección y de la fracción de acortamiento. La presión arterial mostró un aumento transitorio a las 10 semanas, que no se mantuvo a las 13 semanas, lo que indica que las alteraciones hemodinámicas observadas fueron transitorias y precedieron temporalmente a las alteraciones cardíacas evaluadas posteriormente. A nivel mitocondrial, la sobreexpresión de NHE1 promovió una hiperpolarización de la membrana y redujo el contenido de calcio de la matriz, lo que apunta a un desequilibrio bioenergético temprano que podría subyacer a la posterior disfunción contráctil. ~~(cambiaría el orden para coincidir con los métodos y las conclusiones)~~

Conclusiones: En conclusión, la sobreexpresión de NHE1 mitocondrial a nivel cardíaco se asocia con un remodelado cardíaco excéntrico acompañado de un deterioro de la función sistólica, así como con alteraciones en el potencial de membrana y el manejo del calcio mitocondrial. Estos hallazgos sugieren que el aumento de NHE1 mitocondrial podría contribuir al desarrollo de disfunción cardíaca y remodelado patológico.

~~En conclusión, la sobreexpresión de NHE1 mitocondrial cardíaco induce alteraciones en el potencial de membrana y el manejo del calcio mitocondrial, y se asocia con un remodelado cardíaco excéntrico y un~~

EL INTERCAMBIADOR NA+/H+ (NHE1) UNA IMPORTANTE DIANA PARA DOS NUEVOS METALOFÁRMACOS DE COBRE(II) CON DIPÉPTIDOS EN CÁNCER DE MAMA TRIPLE NEGATIVO.

Katherine Seneth Muñoz Garzón, Natalia Álvarez, Gianella Facchin, Valeria Martínez ,Verónica de Giusti, Ana Laura Di Virgilio.
CEQUINOR-CIC

e-mail de contacto: kseneth22@gmail.com

Introducción: En 2024, el cáncer de mama se ha convertido en el cáncer más diagnosticado en Argentina, caracterizado por presentar tres perfiles moleculares: el primero, tumores hormonodependientes quienes presentan receptores de estrógeno y/o progesterona (ER/PR) positivos, el segundo, tumores que presentan ER/PR negativo y receptor del factor de crecimiento epidérmico humano 2 (HER2) positivo y el tercero, quienes carecen de los tres receptores y se denominan como cáncer de mama triple negativo (TNBC). Este último, con el perfil de peor pronóstico por ser uno de los cánceres más agresivos, afecta principalmente a mujeres jóvenes menores de 50 años y presenta una hiperactivación del intercambiador Na^+/H^+ (NHE1), uno de los principales reguladores del pH ácido del microambiente tumoral, condición que favorece procesos asociados a la diseminación metastásica. Por este motivo, la inhibición de NHE1 se plantea como una estrategia prometedora para limitar la progresión maligna de este subtipo tumoral. Se han estudiado diversos complejos de cobre(II) con fenantrolina en modelos tanto *in vitro* como *in vivo,* demostrándose que su actividad anticancerígena se ejerce mediante la acumulación de especies reactivas de oxígeno (EROs), lo que provoca disfunción mitocondrial, daño en el ADN e inducción de apoptosis. Uno de los desafíos actuales en la investigación oncológica es el desarrollo de nuevos fármacos metálicos que presenten una mayor eficacia y, al mismo tiempo, minimicen los efectos adversos y la toxicidad.

Objetivos:-Investigar el mecanismo de acción de dos complejos de Cu(II) conteniendo, ambos, como ligando principal un derivado de 1,10 fenantrolina [$CuCl_2$(neo)] (**2**) y, uno de ellos, un dipéptido [Cu(Ala-Phe)(neo)]·$4H_2O$ (**5**) en células de cáncer de mama humano MDA-MB-231.
- Evaluar el efecto de los dos complejos de cobre(II) sobre el intercambiador Na^+/H^+ (NHE1), en células de cáncer de mama triple negativo (MDA-MB-231) en modelos 2D.
-Comparar si el efecto del dipéptido cambia el mecanismo de acción sobre el cultivo 2D en células de cáncer de mama MDA-MB-231.

Materiales y métodos: Se evaluó *in vitro* en la línea celular de cáncer de mama MDA-MB-231 durante 24h la viabilidad celular, inducción de especies reactivas del oxígeno (EROs), daño genotóxico (ensayo cometa), inhibición del intercambiador Na^+/H^+ (NHE-1), inhibición de la migración celular (ensayo de herida) y la actividad de las metaloproteinasas MMP-9 y MMP-2. Se empleó ANOVA de dos vías empleando el método de tukey $p<0.05$ como análisis estadístico.

Resultados: Ambos complejos presentaron valores de IC_{50} inferiores a 2 µM, inhibieron la actividad del intercambiador Na^+/H^+ NHE1 y la expresión de MMP-9, además de afectar la migración celular, procesos todos ellos implicados en la metástasis. Asimismo, ambos compuestos indujeron la producción de especies reactivas del oxígeno (EROs) y aumentaron los niveles intracelulares de cobre. Por otra parte, el complejo ternario de cobre(II) redujo la migración celular y provocó apoptosis tardía. Estos resultados prometedores sugieren que el complejo ternario de cobre(II) constituye una alternativa terapéutica para el tratamiento del cáncer de mama.

Conclusiones: Concluimos que la adición del dipéptido Ala-Phe potencia la acción antitumoral de los complejos de cobre(II) y del derivado de fenantrolina (neocuproína) al aumentar los niveles de cobre intracelular, genera especies reactivas de oxígeno e inhibe la expresión y actividad de NHE1,un importante regulador del pH. Este mecanismo podría ser responsable de la inhibición observada y afectar posiblemente la migración y la invasión en este tipo celular, procesos clave en la metástasis. Además, el complejo **5** indujo apoptosis temprana y tardía, así como necrosis, siendo mas citotóxico para este tipo de línea celular.

EL METABOLISMO ANAERÓBICO EXPLICA EL AUMENTO DEL POTASIO PLASMÁTICO EN EL SHOCK HEMORRÁGICO

Juan Francisco Caminos Eguillor, Gonzalo Ferrara, Héctor Saúl Canales, Facundo Gutierrez, Luis Gatti, Bernardo Lattanzio, Rossi Gabriela, Gonzalo Pontiggia, María Cristina du Plessis, Mario Omar Pozo, Arnaldo Dubin.

Laboratorio de Investigación Traslacional "Transporte de Oxígeno y Oxigenación Tisular", Hospital Interzonal General de Agudos "Gral. San Martín" de La Plata y Facultad de Ciencias Médicas, Universidad Nacional de La Plata.

e-mail de contacto: arnaldodubin@med.unlp.edu.ar

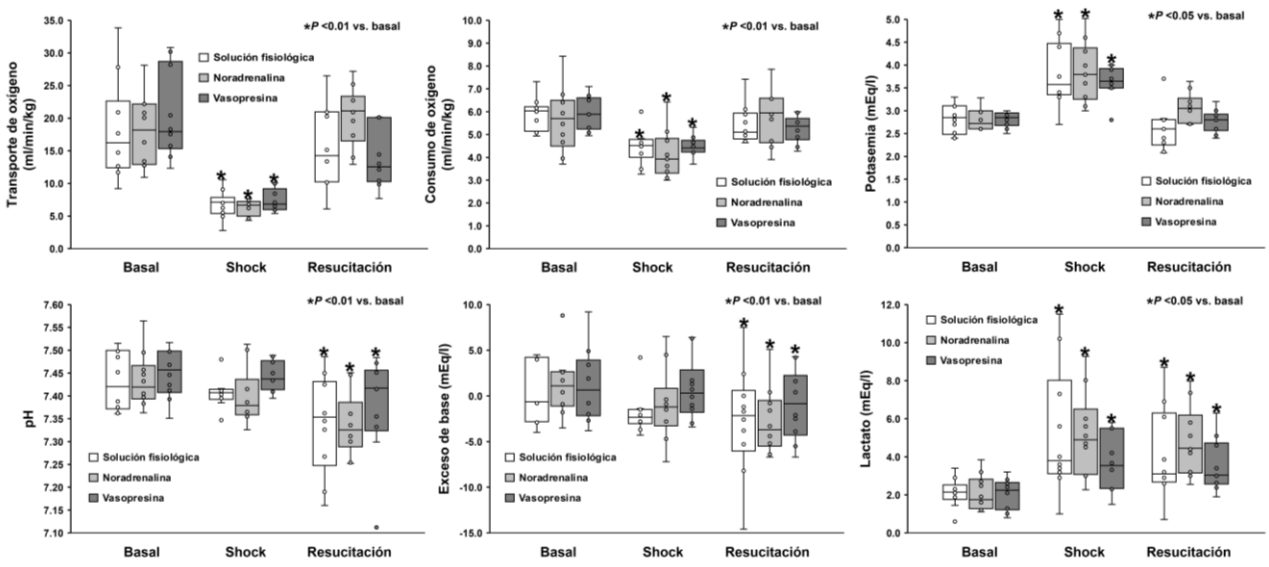
Introducción: La actividad de la Na^+/K^+ ATPasa involucra la mayor parte del consumo corporal de ATP y es esencial para regular la concentración plasmática de potasio ($[K^+]$). Aunque el shock se caracteriza por el fallo energético global, la elevación del $[K^+]$ no es un hallazgo habitualmente descripto. Además, se lo relaciona con el intercambio con protones, como mecanismo de compensación de la acidosis.

Objetivos: demostrar que, en el shock hemorrágico experimental, el $[K^+]$ aumenta como resultado del metabolismo anaeróbico y no de la acidosis metabólica.

Materiales y métodos: En treinta ovejas (18 [16-20] kg de peso), anestesiadas y ventiladas mecánicamente, se indujo sangrado (22 [20-27] ml/kg) hasta una presión arterial media de alrededor de 30 mm Hg y una reducción del consumo de oxígeno sistémico cercana al 25%. Luego de 60 minutos de shock, se reinfundió el 50% de la sangre y los animales fueron aleatoriamente asignados a tres modalidades de resucitación para alcanzar valores de presión arterial ≥90/60 mm Hg: 1) Solución fisiológica (n=10). 2) Noradrenalina (n=10). 3) Vasopresina (n=10). En los últimos dos grupos se minimizó la administración de solución fisiológica. Se realizaron mediciones basales y después de 60 minutos de shock y resucitación.

Resultados: En el shock, se produjeron caídas significativas del consumo y el transporte de oxígeno que revirtieron con la resucitación. En los tres grupos, el $[K^+]$ se incrementó 0,9 [0,6-1,10] mEq/l en el shock y descendió 0,8 [0,6-1,2] mEq/l con la resucitación. El shock indujo hiperlactacidemia que persistió el resto del experimento. Las reducciones del pH y del exceso de base sólo fueron significativas luego de la resucitación. El comportamiento de todas estas variables fue similar en los tres grupos

Conclusiones: El shock hemorrágico se asocia a aumentos significativos del [K+] que revierten luego de la resucitación. Estos cambios se relacionan con los cambios en la oxigenación tisular y son independientes del estado ácido-base y el lactato. Estos hallazgos sugieren que la depleción energética y la disfunción de la Na+/K+ ATPasa son los mecanismos responsables.



EL SITIO SER^{2367} DE RYR2 MODULA LA RESPUESTA DEL CA^{2+} VENTRICULAR AL AUMENTO DE LA FRECUENCIA CARDÍACA

Jaquenod De Giusti, C.[1]; Gonano, L.[1]; Sacoto Molina, A [2], Labanda, M.[2] Aguilar-Sanchez J. [3]; Ramos-Franco J. [4]; Wehrens, X. [5]; Valverde, C.A.[1], Mattiazzi, A.[1].

1. Centro de Investigaciones Cardiovasculares "Dr. Horacio E. Cingolani", Facultad de Ciencias Médicas, UNLP, Argentina; 2. Facultad de Medicina y Ciencias de la Salud, Universidad Abierta Interamericana, Argentina; 3. Department of Veterinary Physiology and Pharmacology, College of Veterinary Medicine & Biomedical Sciences, Texas A&M University, College Station, TX, USA. 4. Department of Physiology and Biophysics, Rush University Medical Center, Chicago, IL, USA. 5. Cardiovascular Research Institute, Baylor College of Medicine, TX, USA.

e-mail de contacto: cjaquenod@med.unlp.edu.ar

Introducción: El receptor de rianodina tipo 2 (RyR2) es el principal canal responsable de la liberación de calcio (Ca^{2+}) del retículo sarcoplasmático (RS) durante el acoplamiento excitocontráctil cardíaco y su actividad se encuentra regulada por diversas modificaciones postraduccionales, entre ellas la fosforilación. Mientras que la fosforilación de sitios como Ser^{2814} o Ser^{2808} aumenta la probabilidad de apertura (Po) de los RyR2 y puede favorecer la pérdida diastólica de Ca^{2+}, la fosforilación de Ser^{2367} tendría un efecto inhibitorio sobre el canal y se ha asociado con una menor susceptibilidad a fibrilación auricular. Sin embargo, se desconoce el papel de este sitio en el manejo del Ca^{2+} intracelular en los cardiomiocitos ventricularesy, particularmente, en el desarrollo de alternancias de Ca^{2+} y arritmias ventriculares.

Objetivos: Evaluar el efecto de la regulación de RyR2 mediada por Ser^{2367} sobre el manejo de Ca^{2+} y la susceptibilidad al desarrollo de alternancias de Ca^{2+} ventriculares.

Materiales y métodos: Se utilizaron ratones de entre 12 y 14 semanas con pseudofosforilación constitutiva de Ser^{2367} (S2367D), ratones resistentes a la fosforilación de este residuo (S2367A) y ratones C57BL/6 WT como controles. La expresión de proteínas involucradas en el manejo de Ca^{2+} se evaluó mediante qPCR y Western blot en muestras de ventrículo izquierdo. La Po de los RyR2 se determinó mediante registros de corriente de canal único en bicapas lipídicas. En miocitos ventriculares aislados se estudiaron los transitorios de Ca^{2+}, su velocidad de relajación, el contenido de Ca^{2+} del RS y la restitución de la liberación de Ca^{2+} utilizando Cal-520 AM. La susceptibilidad al desarrollo de alternancias se evaluó mediante estimulación a frecuencias crecientes de 1, 3, 5 y 8 Hz durante 30 s a cada frecuencia.

Resultados: No se observaron cambios en el manejo basal de Ca^{2+} en los ratones S2367D y Ser2367A con respecto a los WT, sin diferencias significativas en la amplitud, en la velocidad de relajación de los transitorios de Ca^{2+}, en el contenido de Ca^{2+} del RS o en la restitución de la liberación de Ca^{2+}. Tampoco se observaron diferencias en la expresión de RyR2, el canal de Ca^{2+} tipo L, PLN, SERCA2a o SPEG en ventrículo izquierdo de ratones S2367D y S2367A respecto de los controles WT. Sin embargo, los miocitos S2367D presentaron una disminución significativa del índice de alternancias de Ca^{2+} respecto de los ratones S2367A y WT. Este hallazgo se asoció a una menor Po de los RyR2 en los ratones S2367AD con respecto a los S2367A.

Conclusiones: La pseudofosforilación constitutiva de Ser^{2367} disminuyó la Po de los RyR2 y la susceptibilidad al desarrollo de alternancias de Ca^{2+} con respecto a su estado no fosforilado. En conjunto, estos resultados sugieren que la regulación de RyR2 mediada por Ser^{2367} adquiere particular relevancia en condiciones de mayor demanda, contribuyendo a estabilizar la liberación de Ca^{2+} del RS.

EXPRESIÓN DE LA PROTEÍNA HOMÓLOGA DE HLA-G, QA-2, EN EL HÍGADO DE RATONES BAJO CONDICIONES FISIOLÓGICAS NORMALES.

A Fernández Blanco[1], EB Alegría Perez[1], FJ Corrons[1], K Martínez[1], B Maiztegui[2], SC Farromeque Vásquez[2], ED Carosella[3], MN García[1]

[1]Cátedra de Citología. Histología y Embriología, Facultad de Ciencias Médicas, Universidad Nacional de La Plata, Buenos Aires, Argentina. [2]CENEXA, Centro de Endocrinología Experimental y Aplicada (UNLP-CONICET LA PLATA; Centro Asociado CICPBA), Facultad de Ciencias Médicas, Universidad Nacional de La Plata, Buenos Aires, Argentina. [3]CEA, SRHI, Université Paris Diderot, IUH, Hôpital Saint-Louis, Paris, France.

e-mail de contacto: ayelenfblanco@med.unlp.edu.ar

La molécula HLA-G pertenece a la familia de MHC no clásicos. Presenta un efecto inmunosupresor al interactuar con los receptores inhibitorios de las células inmunitarias. Su expresión proteica en individuos adultos se encuentra restringida a unos pocos tejidos sanos bajo condiciones fisiológicas normales; sin embargo, puede ser expresada en determinados contextos patológicos (1, 2). Se ha propuesto a Qa-2 como el homólogo murino del HLA-G con base en la similitud en la estructura génica, conformación proteica y a la función. La expresión génica de Qa-2 es ubicua en todas las cepas de ratones, aunque sus niveles pueden variar según la edad y la cepa. Durante el desarrollo embrionario se han encontrado transcritos de Qa-2 en el hígado. Por otro lado, en hepatocitos humanos cultivados, se ha observado una expresión proteica de HLA-G a nivel citoplasmático.

De acuerdo con lo antes mencionado, este estudio tiene como objetivo investigar la expresión proteica del homólogo de la molécula HLA-G en el hígado sano de ratones inmunocompetentes C3H/S de distinta edad y sexo.

Los animales se dividieron y sacrificaron en cuatro grupos de tres animales cada uno: adultos macho y hembra de 2 meses de edad y jóvenes macho y hembra de 22 días. Se realizaron las necropsias de los animales (n=12) y se removieron los lóbulos hepáticos para el análisis inmunohistoquímico con el anticuerpo Anti-HLA-G (dilución 1:300, Sta. Cruz Biotech.). Además, se analizaron mediante Western blot (WB) cuatro lóbulos pertenecientes uno a cada grupo animal (Anti-HLA-G, dilución 1:300; Anti-β-Actina, dilución 1:10000, Sta. Cruz Biotech.).

Los resultados mostraron expresión proteica del homólogo de HLA-G, Qa-2, con una marcación de tipo citoplasmática y de membrana de los hepatocitos, al igual que la presencia de la proteína en el hígado mediante WB, tanto de ratones adultos y jóvenes, como de machos y hembras. La tolerancia inmunológica es un aspecto clave en el hígado, para mantener la homeostasis en condiciones normales, así como en respuesta a lesiones o cáncer (3). De acuerdo con estos resultados preliminares, sugerimos que el parénquima hepático sano podría expresar la proteína Qa-2 como un mecanismo tolerogénico frente a la presencia de diversas moléculas provenientes de la circulación portal.

En conclusión, la proteína homóloga de HLA-G se expresa en los ratones sanos, independientemente de la edad o sexo. El hígado de ratones C3H/S podría resultar ser un modelo útil para el estudio del HLA-G humano bajo condiciones patológicas.

References

[1]Carosella ED et al. HLA-G: from biology to clinical benefits. Trends Immunol. 2008 Mar;29(3):125-32.

[2]Tronik-Le Roux D et al. The HLA-G immune checkpoint: a new immuno-stimulatory role for the α1-domain-deleted isoform. Cell Mol Life Sci. 2022 May 21;79(6):310.

[3]Amiot L et al. Biology of the immunomodulatory molecule HLA-G in human liver diseases. J Hepatol. 2015 Jun;62(6):1430-7.

EXPRESIÓN RECOMBINANTE Y CARACTERIZACIÓN DE FABP5 HUMANA PARA SU EVALUACIÓN COMO BLANCO TERAPÉUTICO ANTITUMORAL

Andrea Paredes Bellon; Natalia Scaglia; Gisela Franchini
Instituto de Investigaciones Bioquímicas de La Plata "Prof. Doctor Rodolfo R. Brenner" (INIBIOLP, UNLP/CONICET) Facultad de Ciencias médicas

e-mail de contacto: andreapb407@gmail.com, gfranchini@med.unlp.edu.ar

Introducción: El cáncer de pulmón, y en particular el adenocarcinoma pulmonar (LUAD), es la principal causa de muerte por cáncer a nivel mundial y nacional. La falta de eficacia de las terapias dirigidas actuales denota la necesidad urgente de identificar nuevos blancos terapéuticos. Las proteínas de unión a ácidos grasos (FABPs) participan activamente en el metabolismo lipídico y se encuentran alteradas en diversos tumores. En LUAD, la alta expresión de FABP5 se asocia a un peor pronóstico, y su inhibición afecta la proliferación, adhesión celular y el crecimiento tumoral. Por lo tanto, FABP5 humana constituye un potencial blanco molecular para el desarrollo de nuevas estrategias antitumorales.

Objetivos: Expresar FABP5 humana en un sistema heterólogo procariota para la obtención, purificación y caracterización biológica de la proteína recombinante, permitiendo su evaluación *in vitro* como blanco para la identificación de potenciales compuestos antitumorales.

Materiales y métodos: La secuencia codificante del cDNA de FABP5 humana se subclonó desde el plásmido pDNR-LIB-hFABP5 al vector pET28a(+) y se transformó en *Escherichia coli*. Se realizo la expresión y purificación de FABP5-His Tag mediante cromatografía de afinidad por níquel. A continuación, se realizó la deslipidización en columna de interacción hidrofóbica (Lipidex-1000). Este paso se constató mediante cromatografía en capa fina (TLC). La pureza de la proteína se evaluó por SDS-PAGE. Para el análisis de plegamiento y funcionalidad, se empleó fluorescencia intrínseca.

Resultados: Se logró la puesta a punto del protocolo de expresión heteróloga y purificación de FABP5 humana recombinante con un elevado grado de pureza. Mediante extracción lipídica y TLC se constató una reducción del contenido de lípidos endógenos. Actualmente, se están llevando a cabo los ensayos de espectrofluorometría para evaluar la conformación nativa y la funcionalidad de la proteína obtenida.

Conclusiones: La obtención exitosa de FABP5 humana recombinante pura constituye el paso fundamental para su caracterización biofísica y la posterior realización de ensayos *in vitro* de competencia con inhibidores, lo que facilitará la identificación de nuevos compuestos con potencial aplicación terapéutica en cáncer de pulmón.

HABILIDAD MICROQUIRÚRGICA: EVALUACIÓN OBJETIVA Y MEJORA CONTINUA MEDIANTE INGENIERÍA DE PROCEDIMIENTOS CON SOPORTE EN CIENCIA DE DATOS.

Villanueva, Pablo J. Stringa, Pablo. Lausada, Natalia R.
Laboratorio de Microcirugía, Universidad Nacional de La Plata — Universidad de Buenos Aires.

e-mail de contacto: pvillanuevach@gmail.com

Introducción: La microcirugía exige una destreza manual de precisión submilimétrica cuya evaluación permanece subjetiva, dependiente del instructor experto y difícil de reproducir o comparar entre programas. Esta limitación, junto al alto costo formativo y la escasez de instructores, sostiene un acceso desigual a la enseñanza de calidad.
Objetivos: Articular métodos de ingeniería de procedimientos y herramientas de ciencia de datos para objetivar evaluación de habilidad microquirúrgica y mejorar su curva de aprendizaje, mediante una infraestructura formativa efectiva, accesible, reproducible y escalable.

Materiales y métodos: Se estudia una cohorte de residentes sin experiencia previa ($N \approx 50$) con un curso estructurado de 20 horas basado en Kaizen-PDCA y ciencia de micromovimientos, sobre simuladores de bajo costo, libres de animales vivos («3R»), con diseño de medidas estratégicas (cada operador es su propio control). El eje del método es un motor de inteligencia de datos: app-MiSAT captura en vivo las variables significativas, las estructura en una base compatible con SQL y las integra en un tablero de control, sobre el cual se computan indicadores objetivos de tiempo, error y calidad de movimiento. Este modelo es compatible con codificación por Therbligs y cadenas de Markov.

Resultados: Los indicadores —publicados y revisados por pares— evidencian una mejora medible y significativa, obtenidas a través de valoración del tiempo de ejecución (cantidad de movimiento); errores significativos (calidad de movimiento) y valoración del producto final (resultado de movimiento). Significación estadística a través de índices $p < 0.05$ y validación con teoría de Poisson en la meseta.

Conclusiones: La articulación de ingeniería de procesos y un motor de inteligencia de datos permite objetivar y mejorar de forma continua la habilidad microquirúrgica, con evaluación reproducible y potencial de supervisión a distancia que favorece la accesibilidad. Esta infraestructura de datos y nueva codificación con lenguaje nativo microquirúrgico habilita como dirección futura a la incorporación de módulos de inteligencia artificial (visión por computadora, aprendizaje automático e interacción con modelos de lenguaje) para mejorar la performance y su versatilidad como herramientas de educación y entrenamiento.

INNOVACIÓN EN EL AULA: MODELO TRIDIMENSIONAL HIPERREALISTA COMO RECURSO DIDÁCTICO PARA EL ESTUDIO DEL CORAZÓN.

Palacios S; Domecq R; Navickas V; Arrieta A; Sánchez Calot M; Núñez F.
Catedra de Anatomia A Facultad de Ciencias Médicas UNLP.

e-mail de contacto: abigailpalacios@gmail.com

Introducción: En las etapas iniciales de la formación médica, los estudiantes suelen enfrentarse a importantes barreras cognitivas para asimilar la morfología interna y la orientación espacial de los órganos. En el estudio del corazón, este desafío pedagógico se intensifica al utilizar preparados cadavéricos tradicionales, ya que el proceso de fijación altera su forma y volumen originales, dificultando que el alumno construya una representación mental clara y precisa de la anatomía real.

Objetivos: Diseñar e implementar una estrategia de enseñanza basada en el uso de recursos tridimensionales tangibles, con el fin de facilitar la comprensión conceptual y el desarrollo de habilidades espaciales en el estudiante, sirviendo como un andamiaje formativo previo y complementario al estudio del material cadavérico.

Materiales y métodos: La propuesta metodológica se centró en la creación de un modelo didáctico tridimensional a escala 1:1 de la anatomía cardíaca y los grandes vasos, fabricado mediante impresión 3D y acabado artesanal hiperrealista.

La intervención pedagógica en el aula consistió en desplazar la clase expositiva tradicional hacia una dinámica participativa. Se fomentó el aprendizaje activo mediante la manipulación directa del objeto didáctico, promoviendo que los estudiantes describieran e interactuaran colectivamente con las estructuras para consolidar el conocimiento a través de la experiencia sensorial y el diálogo.

Resultados: La incorporación del modelo 3D transformó la dinámica del aula, estimulando el interés y la participación activa de los alumnos en su propio proceso de aprendizaje. El uso de este recurso didáctico no solo facilitó la transición hacia el estudio del material cadavérico en los estudiantes de grado, sino que demostró ser una herramienta versátil y escalable, con un alto potencial para ser integrada en trayectos educativos avanzados y programas de educación médica de posgrado.

Conclusiones: Frente a las transformaciones socioculturales de la era digital, la educación médica debe diversificar sus herramientas para responder a las nuevas formas en que los estudiantes procesan la información. Este modelo 3D no compite con la práctica anatómica tradicional, sino que se consolida como un puente pedagógico esencial: optimiza los procesos de aprendizaje del estudiante, estimula su razonamiento espacial y enriquece significativamente la experiencia formativa en el laboratorio de anatomía.

INVESTIGAR LA FORMACIÓN UNIVERSITARIA Y EL EJERCICIO PROFESIONAL EN SALUD: HALLAZGOS SOBRE LAS TRAYECTORIAS DE GRADUADXS EN TRABAJO SOCIAL

Silvana Cerasa, Carina Scharagrodsky, Susan López, Chiara Soto, Nubia Malianni Serante, Bruno Scavuzzo.
IETSyS (FTS/UNLP)

e-mail de contacto: scerasa@med.unlp.edu.ar

Introducción: Este trabajo forma parte del proyecto de investigación ET001 (FTS/ UNLP). Analiza las relaciones entre la formación universitaria de grado en salud y el hacer profesional de graduadxs recientes de Trabajo Social que se desempeñan en establecimientos de salud de la Región Sanitaria XI. Se inscribe en el marco de las teorías críticas de la educación y el pensamiento crítico latinoamericano en salud. El proyecto busca comprender cómo las conceptualizaciones sobre salud y sobre el Proceso Salud-Enfermedad-Atención-Cuidado, construidas durante la carrera de grado, intervienen en las prácticas profesionales de lxs trabajadores sociales en el campo de la salud.

Bajo el mismo marco teórico que promueve la salud como objeto de conocimiento complejo, se concibe la formación profesional como un proceso social atravesado por el poder, las clases sociales y las desigualdades. Sostenemos que la conceptualización y formas de aprehender y comprender la complejidad del campo de la salud constituye un tema relevante en el hacer profesional de la disciplina. Como sostiene Soto (2007) "*en la formación profesional es importante incidir en aspectos relevantes de la salud pública para que los profesionales amplíen su visión sobre el campo de la salud"* (Soto y col., 2007.p151).

Objetivos: Presentar resultados parciales del proyecto de investigación ET001-24 (2024–2027): "Relaciones entre conceptualización sobre 'Salud' y el 'hacer profesional' de graduadxs recientes en Trabajo Social", acreditado y financiado por la UNLP. Estudio de casos de profesionales insertxs laboralmente en establecimientos de salud de la Región Sanitaria XI, provincia de Buenos Aires (2024–2026). Dirigido por la Esp. Susan López y Codirigido por la Dra. Carina Scharagrodsky.

Materiales y métodos: La investigación se realizó con metodología cualitativa utilizando la entrevista semiestructurada en profundidad como técnica de recolección de información. En base a una muestra intencional de graduadsxs recientes (entre 3 y 5 años) de TS, sin distinción de sexo, edad ni institución de egreso, que trabajan en establecimientos de salud en La Plata, Berisso, Ensenada y Magdalena de la provincia de Buenos Aires, Argentina, se realizaron 12 (doce) entrevistas entre junio y noviembre de 2025. Se relevó información sobre: formación, experiencias y opiniones sobre el hacer profesional del TS en el campo de la salud.

El análisis de las entrevistas se realizó en base a la Teoría Fundamentada en los Datos. Se utilizó el software ATLAS ti. La información obtenida se agrupó en 4 (cuatro) dimensiones: 1.-Trayectorias e intereses por la salud, 2.- Concepciones de salud y salud colectiva, 3.- Prácticas profesionales y sistema de salud, 4.- Autores y referencias teóricas. Para procesar la información al interior de cada una de las dimensiones definidas se construyeron 12 códigos que permiten reunir y comparar por similitud o diferencias las diferentes entrevistas.

Resultados: Del análisis de 9 (nueve) entrevistas administradas se obtienen los siguientes resultados preliminares:

Se identifican trayectorias formativas heterogéneas que combinan materias de grado, prácticas preprofesionales, proyectos de extensión y experiencias militantes, con acercamientos graduales al campo de la salud.

Se señalan vacancias formativas ligadas a la falta de herramientas concretas para intervenir en situaciones complejas, como violencia de género, articulación interinstitucional, diseño de políticas públicas, gestión de recursos y uso de dispositivos diversos. No obstante, quienes transitaron por la asignatura obligatoria "Salud Colectiva" o cátedras y seminarios afines, rescatan los aprendizajes construidos y la resignificación de sus categorías centrales al enfrentarse como profesionales a las problemáticas actuales.

Conclusiones: Se destaca la importancia de revisión permanente de planes de estudio y propuestas de formación en grado, fortaleciendo contenidos críticos en salud y espacios de práctica que articulen de manera integrada e integral con las distintas carreras y/o unidades académicas vinculadas con la salud, los servicios de salud, las poblaciones y los territorios.

LA DISMINUCIÓN DE BIN1 COMO MARCADOR TEMPRANO DEL REMODELADO DE LOS TÚBULOS T EN CORAZONES HIPERTRÓFICOS DE RATAS ESPONTÁNEAMENTE HIPERTENSAS

Rodríguez Margarita Azul, Mundiña-Weilenmann Cecilia, Said Matilde
Centro de Investigaciones Cardiovasculares, CCT-La Plata, CONICET, Facultad de Ciencias Médicas, UNLP

e-mail de contacto: marodriguez@med.unlp.edu.ar

Introducción: Previamente demostramos que los corazones hipertróficos de ratas espontáneamente hipertensas (SHR) presentan una mayor susceptibilidad a las alternancias de calcio (Ca), caracterizadas por oscilaciones latido a latido en la duración del potencial de acción, la amplitud del transitorio de Ca y la contracción, que pueden preceder a arritmias ventriculares graves. La aparición temprana de alternancias de Ca en las SHR se asoció con un remodelamiento de los túbulos T (TT). Los TT son invaginaciones de la membrana que permiten un eficiente acoplamiento excito-contráctil. Diversas proteínas de andamiaje de membrana, entre ellas caveolina-3 (Cav3), junctofilina-2 (JPH2) y BIN1, participan en el mantenimiento de la arquitectura de los TT.

Objetivos: En este estudio investigamos si la expresión de estas proteínas se modifica en los corazones de SHR y si el tratamiento crónico con el vasodilatador sildenafil (SIL), que previno el remodelamiento de los TT y la aparición temprana de alternancias de Ca, modifica estos cambios.

Materiales y métodos: Ratas macho de 3 meses fueron distribuidas en tres grupos: normotensas Wistar (W) usadas como control, SHR sin tratamiento y SHR tratadas con SIL en el agua de bebida durante 3 meses (SIL). La expresión de BIN1, JPH2 y Cav3 se evaluó mediante Western blot y se normalizó respecto de GAPDH.

Resultados: El remodelado estructural se asoció con una marcada reducción en la expresión de BIN1 (W = 152,2 ± 6,51; n = 6; SHR = 100 ± 4,83 %; n = 8), que fue parcialmente restaurada por el tratamiento crónico con SIL (SIL = 139,1 ± 14,18 %; n = 8). En contraste, la expresión de JPH2 (W = ±; n = 4; SHR = 100 ± 8,54; n = 4; SIL = 106,0 ± 0,98 %; n = 4) y CAV3 (W = 116,8 ± 10,83; n = 5; SHR = 100 ± 7,47; n = 4; SIL = 98,7 ± 9,42 %; n = 4) no presentó cambios significativos en las SHR ni en el tratamiento con SIL. Los niveles de BIN1 se correlacionaron positivamente con el índice de organización de los TT (TT Power).

Conclusiones: En conjunto, nuestros resultados indican que la reducción de BIN1 se asocia con el remodelamiento de los TT en los corazones de SHR. La prevención de esta alteración por SIL, en paralelo con la preservación de la organización de los TT, sugiere que BIN1 podría constituir un marcador temprano de los cambios estructurales de los TT en la hipertrofia cardíaca.

LA SUPLEMENTACIÓN CON ÁCIDOS GRASOS OMEGA-3 PREVIENE LA HIPERTROFIA CARDÍACA EN RATAS OVARIECTOMIZADAS.

García RB, Zavala MR, Godoy Coto J, Díaz RG, Pinilla A, Vélez Rueda JO, Lofeudo JM, Pérez NG, De Giusti VC, Villa Abrille MC.
Centro de Investigaciones Cardiovasculares – "Dr. Horacio E. Cingolani" - Fac. Cs. Médicas UNLP-CONICET.

e-mail de contacto: rbgarcia@med.unlp.edu.ar

Introducción: Los estrógenos ejercen efectos protectores durante la etapa fértil; sin embargo, su disminución en la menopausia se asocia con un aumento del riesgo cardiovascular, incluso superior al de hombres de igual edad. En nuestro laboratorio estudiamos la vía de señalización involucrada en el desarrollo de la segunda fase de fuerza (SFF) en respuesta al estiramiento miocárdico, mediada por la producción de especies reactivas del oxígeno (ROS), la activación de la quinasa p90RSK y de los intercambiadores sodio/hidrógeno y sodio/calcio (NHE1 y NCX). La activación del NHE1 es crucial tanto en la respuesta contráctil aguda al estiramiento (SFF) como en la respuesta al estiramiento sostenido, que conduce al desarrollo de hipertrofia cardíaca (HC). En distintos modelos, se ha demostrado que la inhibición del NHE1 previene tanto el desarrollo de la SFF como la HC. En ratas ovariectomizadas (OVX), modelo experimental de menopausia, se ha observado un aumento en la expresión y actividad del NHE1. Por otro lado, estudios previos de nuestro laboratorio demostraron que la suplementación con ácidos grasos poliinsaturados omega-3 (AGω3) en ratas hipertensas previene la hiperactividad del NHE1 y el desarrollo de HC.

Objetivos: Evaluar el efecto de la suplementación con AGω3 sobre las alteraciones cardíacas inducidas por la ovariectomía.

Materiales y métodos: Ratas Wistar de 2 meses se sometieron a una ovariectomía (OVX) o cirugía simulada (Sham=S). Un mes después ratas de ambos grupos fueron suplementadas oralmente con AGω3 (200 mg/kg/día), durante tres meses. Generando los grupos experimentales: S, Sω3, OVX y OVXω3.

Durante todo el protocolo, se monitoreo el peso corporal, parámetros ecocardiográficos y presión arterial sistólica (PAS). Finalizada la suplementación, los corazones se extrajeron y se evaluó la producción de ROS, expresión de NHE1 y NCX, activación de p90RSK, SFF en músculos papilares, y la capacidad antioxidante.

Resultados: Al final del protocolo, las ratas OVX presentaron atrofia uterina y aumento de peso corporal, la PAS fue mayor en OVX vs S (mmHg: 130±1.4, n=4; 113±10.2, n=4, respectivamente, $p<0.05$) y la suplementación con AGω3 la disminuyo (mmHg: 113±4.3, n=4, $p<0.05$). La HC fue mayor en OVX vs S evaluada tanto con el índice de masa ventricular izquierda (mg/mm: 18.9±0.5, n=26; 15.7±0.3 n=26, respectivamente, $p<0.05$) como con el área de miocitos (μm^2: 669.0±56.6, n=9; 520.3±36.6 n=8, respectivamente, $p<0.05$), remodelado que no se observó en las OVXω3 (vs. OVX, mg/mm: 16.6±0.3, n=29, $p<0.05$; μm^2: 477.4±31.8, n=9, $p<0.05$). La producción basal de ROS fue mayor en OVX vs S (IF/µg:196.0±13.7, n=9, 100.0±11.8, n=8, respectivamente, $p<0.05$) y fue atenuada por los AGω3 (IF/µg: 112.6±7.9, n=10, $p<0.05$ vs OVX). La expresión de NHE1 y NCX fue mayor en OVX vs S (%: 167.5±25.4, n=8; 143.9±16.4, n=10 respectivamente, $p<0,05$), y normalizadas por los AGω3 (%: 107.9±7.7, n=8; 92.5±5.3, n=10, respectivamente, $p<0,05$ vs OVX). La SFF fue similar en S y OVX (%:115.4±1.5, n=18; 120.1±2.0, n=19, respectivamente, NS) y abolida en OVXω3 (%:101.2±0.7, n=21, $p<0.05$ vs S y OVX). S y OVX aumentaron los ROS en respuesta al estiramiento (%: 32.4±9.4, n=7; 27.7±10.2, n=7, $p<0.05$) efecto ausente en OVXω3 (%: -13.6±2.9, n=8, $p<0.05$ vs S y OVX). Además, el estiramiento aumentó la fosforilación de p90RSK en S y OVX (%: 24.2±7.9, n=6; 24.1±8.3, n=6, $p<0.05$), pero no en OVXω3 (%: -21.4±7.8, n=6, $p<0.05$ vs S y OVX). La actividad de catalasa fue menor OVX y OVXω3 (%: 51.4±5.1, 52.1±5.4, n=6, $p<0.05$ vs S), mientras que OVXω3 presentaron mayor actividad de SOD (%:166.3±20.5, n=8, $p<0.05$ vs S y OVX).

Conclusiones: La suplementación con AGω3 previene el desarrollo de HC y disminuye la PAS en ratas OVX. A su vez, una disminución en la expresión de NHE1 y NCX, junto con la reducción de ROS y de la activación de p90RSK inducidas por el estiramiento en músculos papilares, podrían explicar la ausencia de SFF en este grupo.

LOS ÁCIDOS GRASOS DE CADENA CORTA (AGCC) PRODUCIDOS POR LA MICROBIOTA TIENEN EFECTOS DIRECTOS EN LAS CÉLULAS CARDÍACAS

Moraña Rubin, Francisco; Angeloni, Fiamma; Arens, Juan Cruz; Ortiz Yané, Mateo; Racrido, María L; Calfunao, Nahuel; López Arévalo, Sofia; García, Lucia; Martínez, Valeria; De Giusti, Verónica.
Centro de Investigaciones Cardiovasculares CONICET-UNLP

e-mail de contacto: degiustiveronica@gmail.com

Introducción: En los últimos años el rol de la microbiota en la fisiopatología del sistema cardiovascular ha adquirido gran relevancia. Bajo condiciones saludables, las bacterias intestinales, cuando fermentan los carbohidratos que el cuerpo no puede digerir, producen ácidos grasos de cadena corta (AGCC). En los últimos años se ha demostrado que estos AGCC pasan a la circulación general y, uniéndose a sus receptores GPR41 y GPR43 puede ejercer efectos protectores antiinflamatorios y antifibróticos a distancia del tubo digestivo. Se ha propuesto que, en diferentes estados de disbiosis, la producción de AGCC disminuye, y en consecuencia sus efectos protectores.

Objetivos: El objetivo principal del presente trabajo fue investigar si los AGCC (acetato de sodio y propianto de sodio; AcNa y PrNa) pueden prevenir los efectos prooxidativos de la Angiotensina II (Ang II) actuando directamente sobre la línea celular H9C2 (derivada de células cardíacas).

Materiales y métodos: Las células H9C2 se incubaron durante 24hs con Ang II 100nM con o sin el agregado de los AGCC. Para evaluar el posible efecto antioxidante se midió la producción de especies reactivas del oxígeno (ROS), la actividad de enzimas antioxidantes, como la catalasa y el cociente de GSH/GSG. Finalmente, como es ampliamente conocido que los ROS pueden activar al intercambiador Na+/H+ (NHE), y que esta activación mantenida en el tiempo promueve el desarrollo y progresión de patologías cardiacas, se midió la actividad del NHE mediante la técnica de Pulsos de Amonio. * significa $p< 0.05$.

Resultados: Los resultados muestran que los AGCC previenen el aumento en la producción de ROS desencadenado por la Ang II (115±8 vs 106±5* AcNa; 101±8* PrNa; %). En concordancia el cociente GSH/GSG (glutatión reducido/glutatión oxidado) aumenta en presencia de Ang II, y es prevenido por los AGCC (0.8±0.09 vs 2±0.13* AcNa; ±0.5* PrNa). Además, la actividad de catalasa es aumentada por Ang II, y dicho aumento es prevenido por los AGCC (1.9±0.4 vs 3.9±0.2* AcNa; 2.8±0.2* PrNa;UI). Finalmente, la Ang II activó al NHE, y esto fue prevenido por los AGCC (0.019±0.005 vs 0.0015±0.0002* AcNa; 0.0009±0.0007* PrNa; $\Delta pH/\Delta t$).

Conclusiones: Estos resultados preliminares, nos permiten sugerir que los AGCC son capaces de prevenir el aumento del estrés oxidativo y de la actividad del NHE generado por la Ang II, pudiendo esto ser parte de los efectos protectores propuestos para los AGCC, pero actuando directamente en las células cardíacas.

LÚPULO ATENÚA EL DAÑO POR ISQUEMIA-REPERFUSIÓN MIOCÁRDICA: EVIDENCIA DE CARDIOPROTECCIÓN ASOCIADA A UN AUMENTO DE LA DEFENSA ANTIOXIDANTE

Colareda, Germán A. (1); Díaz, Romina G. (2); Consolini, Alicia E.(1)
1 Laboratorio de Farmacología Experimental y Energética Cardíaca (LaFEyEC), Facultad de Ciencias Exactas, UNLP. 2 Centro de Investigaciones Cardiovasculares (CIC) CONICET-UNLP.

e-mail de contacto: GColareda@biol.unlp.edu.ar

Introducción: *Humulus lupulus* L. (lúpulo) contiene entre sus componentes terpenos, ácidos amargos y flavonoides prenilados [1]. Previamente demostramos que el tratamiento subagudo con tintura de lúpulo (Hops-T) protege al miocardio frente a una isquemia de 30 min y reperfusión (I/R) mediante activación de las NOS y los canales mKATP mitocondriales [2]. Sin embargo, los efectos y mecanismos involucrados en la administración crónica del extracto y en isquemias más cortas aún no han sido caracterizados.

Objetivos: Evaluar si se mantiene la cardioprotección con el tratamiento crónico de Hops-T en un modelo de atontamiento cardíaco moderado (I/Rmod) en ratas, y si participan mecanismos antioxidantes.

Materiales y métodos: Ratas Sprague-Dawley recibieron Hops-T oral (1%, 622±39 mg/kg/día) durante 2 meses (n=6) o agua (YM, n=5). Se midieron peso corporal, grasa abdominal (subcutánea y retroperitoneal), presión arterial y perfil lipídico. Los corazones aislados y perfundidos (método de Langendorff) dentro de un calorímetro se expusieron a 20 min de isquemia y 45 min de reperfusión. Se registraron la presión intraventricular izquierda (LVP) y el flujo de calor (Ht), se determinó la presión máxima desarrollada contráctil (P), las velocidades de contracción y relajación y, se calculó la economía muscular (P/Ht) durante la I/R. P y P/Ht se expresaron como % del valor preisquémico. Al final de R, se analizó la expresión de las isoformas de superóxido dismutasa (Cu/Zn-SOD o SOD-1, y Mn-SOD o SOD-2) y glutatión reductasa (GR) en el ventrículo por Western Blot (normalizado respecto a Na^+/K^+-ATPasa).

Resultados: El tratamiento crónico con Hops-T no modificó la presión arterial ni la hipertrofia cardíaca. No obstante, redujo significativamente la grasa abdominal subcutánea y total ($p<0,05$) y los triglicéridos plasmáticos ($p<0.05$). Durante la I/R, Hops-T mejoró significativamente la recuperación contráctil post iquémica (%P: 83±7% vs 44±10% en YM, $p<0.0001$) y de la economía muscular (%P/Ht, $p<0.0001$). En el análisis por Western Blot, Hops-T indujo un incremento estadísticamente significativo en la expresión miocárdica de SOD-1 (177±21% vs 100±12% in YM, $p<0.05$) y una tendencia al aumento en SOD-2 (138±12%, $p=0.08$), sin modificar la expresión de GR ($p=0.99$).

Conclusiones: Los efectos de Hops-T sobre el perfil lipídico y la grasa abdominal sugieren un potencial como preventivo en pacientes con riesgo CV. Frente a episodios de isquemia, el tratamiento ejerce un marcado efecto cardioprotector en I/Rmod. El aumento significativo en la expresión miocárdica de SOD-1 sugiere mejoría en las defensas antioxidantes como mecanismo celular clave en la preservación funcional durante la I/R. Futuros estudios son necesarios para comprobar sus beneficios en clínica.

Referencias:

[1] Tronina A, et al. Flavonoids as Phytoestrogenic Components of Hops and Beer. Molecules. 2020; 25:4201.
[2] Colareda GA, et al. Cardioprotective and antispasmodic effects of Humulus lupulus (Hops) in an oral subacute treatment in rats. Journal of Biologically Active Products from Nature. 2024; 14: 463 - 480.

MECANISMOS INVOLUCRADOS EN LA CARDIOPROTECCIÓN DE LA HARINA DE MACA (LEPIDIUM MEYENII) VÍA ORAL DURANTE LA ISQUEMIA-REPERFUSIÓN EN RATAS MACHO

Soledad I. Matera[1], Luisa González Arbelaes[2], Érica Pereyra[2], Juliana Fantinelli[2] and Alicia Consolini[1]
Laboratorio de Farmacología Experimental y Energética Cardíaca (LaFEyEC), Facultad de Ciencias Exactas, UNLP[1], Centro de Investigaciones Cardiovasculares (UNLP-CONICET)[2]

e-mail de contacto: smatera@biol.unlp.edu.ar

Introducción: la harina de maca (*Lepidium meyenii*) es un suplemento dietario al que se le atribuyen propiedades adaptogénicas. En estudios previos, demostramos que la maca contiene flavonoides e isoflavonas y que la administración oral fue cardioprotectora contra la isquemia y reperfusión (I/R) en machos, pero no en hembras debido a la producción de especies reactivas derivadas del oxígeno. En el presente trabajo evaluamos los mecanismos de cardioprotección, tales como la activación de las vías PI3K-Akt, PKC, NOS, mKATP, liberación de Ca2+ del retículo sarcoplásmico (RS), y proteínas de las vías antioxidantes.

Materiales y Métodos: ratas Wistar fueron tratadas con harina de maca a una dosis de 1 g/kg/día, administrada por vía oral durante una semana. Los ventrículos aislados fueron arterialmente perfundidos dentro de un calorímetro de flujo y eléctricamente estimulados. Luego de la estabilización, cada droga fue perfundida antes de la exposición a 30 min I/60 min R. La presión intraventricular izquierda (LVP) y el flujo de calor total (Ht, mW/g) fueron medidos. La LVP máxima de contracción (P) y la economía muscular (P/Ht) fueron calculadas y expresadas como % P o P/Ht del valor inicial previo a la I/R. Al final de la R, se evaluó el estrés oxidativo a través de la prueba de las sustancias sensibles a ácido tiobarbitúrico (TBARS), el glutatión reducido (GSH) y la expresión de proteínas por Western-Blot. Los resultados fueron comparados por un ANOVA de 2-vías ($p < 0.05$).

Resultados: la recuperación post-isquémica de P fue reducida desde 60.6 ± 10.8% de la P inicial en ratas no-tratadas a 22.7 ± 3.5% y 24.1 ± 13.6% ($p < 0.05$) por wortmanina y 5-hidroxidecanoato respectivamente, pero no por celeritrina ni aminoguanidina. La reperfusión de una solución krebs con cafeína 10 mM y 36 mM Na+ evidenció un ligero aumento de Ca2+ almacenado en el RS en corazones de ratas tratados con maca vs no-tratados. La expresión de p-Akt se incrementó en corazones tratados con maca, pero la PKCe, la p-GSK3b y la SODMn no fueron modificadas. El GSH y las TBARS no fueron diferentes en corazones de ratas macho tratadas con maca y controles.

Conclusiones: la administración oral subaguda de maca otorgó cardioprotección en ratas macho a través de la activación de la vía PI3K-pAkt y de los canales mKATP mitocondriales, acompañados por un ligero incremento en el contenido de Ca^{2+} del RS. La cardioprotección fue independiente de la modulación de PKC, iNOS, pGSK3β y MnSOD, mientras que la peroxidación lipídica no fue afectada.
Grant: UNLP 11-X-1003

MEGA SENO ESFENOIDAL: VARIACIÓN ANATÓMICA DE HIPERNEUMATIZACIÓN EXTENSA

Domecq R; Sánchez Calot M; Andrade P; Luisi A; Azcoiti J; Huamani M; Andrinolo S; Amar T.
Catedra de anatomía A ; FCM UNLP

e-mail de contacto: adomecq@med.unlp.edu.ar

Introducción: El seno esfenoidal presenta una marcada variabilidad en sus patrones de neumatización, que pueden clasificarse según su relación con la silla turca en conchal, preselar, selar y postselar.
La hiperneumatización constituye una variante extrema, en la que las celdillas aéreas se extienden más allá de los límites habituales del seno, pudiendo comprometer el clivus, las apófisis pterigoides, las alas del esfenoides y las apófisis clinoides. Estas variantes poseen especial relevancia anatómica y quirúrgica debido a su proximidad con estructuras neurovasculares de la base del cráneo.

Objetivos: Describir un caso de mega seno esfenoidal caracterizado por hiperneumatización extensa del cuerpo del esfenoides, con extensión hacia las alas esfenoidales y las apófisis clinoides, identificado en un paciente que consultó por cefalea. Caracterizar mediante tomografía computarizada la extensión de la neumatización y sus relaciones anatómicas con estructuras relevantes de la base del cráneo. Destacar la importancia del reconocimiento de esta variante anatómica ante eventuales procedimientos quirúrgicos y traumatismos de la base del cráneo.

Materiales y métodos: Se realizó el análisis descriptivo de un caso mediante tomografía computarizada, con reconstrucciones multiplanares y evaluación de ventanas óseas. Los hallazgos fueron correlacionados con los patrones de neumatización esfenoidal descriptos en la literatura.
Resultados: Se identificó una extensa neumatización del cuerpo esfenoidal, con extensión bilateral hacia las alas mayores y menores y compromiso de las apófisis clinoides anteriores y posteriores. Se observó marcado adelgazamiento de las estructuras óseas circundantes y estrecha relación entre las cavidades neumatizadas y estructuras neurovasculares de la base del cráneo, particularmente el conducto óptico y el trayecto de la arteria carótida interna. La configuración observada corresponde a una variante extrema de hiperneumatización esfenoidal.

Conclusiones: El mega seno esfenoidal constituye una variante anatómica infrecuente caracterizada por una extensión excepcional de la neumatización del esfenoides. Su identificación mediante tomografía computarizada permite reconocer el adelgazamiento de las paredes óseas y establecer con precisión la relación de las cavidades neumatizadas con estructuras neurovasculares de la base del cráneo. Su conocimiento adquiere particular importancia en la planificación de procedimientos endoscópicos o transcraneales, debido al potencial riesgo de lesión vascular, compromiso del nervio óptico y fístula de líquido cefalorraquídeo asociado a la manipulación de estructuras óseas neumatizadas.

METFORMINA Y SU INFLUENCIA EN EL COMPORTAMIENTO EMOCIONAL, COGNITIVO Y ALTERACIONES NEUROBIOLOGICAS EN UN MODELO EXPERIMENTAL DE AISLAMIENTO EN RATAS

Bianchi Nunes João Pedro[1], Ronco Manuel Andrés[1*], Pasquini Diana Camila[1], Garay Bianca[1], Nahuel Ezequiel Wanionok[2], Fernandez Juan Manuel[2], McCarthy Antonio[2], Gómez Martínez Carlos Daniel[1], Morel Gustavo Ramón[1].*
**Misma contribución*
1- INIBIOLP, Facultad de Cs Médicas, UNLP. 2-LIOMM, Facultad de Cs Exactas, UNLP

e-mail de contacto: bianchi.jp27@gmail.com , maronco@med.unlp.edu.ar

Introducción: El aislamiento social prolongado constituye un factor de estrés capaz de producir alteraciones emocionales, cognitivas y neurobiológicas. El hipocampo resulta particularmente vulnerable a estos efectos debido a su participación en la memoria, la regulación emocional y la respuesta al estrés. Entre los procesos potencialmente involucrados se encuentran la neurogénesis adulta y la activación de la microglía. La doblecortina (DCX) se expresa en neuroblastos y neuronas inmaduras, por lo que permite evaluar etapas tempranas del proceso neurogénico en el giro dentado. Por su parte, IBA1 constituye uno de los principales marcadores para el estudio de la microglía y de los cambios celulares asociados con la respuesta neuroinflamatoria. La metformina, además de sus efectos metabólicos, presenta propiedades antiinflamatorias, antioxidantes y neuroprotectoras que podrían modular las consecuencias del estrés crónico sobre el sistema nervioso

Objetivos: Evaluar los efectos del aislamiento social crónico y del tratamiento con metformina sobre la neurogénesis hipocampal y la respuesta microglial en ratas de mediana edad, y analizar su relación con las alteraciones emocionales y cognitivas producidas por el aislamiento.

Materiales y métodos: Se utilizaron ratas macho Sprague-Dawley de 12 meses de edad. Para el estudio conductual se conformaron tres grupos experimentales: ratas aisladas sin tratamiento (n=6), ratas aisladas tratadas con metformina, 100 mg/kg/día por vía oral (n=5), y ratas sociales utilizadas como control (n=6). El protocolo se extendió durante 85 días. La conducta emocional se evaluó mediante las pruebas de preferencia por sacarosa, nado forzado y enterramiento de bolitas. La memoria espacial se estudió mediante el reconocimiento espontáneo de localización y el laberinto de Barnes. Al finalizar el protocolo, se extrajeron los encéfalos y se obtuvieron cortes coronales de 40 µm del hipocampo dorsal. La neurogénesis se evaluó mediante inmunohistoquímica para DCX y el recuento de células inmunopositivas en el giro dentado. La respuesta microglial se estudió mediante inmunohistoquímica para IBA1. Para este análisis se incorporaron también cortes correspondientes a ratas sociales tratadas con metformina, con el propósito de evaluar el efecto del fármaco sobre la microglía en ausencia de aislamiento social. Las imágenes se obtuvieron mediante microscopía óptica y se analizaron con los programas ImageJ e Image-Pro Plus

Resultados: El aislamiento social produjo alteraciones selectivas en la conducta emocional y la memoria. Los animales aislados sin tratamiento presentaron una disminución significativa de la preferencia por sacarosa y dificultades para reconocer la nueva ubicación de un objeto. La administración de metformina revirtió la anhedonia y preservó el reconocimiento espacial, aunque no modificó la conducta evaluada mediante el nado forzado. En el laberinto de Barnes y en la prueba de enterramiento no se encontraron diferencias significativas entre los grupos. El análisis inmunohistoquímico de DCX tampoco mostró diferencias significativas en el número de células inmunopositivas del giro dentado, lo que indica que las modificaciones conductuales no se acompañaron de cambios detectables en la cantidad de neuronas inmaduras. En contraste, la evaluación preliminar de los cortes procesados para IBA1 mostró una menor respuesta microglial en las ratas sociales tratadas con metformina respecto de los demás grupos estudiados. Esta observación sugiere que la metformina podría modular el estado inflamatorio cerebral.

Conclusiones: Los resultados muestran que el aislamiento social produjo alteraciones emocionales y cognitivas que fueron parcialmente moduladas por la metformina. Sin embargo, la recuperación de algunos parámetros conductuales no se acompañó de modificaciones significativas en la expresión de DCX, por lo que los efectos observados no pueden atribuirse a un aumento detectable de la neurogénesis hipocampal. El hallazgo de una menor respuesta microglial en las ratas sociales tratadas con metformina plantea una posible acción del fármaco sobre los mecanismos neuroinflamatorios.

MODELOS TRIDIMENSIONALES Y MICROAMBIENTE EXTRACELULAR EN AMILOIDOSIS POR APOLIPOPROTEÍNA A-I: DE LA CARACTERIZACIÓN BIOFÍSICA A LA PLATAFORMA CELULAR 3D.

Silvana A. Rosu (1,2), Letizia Bauzá (1,2), Elizabeth Cattaneo (1,2); Caroline Manao Miocque (2), Joao Aguilar (3), M. Alejandra,Tricerri (1,2), Bruno F.,Urbano (3), Sanchez Susana A(3).
(1)Instituto de Investigaciones Bioquímicas de La Plata (INIBIOLP), CONICET. Calle 60 y 120. La Plata, Buenos Aires, Argentina. (2) Facultad de Ciencias Médicas, Universidad Nacional de La Plata, La Plata, Buenos Aires, Argentina. (3) Laboratorio de Interacciones Macromoleculares (LIMM), Departamento de Polímeros, Facultad de Ciencias Químicas. Universidad de Concepción, Concepción, Chile.

e-mail de contacto: *srosu@med.unlp.edu.ar*

Introducción: La amiloidosis hereditaria por apolipoproteína A-I (ApoA-I) es una enfermedad autosómica dominante caracterizada por el depósito extracelular de fibrillas amiloides en corazón, riñón, piel y laringe, provocando insuficiencia orgánica progresiva. El microambiente de la matriz extracelular (MEC) —especialmente el pH, la fuerza iónica y los glucosaminoglucanos (GAGs) como la heparina— regula críticamente la estabilidad y nucleación de las variantes patológicas (como por ejemplo, Arg173Pro y Trp50Arg). Para superar las limitaciones de los cultivos 2D tradicionales, los modelos tridimensionales (3D) surgen como plataformas biomiméticas superiores para estudiar estas interacciones.

Objetivos: Desarrollar y caracterizar matrices biopoliméricas 3D de colágeno y heparina para evaluar la retención diferencial de variantes amiloidogénicas de ApoA-I frente a la nativa (Wt), e integrar estos hidrogeles como una plataforma de cultivo celular 3D para evaluar la respuesta patológica y ensayos farmacológicos.

Materiales y Métodos: Se purificó colágeno tipo I (COL) de cola de rata (verificado por SDS-PAGE y Lowry) y se sintetizaron matrices 3D entrecruzadas con EDC/NHS en tampón MES (pH 5,0), con o sin heparina al 0,5% (COL-HEP). La incorporación de heparina se confirmó mediante espectroscopía (O-toluidina) y EDS. Las propiedades viscoelásticasse midieron por reometría oscilatoria (módulo complejo, G^*) a 37 °C, y la ultraestructura por MEB (Microscopía Electrónica de Barrido).

Las variantes recombinantes (Wt, Arg173Pro y Trp50Arg) se incubaron en las matrices a pH 7,4 y 4,2, cuantificando la proteína remanente por Bradford. La afinidad por heparina se analizó mediante HPLC de afinidad y modelado *in silico* (Aggrescan 4D). Finalmente, en el marco del proyecto PPID 2026, se proyecta el sembrado de líneas THP-1 y HaCaT para evaluar respuestas inflamatorias y el efecto de compuestos antiamiloides (eprodisato y doxiciclina).

Resultados: Las matrices de COL y COL-HEP presentaron una estructura de hojas laminares (MEB) y un módulo G^* de ~14 kPa, rigidez fisiológicamente representativa del tejido cardíaco sano (<50 kPa) y superior al colágeno no entrecruzado (~1,5 kPa). La incorporación de heparina se validó por retención de O-toluidina y aumento de azufre por EDS.

En HPLC de afinidad, las variantes patológicas eluyeron a mayor fuerza iónica que la Wt. A pH 7,4, estas variantes mostraron mayor retención en matrices COL que la Wt ($p < 0{,}05$). A pH ácido (4,2), la Wt incrementó drásticamente su afinidad por COL-HEP. Las predicciones con Aggrescan 4D confirmaron una mayor propensión local a la agregación (*hot spot*) en el residuo 173 para Arg173Pro, acentuada a pH ácido (score a pH 4: -1,0077 en Arg173Pro vs. -1,0747 en Wt).

Conclusiones: Las matrices 3D de COL-HEP constituyen un modelo biomimético óptimo con rigidez fisiológica (~14 kPa). Se demostró que las alteraciones del microambiente (pH y fuerza iónica) y los GAGs regulan diferencialmente la retención de las variantes amiloidogénicas de ApoA-I. Estos hallazgos validan la plataforma para el proyecto PPID 2026, donde el cultivo 3D permitirá caracterizar respuestas inflamatorias y evaluar estrategias terapéuticas.

MODULACIÓN DE LAS VÍAS ANGIOTENSINÉRGICA Y ESTROGÉNICA Y SU IMPACTO SOBRE EL INTERCAMBIADOR NA^+/H^+ EN LA CARDIOPROTECCIÓN DURANTE LA MENOPAUSIA

Martinez VR. Galeota Satini C. Cascallares E. Velez Rueda JO. Blanco PG. De Giusti VC
Centro de Investigaciones Cardiovasculares (CIC-CONICET-UNLP)

e-mail de contacto: valeriarmartinez@gmail.com

En las mujeres en edad fértil, los estrógenos ejercen efectos cardioprotectores y durante la menopausia, su déficit se asocia con un mayor riesgo cardiovascular. Entre los mecanismos involucrados se encuentra el receptor estrogénico GPER, cuya activación puede modular la señalización del receptor AT1 y contribuir a la cardioprotección. Asimismo, en ratas espontáneamente hipertensas ovariectomizadas (SHR-OVX), modelo de hipertensión asociada al déficit estrogénico, se ha observado un aumento de la expresión y actividad del intercambiador Na^+/H^+ (NHE), que contribuiría al desarrollo de hipertrofia cardíaca.

El azilsartán (AZIL), es un antagonista del receptor AT1 de angiotensina II de elevada afinidad. Considerando que la activación del GPER mediante su agonista G1 podría complementar los efectos del bloqueo del receptor AT1, el tratamiento combinado AZIL-G1 produciría efectos cardioprotectores superiores a los obtenidos con cada tratamiento individual. Por lo tanto, el objetivo fue evaluar los efectos cardiovasculares del tratamiento combinado AZIL-G1 en ratas SHR-OVX y explorar su posible acción sobre el NHE.

Ratas SHR-OVX fueron tratadas con AZIL, G1 o la combinación AZIL-G1 durante 6 semanas. Se evaluó la presión arterial sistólica (PAS), la estructura y función cardíaca mediante ecocardiografía Doppler y al finalizar el protocolo, parámetros de estrés oxidativo en tejido cardíaco (*$p<0.05$). El tratamiento combinado produjo una reducción de la PAS significativamente mayor que las monoterapias (190 ± 5 mmHg en el grupo control; 134 ± 4 mmHg con AZIL; 185 ± 5 mmHg con G1; 108 ± 4* mmHg con AZIL-G1). Asimismo, AZIL-G1 produjo una mayor reducción del índice de masa ventricular izquierda y mejoró parámetros de función sistólica y diastólica, evaluados mediante la fracción de acortamiento endocárdica y llenado ventricular (E/A). Esto se acompañó de una mayor respuesta antioxidante, evidenciada por el incremento de la relación GSH/GSSG y la disminución de ROS y TBARS. A nivel molecular, el tratamiento combinado redujo la expresión del receptor AT1 y aumentó la de GPER.

Para explorar los mecanismos celulares involucrados, se evaluó la actividad del NHE en células cardíacas H9C2 estimuladas con Ang II. El tratamiento combinado AZIL-G1 disminuyó la actividad del NHE inducida por Ang II.

En conjunto, estos resultados muestran que la combinación de AZIL y G1 produce efectos beneficiosos sobre la presión arterial, el remodelado y la función cardíaca y el estado redox en ratas SHR-OVX, con respuestas superiores a las observadas con las monoterapias. La disminución de la actividad del NHE inducida por AngII aporta evidencia de un posible mecanismo celular asociado a estos efectos. Estos hallazgos sugieren que la modulación simultánea del sistema renina-angiotensina mediante el bloqueo de AT1 y de la señalización estrogénica mediante la activación de GPER podría constituir una estrategia de interés para contrarrestar las alteraciones cardiovasculares asociadas al déficit estrogénico.

MODULACIÓN DIFERENCIAL DE MATRIZ METALOPROTEINASAS COMO MECANISMO ANTIFIBRÓTICO DE SILDENAFIL

Daiana S. Escudero, Valeria R. Martínez, Yamila Pirosanto, Luisa F. González Arbeláez, María C. Ciancio, Patricio E. Morgan, Néstor G. Pérez, Romina G. Díaz
Centro de Investigaciones Cardiovasculares "Dr. Horacio E. Cingolani". Facultad de Ciencias Médicas, Universidad Nacional de La Plata.

e-mail de contacto: rgdiaz@med.unlp.edu.ar

Introducción: La fibrosis difusa es una característica del remodelamiento patológico del corazón hipertenso que aún no dispone de intervenciones farmacológicas definitivas. En modelos de sobrecarga hemodinámica Sildenafil (SIL) ha demostrado tener acciones antihipertróficas y antifibróticas, directamente en miocitos y fibroblastos vía PKG. Sin embargo, el mecanismo del efecto antifibrótico no ha sido completamente dilucidado.

Objetivos: Caracterizar el efecto antifibrótico de SIL, en tejido cardíaco e in silico, evaluando particularmente la acción sobre metaloproteinasas (MMP), responsables del remodelamiento de la matriz extracelular.

Materiales y métodos: Ratas espontáneamente hipertensas (SHR) fueron tratadas con 100 mg/kg/día de SIL en agua potable durante 3 meses o agua sola como control (C). Se examinaron parámetros histológicos y funcionales como colágeno y distensibilidad miocárdica. Por western-blot se evaluó la expresión de MMP y por zimografía su actividad. Se realizaron simulaciones de docking molecular utilizando PyRx. Las estructuras de MMP2 (PDB: 1QIB35), MMP8 (PDB: 1ZVX) y MMP9 (PDB: 5I1236) se obtuvieron de Protein Data Bank y la de SIL de PubChem. Los resultados del acoplamiento se visualizaron mediante PLIP.

Resultados: El tratamiento con SIL en SHR redujo el colágeno intersticial (% área total: C 1.67±0,26; SIL 0,79±0,20, p<0,05) y la rigidez miocárdica evaluada en músculos papilares del ventrículo izquierdo (g/mm2: C 2,9±0,29; SIL 0,79±0,09, p<0,0001). Disminuyó la actividad de las MMP asociadas a la activación de fibroblastos: MMP2 (%: C 100±8, SIL 34±4, p<0,05) y MMP9 (%: C 100±12, SIL 44±9, p<0,05), sin alterar su expresión, mientras aumentó la actividad de la colagenasa MMP8 (%: C 100±28, SIL 218±30, p<0,05). Además, SIL incrementó la expresión del factor antioxidante NRF2 (%: C 100±13, SIL 144±14, p<0,05). Las afinidades de unión predichas con los dominios catalíticos de MMP2, MMP8 y MMP9, resultaron -3,5, -6,9 y -6,8 kcal/mol, respectivamente. En el confórmero SIL-MMP9 de menor energía SIL formaría un enlace de coordinación con el Zn^{2+} catalítico -a 2,29 Å de distancia- además interaccionaría con residuos de la cavidad S1', Tyr179 y Leu187. No se observó interacción con el núcleo catalítico de MMP2. Respecto al complejo SIL-MMP8, en la mejor conformación de docking, SIL se anclaría a la pared externa formando puentes de hidrógeno con Ser151 y Gln165, complementada por una interacción hidrofóbica con Phe164.

Conclusiones: La interacción directa con el Zn2+ catalítico de la MMP9 y la estabilización de dicha unión por la interacción con aminoácidos de la cavidad S1´ determinarían un bloqueo del acceso del sustrato, característico de una inhibición. Por otro lado, el patrón de interacción SIL-MMP8 sugiere un posible modo de unión alostérica que podría incrementar la accesibilidad al sitio catalítico, proporcionando una hipótesis estructural plausible para la activación enzimática observada. Estos efectos, así como la inhibición de la actividad del MMP2 por reducción del entorno oxidativo, serían mecanismos independientes de PKG que ocurrirían directamente en matriz extracelular modulando la activación de fibroblastos y promoviendo la reducción in situ de colágeno.

MORFOLOGÍA DENTARIA Y ESTIMACIÓN DE AFINIDAD POBLACIONAL EN AZAMPAY, CATAMARCA: METODOLOGÍA ASUDAS

Manuel Ronga, Laboratorio de Investigaciones en Ciencias Forenses (LICIF), Facultad de Ciencias Médicas, Universidad Nacional de La Plata, Argentina. rongamanuel@gmail.com
Gonzalo Garizoain, CONICET, Laboratorio de Investigaciones en Ciencias Forenses (LICIF), Facultad de Ciencias Médicas, Universidad Nacional de La Plata, Argentina.
Marcos Plischuk, CONICET, Laboratorio de Investigaciones en Ciencias Forenses (LICIF), Facultad de Ciencias Médicas, Universidad Nacional de La Plata, Argentina. mplischuk@med.unlp.edu.ar
Rocío García Mancuso, CONICET, Laboratorio de Investigaciones en Ciencias Forenses (LICIF), Facultad de Ciencias Médicas, Universidad Nacional de La Plata, Argentina. rgarciamancuso@med.unlp.edu.ar
Bárbara Desántolo, Laboratorio de Investigaciones en Ciencias Forenses (LICIF), Facultad de Ciencias Médicas, Universidad Nacional de La Plata, Argentina. bdesantolo@med.unlp.edu.ar

Introducción: La morfología dentaria constituye una fuente de información relevante para inferir la ascendencia poblacional de individuos y grupos humanos, dado que la expresión de rasgos morfológicos no métricos de la corona dentaria presenta patrones de variación asociados a la historia evolutiva y a los procesos de poblamiento de las distintas regiones del mundo. Para sistematizar su registro se desarrolló el sistema ASUDAS (Arizona State University Dental Anthropology System), que permite estandarizar la observación de estos rasgos, junto con plataformas de análisis como Osteomics rASUDAS, que posibilitan estimar afinidades biológicas poblacionales a partir de las frecuencias registradas.

Objetivos: El presente trabajo tiene como objetivo definir la afinidad biológica de la población de Azampay (Catamarca, Argentina) a partir del análisis de rasgos dentarios no métricos.

Materiales y métodos: Se analizaron moldes de maxilar y mandíbula relevados por un odontólogo en campañas de investigación realizadas en la localidad de Azampay durante las décadas de 1990 y 2000. Siguiendo la metodología ASUDAS, se registraron los rasgos correspondientes a la corona dentaria de todos los dientes observables en 37 individuos (17 femeninos y 20 masculinos), con edades comprendidas entre los 5 y los 68 años. Las frecuencias obtenidas se procesaron mediante la plataforma Osteomics rASUDAS para estimar la afinidad poblacional.

Resultados: Entre los rasgos observados se destacan elevadas frecuencias de incisivos centrales superiores en pala (78,37%) y de segundo molar inferior con 4 cúspides (78,37%), seguidas por múltiples cúspides linguales en segundos premolares inferiores (67,56%) y por hendidura lateral en incisivos laterales superiores (62,16%). Por el contrario, el protostílido en primeros molares inferiores (18,91%), el hipocono (13,51%) y el tubérculo de Carabelli en el primer molar superior (35,13%) se encuentran entre los rasgos menos frecuentes. A partir de los morfotipos dentales identificados, se estableció una principal afinidad poblacional con el grupo biogeográfico "American Indian" (72,99%), seguida por "Southeast Asia & Polynesia" (18,91%) y, en tercer lugar, por "East Asia" (8,10%).

Conclusiones: Estos resultados son consistentes con lo esperado para poblaciones nativas del continente americano: la alta frecuencia de incisivos en pala y de otros rasgos del complejo dental sinodonte remiten a un origen común compartido con poblaciones del este y sudeste asiático, vinculado al poblamiento inicial de América. La afinidad biogeográfica estimada por morfología dental complementa a los estudios genéticos sobre estructura y origen poblacional, aportando una línea de evidencia independiente y de bajo costo para caracterizar la ascendencia de poblaciones humanas. Esta integración entre antropología dental y biomedicina poblacional resulta relevante para la investigación en salud, en tanto la estructura genética y biológica de una población puede vincularse con la susceptibilidad diferencial a determinadas enfermedades, así como orientar estudios epidemiológicos y clínicos que consideren el componente poblacional como variable de análisis. En conjunto, los resultados contribuyen a la discusión sobre los procesos de poblamiento y diferenciación biológica en el Noroeste argentino.

NANOPLÁSTICOS Y FUNCIÓN CARDÍACA: ESTUDIO EXPERIMENTAL EN DROSOPHILA MELANOGASTER

Valentina Arias, Juliana Lordi, Paola V. Ferrero, Carlos A. Valverde
Centro de Investigaciones Cardiovasculares "Dr. Horacio E. Cingolani", Facultad de Cs. Médicas, UNLP

e-mail de contacto: valentinaarias10@gmail.com

Introducción: La presencia ubicua de micro y nanoplásticos (MNP) plantea riesgos sanitarios emergentes. Se ha descrito en diferentes organismos acuáticos y terrestres que los MNP pueden atravesar barreras epiteliales, alcanzar la circulación sistémica y distribuirse en distintos tejidos, donde su acumulación se ha asociado con alteraciones funcionales y daño celular vinculados, entre otros mecanismos, con estrés oxidativo, inflamación y perturbaciones del metabolismo y del transporte intracelular. En humanos se han detectado partículas plásticas en placas ateroscleróticas y su presencia se ha asociado con una mayor incidencia de eventos cardiovasculares, lo que robustece la plausibilidad de un impacto directo sobre el sistema cardiovascular. Sin embargo, la información disponible sobre los efectos de los MNP sobre la función cardíaca y los mecanismos involucrados es aún limitada. *Drosophila melanogaster* (conocida como mosca de la fruta) constituye un modelo experimental útil por su bajo costo de mantenimiento, rápido ciclo de vida, elevada conservación de mecanismos fisiológicos y genéticos con el humano, y disponibilidad de herramientas que permiten estudiar de manera eficiente los efectos de contaminantes sobre distintos sistemas, incluido el cardiovascular.

Objetivos: En este contexto, el objetivo general es evaluar los efectos de la exposición a nanoplásticos (NP) sobre la función cardíaca en *D. melanogaster*. Los objetivos específicos son determinar la incorporación de NP fluorescentes en el tejido cardíaco y evaluar el impacto de la exposición crónica sobre el comportamiento motor, así como sobre parámetros cardíacos en un preparado semi-intacto de corazón de *D. melanogaster*.

Materiales y métodos: Se administraron NP (Lab261®) a moscas de la línea Canton S mediante dos protocolos. En el primero, se alimentaron moscas adultas de 15 días de edad durante 3 días mediante capilares con sacarosa al 5%, en presencia o ausencia de NP fluorescentes naranjas (FOP50; 200 µg/ml), con el objetivo de confirmar su incorporación y determinar localización en el tejido cardíaco mediante microscopía confocal. En el segundo protocolo, se administraron NP (PST50A; 200 µg/ml) incorporados a la dieta estándar a base de polenta desde el estadio de huevo hasta los 15 días de vida adulta. En estos individuos se obtuvieron registros de alta velocidad (250 Hz) del corazón semi-intacto, que fueron procesados mediante el plugin Musclemotion de ImageJ para cuantificar frecuencia, contractilidad y cinética de contracción y relajación cardíacas. El comportamiento motor se evaluó mediante ensayos de escalada en conjuntos de moscas tratadas o no con NP.

Resultados: El análisis cualitativo mediante microscopía confocal mostró fluorescencia compatible con la presencia de NP en el tracto digestivo, confirmando su ingesta, así como en células pericárdicas y cardiomiocitos del tubo cardíaco. En preparados semi-intactos de moscas expuestas a NP, se observó una reducción en la frecuencia cardíaca, evidenciada por un aumento del período entre latidos (0,37±0,02s control vs. 0,47±0,04s NP*), y una menor capacidad contráctil (amplitud de contracción: 14,62±1,74u.a. control vs. 8,50±0,82u.a. NP*). Asimismo, se observaron alteraciones de la cinética de relajación, incluyendo cambios en el tiempo a la mitad de la relajación (59,9± 3,5ms control vs. 75,7±5,1ms NP*) y en la constante de tiempo de relajación (66,9±4,4ms control vs. 96,5±7,3ms NP*). Finalmente, el ensayo de escalada mostró una disminución significativa de la capacidad motora en las moscas expuestas a NP a lo largo del tiempo (p=0,024), *(*indica p<0,05)*.

Conclusiones: Los resultados muestran que los nanoplásticos administrados por vía oral fueron ingeridos por *D. melanogaster* y que se detectó fluorescencia compatible con su presencia en células pericárdicas y cardiomiocitos del tubo cardíaco. La exposición crónica a NP se asoció con una disminución de la frecuencia y la contractilidad cardíacas, alteraciones de la cinética de relajación y una reducción de la capacidad motora. En conjunto, estos hallazgos aportan evidencia de efectos adversos de los nanoplásticos sobre la fisiología cardíaca y respaldan el uso de *D. melanogaster* como modelo experimental para profundizar el estudio de los mecanismos involucrados en su cardiotoxicidad.

NEUROANATOMIA SEMIOLÓGICA, CORRELACION EN LA URGENCIA MEDICA

Navickas, V; Castro Aparicio, I; Pennini Guelfi, R; Pérez Fernández M; Domecq, R; Andrade, P; Luisi, A.
Asignatura Optativa, Neuroanatomía semiología ,Catedra de Anatomía A ; Facultad de Ciencias Médicas UNLP

e-mail de contacto: adomecq@med.unlp.edu.ar

Introducción: El nervio oculomotor (III par craneal) presenta componentes motores somáticos y viscerales parasimpáticos, estos últimos destinados al músculo esfínter de la pupila y al músculo ciliar.
La organización topográfica de sus fibras posee particular relevancia semiológica, dado que la alteración selectiva o predominante del componente parasimpático puede manifestarse mediante midriasis y alteración de la respuesta fotomotora antes de evidenciarse un compromiso motor ocular manifiesto. La correlación entre la disposición anatómica de las fibras del III par y los signos neurológicos constituye, por lo tanto, una herramienta fundamental para la comprensión de los procesos compresivos y traumáticos en la práctica clínica.

Objetivos: Analizar la correlación anatomo-semiológica entre la organización del componente parasimpático del nervio oculomotor y la presencia de midriasis unilateral en pacientes con traumatismo encefalocraneano, destacando su aplicación en la enseñanza de la neuroanatomía semiológica.

Materiales y métodos: Se realizó un estudio observacional descriptivo de seis casos clínicos de pacientes con traumatismo encefalocraneano, que presentaron midriasis unilateral sin compromiso motor clínicamente evidente del III par craneal. Se analizaron los hallazgos semiológicos y su correlación con la organización anatómica del nervio oculomotor, particularmente con la distribución periférica de sus fibras parasimpáticas.

Resultados: En los seis casos analizados se observó midriasis unilateral sin déficit motor ocular manifiesto atribuible al III par craneal. La evolución clínica fue favorable. La correlación de los hallazgos con la neuroanatomía del nervio oculomotor permitió interpretar la alteración pupilar como expresión del compromiso predominante de su componente parasimpático. La disposición periférica de estas fibras proporciona un fundamento anatómico para comprender su particular vulnerabilidad frente a determinados mecanismos compresivos.

Conclusiones: La semiología pupilar constituye una expresión directa de la organización neuroanatómica del nervio oculomotor y permite establecer una correlación entre estructura, función y manifestación clínica. El reconocimiento de la midriasis unilateral como signo de compromiso del componente parasimpático del III par craneal resulta de especial importancia en la valoración inicial de pacientes con traumatismo encefalocraneano y procesos compresivos intracraneales. La incorporación de esta correlación anatomo-semiológica en la enseñanza de la Anatomía favorece la construcción de un conocimiento significativo y clínicamente aplicable desde los primeros años de la formación médica.

PAPEL DEL CANAL WTRW EN LOS EFECTOS CARDIACOS DEL CANNABIDIOL EN DROSOPHILA MELANOGASTER

Lordi Juliana; Pereyra Erica; Ferrero Paola
CIC (Conicet/UNLP)

e-mail de contacto: julianalordi@gmail.com, pvferrero@comunidad.unnoba.edu.ar

Introducción: El sistema endocannabinoide es responsable de mantener la homeostasis de los organismos, modular el comportamiento y la percepción del dolor. Varios estudios han sugerido que los cannabinoides pueden reducir el riesgo de enfermedades cardiovasculares, infarto de miocardio y lesiones por isquemia. Sus receptores principales son los receptores de cannabinoides de tipo 1 y de tipo 2 (CB1R y CB2R). Sin embargo, los cannabinoides también pueden unirse a receptores no canónicos y menos estudiados como los canales TRPs. Estos constituyen una superfamilia de canales no selectivos para Ca^{2+}, conservada en vertebrados e invertebrados, que participan de funciones sensoriales, homeostáticas, contracción muscular y control vasomotor.

Drosophila melanogaster, utilizada como modelo de enfermedades humanas, responde a cannabinoides. Su canal TRP *Water Witch* (WTRW), asociado a la percepción de humedad, presenta una alta homología de secuencia con TRPA1 de mamífero, mientras que su función se asemeja a la de TRPV1, ya que responde a cannabinoides y se inactiva mediante un inhibidor de TRPV1, la capsazepina (cpz).

Objetivo: El objetivo de este trabajo fue evaluar la localización órgano-específica del producto del gen *wtrw* en *Drosophila*, si la exposición crónica a CBD modifica la expresión del gen y si la coadministración del inhibidor de TRPV1 con CBD previene el efecto del CBD en corazón.

Materiales y métodos: En este estudio se utilizó la línea de moscas de tipo salvaje denominada Cs (BDSC_64349). Se extrajo ARN de moscas enteras (n=15) y de órganos aislados (n=200): corazón, cerebro e intestino. La expresión de *wtrw* se evaluó mediante PCR cuantitativa. Además, analizamos la expresión de *wtrw* tras el tratamiento crónico con CBD (830 µM) en moscas adultas de 10 días de edad. Finalmente, analizamos la respuesta aguda ante la administración de 100 µM de CBD y la eficacia de la coadministración con capsazepina (10 µM) en preparados semi-intactos de corazón, registrando la actividad cardíaca y analizando la frecuencia, el acortamiento de la pared del corazón, la velocidad máxima de contracción y la constante de relajación (*Tau*).

Resultados: *wtrw* se expresó en mosca entera (1541,4 ng/ul) y en cada uno de los órganos analizados: corazón (281,5 ng/ul), intestino (209 ng/ul), cerebro (74,4 ng/ul). El tratamiento crónico con CBD aumentó la expresión de *wtrw*. Además, la respuesta aguda ante la administración de CBD en preparados semi-intactos de corazón, modificó la función cardíaca y la capsazepina previno este efecto.

Conclusiones: Los resultados indican que el tratamiento crónico con CBD modula la expresión sistémica del producto del gen *wtrw*. En el corazón, la acción de CBD sobre la contractilidad podría estar mediada por *wtrw* ya que los efectos del CBD fueron prevenidos en presencia de capsazepina.

PAPEL DEL RECEPTOR CANNABINOIDE CB1 EN LA PROGRESIÓN DE LA ENFERMEDAD CARDÍACA

Gallo, D[(1)]; Fantinelli, J[(1)]; González Arbelaez, L[(1)]; Ciarrocchi, S[(1)]; Blanco, P[(2)]; Orlowski, A[(1)]; Aiello, EA[(1)]
[(1)]Centro de Investigaciones Cardiovasculares Dr H. Cingolani, Facultad de Ciencias Médicas - UNLP. La Plata, Argentina.
[(2)]Servicio de Cardiología, Facultad de Ciencias Veterinarias, UNLP. La Plata, Argentina.

e-mail de contacto: dgallo@med.unlp.edu.ar

Introducción: El uso de extractos de cannabis para el tratamiento de patologías neurodegenerativas, dolor crónico, desórdenes alimentarios/psiquiátricos, entre otros, es una práctica clínica que está en constante avance. Sin embargo, el uso de estos compuestos en el tratamiento de las patologías cardíacas no es totalmente aceptado. Parte de esta inconsistencia puede ser debida a la función diferencial de los receptores cardíacos para cannabinoides, fundamentalmente CB1r y CB2r. La mayoría de los estudios, sin embargo, coinciden en que estos efectos deletéreos se derivan de la acción del tetrahidrocannabinol (THC) y/o cannabidiol (CBD) sobre CB1r, resultando en una menor contractilidad y presión arterial.

Objetivos: Investigar el papel de la activación de los receptores en modelos de patologías cardiovasculares y sus respectivos controles, mediante el uso de vectores virales adenoasociados para silenciar CB1r (AAV9-shCB1r).

Materiales y métodos: Administramos AAV9-shCB1r y su respectivo virus control, AAV9-shControl, mediante inyección intracardíaca en ratas macho con hipertensión espontánea (SHR) de 4 a 5 días de edad y realizamos estudios para evaluar hipertrofia cardíaca, presión arterial y respuesta a isquemia/reperfusión. Los datos se expresan como media ± error estándar de la media y se compararon mediante la prueba t de Student o ANNOVA de dos vías, según corresponda ($p<0,05$).

Resultados: Cuatro meses después de la inyección con el virus AAV9-shCB1, observamos que las ratas que fueron inyectadas con este mostraron un tamaño de infarto más pequeño (AAV9shControl =19.23±1.862%; shCB1=7.212±1.538%; p=0,0009) y una mayor presión desarrollada (AAV9shControl =21.93±9.578%; shCB1=71.88±14.47%; p=0,0157) en comparación con las ratas que fueron inyectadas con el virus control.

En lo que respecta a función y estructura cardíaca evaluado mediante ecocardiografía, observamos un aumento en el grosor de la pared del corazón (AAV9shControl=1,982±0,008824; AAV9shCB1=2,229±0,02917 p=0,02917) y un aumento en el índice de masa del ventrículo izquierdo normalizado por la longitud de la tibia (AAV9shControl=24,77±0,8644; AAV9shCB1=29,86±2,129 p=0,0145). Además, se encontró evidencia de hipertrofia en las ratas inyectadas con AAV9-shCB1 cuando se midió la relación entre el peso del corazón y la longitud de la tibia (AAV9shControl =0.4163±0.02814 g/cm; shCB1=0.5152±0.01271 g/cm; p=0.0210) o entre el ventrículo izquierdo y la longitud de la tibia (AAV9shControl =0.3196±0.01793 g/cm; shCB1= 0.3803±0.01170 g/cm; p=0,0297).

Conclusiones: Con base en los resultados obtenidos hasta el momento, podemos concluir que el silenciamiento de CB1 provocó un aumento de la hipertrofia preexistente en el modelo animal utilizado. Sin embargo, aún queda por esclarecer el mecanismo por el cual esto ocurre. Por otro lado, el silenciamiento de CB1 disminuye el tamaño del infarto y mejora la función sistólica después de una lesión por isquemia-reperfusión.

POTENCIANDO EL CEREBRO ENVEJECIDO: EFECTOS COMBINADOS DE LA TERAPIA GÉNICA CON IGF-1 INTRAMUSCULAR Y LOS ÁCIDOS GRASOS OMEGA-3 EN LA COGNICIÓN Y LA ANSIEDAD

Vega, Josefina [1]; Sisti, María Milagros[1]*; Pace, Selena[1]; Mancuso, Ezequiel A.[1]; Maté, Sabina M.[1]; Herrera, Macarena L.[2#]; Bellini, María José[1#].*
Instituto de Investigaciones Bioquímicas de La Plata, Facultad de Ciencias Médicas, UNLP; [2] Royal College of Surgeons in Ireland (RCSI).
(*) y (#) Igual contribución.

e-mail de contacto: msisti@med.unlp.edu.ar

Introducción: El factor de crecimiento similar a la insulina 1 (IGF-1) es una hormona pleiotrópica esencial para la neuroprotección, la plasticidad sináptica y la homeostasis metabólica; su disminución relacionada con la edad está vinculada al deterioro cognitivo y a los trastornos del estado de ánimo. Los ácidos grasos omega-3 (EPA y DHA) también ejercen efectos neuroprotectores mediante mediadores lipídicos que regulan las respuestas inmunitarias e inflamatorias. A pesar de sus beneficios individuales, la posible sinergia entre la terapia génica con IGF-1 y la dieta con omega-3 no ha sido explorada, especialmente en lo que respecta a las diferencias según el sexo en la mediana edad.

Objetivos: Evaluar el impacto combinado y la posible sinergia de la terapia génica con IGF-1 intramuscular y la suplementación oral con AGs omega-3 sobre la función cognitiva, las conductas de tipo ansioso y los mecanismos neuroinflamatorios en ratas macho y hembra de mediana edad.

Materiales y métodos: Ratas Sprague Dawley de 12 meses (machos y hembras) recibieron inyecciones intramusculares de un vector adenoviral con cDNA de IGF-1 (RAd-IGF1) o vehículo, combinado o no con una suplementación oral diaria con ácidos grasos omega-3 durante 6 meses. Se evaluó la conducta mediante pruebas como el test de campo abierto (Open Field), test de laberinto en Y (Y Maze) y laberinto de Barnes (Barnes Maze). Se analizó tejido cerebral para el estudio de la composición lipídica del hipocampo.

Resultados: Se observaron cambios en la composición lipídica cerebral tras el tratamiento con omega-3. En relación con la memoria de trabajo espacial, la suplementación con omega-3 indujo modificaciones en las ratas hembras, no así en los machos; mientras que no se evidenciaron dichos cambios con el tratamiento con IGF-1. Actualmente se analiza si la coadministración de omega-3 e IGF1 potencia estos efectos mediante la modulación neuroinflamatoria y cambios en el fenotipo microglial.

Conclusiones: Los hallazgos resaltan los beneficios de la terapia periférica de IGF-1, los cuales son dependientes del sexo, y respaldan las estrategias nutricionales combinadas contra el deterioro cognitivo y afectivo asociado al envejecimiento.

PROGRAMAS DE LNCRNAS ASOCIADOS A LOS SUBTIPOS MOLECULARES Y LA PROGRESIÓN DEL CÁNCER COLORRECTAL.

Álvaro Novoa Ardiles[1], Marcela Astiz[1], María Eugenia Salas[1], Malena Solis[2], Mariano Di Tomasso[1,2], Martin C Abba[1], Ezequiel Lacunza[1].
[1]CINIBA Facultad de Ciencias Médicas UNLP. [2]Hospital Interzonal General de Agudos San Roque Gonnet.

e-mail de contacto: elacunza@med.unlp.edu.ar

Introducción: El cáncer colorrectal (CCR) comprende subtipos moleculares consenso (CMS) caracterizados por programas transcripcionales epiteliales, metabólicos, inmunes y estromales. Sin embargo, la contribución de los ARN largos no codificantes (lncRNAs) a esta heterogeneidad permanece escasamente caracterizada.

Objetivos: Identificar y priorizar lncRNAs asociados reproduciblemente a los CMS del CCR, evaluar su relación con la progresión tumoral y establecer el contexto celular de los principales candidatos.

Materiales y métodos: Se integraron cohortes independientes de RNA-seq y microarreglos, incluyendo un compendio de 1.015 tumores y otro de 182 muestras de mucosa normal, adenomas y carcinomas. Los tumores fueron clasificados mediante CMScaller y los lncRNAs se anotaron uniformemente con GENCODE v50. Se realizaron análisis de expresión diferencial (DESeq2/limma), redes de coexpresión (WGCNA) y enriquecimiento funcional. La evidencia se integró mediante un puntaje de priorización (IPS). GSE39582 (n=585) se utilizó como cohorte de validación externa. El origen celular de los candidatos se evaluó mediante fraccionamiento tumoral (GSE39395) y dos datasets de scRNA-seq (GSE132465 y GSE144735).

Resultados: Se identificaron 28, 44, 38 y 113 lncRNAs reproduciblemente enriquecidos en CMS1, CMS2, CMS3 y CMS4, respectivamente. La validación externa reprodujo las principales asociaciones, incluyendo FOXP4-AS1 y LINC01315 en CMS2; LINC00261, GAU1 y TOX-DT en CMS3; y un amplio programa CMS4 encabezado por MIR100HG, ZNF667-AS1, MAGI2-AS3 y LINC01614. Los análisis celulares mostraron localización preferentemente epitelial de candidatos CMS2/CMS3 y estromal de múltiples lncRNAs CMS4. Un conjunto predefinido de 11 lncRNAs CMS4 mostró un aumento coordinado de expresión en estadios avanzados tanto en TCGA como en GSE39582 (permutación P=3,6×10^{-4} y 1,0×10^{-5}, respectivamente). En paralelo, CRNDE y UCA1 mostraron alteraciones tempranas prominentes durante la secuencia mucosa normal–adenoma–carcinoma.

Conclusiones: Se identificaron programas reproducibles de lncRNAs asociados a los subtipos moleculares del CCR y con diferente contexto celular. Los resultados distinguen la asociación con CMS, el origen celular y los cambios vinculados con la progresión histológica o el estadio clínico como dimensiones relacionadas pero no equivalentes de la biología del CCR, y proporcionan candidatos prioritarios para su futura validación funcional y traslacional.

QUERCETINA ENCAPSULADA EN NANOLIPOSOMAS: CARACTERIZACIÓN Y EVALUACIÓN DE SU ACCIÓN CARDIOPROTECTORA EN CARDIOMIOBLASTOS H9C2

Marya Clara Costa Dario[1], María Celina Sánchez Cerviño[2], Guadalupe River[3], Irene Ennis[1], Alejandra Yeves[1].
[1] Centro de Investigaciones Cardiovasculares "Dr. Horacio E. Cingolani" (CIC), CONICET–Facultad de Ciencias Médicas, Universidad Nacional de La Plata (UNLP).
[2]Instituto de Investigación y Desarrollo en Ingeniería de Procesos, Biotecnología y Energías Alternativas (PROBIEN), CONICET–Universidad Nacional del Comahue (UNCo), Neuquén.
[3] Instituto de Investigaciones en Ciencia y Tecnología de Materiales (INTEMA), CONICET–Universidad Nacional de Mar del Plata (UNMDP), Mar del Plata.

e-mail de contacto: ayeves@med.unlp.edu.ar

Introducción: La quercetina (Q) es un flavonoide con propiedades antioxidantes y antiinflamatorias, que ha despertado interés por su potencial aplicación en enfermedades cardiovasculares. Sin embargo, su utilización terapéutica se encuentra limitada por su baja solubilidad en medios acuosos y su reducida biodisponibilidad oral. Los liposomas constituyen una estrategia promisoria para la vehiculización de compuestos hidrofóbicos; no obstante, sus características fisicoquímicas, como el tamaño, y composición lipídica, dependen en gran medida del método de fabricación. Los procedimientos convencionales requieren múltiples etapas, pueden presentar dificultades para su estabilidad, escalabilidad y reproducibilidad. En este contexto, desarrollamos una estrategia nanotecnológica innovadora orientada a la vehiculización de agentes terapéuticos antioxidantes basada en plantillas híbridas sólidas capaces de generar liposomas por autoensamblado in-situ. Esta plataforma podría contribuir al desarrollo de nuevas estrategias para el tratamiento de enfermedades cardiovasculares y, asimismo, permitir profundizar el estudio de los mecanismos cardioprotectores de la Q.

Objetivos: Caracterizar los nanoliposomas obtenidos mediante una estrategia innovadora de manufactura nanotecnológica. Evaluar el efecto de la Q encapsulada en nanoliposomas (Q@NL) sobre el estrés oxidativo y la hipertrofia celular inducida por angiotensina II (AngII) en cardiomioblastos H9c2.

Materiales y métodos: Los nanoliposomas vacíos (NL) y cargados con quercetina (Q@NL) se obtuvieron mediante un proceso de autoensamblado in situ, a partir de la solubilización en PBS de las respectivas membranas electrohiladas basadas en fosfolípidos y polímero; y en DMSO la Q sin encapsular. Los materiales fueron caracterizados mediante microscopía electrónica de transmisión y de barrido. Los cardiomioblastos H9c2 fueron cultivados durante 48 h y distribuidos en los grupos experimentales: Control; AngII (1 µM); AngII + telmisartán (1 µM, antagonista del receptor AT1); AngII + Q@NL (0.5; 1; 2.5; 5; 10 y 20 µM); AngII + NL y AngII+Q no encapsulada. Luego de 48 h de incubación en medio DMEM 1% de suero fetal bovino, las células se incubaron con los indicadores fluorescentes calceína-AM y DCF-DA para determinar el área celular y la producción de especies reactivas del oxígeno (ROS), respectivamente. Los resultados se expresaron como media ± error estándar, se analizaron mediante ANOVA, Tukey post test, $p<0.05$.

Resultados: La disolución de las membranas electrohiladas en medio acuoso produjo el autoensamblado espontáneo de nanoliposomas (diámetro ~146 nm y un índice de polidispersidad ~0,2, eficiencia de encapsulación de Q ~ 54%) y la formulación permitió reducir aproximadamente tres veces su degradación respecto de la Q no encapsulada. La exposición a AngII incrementó significativamente la producción de ROS (UA: 5.26 ± 0.28 vs. Control: 3.44 ± 0.144) y el área celular (%: 111± 1.68 vs Control: 100±1.44). El tratamiento con Q@NL a concentraciones de 5, 10 y 20 µM, redujo la producción de ROS a 3.59 ± 0.18; 3.04 ± 0.15 y 2.68 ± 0.15, respectivamente. Los NL no modificaron los efectos inducidos por AngII. La Q no encapsulada produjo un efecto antioxidante similar al observado con Q@NL.

Conclusiones: La estrategia de manufactura desarrollada permitió obtener con éxito nanoliposomas a partir de precursores sólidos. En cardiomioblastos H9c2, la quercetina encapsulada en nanoliposomas atenuó el estrés oxidativo y la hipertrofia inducida por AngII, mientras que los nanoliposomas vacíos no modificaron estos efectos. Estos resultados respaldan el potencial de esta plataforma nanotecnológica para la vehiculización de quercetina y su evaluación como estrategia con potencial cardioprotector frente al estrés oxidativo.

RELACIÓN ESTRUCTURA-FUNCIÓN DE PÉPTIDOS ASOCIADOS A LA APOLIPOPROTEÍNA A-I HUMANA

Gabriela S. Finarelli (1), Elizabeth Cattaneo (1,2), Eduardo D. Prieto (3). Nahuel A. Ramella (1,2), Silvana A. Rosu (1,2), M. Alejandra Tricerri (1,2).
Instituto de Investigaciones Bioquímicas de La Plata (INIBIOLP), CONICET. Calle 60 y 120. La Plata, Buenos Aires, Argentina. (2) Facultad de Ciencias Médicas, Universidad Nacional de La Plata, La Plata, Buenos Aires, Argentina. (3) Instituto de Investigaciones Fisicoquímicas Teóricas y Aplicadas (INIFTA)

e-mail de contacto: aletricerri@med.unlp.edu.ar

Introducción: La amiloidosis es una patología sistémica crónica caracterizada por el depósito de proteínas precursoras fibrilares en el espacio extracelular, lo que induce daño tisular y disfunción orgánica. Diversas causas podrían estar implicadas en la génesis de los agregados. La inflamación crónica y la liberación de proteínas con tendencia a la agregación o pérdida de función podrían influir en el desarrollo de las manifestaciones clínicas. La apolipoproteína A-I humana participa en numerosas funciones protectoras contra las enfermedades cardiovasculares, pero se detecta en placas ateroscleróticas crónicas como depósitos amiloides. Los productos de la proteólisis de las proteínas circulantes podrían ser precursores del depósito crónico de amiloide. Analizamos el péptido LLDNWDSVTSTFSK, que comprende la secuencia 46-59 de la apolipoproteína A-I, y evaluamos su hipótesis de que una conformación fibrilar podría provocar una disfunción de la proteína.

Objetivos: Nos propusimos analizar la hipótesis de que los péptidos liberados por proteasas desconocidas podrían formar agregados fibrilares que desencadenarían los eventos patológicos asociados a la amiloidosis.

Materiales y métodos: Caracterización de la conformación fibrilar: fluorescencia por tioflavina, ANS, rojo congo.
Caracterización por microscopia de las fibras con rojo congo y TEM.
Predicciones por bioinformática. El predictor AlphaFold 3, al analizar el péptido 46-59, respalda una conformación altamente alfa helicoidal de la conformación soluble, y las predicciones de Aggrescan 4D sobre la agregación estructural del péptido dependiente del pH indican que un pH bajo podría exponer residuos que provocan inestabilidad en los péptidos.

Caracterización funcional: propiedades antioxidantes por ensayo de ABTS. Ensayos celulares: producción de ROS por citometría de flujo.

Resultados: La incubación a pH bajo generó una conformación amiloide fibrilar, como sugieren los ensayos de fluorescencia con ThT, Rojo Congo y ANS. Como es típico de los agregados amiloides, la tinción con Rojo Congo se observa con birrefringencia verde manzana bajo luz polarizada y con una conformación fibrilar, observada mediante microscopía electrónica de transmisión (TEM)
Resultados bioinformáticos: Los aminoácidos no polares Leu y Phe son los que presentan mayor tendencia a la agregación. La mayor diferencia se observa en los residuos de Asp, ya que se cargan negativamente al disminuir el pH.
Resultados funcionales: La conformación fibrilar pierde propiedades antioxidantes y desencadena la liberación de especies reactivas de oxígeno (ROS) en un modelo de monocitos.

Conclusiones: Una estrecha relación entre estructura y secuencia es esencial para mantener el plegamiento y la unción de las proteínas. La exposición de residuos hidrofóbicos, podría participar en la formación de nuevas interacciones que podrían provocar el plegamiento incorrecto y la disfunción de las proteínas.

SOFTWARE DE APLICACIÓN PARA EL ANÁLISIS Y PROCESAMIENTO DE IMÁGENES HISTOLÓGICAS: POTENCIAL APLICATIVO EN DOCENCIA E INVESTIGACIÓN

Garizoain, Gonzalo; Moavro, Damián E., Palma, María Belén, Martínez Kevin I., Andrini, Laura, García Marcela N.
Catedra de Citología, Histología y Embriología, Facultad de Ciencias Médicas, Universidad Nacional de La Plata

e-mail de contacto: ggarizoain@med.unlp.edu.ar

Introducción: la utilización de imágenes digitalizadas de preparados histológicos forma parte de la labor diaria del docente/investigador en el marco de las investigaciones biomédicas, de la enseñanza de cursos de grado de histología o patología, o en el diagnóstico en el contexto de los servicios de patología. En función de esta realidad, diversos softwares de análisis de imágenes han sido desarrollados a fin de acompañar la creciente utilización de este tipo de soporte digital. Estos programas presentan grados diversos de complejidad en su interfaz y en las herramientas que ofrecen, lo que a veces enlentece el procesamiento y análisis de las imágenes. Asimismo, muchos de ellos requieren de licencias pagas de uso. En los últimos años, además de su creciente utilización como herramienta de procesamiento de imágenes para la investigación y el diagnóstico, estos programas se han comenzado a utilizar como herramientas complementarias para el aprendizaje con los microscopios y atlas virtuales.

Objetivos: presentar el software de análisis de imágenes Histodraw, desarrollado en la Cátedra de Citología, Histología y Embriología de la Facultad de Ciencias Médicas (U.N.L.P.) y evaluar sus potencialidades y limitaciones en el contexto de la enseñanza e investigación.

Materiales y métodos: se seleccionó del atlas virtual “Histology Guide” (histologyguide.com) una serie de preparados histológicos teñidos con hematoxilina-eosina (HE) y citológicos coloreados con la técnica de Wright a fin de evaluar las herramientas de procesamiento de imágenes que ofrece el programa. Luego de efectuar la calibración correspondiente, se aplicó el software para tomar medidas lineales y contar estructuras. Para este fin, dos observadores calificados analizaron extendidos sanguíneos a un aumento de 400X, en los cuales se midió el diámetro de los eritrocitos observados en el campo de visión a ese aumento. En este sentido se comparó la replicabilidad de las medidas. Por otro lado, se evaluó la utilidad de los filtros de imágenes que permiten contrastar y diferenciar con mayor claridad estructuras teñidas con hematoxilina de aquellas teñidas con eosina.

Resultados: los instrumentos métricos que ofrece el software evidenciaron un grado de concordancia entre la dimensión registrada por el programa y la dimensión real aproximada de las estructuras relevadas. En este sentido, las dimensiones obtenidas de los eritrocitos promediaron las 7.19 micras de diámetro, y los valores de las mismas relevados por dos observadores distintos fueron concordantes entre sí. Por otro lado, la aplicación de los filtros de deconvolución de color discriminaron correctamente aquellas estructuras basófilas de las eosinófilas.

Conclusiones: el aumento sostenido de la matrícula de estudiantes inscriptos en la cursada de la asignatura Citología, Histología y Embriología en el primer año de la Carrera de Medicina, impulsa la búsqueda de nuevas estrategias pedagógicas. La incorporación de nuevas tecnologías habilita una serie de nuevas posibilidades, no solo para la enseñanza, sino también para la investigación, y la práctica profesional. La mayoría pensadas principalmente para actividades de investigación, pueden presentar cierto grado de complejidad al momento de su utilización, por ejemplo, al requerir varios paquetes para su instalación. En este sentido, Histodraw puede resultar una alternativa de acceso libre (que no requiere licencias de uso) focalizada en una serie de herramientas sencillas que faciliten la aproximación de estudiantes al estudio de los tejidos,

Investigación Educativa

FACULTAD DE
CIENCIAS MÉDICAS

UNIVERSIDAD
NACIONAL
DE LA PLATA

DE LA DIFICULTAD AL LOGRO: DIAGNÓSTICO FODA Y TUTORÍAS EN FISIOLOGÍA

Corda F, Ciancio C, Cornicello B, Crocci C, Crocci E, Di Biasi V, Gonano L, Ibañez A, Lerda D, Matos L, Rivolta J, Saavedra A, Velez Rueda O, Yacovino L, Ennis I, Caldiz C, Said M.
Cátedra de Fisiología y Física Biológica, Facultad de Ciencias Médicas, UNLP.

e-mail de contacto: fcorda@med.unlp.edu.ar

Introducción: La evaluación de los aprendizajes requiere mecanismos de mejora continua que contemplen la perspectiva de los propios estudiantes sobre sus procesos formativos.

Objetivo: Analizar la percepción estudiantil respecto a su vivencia y desempeño en la primera fecha del examen parcial 2026 de Fisiología y Física Biológica mediante la adaptación de la matriz FODA (Fortalezas, Oportunidades, Debilidades y Amenazas) como instrumento de metaevaluación.

Metodología: Se aplicó una encuesta cualitativa a una muestra de 70 estudiantes recursantes participantes de un programa de tutorías semanales, desarrollado en el marco de un proyecto de educativo avalado por la Universidad Nacional de La Plata (UNLP). Las respuestas se analizaron mediante categorización de contenido según la matriz FODA. Asimismo, para evaluar el impacto del dispositivo, se contrastó la tasa de aprobación del grupo tutoreado con los registros generales de rendimiento de la cohorte no recursante en la misma fecha de examen.

Resultados: Las Fortalezas se concentraron en el dominio conceptual, la interpretación gráfica y la planificación del estudio, alcanzando una tasa de aprobación del 87% en el grupo tutoreado (frente al 45% registrado en la cohorte general no recursante). Las Debilidades se centraron en la expresión oral y la estructuración de ideas. Respecto a los factores externos, la principal Oportunidad valorada fue el acompañamiento tutelar como dispositivo de andamiaje pedagógico, mientras que las Amenazas estuvieron vinculadas a la ansiedad y el manejo de emociones durante el examen.

Conclusión: La matriz FODA consolida su valor como recurso de diagnóstico pedagógico que supera la mera calificación cuantitativa. Recuperar la voz de los estudiantes en espacios de tutoría aporta insumos críticos para que el equipo docente rediseñe estrategias de enseñanza e instrumentos de evaluación más reflexivos, inclusivos y formativos.

DOCENTES DE LA FCM EN LA ESPECIALIZACIÓN EN DOCENCIA UNIVERSITARIA DE LA UNLP: TRAYECTORIAS Y TEMÁTICAS DE SUS TRABAJOS FINALES (2011-2025)

Silvana C. Cerasa, Silvina Lyons, M. Soledad Mónaco, Ariana Pinillos, Sabina Arenas
Departamento Pedagógico FCM-UNLP

e-mail de contacto: slyons@med.unlp.edu.ar

Introducción: Los trabajos finales integradores (TFI) de la formación pedagógica de posgrado explicitan los problemas que los docentes reconocen en sus prácticas y las respuestas que ensayan (Justianovich, 2024)[1]. Desde 2016 la Facultad de Ciencias Médicas de la UNLP (FCM-UNLP) atravesó dos procesos superpuestos: la masificación de la matrícula de Medicina y la enseñanza remota de emergencia durante la pandemia. Los TFI de sus docentes en la Especialización en Docencia Universitaria (UNLP), disponibles en el repositorio SEDICI, permiten reconstruir la agenda pedagógica de los últimos años.

Objetivos: Caracterizar las trayectorias de egreso de los docentes de la FCM-UNLP en la Especialización (2011-2025) y la evolución de las preocupaciones pedagógicas expresadas en sus TFI, en relación con la masividad y la pandemia.

Materiales y métodos: Estudio descriptivo, retrospectivo, de métodos mixtos. Se analizaron los registros de egreso y de planes de TFI aprobados provistos por la dirección de la Especialización, y los TFI recuperados en SEDICI vinculados con la enseñanza en carreras de la FCM. Los trabajos se sistematizaron en una matriz (año, cátedra, carrera, tipo de trabajo, tema principal y mención de pandemia, masividad y tecnologías) y se realizó un análisis temático con categorías inductivo-deductivas.

Resultados: Se identificaron 91 docentes titulados entre 2011 y 2025: 79 por la Especialización y 12 por equivalencias desde la antigua Carrera Docente. Entre los primeros, las cohortes 2019-2021 concentran el 44% de los egresos y el 59% de las defensas se produjo desde 2023. El tiempo medio hasta la defensa entre los egresados descendió de 8,4 años (cohortes 2007-2013) a 3,9 (2019-2021). Otros 36 docentes tienen plan de TFI aprobado; un tercio lo obtuvo en 2021 o antes y aún no defendió. De los 85 TFI analizados (81% de Medicina), el 72% son propuestas de innovación, el 16% indagaciones y el 12% sistematizaciones de experiencias; las indagaciones pasaron de 10 de 21 trabajos antes de 2020 a 4 de 64 después. La mención de la masividad pasó del 19% (2011-2019) al 24% (2020-2022) y al 45% (2023-2025); la de las tecnologías en la enseñanza, del 38% al 82% y al 70% en esos mismos períodos. Entre las temáticas predominan la articulación teoría-práctica mediante casos, ateneos y ABP (21 trabajos) y la integración de tecnologías y virtualidad (25), que pasó del 14% de los trabajos hasta 2019 al 34% desde 2020. Le siguen la simulación (12), la integración curricular e interdisciplina (7), la masividad, la permanencia y las tutorías (7) y la evaluación (6); desde 2024 cobran presencia temas vinculados con la formación humanística, como la bioética, la medicina narrativa y la perspectiva de género.

Conclusiones: La concentración de egresos en 2023-2024 ofrece un corpus privilegiado para leer las preocupaciones docentes en contextos de masividad y pandemia. La experiencia pandémica se convirtió, con cierta distancia temporal, en objeto o punto de partida de casi un tercio de los trabajos defendidos desde 2022, en particular sobre virtualidad, bimodalidad y simulación. La articulación teoría-práctica persiste como preocupación estructural, mientras la agenda pedagógico-didáctica incorpora tecnologías y formación humanística. La proporción de planes aprobados largamente sin defensa señala la elaboración del TFI como un punto crítico para el acompañamiento institucional de la FCM en articulación con la Dirección de la carrera. El corpus analizado no incluye a quienes no completaron su formación.

[1] Justianovich, S. M. (2024). Escribir los saberes [Tesis de maestría, Universidad Nacional de La Plata]. SEDICI. https://sedici.unlp.edu.ar/handle/10915/175716

EL PROGRAMA "MAIS MÉDICOS" Y LA MEDICINA GENERAL Y/O DE FAMILIA COMO RESPUESTAS AL MODELO BIOMÉDICO DE FORMACIÓN MÉDICA: EL CASO DEL SISTEMA ÚNICO DE SALUD DE BRASIL

Carlos Augusto Pegurski, Rafael Gomes Ditterich
Programa de Posgrado en Políticas Públicas, Universidad Federal de Paraná (UFPR), Brasil

e-mail de contacto: capegurski@gmail.com

Introducción: La formación médica hegemónica en Brasil ha estado dominada por el paradigma flexneriano, caracterizado por un enfoque biomédico, fragmentado e intervencionista que desconsidera la dimensión ontológica y social del proceso salud-enfermedad. Este modelo profundizó la desigualdad geográfica en la distribución de profesionales y la escasez de médicos generalistas. Como respuesta político-pedagógica, el Programa Mais Médicos (PMM), creado en 2013 (Ley 12.871/13), articuló la provisión de emergencia con la transformación de la realidad del trabajo médico, a través de la educación permanente en salud (EPS). En este escenario, la Medicina General y/o de Familia (MGyF) se posicionó como una especialidad estratégica para reorientar el cuidado en la Atención Primaria de la Salud.

Objetivos: Analizar el PMM como respuesta al modelo biomédico hegemónico y examinar el papel de la MGyF y de la EPS en la reorientación de la educación médica y la humanización del cuidado en el Sistema Único de Salud (SUS).

Materiales y métodos: Analizar el PMM como respuesta al modelo biomédico hegemónico y examinar el papel de la MGyF y de la EPS en la reorientación de la educación médica y la humanización del cuidado en el Sistema Único de Salud (SUS).

Resultados: En 2015, el PMM alcanzó 18.240 médicos en el 81% de los municipios, el 87% de las áreas metropolitanas y el 100% de los 34 Distritos Sanitarios Especiales Indígenas, cubriendo a 63 millones de personas. La reducción de las hospitalizaciones por condiciones sensibles a la APS se aceleró hasta el 9,1%, mientras que la permanencia media de los profesionales en territorios lejanos aumentó de 6 a 20 meses. Frente a la escasez inicial de la MFC (3.300 especialistas en 2013, menos del 1% del total de profesionales), el PMM instituyó la reserva de al menos el 30% del internado para la APS y redes de tutoría e investigación.

Conclusiones: El PMM constituyó el más importante hito normativo para la ordenación pública de la formación médica en Brasil. La convergencia entre la EPS y la MFC constituye una estrategia para superar el paradigma biomédico, revalorizar el vínculo terapéutico y fortalecer la humanización del SUS.

ENSEÑANZA DE PROGRAMACIÓN EN PYTHON, MACHINE LEARNING E INTELIGENCIA ARTIFICIAL EN POSTGRADO DE LA FCM-UNLP. EXPERIENCIA DE CUATRO EDICIONES (2023-2026).

Spinelli OM[1], Ariza ST[2], Pardo J[1,3]
[1]Cátedra de Informática Médica, Facultad de Ciencias Médicas, Universidad Nacional de La Plata
[2]Consultora ZS
[3]Instituto de Investigaciones Bioquímicas de La Plata "Prof. Dr. Rodolfo Brenner"

e-mail de contacto: joaquinpardo@med.unlp.edu.ar

Introducción: La disponibilidad creciente de datos biomédicos y el acceso extendido a herramientas de aprendizaje automático e inteligencia artificial (IA) exigen competencias de programación escasamente incluidas en los planes de estudio de grado y posgrado de ciencias de la salud. Desde el año 2023 la Cátedra de Informática Médica de la facultad de Ciencias Médicas (UNLP) dicta un curso de posgrado arancelado de programación en Python orientado a Machine Learning, cuyo contenido se actualizó hasta incorporar, en su 4ta edición (2026), aprendizaje profundo e IA generativa.

Objetivos: Analizar la evolución de la matrícula, el perfil disciplinar de los inscriptos, el rendimiento académico y el grado de satisfacción a lo largo de las cuatro ediciones (2023-2026) de este curso, dictado en un ámbito institucional no vinculado tradicionalmente a la programación ni a la ciencia de datos.

Materiales y métodos: Se efectuó un estudio observacional, descriptivo y retrospectivo de las ediciones 2023-2025, con datos preliminares de la edición 2026 (en curso), dictadas desde la facultad de Ciencias Médicas (UNLP) en 2023, 2025 y 2026, y desde Cursos Avanzados-CCT Mendoza, en 2024, bajo el esquema de modalidad virtual, sincrónica y asincrónica, examen final y créditos para la Carrera de Doctorado (51-60 hs). El programa combinó fundamentos de Python, manejo de datos y Machine Learning (Scikit-learn), sumó aprendizaje profundo en 2025 (TensorFlow) y se reorientó en 2026 hacia automatización e integración de modelos de lenguaje de gran escala (Gemini). Se relevaron los registros de inscripción y finalización (examen rendido y aprobado) de cada edición, el título de grado de los inscriptos (2023, 2025-2026) y una encuesta de satisfacción anónima (2023-2025) que puntuó, en escala 1 a 5, profundidad de los contenidos, tiempo disponible por tema y herramientas/plataformas utilizadas. La difusión estuvo a cargo de los docentes en 2023, del CCT Mendoza en 2024, y de CONICET en 2025-2026.

Resultados: La matrícula pasó de 24 inscriptos en 2023 a 41 en 2024, 42 en 2025 y 25 en la edición 2026 (en curso). La tasa de finalización del curso (examen rendido y aprobado sobre el total de inscriptos) aumentó de 42% (2023) a 63% (2024) y 69% (2025). El título de grado de origen mostró un cambio sustancial: en 2023, con difusión desde la página web de la facultad de Ciencias Médicas, el 75% de los inscriptos eran médicos; esa proporción cayó al 24% en 2025 y al 4% en 2026, cuando predominaron biólogos, bioquímicos y otras disciplinas ajenas a ciencias de la salud, coincidiendo con la difusión por CONICET. La encuesta de satisfacción mostró un patrón consistente en las tres ediciones relevadas: las herramientas y plataformas recibieron la valoración más alta (4,5-5,0), la profundidad de los contenidos una valoración intermedia (3,7-4,8), y el tiempo disponible por tema la más baja (3,7-3,8), señalando este último como el principal aspecto a optimizar. El promedio general (4,1-4,6) se mantuvo estable, con una tasa de respuesta del 17-25%.

Conclusión: Para la oferta de un curso de programación, ciencia de datos e IA, una facultad de ciencias médicas constituía, a priori, un ámbito institucional atípico para este contenido. Sin embargo, la experiencia de estas cuatro ediciones resultó gratificante, con una demanda sostenida, niveles de satisfacción aceptables y diversificación progresiva del perfil de los participantes.

FLEXIBILIDAD EN UNA CURSADA MASIVA: IMPLEMENTACIÓN DE UN SISTEMA DE CAMBIOS TRANSITORIOS

Carlos A. Valverde, Irene L. Ennis
Cátedra de Fisiología y Física Biológica (FFB), Fac. Cs. Médicas, UNLP.

e-mail de contacto: valverdeca@med.unlp.edu.ar

Introducción: La organización de cursadas masivas requiere estructuras estables que permitan distribuir a los estudiantes de acuerdo con la disponibilidad de docentes, espacios y horarios. Sin embargo, esta previsibilidad organizativa se contrapone con una realidad necesariamente variable: la posibilidad de un estudiante de asistir a un horario determinado puede modificarse a lo largo de la cursada por diferentes circunstancias, sobre todo en el caso de una asignatura anual. Una estructura excesivamente rígida puede dificultar la asistencia, aun cuando existan lugares disponibles en actividades equivalentes; mientras que permitir cambios irrestrictos puede generar sobrecarga de determinados grupos y pérdida de previsibilidad en la utilización de los recursos. Este problema se vuelve particular con un gran número de estudiantes donde la gestión manual personalizada de cambios resulta difícilmente escalable. En este contexto, implementamos un modelo flexible pero controlado que mantiene la asignación a comisiones de un número de estudiantes estable, pero permite su redistribución entre actividades equivalentes de acuerdo con la capacidad disponible, mediante un Sistema de Cambios Transitorios (SCT) de gestión autónoma.

Objetivos: Describir la implementación y utilización del SCT en una asignatura masiva de segundo año de la carrera de Medicina y caracterizar la magnitud, frecuencia, motivos y patrones de redistribución de estudiantes generados durante la cursada.

Materiales y métodos: Se realizó un estudio observacional descriptivo a partir de los registros generados durante la implementación del SCT en Fisiología y Física Biológica (FFB), Facultad de Ciencias Médicas, Universidad Nacional de La Plata. En 2026, la asignatura comenzó una matrícula de aproximadamente 1.400 estudiantes distribuidos en 58 comisiones. La cursada de FFB se organiza en 12 unidades temáticas, donde cada una de ellas implica cursar un trabajo práctico (TP) y dos clases de taller de discusión (TdD1 y TdD2). Los estudiantes gestionan de manera autónoma el SCT mediante un bot de la aplicación Telegram y/o mediante una aplicación web (ambos sistemas programados con ayuda de Chat-GPT), desde donde seleccionan la unidad, actividad que necesitan cambiar, indicando el motivo y eligiendo una comisión alternativa disponible. El sistema determina automáticamente las opciones habilitadas según cronograma, reglas y capacidad disponible, sin requerir intervención docente o administrativa individual. Cada cambio afecta una única actividad y no modifica la comisión de origen. Se analizaron las primeras diez unidades, considerando frecuencia de uso, actividad, motivos, cancelaciones y movimientos entre grupos.

Resultados: Al momento del análisis, se registraron 13.248 cambios transitorios correspondientes a 1.333 estudiantes. La utilización fue predominantemente recurrente: la mediana fue de 8 cambios por estudiante; el 66,1% realizó seis o más cambios y el 35,6% más de diez. El 94,4% utilizó el sistema en más de una unidad y el 48,8% en seis o más unidades. Los TP concentraron el 43,3% de los cambios, TdD1 el 26,0% y TdD2 el 30,7%. Los principales motivos fueron problemas personales (29,9%), paros (17,5%), feriados (17,4%), superposición horaria (9,9%), trabajo (9,8%) y salud (9,0%). El 73,6% de los cambios permaneció aprobado y el 25,5% fue posteriormente cancelado por el propio estudiante. Al analizar la movilidad entre grupos, el 86,3% de las combinaciones unidad-actividad-grupo involucradas actuó simultáneamente como emisora y receptora de estudiantes, evidenciando un patrón predominantemente bidireccional de redistribución.

Conclusiones: El análisis de los datos del SCT demuestra una utilización masiva, repetida y sostenida a lo largo de la cursada, lo que muestra que la demanda de flexibilidad horaria no se limita a situaciones aisladas. La coexistencia de motivos individuales y alteraciones colectivas del cronograma evidencia su utilidad frente a diferentes tipos de contingencias. El predominio de grupos que simultáneamente emitieron y recibieron estudiantes indica que el sistema generó una redistribución dinámica dentro de la estructura existente, en lugar de un desplazamiento unidireccional hacia determinados grupos. Estos resultados respaldan un modelo organizativo que combina una estructura estable de comisiones con un mecanismo de flexibilidad transitoria y controlada según la capacidad disponible.

HÁBITOS DE VIDA, ACTIVIDAD FÍSICA Y MANEJO DEL ESTRÉS PRE-EXAMEN: ANÁLISIS DE SU ASOCIACIÓN CON EL RENDIMIENTO ACADÉMICO EN ESTUDIANTES DE FISIOLOGÍA Y FÍSICA BIOLÓGICA

Echeverría Florencia, Antonini Tizziana, Pourtau María, Racioppi Florencia, Ibañez Alejandro
Cátedra de Fisiología y Física Biológica, Facultad de Ciencias Médicas, Universidad Nacional de La Plata (FCM-UNLP)

e-mail de contacto: aleibanez@med.unlp.edu.ar

Introducción: La elevada carga horaria y la exigencia teórica de la carrera de Medicina impone un esfuerzo significativo, que demanda que los estudiantes deban compatibilizar las demandas académicas con los hábitos de la vida cotidiana. Habitualmente se postula que la práctica regular de actividad física fomenta competencias de autorregulación, estructuración del tiempo y resiliencia mental. No obstante, las restricciones temporales inherentes a la cursada plantean el interrogante de si la actividad física actúa como un determinante directo sobre las calificaciones o si su valor radica primordialmente en la modulación del estrés, el descanso y la configuración de un patrón integral de salud.

Objetivos: Analizar la relación entre la práctica de actividad física y el rendimiento académico (cuantitativo y cualitativo) en el parcial de Fisiología y Física Biológica (FFB), (FCM-UNLP) y caracterizar las diferencias en la organización del estudio, los patrones de descanso, los hábitos de vida y el estado anímico pre-examen entre estudiantes físicamente activos e inactivos.

Materiales y Métodos: La muestra estuvo constituida por N=165 estudiantes de FFB (FCM-UNLP). La recolección de datos se efectuó mediante una encuesta estructurada y autoadministrada anónima que evaluó: 1) Variables demográficas; 2) Planificación del estudio (cronograma, días y horas dedicadas); 3) Rendimiento académico en el último parcial (condición de aprobación y calificación numérica); 4) Patrones de actividad física (frecuencia, duración e intensidad) y motivos de inactividad; 5) Percepción de ansiedad y estado emocional pre-examen; y 6) Hábitos de sueño y alimentación. Se aplicaron las pruebas de Chi-cuadrado (2), correlación de Spearman y la prueba t de Student o Mann-Whitney para la comparación de promedios de calificaciones numéricas (n=89).

Resultados: Del total de la muestra (N=165), el 73,3% (n=121) reportó realizar actividad física habitualmente y el 26,7% (n=44) se declaró inactivo. La tasa global de aprobación fue del 97,0% (n=160). No se observaron diferencias estadísticamente significativas en la aprobación entre activos (97,5%) e inactivos (95,5%) (p=0,864). Asimismo, la calificación numérica promedio no presentó diferencias relevantes entre ambos grupos (activos: 6,52 vs. inactivos: 6,61; p=0,80). Los estudiantes activos presentaron una mayor proporción de planificación estructurada del estudio mediante cronograma (73,6% vs. 59,1%), mayor adhesión a un descanso nocturno reparador de 7–8 horas (62,8% vs. 52,3%) y mayor frecuencia de tranquilidad y confianza pre-examen (33,1% vs. 22,7%). En el grupo inactivo, la principal barrera identificada para no ejercitarse estuvo ligada a la gestión del tiempo y la falta de organización académica (84,1%; n=37/44), superando ampliamente a la falta de interés (6,8%).

Conclusiones: La actividad física no mostró una asociación directa sobre la calificación numérica alcanzada en el parcial de FFM. Sin embargo al relevar a los estudiantes durante la cursada tras la finalización de las cuatro instancias evaluativas del primer parcial, la muestra estuvo conformada casi exclusivamente por alumnos en condición de aprobados, puesto que quienes no lograron la aprobación en ninguna de las oportunidades no continuaban cursando la asignatura al momento de completar la encuesta.

Si bien la hipótesis original planteada no puede corroborarse en la muestra analizada, se puede observar que los estudiantes con un perfil de autorregulación, hábitos estructurados y gestión del tiempo logran sostener la práctica de actividad física a la par de la exigencia de la cursada. En última instancia, el ejercicio físico actúa como un modulador clave de la calidad de vida y un atenuador del estrés pre-examen, constituyendo un pilar fundamental que, a largo plazo, potencia y sostiene el rendimiento académico y el bienestar integral durante la formación médica.

LA ENSEÑANZA DE LA ORTOPEDIA Y TRAUMATOLOGÍA EN LA CARRERA DE MEDICINA DE LA UNLP.

Osvaldo Romano
Facultad de Ciencias Médicas . UNLP

e-mail de contacto: oaromano@med.unlp.edu.ar

Introducción: Se reconocen en la educación profesional de ciencias de la salud tres generaciones de cambios. La incorporación de estas modificaciones ha sido heterogénea tanto en cada país como en las facultades, carreras y cátedras del mismo, con la implementación total, parcial o nula de estos cambios.

Objetivos: Describir los cambios realizados en la cátedra de ortopedia y traumatología de la Facultad de Ciencias Médicas de la UNLP durante los años 2020-2025.
Valorar la aceptación de estos cambios por la cohorte de estudiantes del ciclo 2025.

Materiales y métodos: Se recolectó la información de la página del entorno educativo de la cátedra en la facultad de Ciencias Médicas: Plan curricular expuesto en el entorno educativo, objetivos y modalidad de la cursada, formato de evaluaciones finales y bibliografía sugerida. Se valoró la evaluación realizada por la cohorte de estudiantes que cursaron durante los últimos tres ciclos de 2025 mediante una encuesta anónima semiestructurada, con preguntas relativas al cumplimiento de los encuentros de aprendizaje basado en pacientes (ABP), de simulación y de campo, con tres alternativas: Si, No y parcialmente. Se completaba con una pregunta abierta de comentarios, críticas y sugerencias relativas a la cursada.

Resultados: Se realizaron modificaciones en la planificación de objetivos y desarrollo de la asignatura. El plan mosaico de bolillas se cambió por una planificación basada en objetivos, contenidos y ejes. Las clases teóricas expositivas se ofrecieron como videos asincrónicos en el entorno educativo y el horario presencial de los antiguos teóricos dieron paso a encuentros de aprendizaje basado en pacientes (ABP). La actividad práctica presente desde décadas pasadas en la cátedra tuvo como modificaciones al dividir la comisión en grupos menores con el fin de respetar los derechos de los pacientes, utilizando para ellos horarios versátiles previamente combinados entre estudiantes y docentes. Se incorporaron encuentros presenciales de simulación entre vivos con juegos de roles en los que con indumentaria adecuada los estudiantes realizaban examen físico del aparato locomotor entre ellos, bajo la supervisión del docente. Se dejó sin efecto el examen final con bolillas y la modalidad exclusiva de desarrollo teórico un tema por un examen final con una instancia basada en pacientes con datos e imágenes digitalizadas o reales y una instancia de valoración de examen físico habitualmente en voluntarios. Se incorporó la figura de voluntariado para exámenes de estudiantes que aun no hubieran rendido la asignatura. Se publicó un libro de cátedra “Lo esencial en ortopedia y traumatología” en el que participaron los docentes de la asignatura, editado por Edulp, destinado a estudiantes, con la intención de poder ser utilizado por graduados pediatras, generalistas o especialistas de medicina interna.
La encuesta fue respondida por los 502 estudiantes que finalizaron la cursada en los tres últimos ciclos del año 2025. Las respuesta para los encuentros se dividieron en Si, parcialmente, No y una cuarta categoría de quienes decidieron no responder. Los resultados fueron: Encuentros de ABP (358, 113, 22 y 9), de simulación (290, 125, 79 y 8), de campo (324, 140, 49 y 9). El 73 % (370) de las personas encuestadas usaron la opción de “comentarios, sugerencias y críticas”. La mayoría de las respuestas abiertas fueron favorables. Las principales críticas hicieron referencia al incremento de horas de observación de práctica asistencial y de simulación. Se realizó la devolución a los docentes de los resultados de las encuestas de los tres ciclos.

Conclusiones: Se describen las modificaciones realizadas en la cátedra de ortopedia y traumatología (2020– 2025), cambios en consonancia con la 2da y 3ra generación de reformas educativas en salud.
La valoración del estudiantado, si bien favorable, está lejos de valores ideales.
Por la ausencia de datos previos a la evaluación de catedra no se puede realizar comparaciones.

LA INTERDISCIPLINA COMO DESAFÍO EN LOS EQUIPOS DE SALUD. EXPERIENCIAS DE TRABAJADORES SOCIALES DE RECIENTE GRADUACIÓN

Fernandez, Cecilia, Savino, Galia A., Otero Z., Laura, Lyons, Silvina, Michelli, Virginia
FTS y FCM (UNLP)

e-mail de contacto: ceciliasoledadfernandez1984@gmail.com

Introducción: Se presentan avances del proyecto ET001-24 (2024-2027), acreditado y financiado por la UNLP, dirigido por Susan López y codirigido por Carina Scharagrodsky, titulado Relaciones entre conceptualización sobre "salud" y el hacer profesional de graduadxs recientes en Trabajo Social. Estudio de casos de profesionales insertxs laboralmente en establecimientos de salud de la Región Sanitaria XI, provincia de Buenos Aires, entre 2024 y 2026. El equipo reúne profesionales de trabajo social, psicología, ciencias de la educación y sociología. El trabajo en equipos de salud, especialmente ante situaciones complejas, requiere articular disciplinas, efectores y sectores. Esto implica construir abordajes conjuntos, poner en diálogo -y tensión- diferentes saberes y establecer acuerdos. La interdisciplina no es una sumatoria de disciplinas ni algo dado en los equipos, sino una condición a construir, con aspectos epistemológicos, metodológicos y subjetivos, individuales y grupales (Stolkiner, S/D), y un posicionamiento ético-político, dinámico y no armónico, terreno de conflicto y negociación constante. Interesa indagar cómo esta construcción se vincula con la formación de grado.

Objetivos: Analizar cómo interpretan el trabajo interdisciplinario e intersectorial lxs trabajadorxs sociales de reciente graduación, a partir de su experiencia en equipos de salud. Identificar qué recursos de su formación de grado reconocen para ese trabajo y qué vacancias formativas señalan.

Materiales y métodos: Estudio cualitativo con muestra intencional. En una primera etapa se realizaron ocho entrevistas semiestructuradas en profundidad a trabajadorxs sociales graduadxs entre 2020 y 2023 que trabajan en el sistema de salud bonaerense. Se analizaron con Teoría Fundamentada y ATLAS.ti en cuatro dimensiones: trayectorias e intereses por la salud; concepciones de salud y salud colectiva; prácticas profesionales y sistema de salud; y referencias teóricas. Aquí se retoman los fragmentos sobre el trabajo con otras disciplinas-sectores y sobre vacancias formativas. Siglas: inserción (H: hospital; R: residencia; SAPS: Servicio de Área Prog. en Salud), egreso (E), género (M/V) y edad.

Resultados: Dos entrevistadas distinguen la interconsulta de la interdisciplina. Al Trabajo Social se lo convoca para gestionar pensiones, certificados o altas, en una lógica que fragmenta al sujeto: "no se hace trabajo interdisciplinario, sí se hacen interconsultas" (H.R.M.E22). Relatan también el predominio de la mirada médica o psicológica, que ubica a la trabajadora social en un lugar "burocrático". Así, su tarea "pareciera que se termina" cuando la persona empieza un tratamiento psicológico (SAPS.E21.M.30). Esto se suma a la pregunta, propia y ajena, por la especificidad disciplinar: "algo de lo disciplinar que a veces se me desdibuja" (SAPS.E21.M.34). Aparece también la soledad profesional, incluso en equipos formalmente interdisciplinarios: "todo el tiempo me sentí muy sola, nada acompañada" (H.E20.M32). En cambio, cuando hay tiempo y espacios de acuerdo, el diálogo entre disciplinas "enriquece mucho el resultado final" (R.E22.M.29), y allí se sitúa el aporte propio del Trabajo Social en la lectura de las trayectorias, las redes y las condiciones de vida. La formación de grado provee categorías que lxs entrevistadxs retoman, como salud integral, determinación social y proceso salud-enfermedad-atención-cuidado, junto con la disposición a pensar en equipo y en red. Pero la concepción de salud se amplía y se revisa en la práctica compartida, "adquiriendo mayor profundidad teórica con los saberes de otros colegas" (SAPS.E21.M.34). Las residencias, las rotaciones y las co-visiones son espacios clave de ese aprendizaje, mientras que la falta de prácticas en efectores de salud se señala como vacancia.

Conclusiones: Los avances muestran que la formación de grado es necesaria, pero no suficiente para el trabajo interdisciplinario en salud. Aporta herramientas y un posicionamiento ético-político para que lxs trabajadorxs sociales intervengan en los equipos, donde las lógicas institucionales, las jerarquías disciplinares y las condiciones laborales configuran su lugar y sus posibilidades. Allí se juegan relaciones de poder, saberes y capitales (Bourdieu, 1979), y reconocer la incompletud de cada disciplina es fundamental para construir acuerdos (Stolkiner, S/D). Sin tiempo, disposición institucional ni acompañamiento, la interdisciplina puede reducirse a la interconsulta y generar soledad profesional. Se propone incorporar prácticas interdisciplinarias en efectores de salud, análisis de casos y supervisión entre pares para trabajar la especificidad profesional. Estos hallazgos interesan también a otras profesiones de la salud.

MÁS ALLÁ DEL CORAZÓN: UNA EXPERIENCIA DE EDUCACIÓN Y COMUNICACIÓN INTEGRAL EN SALUD.

Marian Marlene Rodríguez, Andrés Pinilla.

Cátedra de Fundamentos de la Práctica Cardiológica, Tecnicatura en Prácticas Cardiológicas, Facultad de Ciencias Médicas, Universidad Nacional de La Plata (UNLP).

e-mail de contacto: marianrodriguez@med.unlp.edu.ar

Introducción: La formación en salud requiere integrar conocimientos científicos, competencias comunicacionales y compromiso social. Frente a la circulación de información sanitaria en entornos digitales, el proyecto TPC Media Lab propone una estrategia educativa que articula alfabetización digital, divulgación científica y promoción de la salud cardiovascular desde una perspectiva integral.

Objetivos: Describir la implementación del TPC Media Lab como estrategia pedagógica para fortalecer las competencias de comunicación científica, producción de contenidos digitales y participación comunitaria en actividades de promoción y prevención de la salud.

Materiales y métodos: Se desarrolló una experiencia de investigación educativa, descriptiva y de enfoque cualitativo, en el marco de la Cátedra de Fundamentos de la Práctica Cardiológica. Las actividades incluyeron búsqueda y selección bibliográfica, análisis de fuentes científicas, elaboración de contenidos adaptados a públicos no especializados, producción de materiales digitales y gráficos, y participación en acciones comunitarias de promoción y prevención en articulación con instituciones sanitarias y espacios públicos.

Resultados: Se observó una recepción favorable y una participación activa de los estudiantes. La propuesta promovió el pasaje de un rol predominantemente receptivo a otro activo, como productores de contenidos de divulgación científica. Asimismo, favoreció el desarrollo de habilidades para seleccionar, elaborar y comunicar información sanitaria basada en evidencia y la participación en actividades de promoción de la salud.

Conclusiones: El TPC Media Lab constituye una experiencia de innovación educativa que integra formación académica, comunicación científica, alfabetización digital y participación comunitaria. La comunicación responsable y basada en evidencia representa una herramienta relevante para la promoción y prevención de la salud. El proyecto continúa en desarrollo, con incorporación y evaluación de nuevas estrategias y espacios de intervención.

PALABRAS CLAVE: Salud cardiovascular; prevención; innovación educativa; comunicación en salud.

PRESERVACIÓN Y CONSULTA ACCESIBLE: DIGITALIZACIÓN DE COLECCIONES OSTEOLÓGICAS COMO RECURSO DIDÁCTICO

Laskowski, Abril; Garizoain, Gonzalo; Plisckuk, Marcos; Desántolo, Bárbara
Laboratorio de Investigación en Ciencias Forenses (LICiF), Facultad de Ciencias Médicas, Universidad Nacional de La Plata

e-mail de contacto: ggarizoain@med.unlp.edu.ar

Introducción: Las colecciones osteológicas humanas constituyen un centro de referencia para la docencia e investigación en disciplinas tan diversas como la medicina, antropología u odontología, entre otras disciplinas. El tipo de aproximación que permite el análisis macroscópico visual de los elementos óseos resulta irremplazable para la enseñanza de osteología humana, dado que en tales colecciones se ve reflejada la variación estructural inherente de los huesos, la variabilidad en la manifestación de condiciones patológicas, entre otros aspectos fundamentales para una correcta interpretación de la anatomía ósea humana.
En los últimos años, el uso de restos óseos humanos con motivos de investigación o educación ha suscitado algunas preocupaciones concernientes al correcto manejo de restos humanos. En este sentido, algunas alternativas que han surgido para la educación es la utilización de modelos 3D o atlas digitales, lo cual ha aumentado las posibilidades de acceder a bases de datos osteológicas digitalizadas permitiría un mayor acceso de manera remota al material óseo.

Objetivos: Presentar la base de datos digitalizada de la Serie Educativa de la colección osteológica “Prof. Dr. Rómulo Lambre” (FCM-UNLP)

Materiales y métodos: Para la conformación de la base de datos se utilizaron 69 elementos óseos humanos que conforman la Serie Educativa de esta colección osteológica. Previa a la digitalización de los mismos se procedió al inventariado, relevamiento métrico y acondicionamiento de todos los elementos óseos. La información fue sistematizada en una hoja de cálculo, como paso previo a la conversión de la misma en un ejecutable utilizando Python como lenguaje de programación. Por otro lado, se fotografíaron los huesos que conforman esta colección para facilitar su acceso y utilización a través del programa desarrollado.

Resultados: De los 69 elementos óseos que conforman la serie educativa, en su totalidad fueron digitalizados a través de su medición, inventariado y posterior fotografiado. Los resultados de estas actividades fueron transformados en un programa ejecutable donde es posible acceder a la información de cada elemento óseo analizado, utilizando Python como lenguaje de programación.

Conclusiones: La digitalización de colecciones osteológicas tiene el potencial para convertirse en una nueva modalidad de estudio y análisis (con fines educativos) del sistema esquelético humano que contribuya a una gestión de dichas colecciones contemplando la correcta conservación y preservación de los mismos. En este sentido, la serie educativa de la colección Prof. Dr. Rómulo Lambre puede constituirse en una base de datos de consulta para el estudio de elementos óseos en el ámbito de la Facultad de Ciencias Médicas de la Universidad Nacional de La Plata.

RELATOS DE EXHUMACIONES: PRÁCTICAS ÉTICAS Y FORMACIÓN EN ANTROPOLOGÍA FORENSE EN LA FACULTAD DE CIENCIAS MÉDICAS.

Miguez, Linda Jezabel; Peña, Victoria; Datino, Agustina; Cesa, Liz; Desántolo, Bárbara.
Laboratorio de Investigaciones en Ciencias Forenses (LICIF)

e-mail de contacto: adatino@med.unlp.edu.ar

Introducción: La antropología forense aborda la recuperación, análisis e interpretación de restos óseos humanos en contextos médicos-legales, articulando saberes de la antropología biológica, la arqueología y las ciencias forenses. Su práctica implica no solo procedimientos técnicos, sino también decisiones éticas y formas de comunicación que se ponen en juego en cada interacción con el cuerpo humano después de la muerte. Investigaciones recientes en antropología de la muerte sostienen que la condición de persona no se extingue con el cese de las funciones biológicas, sino que se resignifica según las prácticas sociales que continúan articulándose en torno a sus restos. El respeto, el silencio y el cuidado en su manipulación constituyen, en sí mismos, formas de preservar esa continuidad moral y evitar procesos de despersonalización. Las exhumaciones controladas realizadas en el Cementerio Municipal de La Plata (CMLP) por el equipo perteneciente al Laboratorio de Investigaciones en Ciencias Forenses, ofrecen un escenario privilegiado para observar cómo estos principios se materializan en la práctica cotidiana, integrando técnica, sensibilidad y comunicación en un contexto socialmente significativo.

Objetivos: Sistematizar las experiencias de campo de las profesionales y colaboradoras que participaron de las exhumaciones controladas en el CMLP, con el fin de identificar las dimensiones metodológicas, éticas, comunicacionales y formativas involucradas, y reflexionar sobre su aporte.

Materiales y métodos: Entre 2021 y 2022 se realizaron 14 exhumaciones controladas en el CMLP con estrategias arqueológicas y criterios éticos de manejo de restos óseos humanos. Las participantes elaboraron testimonios escritos sobre sus experiencias, que fueron analizados mediante un enfoque fenomenológico, considerando prácticas de recuperación, trabajo interdisciplinario, interacción con personal del cementerio y con la comunidad y situaciones que requirieron decisiones éticas.

Resultados: Los relatos evidenciaron que las exhumaciones constituyeron instancias formativas que excedieron la aplicación de técnicas de recuperación. Las participantes destacaron la necesidad de adaptar procedimientos a cada contexto, coordinar con actores institucionales y sostener formas de comunicación sensibles frente a familiares y visitantes. La experiencia de campo mostró que el manejo ético del cuerpo humano tras la muerte es una práctica situada preservando la identidad social del difunto. En este sentido, las decisiones tomadas durante la exhumación, el modo de exponer, manipular y levantar los restos, influyen directamente en cómo se sostiene la dignidad y el reconocimiento de la persona más allá de la muerte.

Conclusiones: Documentar estas experiencias permite visibilizar una dimensión de la práctica forense en cementerios contemporáneos (la experiencia de campo, el vínculo comunicacional, la dimensión humana del trabajo con restos óseos) que, por su propio objetivo, los informes técnicos no suelen registrar, pero que resultan centrales para el ejercicio profesional en torno al cuerpo humano y la muerte. La integración de la antropología forense en la Facultad de Ciencias Médicas aporta un espacio de aprendizaje ético, comunicacional y metodológico que complementa la enseñanza tradicional, formando profesionales capaces de sostener, en su práctica cotidiana, el respeto y la dignidad de quienes ya no pueden reclamarla por sí mismos. Estas experiencias muestran que el tratamiento de los restos óseos humanos no es solo un procedimiento técnico, sino una práctica ética que contribuye a preservar la continuidad social del difunto y a evitar su despersonalización en contextos médico-legales contemporáneos.

ROL DEL USO DE PANTALLAS CON FINES RECREATIVOS EN EL RENDIMIENTO ACADÉMICO DE ESTUDIANTES DE FISIOLOGÍA Y FÍSICA BIOLÓGICA

Rosales Juan Pablo, Torres Farela Angelina, Bellotti Lautaro, Villa-Abrille María Celeste M, Valverde Carlos A, Ennis Irene L, Saavedra Amparo, Ciancio María Carolina,
Ciarrocchi Sofía
Cátedra de Fisiología y Física Biológica, Facultad de Ciencias Médicas, UNLP

e-mail de contacto: juanpablorrosales@gmail.com

Introducción: El uso de pantallas con fines recreativos constituye un hábito frecuente en la población universitaria y su exposición prolongada podría asociarse con cansancio, dificultades de concentración y alteraciones en los hábitos de sueño, factores potencialmente relacionados con el rendimiento académico. Estudios previos han descrito asociaciones entre el uso de pantallas, la somnolencia y el desempeño académico, principalmente en la población escolar. Asimismo, el uso de dispositivos, particularmente durante las horas previas al descanso, podría contribuir a una menor duración o calidad del sueño y favorecer la somnolencia durante la jornada académica. En este contexto, resulta relevante considerar la posible relación entre estos hábitos, el descanso y la experiencia académica en estudiantes de Fisiología y Física Biológica de la Facultad de Ciencias Médicas de la UNLP.

Objetivos: Evaluar el vínculo entre los hábitos de uso recreativo de pantallas y el rendimiento académico en estudiantes de Fisiología y Física Biológica de la Facultad de Ciencias Médicas de la UNLP, hipotetizando que un mayor número de horas frente a pantallas con fines recreativos influye negativamente en el descanso, en el tiempo de estudio y en el desempeño académico de los estudiantes.

Materiales y métodos: Se realizaron encuestas por medio de formularios de Google destinadas a los estudiantes de la materia Fisiología y Física Biológica de la carrera de Medicina de la UNLP. El cuestionario indagó sobre su rendimiento en la materia, consultando por el resultado en las evaluaciones y las instancias de recuperación, el tiempo empleado en pantalla, total y recreativo, y hábitos de sueño. Se obtuvieron analizando asociaciones entre estas variables y el resultado académico. Los datos se resumieron mediante frecuencias y porcentajes para las variables categóricas. Para evaluar la asociación entre las distintas variables categóricas se utilizó la prueba de chi-cuadrado de independencia, considerando un nivel de significación estadística de $p<0,05$.

Resultados: Se analizaron 117 respuestas obtenidas mediante la encuesta. En cuanto al rendimiento en Fisiología, el 35,6% aprobó el parcial en modalidad escrita, el 34,7% alcanzó la promoción y el 27,1% obtuvo una calificación de 4 a 6; el 50,8% no había requerido instancias de recuperación. Respecto al uso de pantallas, el 42,4% refirió un consumo total de celular de 4–6 h/día, mientras que el 61,9% destinó 1–3 h/día a fines recreativos y el 38,1% más de 3 h/día. El 79,7% utilizaba dispositivos durante la hora previa al sueño casi todos o todos los días, y el 50% refirió dormir 6–7 h durante los días de cursada. El 43,2% manifestó que la somnolencia asociada al uso nocturno interfería a veces con la concentración para estudiar Fisiología y el 21,2%, con frecuencia. No se observaron asociaciones significativas entre horas de uso recreativo y nota del parcial ($p=0,547$) ni promoción ($p=0,522$); el requerimiento de recuperaciones fue 13,6% en el grupo de mayor uso (>4 h/día) y 2,7% en el de menor uso ($p=0,101$).

Conclusiones: El uso prolongado de pantallas no se asoció directamente con un menor rendimiento en las evaluaciones. Sin embargo, los estudiantes manifestaron una menor concentración diurna y mayor somnolencia asociadas al uso de dispositivos especialmente en período nocturno antes de dormir. Asimismo, se observó una mayor frecuencia de instancias de recuperación entre quienes presentaron un mayor uso recreativo de pantallas, aunque esta diferencia no alcanzó significación estadística.

SABER PREGUNTAR Y ELEGIR LA HERRAMIENTA: ALFABETIZACIÓN DIGITAL PARA EL USO RESPONSABLE DE LA INTELIGENCIA ARTIFICIAL EN LA BÚSQUEDA DE EVIDENCIA EN SALUD

Dos Santos, Florencia Estefania
Universidad Nacional de Quilmes

e-mail de contacto: kinesio.flor10@gmail.com

Introducción: La Práctica Basada en la Evidencia (PBE) exige acceder a información científica rigurosa para la toma de decisiones asistenciales. Ante la saturación informativa, los profesionales suelen recurrir a buscadores masivos como Google, cuyos algoritmos priorizan criterios comerciales. La Inteligencia Artificial (IA) optimiza la búsqueda, pero sin alfabetización digital genera severos riesgos. Principalmente, subir historias clínicas o datos de pacientes a la nube vulnera el secreto profesional y la protección de datos personales (Ley 25.326 y RIPD). Asimismo, existen riesgos de alucinaciones (citas falsas) y sesgos algorítmicos. La OMS exige una supervisión humana activa (*human-in-the-loop*), haciendo indispensable capacitar al equipo de salud en resguardo de datos, selección de herramientas y *prompts* clínicos.

Objetivos: Determinar los criterios para seleccionar herramientas de IA con trazabilidad científica, definir pautas de protección de datos sensibles y establecer la estructura de *prompts* para prevenir alucinaciones y sesgos.

Materiales y métodos: Revisión narrativa de la literatura científica y normativa (2020-2026) en PubMed, BVS y Biblioteca Electrónica de Ciencia y Tecnología (términos DeCS/MeSH: *Artificial Intelligence*, *Information Literacy*, *Evidence-Based Practice*, *Ethics*, *Prompt Engineering*). Se analizaron directrices de la OMS, AAIP y RIPD.

Resultados: Un uso seguro de la IA en PBE requiere tres pilares: 1) Confidencialidad: prohibición absoluta de subir historias clínicas o datos identificables a la nube, usando solo escenarios hipotéticos. 2) Selección de herramientas**:** priorizar motores con rastreo académico en tiempo real (Perplexity, Gemini) sobre buscadores masivos o modelos generales propensos a alucinar citas, verificando enlaces a literatura arbitrada y DOI. 3) **I**ngeniería de *prompts*: definir un rol experto, delimitar el problema de forma abstracta e incluir instrucciones negativas (prohibir la invención de fuentes). Se aplica un protocolo de verificación humana: confirmación de DOI/PubMed, jerarquía metodológica, arbitraje y juicio clínico.

Conclusiones: El uso responsable de la IA depende de la alfabetización digital. Prevenir dilemas éticos exige no subir datos sensibles a la nube. La selección de motores con trazabilidad en tiempo real y el diseño de *prompts* estructurados reducen el margen de error. La IA asiste la búsqueda bibliográfica, pero el contraste de las fuentes y la decisión clínica final son una responsabilidad humana e indelegable.

UNA PIONERA DE LA MEDICINA PLATENSE: TRAYECTORIA Y EJERCICIO PROFESIONAL DE LEONOR MARTÍNEZ BISSO (1885-1956)

Larissa Lisboa Mariano y Valeria Natividad Almirón
Cátedra de Historia de Medicina, Facultad de Ciencias Médicas – Universidad Nacional de La Plata

e-mail de contacto: valmiron@med.unlp.edu.ar

Introducción: Este trabajo reconstruye la trayectoria de Leonor Martínez Bisso (1885-1956), médica platense y una de las primeras mujeres en ejercer la medicina en la ciudad. Aunque fue central para el desarrollo sanitario de la primera mitad del siglo XX, encontramos pocos trabajos que hagan referencia a su accionar en la medicina. Graduada en 1910, en su recorrido biográfico podemos dar cuenta de la participación en la fundación de la Sociedad Médica de La Plata, como la única mujer entre sus miembros y en el Primer Congreso Femenino Internacional.

Objetivos: Nos interesó en este primer acercamiento sobre la trayectoria académica, intelectual y política de esta médica, analizar su relevancia en la construcción de redes institucionales, en su mayoría, hegemonizada por figuras masculinas, dando cuenta de sus estrategias de negociación para construir espacios de poder. En particular, examinamos su participación en espacios institucionales (la Universidad Nacional de la Plata y sociedades médicas), su producción académica sobre puericultura, pediatría y tocogineocología, y su intervención en espacios de mujeres y feministas.

Materiales y métodos: La metodología utilizada fue de tipo cualitativa-descriptiva, mediante el análisis de fuentes documentales donadas por la familia de Martínez Bisso a la Cátedra de Historia de la Medicina de la Facultad de Ciencias Médicas de la Universidad Nacional de la Plata, en el marco del proyecto de investigación “Medicina y ciudad. Saberes, prácticas y tensiones en los orígenes del sistema sanitario de La Plata, Argentina (1882-1922)” dirigido por el Dr. Gustavo Vallejo.

Resultados: Reconstruiremos la trayectoria de Martínez Bisso que nos permite iluminar una experiencia situada en la historia de la medicina platense, explorando las tensiones entre profesionalización médica, género y prácticas de cuidado.

Conclusiones: La trayectoria de Leonor Martínez Bisso nos permitió conjugar la trayectoria de una médica en una ciudad que atravesaba profundos cambios, como era en caso de La Plata. Además, destacar su capacidad personal en la construcción de redes que cruzaron la perspectiva de género, el lugar del cuidado en las prácticas profesionales y la salud de las mujeres.

USO DE MATERIALES AUDIOVISUALES OFICIALES Y RECURSOS DIGITALES PARA EL ESTUDIO DE FISIOLOGÍA

Catalina Gelvez, Malena Iriarte, Pierina Massaccesi, Giuliana Mitidieri, Consuelo Saavedra, Carlos Valverde, Rocío Belén García, Ivana María Gómez.
Cátedra fisiología y física biológica, Facultad de Ciencias Médicas, Universidad Nacional de La Plata.

e-mail de contacto: catagelvez5@gmail.com

Introducción: En los últimos años, los hábitos de estudio de los estudiantes de ciencias médicas se han modificado, con una creciente incorporación de recursos digitales, materiales audiovisuales y plataformas externas a los materiales curriculares oficiales. Estudios realizados en cohortes de estudiantes de Medicina de otras universidades han mostrado un uso creciente de videos educativos presentes en redes sociales y materiales de terceros. En esas poblaciones, los estudiantes describen estos recursos como más breves, accesibles y flexibles para adaptarse a necesidades específicas de estudio. Considerando estos antecedentes, el presente trabajo, elaborado por ayudantes de la cátedra de Fisiología y Física Biológica (FFB) de la Facultad de Cs. Médicas de la UNLP, analiza el uso del contenido audiovisual proporcionado por la cátedra. Este material incluye, por un lado, videos teóricos que abordan en profundidad contenidos troncales del temario, con una duración promedio de 77.7 minutos y, por otro lado, las "pastillas" de una duración promedio de 20.8 minutos, que abordan temas específicos dentro de cada unidad.

Objetivos: Analizar las modificaciones en la visualización del contenido audiovisual oficial de la cátedra por parte de los estudiantes de FFB entre los años 2022 y 2025.

Materiales y métodos: El análisis se realizó a partir de datos de las estadísticas de visualización disponibles en la plataforma YouTube, asociada al material audiovisual presente en el Entorno Educativo de la cátedra. Se consideraron para su estudio un total de 28 videos teóricos y 17 videos en formato pastillas, de los cuales se relevaron datos relacionados a su visualización en un período comprendido entre el año 2022 y el 2025. Las variables analizadas incluyeron el número de visualizaciones de los videos, su tiempo total de visualización en horas y el porcentaje promedio de visualización de cada video (es decir, el porcentaje de la duración total del video que se reproduce en cada visualización).

Resultados: El tiempo total de visualización de todo el material audiovisual oficial de la cátedra en su conjunto disminuyó gradualmente desde el 2022 al 2025, siendo significativamente menor en el 2025 en comparación con el 2022. En cuanto a los videos teóricos, su tiempo total de visualización también disminuyó de forma gradual en el período estudiado. El porcentaje promedio de visualización, por su parte, disminuyó de un 20% a un 15% de la duración total de los videos entre el 2022 y el 2023 respectivamente, y se mantuvo aproximadamente constante hasta el 2025. Por otro lado, el número de visualizaciones de las pastillas disminuyó gradualmente desde el 2022 hasta el 2025, sin embargo, su promedio de visualización se mantuvo aproximadamente constante en el período estudiado, en un promedio del 38% de la duración total de los videos.

Conclusiones: El uso del contenido audiovisual en su conjunto disminuyó entre el 2022 y 2025. Esta tendencia fue notoria en los videos teóricos, que presentaron una disminución tanto del tiempo de visualización como del porcentaje promedio de visualización. Por su parte, el porcentaje promedio de visualización fue mayor en las pastillas en comparación con los teóricos, y se mantuvo constante durante el periodo de tiempo analizado, lo que indicaría una mayor permanencia de los estudiantes en contenidos audiovisuales de menor duración. Actualmente, estamos realizando una encuesta orientada a estudiar la percepción que los estudiantes de FFB tienen del material audiovisual oficial de la cátedra y a relevar información acerca de qué posibles factores pueden influir en esta tendencia decreciente en su visualización.

Vinculación Tecnológica

FACULTAD DE
CIENCIAS MÉDICAS

UNIVERSIDAD
NACIONAL
DE LA PLATA

BIOINGENIERÍA, PROTOTIPADO Y DESARROLLO DE DISPOSITIVOS EXPERIMENTALES

Federico Hernán Delgado, Ramiro Fernando Martinez Quiroga
Centro de Investigaciones Cardiovasculares (CIC), Facultad de Ciencias Médicas - UNLP.

Resumen Servicio especializado en el diseño, desarrollo y construcción de dispositivos y soluciones experimentales destinados a aplicaciones en investigación biomédica. Este procedimiento abarca la implementación y adaptación de sistemas y equipamientos, el desarrollo de prototipos funcionales y la fabricación de piezas mediante impresión 3D. Asimismo, incluye la integración de componentes mecánicos, electrónicos, sensores y sistemas de adquisición y procesamiento de datos, conforme con los requerimientos específicos de cada proyecto. Además, se brinda asistencia técnica y asesoramiento para la selección de materiales, componentes y tecnologías de fabricación, así como para la implementación de soluciones destinadas al registro, monitoreo y control de variables físicas y biológicas. Los desarrollos se ajustan a los requerimientos de cada proyecto, considerando aspectos de funcionalidad, reproducibilidad, seguridad y compatibilidad con los procedimientos experimentales, desde la modificación de dispositivos existentes hasta la construcción de sistemas específicos que no se encuentran disponibles comercialmente.
Está destinado a investigadores, grupos de investigación e instituciones científicas que requieren soluciones tecnológicas a medida para sus proyectos. Su objetivo es promover la innovación tecnológica, facilitar el desarrollo de metodologías experimentales y contribuir al fortalecimiento de las capacidades instrumentales y tecnológicas en investigación biomédica.

CAPACIDADES CIENTÍFICO-TECNOLÓGICAS Y SERVICIOS ESPECIALIZADOS OFRECIDOS EN EL INIBIOLP

Vanesa Herlax
Instituto de Investigaciones Bioquímicas de La Plata (INIBIOLP), Facultad de Ciencias Médicas - UNLP.

Resumen: El INIBIOLP es un instituto multidisciplinario dedicado a generar conocimiento de frontera en bioquímica, biofísica y biología de lípidos y proteínas, integrando investigación básica y aplicada. Estudiamos interacciones moleculares, metabolismo y relaciones estructura-función con impacto potencial en los desafíos de UNA SOLA SALUD y en los sectores biotecnológico y agropecuario. Ofrecemos capacidades científico-tecnológicas y servicios especializados orientados a acompañar el desarrollo e innovación de empresas farmacéuticas, cosméticas y agroindustriales, promoviendo soluciones basadas en ciencia de alto nivel. Algunos de ellos son: Desarrollo de bioensayos para especies reactivas de oxígeno (ROS), nitrógeno (RNS/NOS) y perfil redox; ensayos de citotoxicidad celular en un amplio banco de líneas celulares; diseño de nanopartículas biomiméticas, encapsulamiento de bioactivos, desarrollo y caracterización de liposomas: tamaño, carga superficial, eficiencia de encapsulamiento. En el área de cromatografía (HPLC, FPLC, GC-masa) realizamos: análisis de lípidos en alimentos, tejidos y células; análisis de biomoléculas; determinación de compuestos volátiles en distintos tipos de muestra. Además realizamos extracción y purificación de colágeno tipo I para I+D.

DESARROLLO DE LÍNEAS DE CÉLULAS MADRE MESENQUIMALES (CMM) PARA TERAPIA REGENERATIVA

Marcela Garcia, María Belén Palma, Ailén Iribarne
Cátedra de Citología, Histología y Embriología, Facultad de Ciencias Médicas - UNLP.

Resumen: Desde la cátedra hemos estado trabajando en el desarrollo de líneas celulares de CMM para su aplicación en medicina regenerativa:

- La línea DMC (células mesenquimales derivadas humanas), obtenida a partir de un grupo específico de CMM, expandida a partir de la gelatina de Wharton de cordones umbilicales humanos. Línea desarrollada para su uso alogénico en la regeneración de tejidos dañados en lesiones dérmicas resistentes a los tratamientos convencionales (como las úlceras venosas crónicas y las denominadas "pie diabético"). En el marco de estas investigaciones hemos firmado una colaboración con la empresa Asclepii Inc. (Cleveland, EE. UU.) para incorporarlas en los geles especialmente diseñados por esta empresa para el tratamiento de heridas dérmicas complejas.

  Las CMM derivadas de tejido adiposo (A-DSC) obtenidas a partir de muestras de liposucción de pacientes con úlceras de pie diabético. Análisis de su potencial terapéutico para el manejo de heridas complejas a través de modelos *in vitro* e *in vivo* en combinación con apósitos de membrana amniótica (hAM) acelular. Este enfoque permitirá desarrollar una terapia regenerativa mediante el uso de células obtenidas del propio paciente portador de la lesión combinadas con un andamio estructural y funcional, que, al ser acelular, no generaría un rechazo inmunitario del huésped. Esta investigación se lleva adelante en colaboración con el banco de tejidos AMNIOSBMA y con el Dpto. de Cirugía del CEMIC, quienes donarán las muestras de tejido adiposo y de hAM.
- La línea eqMC (células madre mesenquimales equinas), obtenida a partir de un grupo específico de CMM expandidas desde la gelatina de Wharton de cordones umbilicales equinos para su utilización alogénica. Esta línea se está estudiando para el tratamiento de tendinopatías. Esta patología no solo es una importante problemática en la medicina veterinaria de equinos deportivos, sino que además el caballo es considerado el modelo animal ideal para la traslación de terapias de tendinopatías a la medicina humana debido a las enormes similitudes fisiopatológicas, mecánicas y clínicas que comparte con los atletas humanos. En este contexto, estamos trabajando en colaboración con la cátedra de Enfermedades de los equinos de la FCV para la implementación de ensayos clínicos controlados.

DESARROLLO Y PURIFICACIÓN DE COLÁGENO TIPO I COMO PLATAFORMA DE VINCULACIÓN TECNOLÓGICA: DE FUENTES CONVENCIONALES Y ALTERNATIVAS AL DISEÑO DE MATRICES BIOPOLIMÉRICAS 3D

Silvana Antonia Rosu; M. Alejandra Tricerri.
Instituto de Investigaciones Bioquímicas de La Plata (INIBIOLP), Facultad de Ciencias Médicas - UNLP.

Se presenta una plataforma de vinculación tecnológica basada en los Servicios Tecnológicos de Alto Nivel (STAN - CONICET) del INIBIOLP (Facultad de Ciencias Médicas, UNLP). Esta iniciativa se dedica a la obtención, purificación y caracterización esencial de colágeno tipo I nativo de alta pureza, utilizando tanto fuentes convencionales (vertebrados) como alternativas sustentables (invertebrados y subproductos industriales).
El objetivo principal es abastecer a los sectores académico e industrial con biopolímeros de calidad y diseñar el soporte de matrices tridimensionales (3D) biomiméticas que simulen la matriz extracelular para cultivos celulares avanzados y estudios biomédicos.

Capacidades y Líneas de Trabajo

- Aislamiento y Purificación: Procesamiento de tejidos mediante solubilización ácida y precipitación salina diferencial en frío.
- Control de Calidad Esencial: Verificación interna de pureza y perfiles proteicos mediante electroforesis SDS-PAGE y espectrofotometría UV-Vis.
- Diseño y Formulación de Matrices: Desarrollo de hidrogeles funcionales avanzados (ej. combinados con glicosaminoglicanos/heparina) y optimización de protocolos de entrecruzamiento químico.
- Asesoramiento en Caracterización Avanzada: Orientación técnica para la evaluación estructural, reológica y morfológica (MEB) de los soportes biopoliméricos, facilitando la validación del material en modelos de cultivo 3D.
- Oportunidades de Vinculación
- La plataforma ofrece soluciones biotecnológicas a medida para el sector productivo, de salud e industrial mediante:
- Provisión de lotes estandarizados de colágeno nativo en concentraciones comerciales.
- Codesarrollo de polímeros y revalorización de subproductos biológicos.
- Asesoramiento técnico y diseño de soportes 3D para investigación biomédica y nuevos productos.

EVALUACIÓN DE PARÁMETROS CARDIOFISIOLÓGICOS Y HEMODINÁMICOS EN MODELOS ANIMALES

Leandro Gaston Di Cianni, Carlos Alfredo Valverde, Oscar Andres Pinilla
Centro de Investigaciones Cardiovasculares (CIC), Facultad de Ciencias Médicas - UNLP.

Resumen: Servicio destinado a la evaluación de la función cardiovascular en modelos animales de experimentación, particularmente ratas y ratones, mediante la determinación de parámetros ecocardiográficos, ecodoppler, hemodinámicos y electrocardiográficos. El servicio permite caracterizar la estructura y el funcionamiento cardíaco, evaluar la dinámica circulatoria y detectar alteraciones asociadas a diferentes condiciones fisiopatológicas o intervenciones experimentales.

Las determinaciones ecocardiográficas permiten analizar la morfología cardíaca, las dimensiones de las cavidades, el espesor de las paredes ventriculares y los índices de función sistólica y diastólica. Mediante ecodoppler se pueden evaluar parámetros relacionados con el flujo sanguíneo y la función cardíaca. Asimismo, se realiza la medición de la presión arterial sistólica, diastólica y media, utilizando el método tail-cuff. El registro electrocardiográfico permite analizar la actividad eléctrica cardíaca, la frecuencia cardíaca y posibles alteraciones del ritmo y la conducción.

El servicio está orientado a investigadores, grupos de investigación e instituciones que desarrollan estudios en fisiología cardiovascular, enfermedades cardiovasculares, farmacología y evaluación de estrategias terapéuticas. Los procedimientos se adaptan a las características del modelo animal y al diseño experimental, proporcionando información cuantitativa relevante para la caracterización fenotípica, el seguimiento longitudinal y la evaluación de los efectos de tratamientos o modificaciones genéticas sobre la función cardiovascular.

HERRAMIENTAS MOLECULARES Y BIOQUÍMICAS APLICADAS A ENFERMEDADES CARDIOVASCULARES: ESTUDIO DE LA EXPRESIÓN DE PROTEÍNAS, QPCR, PERFIL LIPÍDICO Y ENZIMAS ANTIOXIDANTES

Castillo Omar, Pereyra Erica
Centro de Investigaciones Cardiovasculares (CIC), Facultad de Ciencias Médicas - UNLP.

Resumen: La Unidad Técnica de Bioquímica y Biología Molecular del Centro de Investigaciones Cardiovasculares (CIC) ofrece una plataforma integral de servicios tecnológicos y capacidades analíticas avanzadas orientadas al estudio de las enfermedades cardiovasculares. Nuestro servicio científico-tecnológico se especializa en la caracterización molecular y bioquímica utilizando diversos modelos biológicos (Rattus norvegicus, Mus musculus, Drosophila melanogaster y muestras humanas). En el área de biología molecular, destacamos la optimización de la técnica de Western Blot mediante el desarrollo propio y original de geles discontinuos, además de dominar formatos continuos y en gradiente. Asimismo, implementamos qPCR analítico para la cuantificación de la expresión génica, la determinación del número de copias de ADN mitocondrial y la medición de la longitud de telómeros. En el espectro bioquímico, realizamos el perfil lipídico tisular mediante el dosaje de colesterol total, triglicéridos y HDL directamente en tejido cardíaco, complementado con la evaluación de la actividad enzimática antioxidante (Superóxido Dismutasa y Catalasa). Estas capacidades metodológicas se consolidan como herramientas estratégicas de transferencia tecnológica, disponibles para colaborar con el sector productivo, público y privado en el codiseño de proyectos de I+D, evaluación de fármacos o biomarcadores, impulsando la innovación en el área de las ciencias de la salud.

PLATAFORMA GENÓMICA Y BIOINFORMÁTICA PARA MEDICINA DE PRECISIÓN

María Eugenia Salas, Ezequiel Lacunza, Martin Abba
Centro de Investigaciones Inmunológicas Básicas y Aplicadas (CINIBA), Facultad de Ciencias Médicas - UNLP.

Resumen: Desde la Plataforma de Secuenciación y Análisis Bioinformático, que funciona en el CINIBA y el CIB-UNLP, ofrecemos un servicio integral que abarca todas las etapas del proceso, desde el asesoramiento inicial y la extracción de ácidos nucleicos hasta el control de calidad, la preparación de bibliotecas, la secuenciación Sanger y de nueva generación (NGS), y el análisis bioinformático de los datos obtenidos. Contamos con tecnologías de última generación, equipamiento especializado e infraestructura bioinformática dedicada para brindar resultados de calidad y soluciones adaptadas a las necesidades de cada proyecto. Nuestras capacidades incluyen la secuenciación y el ensamblado de genomas, el análisis shotgun de metagenomas y la caracterización del microbioma, la secuenciación de exomas y la identificación de variantes genéticas germinales y somáticas, el análisis de transcriptomas y la identificación de vías de señalización, así como la secuenciación y caracterización de células individuales (*single-cell*). Nuestros servicios están destinados a proyectos de investigación, instituciones de salud públicas y privadas, empresas y laboratorios del sector productivo, ofreciendo asesoramiento técnico especializado y acompañamiento durante todo el proceso, desde la planificación experimental hasta la interpretación de los resultados.

PROVISIÓN DE RATONES PARA EXPERIMENTACIÓN EN BIOMEDICINA, GENOTIPIFICACIÓN DE CEPAS Y MODELOS QUIRÚRGICOS

Leandro Gaston Di Cianni, Luciana Sapia, Liliana Gonzalez, Mónica Rando, Omar Castillo, Juan Lofeudo, Carlos Alfredo Valverde
Centro de Investigaciones Cardiovasculares (CIC), Facultad de Ciencias Médicas - UNLP.

Resumen: Servicio destinado a brindar soporte a proyectos de investigación biomédica mediante la provisión de ratones de experimentación mutantes, transgénicos y wild type.

Incluye la disponibilidad de animales de distintas cepas (PLNKO, SAKO, SDKO, S2814a y S2814d) para lo que tenemos estrictos procesos de crías y posterior asignación a usuarios. Para obtener el correcto genotipo realizamos biopsias de cola de ratón, extracción de ADN e identificación y confirmación a través de técnicas de genotipificación por PCR de punto final y observación de resultados mediante geles de agarosa. Una vez asignados los ratones son destinados a la implementación de modelos quirúrgicos de acuerdo con los requerimientos experimentales de cada proyecto, así como también se utilizan los corazones para aislamiento de células mediante el método de Langendorff.

ScleriX

Nicolás Pedrini, Carla Huarte Bonnet, Ricardo Arraga

Resumen: Plataforma de microesclerocios de hongos entomopatógenos para el manejo de insectos plaga y vectores de enfermedades, formulados como biolarvicidas, bioinsecticidas y bioestimulantes. Nuestra plataforma ofrece una solución altamente eficaz y sustentable para el control de vectores de enfermedades y la protección de cultivos estratégicos. A diferencia de otras alternativas, nuestro formulado destaca por su excepcional persistencia en el ambiente y su capacidad de mantener la máxima efectividad con mínima intervención en campo. Esto se traduce en un control más prolongado, confiable y rentable. Además, es una tecnología segura, versátil y fácilmente escalable, lista para generar un alto impacto tanto en el agro como en la salud pública.
Proponemos la utilización de los microesclerocios en dos escenarios diferentes mediante la generación de dos productos asociados a un mismo formulado: 1) Como biolarvicida para el control de larvas del mosquito vector de arbovirus que causan dengue, fiebre amarilla, zika y chikungunya. Se propone la aplicación del formulado en depósitos de agua estancada menor. 2) Como bioinsecticida para el control de orugas y chinches plaga en cultivos extensivos e intensivos y como bioestimulante de estos cultivos. Se propone la aplicación del formulado en el suelo y el tratamiento de semillas y plantas.

SERVICIO DE EMPAQUETAMIENTO DE GENES EN VECTORES VIRALES PARA INVESTIGACIÓN CIENTÍFICA

María Carolina Ciancio, Sofía Ciarrocchi, Delfina Gallo, Alejandro Orlowski
Centro de Investigaciones Cardiovasculares (CIC), Facultad de Ciencias Médicas - UNLP.

Resumen: El Laboratorio de Vectores Virales del Centro de Investigaciones Cardiovasculares ofrece un servicio especializado de generación de vectores adenoasociados (AAV) y lentivirales (LV) para investigación preclínica. El servicio está orientado a grupos académicos, universidades, centros biomédicos, hospitales universitarios, plataformas traslacionales, empresas biotecnológicas y CROs preclínicas que requieran AAV para estudios experimentales y de prueba de concepto.

SERVICIO DE MICROSCOPÍA DE EPIFLUORESCENCIA, CONFOCAL, SUPERRESOLUCIÓN, TIEMPO DE VIDA DE FLUORESCENCIA

Lucía Elena Pagola, Ramiro Fernando Martínez Quiroga, Federico Hernán Delgado, Leandro Díaz Zegarra, Carlos Valverde
Centro de Investigaciones Cardiovasculares (CIC), Facultad de Ciencias Médicas - UNLP.

La Plataforma de Microscopía del Centro de Investigaciones Cardiovasculares se especializa en microscopía óptica aplicada a la investigación en el área de las ciencias de la vida.

La plataforma brinda acceso abierto a toda la comunidad, incluyendo los ámbitos académico e industrial, así como a la sociedad en general, ofreciendo acceso a tecnologías de imagen avanzada y a una amplia experiencia en microscopía óptica. Estas capacidades permiten la obtención y el análisis de imágenes multidimensionales de células y tejidos, imágenes de células vivas e imágenes funcionales y moleculares, incluyendo técnicas como FRAP, FRET y FLIM.

La plataforma cuenta con microscopios de epifluorescencia, dos microscopios confocales de barrido láser, uno de los cuales incorpora tecnologías STED, FLIM y FCS, y dos microscopios ION OPTIX destinados al registro dinámico de iones. Asimismo, dispone de un microscopio óptico adaptado para la realización de patch clamp, que permite estudiar las propiedades eléctricas de las células.

Además de brindar acceso a su infraestructura y equipamiento, la plataforma ofrece asesoramiento científico especializado, capacitación en el uso práctico de los equipos y orientación para el diseño y desarrollo de proyectos de investigación.

La Plataforma de Microscopía constituye un Servicio Tecnológico de Alto Nivel (STAN) del CONICET y se encuentra registrada en el Sistema Nacional de Microscopía y en la red Latin American Bioimaging (LABI).

SERVICIO DE PATOLOGÍA DIGITAL

Martín Enrique Rabassa, Malena Murga
Cátedra de Patología B, Facultad de Ciencias Médicas - UNLP.

Resumen: La digitalización de preparaciones histológicas (Whole Slide Imaging, WSI) y el análisis cuantitativo de imágenes son herramientas clave en la patología digital, la investigación biomédica y la docencia. Presentamos un servicio integral enfocado en la adquisición de imágenes de alta resolución y el procesamiento digital avanzado de muestras biológicas.

El sistema de digitalización utiliza un microscopio Leica 500 equipado con una cámara FlexCam, controlado mediante el software Microvisioneer. Ofrecemos escaneos en luz brillante empleando objetivos de 10x para evaluaciones generales de tejido y de 40x hasta 100x hasta para la caracterización detallada de estructuras subcelulares. Las imágenes generadas se entregan en formatos interoperables SVS y TIFF, compatibles con los principales visores y sistemas de almacenamiento.

Como complemento, brindamos un servicio de análisis cuantitativo de imágenes mediante el software QuPath, el cual permite la identificación y determinación de tipos celulares, así como la evaluación y clasificación precisa de tinciones por inmunohistoquímica (IHQ) e inmunofluorescencia. La plataforma facilita la cuantificación de biomarcadores y la segmentación celular automatizada.